

EDITURA DIDACTICĂ ȘI PEDAGOGICĂ, BUCUREŞTI – 1989

Lei 12,40

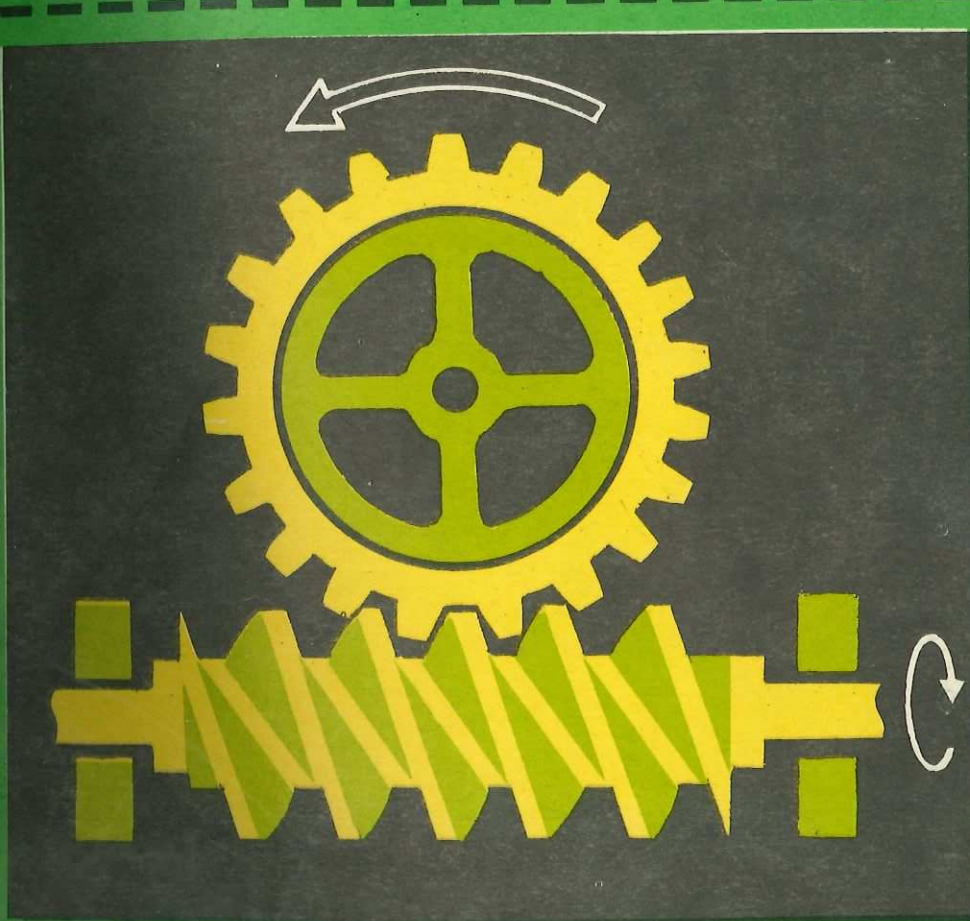
ISBN 973-30-0283-6

• REZISTENȚA MATERIALELOR ȘI ORGANE DE MAȘINI •

MINISTERUL EDUCAȚIEI ȘI ÎNVĂȚĂMÂNTULUI

REZISTENȚA MATERIALELOR ȘI ORGANE DE MAȘINI

Manual pentru clasele a X-a și a XI-a licee industriale, agroindustriale și silvice, de matematică-fizică, de științe ale naturii și de filologie-istorie



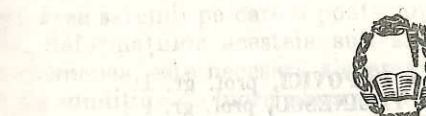
MINISTERUL EDUCAȚIEI ȘI ÎNVĂȚĂMÂNTULUI

Dr. ing. VICTOR DROBOTĂ • Dr. Ing. MIHAIL ATANASIU •

Dr. Ing. NICULAE STERE

REZistență MATERIALELOR și ORGANE DE MASINI

Manual pentru clasele a X-a și a XI-a, licee cu profilurile de mecanică, electrotehnică, mine — petrol — geologie, metalurgie, materiale de construcții, industrie alimentară, industrie ușoară, poligrafie, marină, aeronautică, prelucrarea lemnului, mecanică agricolă, silvicultură și exploatare forestiere, matematică — fizică, filologie — istorie — geografie



EDITURA DIDACTICĂ ȘI PEDAGOGICĂ, BUCUREȘTI

Manualul constituie reeditarea ediției revizuite în anul 1979, conform programei școlare aprobate de Ministerul Educației și Învățământului cu nr. 3448/1979

ROZETELE DE REZistență A MATERIALELOR

Contribuția la realizarea manualului este următoarea:
Dr. ing. V. Drobotă — capitolele: 1, 2, 3, 4 și 5
Dr. ing. M. Atanasiu — capitolul 6
Dr. ing. N. Stere — capitolele: 7, 8, 9, 10, 11, 12, 13 și 14

ISBN 973-30-0283-6

Referenți: ing. MIRCEA POPOVICI, prof. gr. I
ing. COSTIN PELINESCU, prof. gr. I
ing. MIHAI VOICU
Redactor: ing. MARIA—VALENTINA POPA
Tehnoredactor: CONDOPOL VIORICA

PARTEA I INTII

REZistență MATERIALELOR

Capitolul 1

NOȚIUNI INTRODUCTIVE

1.1. BAZELE REZistenței MATERIALELOR

1.1.1. Obiectul rezistenței materialelor

Orice construcție sau mașină trebuie să răspundă, după realizare, unor condiții tehnice și economice.

Una dintre condițiile tehnice importante este *condiția de rezistență*, care cere ca mașina sau construcția respectivă să lucreze în condiții sigure sub acțiunea sarcinilor la care este supusă pe toată durata explorației ei.

O altă condiție tehnică, nu mai puțin importantă, legată strâns de cea de rezistență, este *condiția de rigiditate*. Această condiție cere ca elementele care intră în alcătuirea unei mașini sau construcții să nu-și schimbe în timpul funcționării sub sarcinile de lucru nici forma și nici dimensiunile.

În unele cazuri, deși sunt îndeplinite atât condiția de rezistență cât și cea de rigiditate, la anumite valori ale sarcinilor considerate critice, unele organe de mașini sau elemente de construcții își pot pierde echilibrul stabil și se pot distruge. Acestea trebuie să satisfacă și *condiția de stabilitate* care cere ca valoările sarcinilor ce le sunt aplicate să fie mai mici decit cele critice.

Condițiile tehnice pot fi îndeplinite pe diverse căi. Cea mai ușoară este aceea a folosirii unor secțiuni transversale masive și de dimensiuni mari. Această cale face ca mașina sau construcția respectivă să fie grea, iar realizarea ei să fie scumpă, neeconomică.

Între condițiile de bază ale unei realizări tehnice sunt și *condițiile economice*, după care orice piesă proiectată trebuie să fie realizată cu un consum cât mai mic de material și manoperă, respectând condițiile de rezistență, rigiditate și stabilitate impuse.

Pentru a răspunde acestor cerințe este necesară folosirea unor relații de calcul stabilite științific, care să servească la dimensionarea, verificarea sau determinarea sarcinii pe care o poate suporta o piesă, precum și pentru determinarea deformațiilor acesteia sub sarcini.

De asemenea, este necesară alegerea potrivită a materialului piesei, ținind seama de condițiile de lucru ale acesteia, astfel încât materialele să fie cât mai bine folosite.

Aceste probleme constituie obiectul rezistenței materialelor. La rezolvarea lor, rezistența materialelor, spre deosebire de mecanică, consideră corpurile deformabile sub sarcini.

Rezistența materialelor este, deci, știința care, considerind corpurile deformabile sub acțiunea forțelor exterioare, stabilește formule de calcul pentru studiu rezistenței, rigidității și stabilității acestora, în scopul realizării unor construcții tehnice sigure în funcționare și ieftine.

Rezistența materialelor studiază, de asemenea, comportarea materialelor sub sarcini și dă indicații asupra modului de alegere a materialului unei anumite piese, ţinând seama de sarcinile ce-i sunt aplicate și de condițiile de lucru ale acesteia.

1.2. NOȚIUNI INTRODUCTIVE DE REZISTENȚĂ A MATERIALELOR

1.2.1. Forțe exterioare și interioare

Corpurile sunt alcătuite din atomi și molecule și își păstrează formă și dimensiunile datorită forțelor de atracție interioare care există între aceste părți infinit de mici.

Sub acțiunea unor forțe aplicate din exterior, corpurile se deformează, modificându-se astfel distanțele dintre molecule și valorile forțelor de atracție dintre acestea. Forțele aplicate din afară, datorită căror se produc aceste modificări, se numesc *forțe exterioare*.

Forțele exterioare sunt fie de suprafață, cind provin din acțiunea reciprocă a corpuri prin contact direct, fie de volum, cind provin din greutatea proprie, inertie, atracție magnetică etc. Aceste forțe mai poartă denumirea de *sarcini*. Sarcinile se pot clasifica după mai multe criterii:

— După modul cum sunt distribuite pe o suprafață, sarcinile pot fi: *concentrate*, cind se transmit la un corp prin intermediul unei suprafețe de dimensiuni foarte mici, și *distribuite*, cind sunt aplicate în mod continuu pe o anumită lungime sau suprafață a corpului. Un exemplu de forță concentrată îl constituie forța de apăsare a roților unui tren pe sănă. Ca sarcină distribuită poate fi considerată greutatea proprie a unei grinzi. Sarcinile concentrate se măsoară în newtoni (N), iar cele distribuite în newtoni pe unitatea de suprafață sau de lungime (N/m^2 , N/m).

— După modul în care sunt aplicate unui corp, sarcinile pot fi *statice* și *dinamice*. Sarcinile statice sunt aceleia căror aplicare se face de la valoarea zero la valoarea lor de lucru în timp mai lung. Sarcinile dinamice sunt aceleia ce rezultă din mișcarea corpului (forțele de inertie), din variația periodică în timp a valorii forțelor aplicate (forțele de oboseală) sau din aplicarea bruscă a unei sarcini asupra unui corp.

Un exemplu de corp (piesă) solicitat la forțe de inertie este biela unui motor în funcțiune sau cablul unui ascensor în momentul pornirii acestuia. Tija pistonului unei mașini cu abur este solicitată la oboseală datorită inertiilor și compresiunii la care este supusă de variația presiunii aburului din cilindrul mașinii. Exemplu de aplicare bruscă a sarcinii este căderea berbecului asupra pilonilor la baterea acestora sau căderea unui ciocan pe o nicovală.

Cind corpurile sunt sub acțiunea sarcinilor statice, se spune că sunt supuse la *solicitări statice*, iar cind sunt sub acțiunea sarcinilor dinamice, la *solicitări dinamice*.

Forțele interioare sau eforturile reprezentă forțele suplimentare ce se adaugă celor de atracție și care cauță să restabilească echilibrul corpului asupra căruia acționează forțe exterioare.

Valoarea acestor forțe se determină prin secționarea corpului, în locul în care interesează, în două părți distincte.

În figura 1.1, a este reprezentat un corp asupra căruia acționează o serie de sarcini. Dacă se secționează acest corp cu un plan imaginär P , pentru menținerea în echilibru a uneia sau alteia din părți este necesar ca pe fiecare element de suprafață al secțiunii să existe niște forțe interioare elementare. Însumind aceste forțe pe toată suprafața și considerindu-se reduse convențional în centrul de greutate G al acesteia, se obține o forță rezultantă \bar{R} și un cuplu \bar{C} (fig. 1.1, b).

Conform principiului acțiunii și reacțiunii, rezultantele \bar{R} și \bar{C} sunt egale și de sens contrar pe cele două fețe ale secțiunii.

Considerind numai partea din dreapta a corpului, eforturile \bar{R} și \bar{C} se pot calcula din condițiile de echilibru din mecanică, aplicate părții de corp cărora le aparțin.

Solicitări simple și compuse. Eforturile \bar{R} și \bar{C} se descompun în componente situate în planul secțiunii și perpendicular pe el. Se obțin astfel componente \bar{N} și \bar{T} pentru rezultanta \bar{R} și \bar{M}_t respectiv \bar{M}_r pentru cuplul \bar{C} .

Fiecare din aceste componente are o anumită denumire și, luată separat, produce asupra corpului o *solicitare simplă*.

Astfel: N , numită *forță axială*, produce *solicitarea de întindere* cind are sensul de pe figură sau de *compresiune* dacă are sens contrar;

T , numită *forță tăietoare*, produce *solicitarea de forfecare*;

M_t , numit *moment incovoiitor*, produce *solicitarea de incovoiere*;

M_r , numit *moment de răsucire*, produce *solicitarea de răsucire*.

În practică se întâlnesc multe piese solicitate la întindere sau compresiune. Între acestea se menționează cablurile, lanțurile, conductoarele pentru transportul energiei electrice etc.

Solicitarea de forfecare se întâlnește la nituri, șuruburi, la îmbinările sudate, la tăierea tablelor etc.

Solicitarea de incovoiere se întâlnește în toate cazurile în care există grinzi încărcate cu sarcini transversale, cum ar fi, de exemplu, osia unui wagon, arcul în foi, tablierele unui pod etc. (fig. 1.2, a, c).

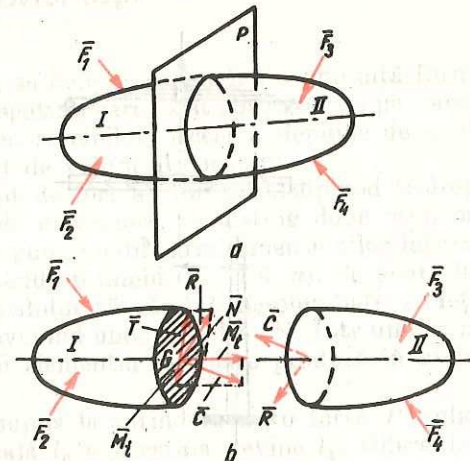


Fig. 1.1. Corp supus acțiunii unor sarcini.

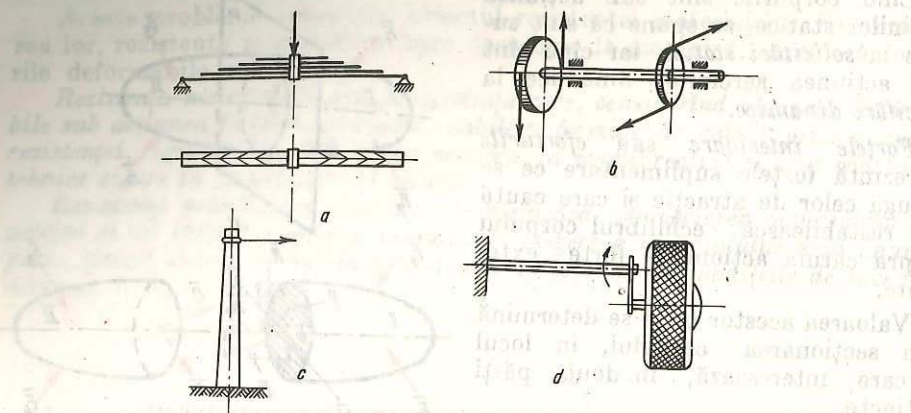


Fig. 1.2. Exemple de piese supuse la solicitări simple:
a, c - la încovoiere; b, d - la răsucire.

Solicitarea de răsucire are loc la arborii de transmisie, la arcurile elicoidale, la barele de torsiune etc. (fig. 1.2, b, d).

În cazul în care un corp este supus simultan la cel puțin două solicitări simple, se spune că este supus unei *solicitări compuse*.

1.2.2. Tensiuni

Forțele interioare dintr-o secțiune oarecare a unui corp solicitat cu o serie de sarcini sunt rezultantele unor forțe elementare care acționează pe fiecare element de suprafață al secțiunii (fig. 1.3).

Notind o asemenea forță elementară cu $\Delta\bar{F}$ și aria suprafeței elementare pe care acționează cu ΔA , intensitatea acestei forțe este caracterizată de raportul

$$\bar{p} = \frac{\Delta\bar{F}}{\Delta A}, \quad (1.1)$$

care se numește *tensiune*. Unitatea de măsură a acestei mărimi este newton pe metru pătrat (N/m^2) care, în sistemul de unități de măsură SI, poartă denumirea de Pascal și se simbolizează cu Pa.

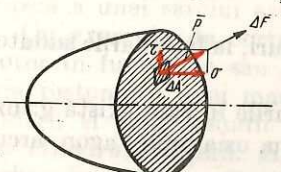


Fig. 1.3. Tensiuni pe secțiune.

Tensiunea \bar{p} are direcția forței care o produce și, dacă aceasta este inclinată pe suprafață pe care acționează, vectorul \bar{p} va fi inclinat pe această suprafață. În acest caz, \bar{p} se poate descompune în două componente, una cuprinsă în planul secțiunii, numită *tensiune tangențială*, care se notează de obicei cu τ , și altă perpendiculară pe secțiune, numită *tensiune normală*, notată cu σ .

1.2.3. Deformații

Corpurile, sub acțiunea sarcinilor, se deformă, luând o anumită formă. Practic, interesantă în mod deosebit legătura care există între forma pe care o are corpul înainte și după acționarea sarcinilor. Aceasta depinde de modul în care se deformă fiecare element de volum al corpului.

Presupunând un asemenea element de formă unui paralelipiped tridimensional și analizând posibilitățile lui de deformare, se disting două asemenea posibilități. Una dintre acestea presupune modificarea dimensiunilor laturilor, păstrându-se forma de paralelipiped tridimensionáln (fig. 1.4, a). Se poate însă ca dimensiunile laturilor paralelipipedului să rămână neschimbate și fețele acestuia să lunece, paralelipipedul devenind oblic (fig. 1.4, b). Într-un caz mai general, deformarea paralelipipedului elementar se poate produce în ambele moduri.

Alungirea. Dacă un corp este supus la întindere de o forță P aplicată în axa lui (fig. 1.5), lungimea initială l_0 a acestuia devine l_1 . Diferenta de lungime $\Delta l = l_1 - l_0$ se numește *lungire*.

O măsură a lungirii unui corp solicitat în acest mod o dă lungirea unității de lungime denumită și *lungire specifică* sau *alungire*, care se notează cu ϵ și se obține din relația

$$\epsilon = \frac{\Delta l}{l_0} = \frac{l_1 - l_0}{l_0}, \quad (1.2)$$

ϵ fiind adimensional.

În practică, deoarece această mărime are valori foarte mici, se folosesc mărimea $\epsilon \cdot 100\% = 100 \cdot \epsilon$.

Contraction transversală. La majoritatea materialelor, o dată cu lungirea acestora, are loc o micșorare a secțiunii transversale (fig. 1.5).

Astfel, de exemplu, dacă secțiunea barei este dreptunghiulară de dimensiuni initiale b_0 și h_0 care, după încărcare, devin b_1 și h_1 , variația acestora este

$$\Delta h = h_1 - h_0;$$

$$\Delta b = b_1 - b_0,$$

iar *contracția transversală*:

$$\epsilon_t = \frac{\Delta h}{h_0} = \frac{\Delta b}{b_0}. \quad (1.3)$$

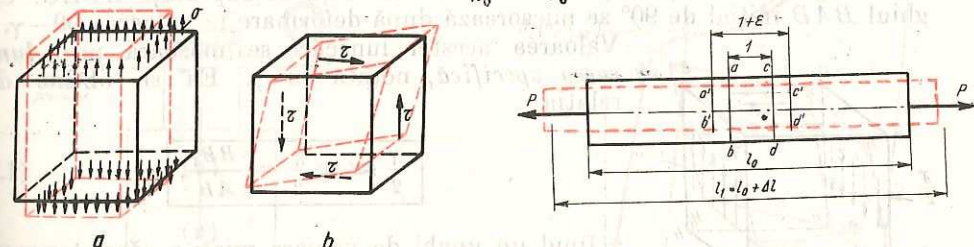


Fig. 1.4. Posibilități de deformare a unui corp:

Fig. 1.5. Deformarea unui corp prin întindere.

Experimental, s-a constatat că contracția transversală este proporțională cu alungirea, conform relației

$$\varepsilon_t = -v\varepsilon \quad (1.4)$$

în care v poartă denumirea de *coeficient de contracție transversală*.

Practic, pentru majoritatea materialelor, valoarea acestui coeficient este $v \approx 0,3$.

În tabelul 1.1 sunt date valorile acestui coeficient pentru cîteva materiale.

Valorile constantelor E, G și v pentru unele materiale

Denumirea materialului	Modulul de elasticitate longitudinal E MPa	Modulul de elasticitate transversală G MPa	Coeficientul de contracție transversală v
Otel	$(2-2,2)10^5$	$8,1 \cdot 10^4$	$0,25-0,3$
Fontă	$(1,2-1,6)10^5$	$4,5 \cdot 10^4$	$0,2-0,27$
Cupru laminat	$(1,1-1,3)10^5$	$4,9 \cdot 10^4$	—
Alamă	$(0,9-1)10^5$	$(3,5-3,7)10^4$	—
Duraluminiu	$(0,7-0,75)10^5$	$(2,6-2,7)10^4$	$0,32-0,42$
Zidărie de cărămidă	$(0,025-0,030)10^5$	—	—
Beton	$(0,15-0,23)10^5$	—	—
Lemn — în lungul fibrelor	$(0,09-0,12)10^5$	$(0,045-0,035)10^4$	$0,16$
Lemn — perpendicular pe fibre	$(0,004-0,01)10^5$	$(0,045-0,065)10^4$	—
Cauciuc	$0,00008 \cdot 10^5$	—	$0,47$

Dacă bara, în loc să se întindă, se comprimă, atunci deformarea are loc în sensul scurtării ε , iar în secțiunea transversală are loc o umflare a acesteia, relația (1.4) rămînind valabilă.

Lunecarea. Deformația de lunecare transformă un element de volum avînd forma unui paralelipiped tridreptunghi într-un element avînd forma unui paralelipiped oblic, fără modificarea lungimii laturilor.

În figura 1.6, suprafața $BCEF$ a lunecat față de suprafața $ADHG$. Unghiul BAD inițial de 90° se micșorează după deformare la valoarea $90 - \gamma$.

Valoarea acestei lunecări se măsoară prin *lunecarea specifică*, notată cu γ . Ea se obține din relația

$$\frac{\gamma}{2} \approx \operatorname{tg} \frac{\gamma}{2} = \frac{BB_1}{AB}, \quad (1.5)$$

γ fiind un unghi de valoare mică a cărui tangentă este egală cu unghiul exprimat în radiani.

Lunecarea specifică se măsoară în radiani și reprezintă micșorarea unghiului inițial de 90° .

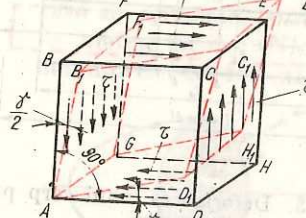


Fig. 1.6. Deformarea unui corp prin lunecare.

1.2.4. Relația dintre tensiuni și deformații.

Curba caracteristică. Legea lui Hooke

Datorită acțiunii unor forțe exterioare, un corp se deformează și în interiorul lui iau naștere tensiuni.

Pentru unul și același material, între tensiunile și deformațiile produse, există o legătură, la o anumită tensiune corespunzînd o anumită valoare a deformației.

Această legătură se determină experimental pentru încercarea de întindere, conform STAS 200-75, cu ajutorul unei mașini de incercat, prezentată schematic în figura 1.7. În acest scop, se execută o epruvetă E din materialul de incercat, de o anumită formă și dimensiuni stabilite prin standarde, ale cărei capete se introduc între bâcurile F ale unei mașini. Punindu-se în funcțiune mașina, epruveta este întinsă cu o sarcină a cărei valoare crește lent datorită presiunii exercitate asupra pistonului P din cilindrul C . În timpul încercării, se citesc o serie de valori succesive ale sarcinii la manometrul M gradat corespunzător pentru măsurarea sarcinilor și se măsoară creșterile corespunzătoare lungimii initiale marcate pe epruvetă înainte de începerea încercării.

Dacă se reprezintă grafic, într-un sistem de axe perpendiculare, variația tensiunii ce ia naștere în epruvetă funcție de alungire, se obține o curbă denumită *curba caracteristică a materialului* respectiv.

În cazul încercării unei epruvete executate din oțel moale cu un conținut mic de carbon, curba caracteristică are forma din figura 1.8.

Domeniul de proporționalitate. Modulul de elasticitate. Prima parte a curbei caracteristice pînă în punctul a este o linie dreaptă, tensiunile fiind proporționale cu deformațiile, ceea ce se exprimă prin relația

$$\sigma = E\varepsilon, \quad (1.6)$$

E fiind un factor de proporționalitate, care se numește *modul de elasticitate longitudinal*, exprimat în Pa.

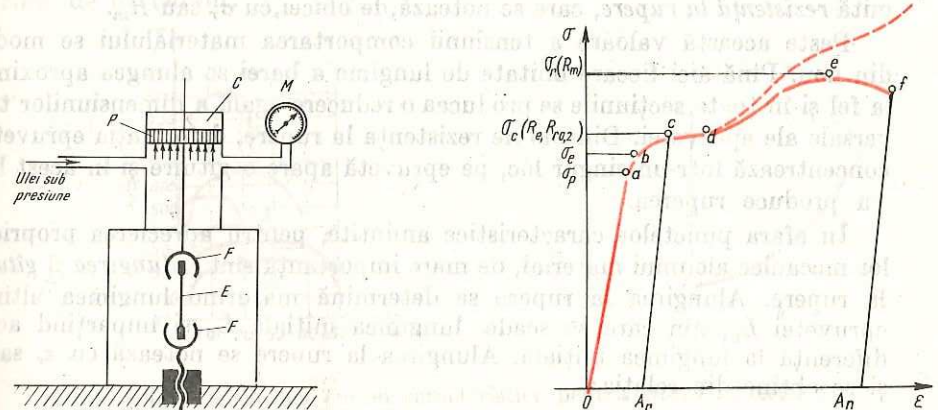


Fig. 1.7. Schema unei mașini de incercat.

Fig. 1.8. Curba caracteristică a oțelului moale.

Relația aceasta, care este una din relațiile de bază din rezistența materialelor, este cunoscută și sub denumirea de *legea lui Hooke*.

Valorile modulelor de elasticitate pentru cîteva materiale folosite în tehnica sunt date în tabelul 1.1.

Valoarea corespunzătoare tensiunii normale în punctul *a* se notează de obicei σ_p și se numește *limită de proporționalitate*.

Domeniul de elasticitate. Continuind întinderea bărei pînă la o anumită valoare a tensiunii normale cunoscută sub denumirea de *limită elastică* notată de obicei cu σ_e , materialul se comportă elastic, epruveta, după îndepărțarea din mașină, revenind la dimensiunile inițiale.

Deoarece materialele în realitate nu sunt perfect elastice, din punct de vedere tehnic se consideră că limita elastică a unui material se atinge atunci cînd, după descărcarea epruvetei, aceasta rămîne cu o deformatie permanentă de 0,01%.

Dincolo de această valoare se intră într-un alt domeniu de comportare a materialului în care epruveta, după îndepărțarea sarcinilor ce o întind, nu mai revine la dimensiunile inițiale, ci rămîne cu o deformatie permanentă. Acest domeniu este cunoscut sub denumirea de *domeniu plastic*.

Zona de curgere. Dincolo de limita elastică, deformatiile cresc mai repede decît tensiunile. La o anumită valoare a forței de întindere corespunzătoare ordonatei punctului *c*, deformatia barei crește fără ca forța de întindere să crească sensibil, materialul „curge“. Pe diagramă acest lucru apare ca o porțiune aproape orizontală *c-d*. Valoarea tensiunii normale corespunzătoare acestei zone de curgere se numește *limită de curgere aparentă* și se notează cu σ_c sau R_e .

Zona de curgere *c-d* nu se observă la toate materialele. În astfel de cazuri, ca *limită de curgere tehnică* se consideră tensiunea normală căreia îi corespunde o alungire remanentă prescrisă $A_r = 0,2\%$. Această valoare poartă numele de *limită de curgere remanentă* și se notează cu $R_{r0,2}$.

Zona deformațiilor mari. Ruperea. Dincolo de această zonă, tensiunile normale cresc pînă la o anumită valoare maximă (punctul *e* pe diagramă), denumită *rezistență la rupere*, care se notează de obicei cu σ_u sau R_m .

Peste această valoare a tensiunii comportarea materialului se modifică din nou. Pînă aici fiecare unitate de lungime a barei se alungea aproximativ la fel și în toate secțiunile se producea o reducere egală a dimensiunilor transversale ale epruvetei. Dincolo de rezistență la rupere, deformatia epruvetei se concentrează într-un singur loc, pe epruvetă apare o gîtuire și în acest loc se va produce ruperea.

În afara punctelor caracteristice amintite, pentru aprecierea proprietăților mecanice ale unui material, de mare importanță sunt *alungirea și gîtuirea la rupere*. Alungirea la rupere se determină măsurind lungimea ultimă a epruvetei L_u , din care se scade lungimea inițială L_0 , și împărțind această diferență la lungimea inițială. Alungirea la rupere se notează cu ϵ_r sau A_r și se obține din relația:

$$A_r = \frac{L_u - L_0}{L_0} \cdot 100. \quad (1.7)$$

Gîtuirea la rupere se notează cu *Z* și este dată de relația:

$$Z = \frac{S_0 - S_u}{S_0} \cdot 100, \quad (1.8)$$

S_u fiind aria secțiunii la rupere, iar S_0 aria secțiunii inițiale.

Această valoare oglindește proprietățile unui material de a se deforma sub sarcină.

Curba caracteristică convențională și reală. Trebuie precizat că, pentru curba caracteristică construită, în ordonată s-au figurat tensiunile normale $\sigma = \frac{F}{S_0}$, F fiind sarcina cu care este întinsă epruveta și S_0 — aria secțiunii inițiale a acesteia, măsurată între reperele ce determină lungimea inițială L_0 , iar în abscisă $\epsilon = \frac{\Delta L}{L_0}$, ΔL fiind lungirea corespunzătoare lungimii inițiale a epruvetei.

Această reprezentare poartă numele de *curbă caracteristică convențională*, deoarece atât tensiunile normale cît și alungirile se referă la dimensiunile inițiale ale epruvetei.

Dacă se ridică curba caracteristică, raportindu-se sarcina și lungirea corespunzătoare la dimensiunile efective ale epruvetei sub sarcină, se obține *curba caracteristică reală* a materialului, reprezentată pe figura 1.8 cu linie întreruptă.

Alura acestei curbe explică faptul că, în realitate, tensiunile normale cresc mereu pînă la ruperea epruvetei.

Practic, pe porțiunea care interesează, pînă la limita de curgere, cele două curbe caracteristice se suprapun și, deoarece în calcule este mai ușor să se lucreze cu dimensiunile inițiale, se folosește în mod obișnuit curba caracteristică convențională.

Factorii care determină sau influențează caracteristicile mecanice ale unui material. Natura materialului. Valorile caracteristicilor mecanice și forma curbei caracteristice diferă de la un material la altul.

În figura 1.9, *a*, *b* sunt reprezentate curbele caracteristice ale cîteva materiale de uz curent.

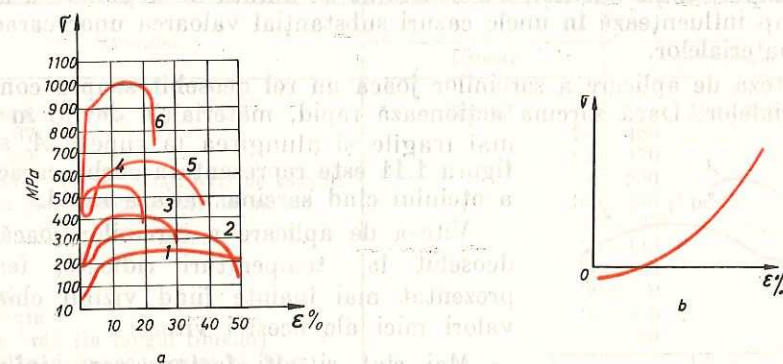


Fig. 1.9. Forma curbei caracteristice pentru cîteva materiale:

a — metale; *1* — alumă moale; *2* — oțel cu conținut redus de carbon; *3* — bronz dur; *4* — oțel laminat la rece; *5* — oțel cu conținut mediu de carbon; *6* — oțel călit cu conținut mediu de carbon; *b* — fibre textile.

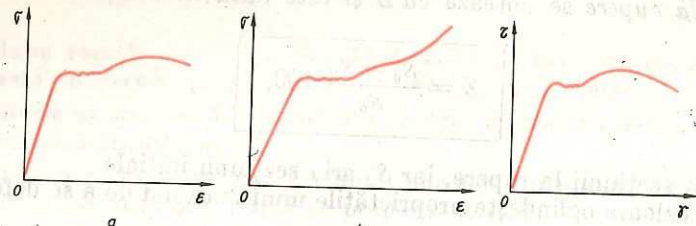


Fig. 1.10. Forma curbelor caracteristice ale oțelului moale la diverse solicitări: a – la întindere și încovoiere; b – la compresiune; c – la răscuire.

Curbele caracteristice pentru marea majoritate a materialelor, cu excepția celor ale oțelului și lemnului, nu prezintă porțiunea de linie dreaptă reprezentată de legea lui Hooke.

Modul de solicitare. Același material poate avea pentru diverse solicitări curbe caracteristice analoage ca aspect, dar valori diferite pentru caracteristicile mecanice ale acestora. Așa, de exemplu, în figura 1.10 sunt reprezentate pentru oțelul moale curbele caracteristice de întindere, compresiune, încovoiere și răscuire.

La solicitarea de răscuire, curba caracteristică se ridică în coördonate τ , γ , iar legea lui Hooke, în acest caz, se scrie sub forma

$$\tau = G\gamma, \quad (1.9)$$

unde G este **modul de elasticitate transversal**, ce se măsoară în Pa, ale cărui valori sunt prezentate în tabelul 1.1.

Temperatura. Caracteristicile mecanice ale materialelor se determină, în general, în condiții normale, adică în jurul temperaturii de 20°C și cu viteze de încărcare și de deformare ale materialelor relativ mici. Materialele însă lucrează uneori în condiții de temperatură mult diferite de condițiile normale, la temperaturi foarte ridicate (camera de combustie la motoarele cu reacție sau rachete) sau la temperaturi foarte scăzute (elemente de mașini frigorifice, recipiente conținând gaze lichide). În aceste condiții, caracteristicile mecanice ale materialelor variază cu temperatura.

Timpul. Experimental, s-a constatat că durata de acționare a sarcinilor în timp influențează în unele cazuri substanțial valoarea unor caracteristici ale materialelor.

Viteza de aplicare a sarcinilor joacă un rol deosebit asupra comportării materialelor. Dacă sarcina acționează rapid, materialele devin, în general, mai fragile și alungirea la rupere A , scade. În figura 1.11 este reprezentată curba caracteristică a oțelului cînd sarcina variază rapid.

Viteza de aplicare a sarcinilor joacă un rol deosebit la temperaturi ridicate, fenomenul prezentat mai înainte fiind vizibil chiar și la valori mici ale acestei viteze.

Mai sunt și alți factori care influențează caracteristicile elastice și mecanice ale unui material cum ar fi: compozitia chimică, tehnologia de fabricație, tratamentul termic aplicat și.a.

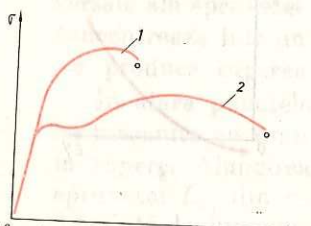


Fig. 1.11. Comportarea oțelului moale la sarcini aplicate static (1) și la variația rapidă a acestora (2).

1.2.5. Rezistențe admisibile. Coeficienți de siguranță

Pentru că o piesă să nu se rupă sau să nu capete deformații permanente care ar face inutilizabilă mașina sau construcția din care face parte, este necesar ca tensiunile care iau naștere în ea să aibă o valoare mai mică decit rezistența admisibilă:

Rezistență admisibilă, care se notează, de obicei, cu σ_a , reprezintă valoarea maximă pe care trebuie să o aibă tensiunile într-o piesă. Valoarea acesteia este mai mică decit valoarea limită ce produce starea periculoasă care scoate mașina sau construcția din uz.

Valoarea care arată de cite ori este mai mică rezistența admisibilă decit cea limită se numește **coeficient de siguranță** și se determină din relația

$$c = \frac{\sigma_{lim}}{\sigma_a}. \quad (1.10)$$

Valoarea σ_{lim} cu care se compară rezistența admisibilă poate fi, după caz, rezistența la rupere $\sigma_r(R_m)$ sau limita de curgere $\sigma_c(R_{c0,2})$ a unui material.

Pentru calculele de rezistență, valorile rezistențelor admisibile sau ale coeficienților de siguranță se stabilesc ținându-se seamă de o serie de factori, printre care: natura materialului, felul solicitării piesei, exactitatea stabilirii sarcinilor la care piesa urmează să fie supusă, modul de acționare a sarcinilor în timp, durata de lucru a piesei, temperatura de lucru a acesteia etc.

În tabelul 1.2 se dă valorile rezistențelor admisibile la întindere și compresiune pentru cîteva materiale.

Pentru alte tipuri de solicitări, rezistența admisibilă se determină, în general, în raport cu limita de curgere la întindere a materialului.

TABELUL 1.2

Rezistențe admisibile pentru diverse materiale

Materialul	σ_a , MPa	
	Întindere	Compresiune
Fontă cenusie	28–80	120–150
Oțel OL 37	140–150	
Oțel OL 50	150–170	
Oțel carbon pentru construcții de mașini	60–250	
Oțel aliat pentru construcții de mașini	100–400 și peste	
Cupru	30–120	
Alamă	70–140	
Bronz	60–120	
Aluminiu	30–80	
Duraluminiu	80–150	
Lemn de brad (în lungul fibrelor)	7–10	
Lemn de brad (perpendicular pe fibre)		1,5–2
Lemn de fag (în lungul fibrelor)	9–13	
Lemn de fag (perpendicular pe fibre)		2–3,5
Cărămidă		0,6–2,5
Beton	pînă la 0,2	1–9
	0,1–0,7	

INTINDEREA ȘI COMPRESIUNEA

2.1. FORTĂ AXIALĂ. DIAGRAME DE FORTE AXIALE

Întinderea sau compresiunea unei bare drepte are loc atunci cînd forțele care acționează asupra ei au punctele de aplicăție pe axa barei (axa centrelor de greutate ale secțiunilor transversale) și direcția acestei axe.

În figura 2.1, a este reprezentată o bară dreaptă de secțiune constantă, asupra căreia acționează sarcini egale cu P și de sens contrar, aplicate în centrele de greutate ale secțiunilor de la capete și orientate după axa barei.

Dacă aceste forțe sunt dirijate către exterior ca în figură, se zice că bara este solicitată la întindere, iar dacă sunt dirijate către interior, bara este solicitată la compresiune.

Pentru a se afla valoarea tensiunilor, este necesar mai înainte să se determine valoarea forțelor interioare. Pentru aceasta, se secționează bara solicitată, printr-un plan oarecare $m - n$, perpendicular pe axă, împărțindu-se astfel bara în două părți (fig. 2.1, b). Se îndepărtează una din părți și se înlocuiește efectul ei asupra părții rămase cu o forță interioară, care să-i mențină echilibrul. Această forță interioară, care este rezultanta tuturor tensiunilor ce acționează pe secțiune, situată tot în axa barei, se numește *forță axială* și se notează cu N . Ea este de sens contrar cu sarcina P care acționează în capătul barei. Se poate scrie deci

$$N = P.$$

Valoarea cea mai mare a tensiunii are loc acolo unde forță axială are valoarea cea mai mare.

În cazul în care o asemenea bară este încărcată cu sarcini axiale și între cele două capete ale sale, forța axială nu mai are aceeași valoare pe toată lungimea barei, ci valori diferite pe diferite intervale. Valoarea forței axiale într-o secțiune oarecare se determină, de asemenea, prin metoda secțiunilor.

Astfel, de exemplu, se consideră grinda din figura 2.2 încărcată axial cu sarcinile $P_1 = 70 \text{ kN}$ și $P_2 = 50 \text{ kN}$, situate la distanță de 1 m una de alta. Se cere să se

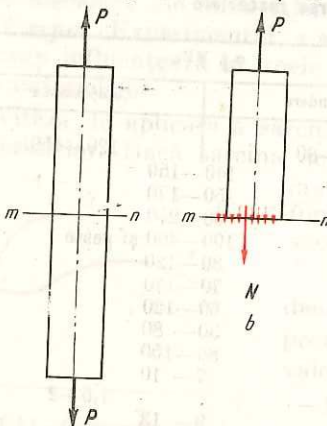


Fig. 2.1. Bară solicitată la întindere
a – supusă sarcinilor P ; b – supusă sarcinii P și efortului N .

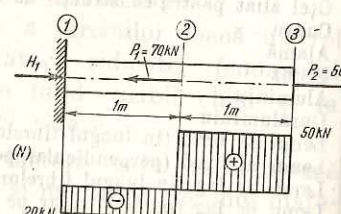


Fig. 2.2. Grindă solicitată de mai multe sarcini axiale.

calculeze eforturile pe secțiune și să se reprezinte grafic variația acestora în jungul grinziei.

Se calculează mai întii reacțiunea H_1 , scriind ecuația de echilibru a forțelor pe orizontală (axa Ox). Se obține

$$\Sigma X = 0; H_1 - P_1 + P_2 = 0.$$

Rezultă

$$H_1 = P_1 - P_2 = 70 - 50 = 20 \text{ kN}.$$

Se scrie, apoi, forță axială pe diverse intervale de pe grindă aplicîndu-se metoda secțiunilor.

Astfel, de exemplu, dacă se secționează bara între punctele de aplicăție ale forțelor H_1 și P_1 și se îndepărtează partea grinziei situate la dreapta acestei secțiuni, pentru menținerea echilibrului părții din stînga, forță interioară este

$$N_{12} = H_1 = -20 \text{ kN}.$$

Procedîndu-se la fel și pentru intervalul 2–3, se obține forță axială pe acest interval egală cu

$$N_{23} = -H_1 + P_1 = -20 + 70 = 50 \text{ kN}.$$

Se observă că *forța axială într-o secțiune oarecare este egală cu suma proiecțiilor pe axa barei a tuturor forțelor situate de o parte a secțiunii (sau suma celor din partea opusă, cu convenția de semne schimbate pentru a respecta ecuația de echilibru).* Convențional, forță axială se consideră pozitivă cînd întinde porțiunea de bară pe care acționează și negativă cînd o comprimă.

Luîndu-se o axă de referință paralelă cu axa barei și reprezentîndu-se la o anumită scară deasupra axei valorile pozitive și dedesupră cele negative, se obține diagrama (N) din figura 2.2. Reprezentarea astfel obținută se numește *diagramă de forțe axiale*.

2.2. TENSIUNI NORMALE LA ÎNTINDERE SAU COMPRESIUNE

Sub acțiunea acestor forțe axiale, bara se deformează, lungindu-se sau scurtîndu-se. Dacă pe suprafața laterală a barei se trasează, înainte de aplicarea sarcinilor, conturul a două secțiuni transversale situate la o oarecare distanță una de celală și apoi se aplică sarcinile, după cum s-a arătat mai sus, se constată că distanța dintre cele două contururi s-a schimbat, dar contururile au rămas în același plan. Aceasta înseamnă că lungirile tuturor fibrelor de pe contur sunt egale între ele. Admitîndu-se acest lucru ca valabil și pentru partea nevăzută a secțiunilor, se poate considera că, în cazul solicitării la întindere sau compresiune, este valabilă ipoteza lui Bernoulli, după care o secțiune plană și normală înainte de deformare rămîne plană și normală și după deformare. Rezultă astfel că tensiunile care, conform legii lui Hooke, sunt proporționale cu alungirile, sunt distribuite uniform pe secțiune. Local, în secțiunile în care se aplică sarcinile, tensiunile nu se repartizează uniform dar, la o distanță mică de acestea, repartiția lor devine uniformă pe secțiune.

Tensiunile au direcția perpendiculară pe secțiune, sint deci tensiuni normale și se notează cu σ_t pentru întindere și cu σ_c pentru compresiune. Deoarece aceste tensiuni sunt distribuite uniform pe secțiune, valoarea lor se obține din relația

$$\sigma_t = \frac{N}{A}. \quad (2.1)$$

Condiția de rezistență a barei cere ca această valoare să fie mai mică decit rezistența admisibilă σ_{at} .

Cu relația (2.1) se poate calcula aria secțiunii transversale A , dacă se cunoaște forța de întindere și se alege valoarea rezistenței admisibile. În acest caz, relația folosește la dimensionare și se scrie sub forma

$$A_{nec} \geq \frac{N}{\sigma_{at}}. \quad (2.2)$$

Atunci cînd sunt cunoscute forțele exterioare care acționează asupra barei și dimensiunile acesteia, relația (2.1) poate folosi la verificarea tensiunilor ce iau naștere pe secțiune și se scrie sub forma

$$\sigma_{ef} = \frac{N_{ef}}{A_{ef}} \leq \sigma_{at}. \quad (2.3)$$

Cind se cunosc dimensiunile secțiunii transversale și materialul din care este executată piesa, cu ajutorul relației (2.1) se poate calcula sarcina pe care o poate suporta.

În acest caz, relația se scrie sub forma

$$N_{cap} = \sigma_{at} A_{ef} \geq N_{ef}. \quad (2.4)$$

EXEMPLU DE CALCUL

1. Se cere să se dimensioneze o bară de oțel de secțiune pătrată, solicitată la întindere cu o forță $P = 56$ kN.

Pentru această bară se alege un oțel OL 37, STAS 500-1-78, a cărui rezistență admisibilă se ia din tabelul 1.2 pentru solicitarea la întindere, egală cu $\sigma_{at} = 140$ MPa.

Rezolvare:

Aria secțiunii transversale este dată de relația

$$A_{nec} = \frac{P}{\sigma_{at}} = \frac{56000}{140 \cdot 10^6} = 4 \cdot 10^{-4} \text{ m}^2.$$

Notind cu a latura pătratului secțiunii, se obține

$$a = 2 \cdot 10^{-2} \text{ m} = 20 \text{ mm}.$$

2. Se cere să se verifice un tirant de oțel pentru care se dau:

- forță de întindere $P = 60$ kN;
- aria secțiunii transversale $A_{ef} = 6 \cdot 10^{-4} \text{ m}^2$;
- rezistența admisibilă $\sigma_{at} = 140$ MPa.

Rezolvare:

Pentru acest caz, $N_{ef} = P$; aplicând relația (2.3), se obține

$$\sigma_{ef} = \frac{N_{ef}}{A_{ef}} = \frac{60000}{6 \cdot 10^{-4}} = 100 \text{ MPa} < \sigma_{at}.$$

3. Se cere să se determine sarcina capabilă la o bară de oțel de secțiune circulară, avind diametrul de 50 mm, dacă $\sigma_{at} = 120$ MPa.

Rezolvare:

Sarcina capabilă se obține din relația (2.4):

$$N_{cap} = \sigma_{at} A_{ef} = 120 \cdot 10^6 \frac{\pi \cdot 0,05^2}{4} = 235560 \text{ N} = 235,56 \text{ kN}.$$

2.3. SECȚIUNE BRUTĂ, NETĂ ȘI PERICULOASĂ

Există piese a căror secțiune nu este constantă pe toată lungimea. În figura 2.3 este reprezentată o platbandă de secțiune dreptunghiulară, de lățime b și grosime s solicitată la întindere cu o forță P , în care s-au practicat: în secțiunea $m-n$, o gaură de diametru d , iar în secțiunea $p-r$, două găuri de același diametru d .

Se numește secțiune brută secțiunea neslăbită a acestei platbande, determinată de relația

$$A_t = bs.$$

Secțiunile din dreptul găurilor, respectiv $m-n$ și $p-r$, se numesc secțiuni nete și se determină din relațiile

$$A_{s1} = (b - d)s \text{ și, respectiv, } A_{s2} = (b - 2d)s.$$

Cea mai mică dintre aceste secțiuni, respectiv A_{s2} , se numește secțiune periculoasă.

În calculele de rezistență se ia în considerație secțiunea periculoasă a piesei.

EXEMPLU DE CALCUL

Se cere să se calculeze lățimea piesei din figura 2.3 dacă grosimea ei este $s = 10$ mm, diametrul găurilor $d = 15$ mm și sarcina $P = 14$ kN.

Platbanda fiind din oțel, se ia pentru rezistență admisibilă valoarea $\sigma_{at} = 140$ MPa.

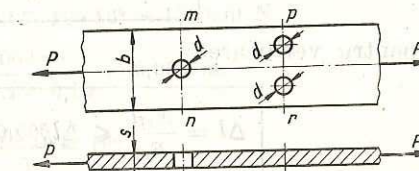


Fig. 2.3. Piesă cu o secțiune brută, două secțiuni nete ($m-n$, $p-r$) și o secțiune periculoasă ($p-r$).

Rezolvare:

Piesa se dimensionează în secțiunea periculoasă cu ajutorul relației de dimensionare:

$$A_{s_2} = \frac{P}{\sigma_{at}} = \frac{140\ 000}{140 \cdot 10^6} = 10^{-3} \text{ m}^2.$$

Dar

$$A_{s_2} = (b - 2d)s = (b - 2 \cdot 15 \cdot 10^{-3})10^{-2} = (b - 3 \cdot 10^{-2})10^{-2}.$$

Deci

$$10^{-2}(b - 3 \cdot 10^{-2}) = 10^{-3}, \text{ de unde rezultă } b = 13 \cdot 10^{-2} \text{ m.}$$

2.4. DEFORMATII SI DEPLASARI LA BARELE DREpte SOLICITATE LA INTINDERE

Dacă tensiunile normale ce se produc într-o bară dreaptă de secțiune constantă A și de lungime l solicitată la întindere nu depășesc limita de elasticitate, între tensiuni și deformări există relația

$$\sigma = E\varepsilon.$$

Înlocuindu-se în această relație $\sigma = \frac{N}{A}$ și $\varepsilon = \frac{\Delta l}{l}$,

se obține

$$\frac{N}{A} = E \frac{\Delta l}{l},$$

de unde se deduce că lungirea totală a barei Δl este

$$\boxed{\Delta l = \frac{Nl}{EA}.} \quad (2.5)$$

Din această relație se observă că lungimea totală a barei este proporțională cu lungimea acesteia și invers proporțională cu produsul EA , care poartă numele de *modul de rigiditate la întindere, respectiv modul de rigiditate la compresiune*.

Condiția de rigiditate a barei cere ca valorile lui Δl sau ε să fie mai mici decât lungimea, respectiv alungirea admisibilă (Δl_a , ε_a).

Această relație ca și relația (2.1) poate fi scrisă ca relație de dimensionare, de verificare sau determinare a forței capabile, după cum urmează:

$$\boxed{A_{nec} \geq \frac{N_{ef}l}{E\Delta l_a} = \frac{N_{ef}}{E\varepsilon_a},} \quad (2.6)$$

— pentru verificare:

$$\boxed{\Delta l = \frac{N_{ef}l}{EA} \leq \Delta l_a; \text{ sau } \varepsilon = \frac{N_{ef}}{EA} \leq \varepsilon_a,} \quad (2.7)$$

— pentru determinarea forței capabile:

$$\boxed{N_{cap} = \frac{EA_{ef}\Delta l_a}{l} = EA_{ef}\varepsilon_a.} \quad (2.8)$$

Din cele de mai sus rezultă că pentru rezolvarea unei probleme de rezistență există cîte două relații pentru dimensionare, verificare și determinarea forței capabile. De obicei, cînd se impune unei piese să răspundă și condițiile de rezistență și celei de rigiditate, se folosesc relațiile (2.1) și (2.5), alegîndu-se soluția cea mai favorabilă.

EXEMPLE DE CALCUL

1. Se cere să se dimensioneze o bară din lemn de secțiune pătrată cu latura a , lungă de 2 m, solicitată la întindere cu o forță de 25 kN, în următoarele condiții:

- rezistență admisibilă este $\sigma_{at} = 10 \text{ MPa}$;
- lungirea maximă să nu depășească $\Delta l_a = 1,5 \text{ mm}$.

Modulul de elasticitate al lemnului este $E = 10^4 \text{ MPa}$.

Rezolvare:

Din relația de dimensionare (2.2) se obține

$$A_{nec} = \frac{N}{\sigma_{at}} = \frac{25\ 000}{10 \cdot 10^6} = 25 \cdot 10^{-4} \text{ m}^2.$$

Rezultă $a = 5 \cdot 10^{-2} \text{ m} = 50 \text{ mm}$.

Din relația de dimensionare (2.6) se obține

$$A_{nec} = \frac{N_{ef}l}{E\Delta l_a} = \frac{25\ 000 \cdot 2}{10^{10} \cdot 1,5 \cdot 10^{-3}} = 33,3 \cdot 10^{-4} \text{ m}^2.$$

Rezultă $a = 10^{-2} / 33,3 = 5,76 \cdot 10^{-2} \approx 60 \text{ mm}$.

Dimensionarea răspunde ambelor condiții, dacă latura secțiunii grinzi se ia cea rezultată din condiția de rigiditate.

2. O grină din lemn avînd lungimea de 6 m și secțiunea transversală un dreptunghi cu laturile $b = 100 \text{ mm}$ și $h = 150 \text{ mm}$ este solicitată la întindere.

Să se determine forța axială maximă pe care o poate suporta dacă rezistența admisibilă la compresiune a lemnului este $\sigma_{at} = 10 \text{ MPa}$ și să se calculeze lungirea grinzi sub această sarcină, alungirea și alungirea în procente.

Se dă modulul de elasticitate longitudinal al lemnului $E = 10^4 \text{ MPa}$.

Rezolvare:

$$N_{cap} = A_{ef}\sigma_{at} = 0,10 \cdot 0,15 \cdot 10 \cdot 10^6 = 150\ 000 \text{ N.}$$

$$\Delta l = \frac{Nl}{EA} = \frac{150\ 000 \cdot 6}{10^{10} \cdot 0,15 \cdot 0,10} = 0,006 \text{ m.}$$

$$\varepsilon = \frac{\Delta l}{l} = \frac{0,006}{6} = 10^{-3}.$$

$$\varepsilon[\%] = 100\varepsilon = 10^{-1} = 0,1.$$

3. O bară din oțel cu rezistență de rupere $R_m = 420$ MPa și modulul de elasticitate longitudinal $E = 2 \cdot 10^5$ MPa, având diametrul de 10 mm este supusă la întindere. Să se calculeze forța axială necesară pentru a produce o alungire $\epsilon = 0,015\%$, coeficientul de siguranță și forța necesară pentru ruperea barei.

Rezolvare:

$$\text{Din egalitatea } \epsilon = \frac{\Delta l}{l} = \frac{N}{EA} \text{ se deduce}$$

$$N = \epsilon EA = \frac{0,015}{100} \cdot 2,1 \cdot 10^{11} \cdot \frac{\pi \cdot 0,01^2}{4} = 2500 \text{ N.}$$

Coefficientul de siguranță este

$$c = \frac{\sigma_r}{\sigma_{ef}} = \frac{R_m}{E_\epsilon} = \frac{420}{2,1 \cdot 10^{11} \cdot \frac{0,015}{100}} = \frac{420}{31,5} = 13,3,$$

iar forța necesară pentru ruperea barei,

$$N_r = R_m A_{ef} = 420 \cdot \frac{\pi \cdot 0,01^2}{4} = 33000 \text{ N.}$$

Relațiile (2.1) și (2.5), precum și cele ce decurg din ele sunt valabile și pentru barele comprimate. În cazul barelor lungi supuse la compresiune este necesară și o verificare suplimentară la stabilitate (flambaj).

2.5. TENSIUNI PRODUSE DE VARIATIA DE TEMPERATURA

La exemplele întâlnite pînă acum, tensiunile de întindere sau compresiune s-au determinat scriind condițiile de echilibru ale solidului rigid. În practică însă există o serie de elemente de construcții și organe de mașini, a căror dimensionare sau verificare nu se poate face folosindu-se numai aceste condiții; ele fac parte din categoria problemelor static nedeterminate.

Ecuatiile necesare rezolvării unei asemenea probleme se completează apelindu-se la condiția de deformatie a sistemului considerat.

O problemă static nedeterminată se rezolvă astfel:

- se stabilesc eforturile care urmează să fie determinate;
- se scriu ecuațiile de echilibru ale solidului rigid;
- se scriu ecuațiile suplimentare care, împreună cu condițiile de echilibru, trebuie să permită determinarea tuturor eforturilor necunoscute.

În cele ce urmează se tratează modul de rezolvare a unei asemenea probleme.

Un exemplu il constituie șinele sudate de cale ferată, în care, datorită variației de temperatură față de temperatura la care s-a realizat sudura și datorită faptului că alungirea sau scurtarea este impiedicată, pot lua naștere tensiuni destul de mari.

Problema se rezolvă considerindu-se (fig. 2.4) o bară de lungime l , la temperatură t_1 , încastrată la ambele capete, având aria secțiunii transversale A , modulul de elasticitate longitudinal E și coefficientul de dilatare liniară α .

Se cere să se calculeze tensiunile în condițiile în care temperatura barei crește de la t_1 la t_2 .

În aceste condiții, bara încearcă să se lungescă, căutînd să împingă cele două reazeze 1 și 2, care se vor opune cu o forță N , comprimînd bara. Această forță nu se poate determina din condițiile de echilibru static, singura condiție de echilibru ce se poate scrie conducînd la concluzia că reacțiunile din reazeze 1 și 2 sunt egale și de sens contrar. Sistemul este static, nedeterminat.

Condiția de rigiditate însă precizează că lungimea barei rămîne aceeași și după încălzirea ei. Aceasta presupune că lungirea barei produsă prin dilatare Δl_d , în cazul în care ar fi fost liberă la un capăt, este egală cu scurtarea Δl_c produsă de compresiunea barei datorită forței N . Din această condiție rezultă relația dintre aceste deplasări, și anume

$$\Delta l_d = \Delta l_c.$$

Cele două deplasări se scriu: $\Delta l_d = \alpha l(t_2 - t_1)$, respectiv $\Delta l_c = \frac{Nl}{EA}$.

Egalînd cele două deplasări, se obține

$$\frac{Nl}{EA} = \alpha l(t_2 - t_1).$$

$$\text{Deoarece } \frac{N}{A} = \sigma_c,$$

$$\text{rezultă } \sigma_c = E\alpha(t_2 - t_1). \quad (2.9)$$

Se vede din această relație că tensiunea într-o asemenea bară nu depinde de dimensiunile barei (lungimea, aria secțiunii), ci numai de natura materialului acesta (E, α) și de diferența de temperatură.

EXEMPLU DE CALCUL

Se cere să se calculeze valoarea tensiunii care ia naștere într-o șină de cale ferată supusă unei variații de temperatură de 50°C față de temperatura de montaj.

Se dau: modulul de elasticitate al materialului șinei $E = 2,1 \cdot 10^5$ MPa, coefficientul de dilatare liniară $\alpha = 12 \cdot 10^{-6}$ și rezistența admisibilă a materialului șinei $\sigma_{at} = 200$ MPa.

Rezolvare:

Aplicîndu-se relația (2.9), se obține

$$\sigma_c = E\alpha(t_2 - t_1) = 2,1 \cdot 10^{11} \cdot 12 \cdot 10^{-6} \cdot 50 = 126 \text{ MPa} < 200 \text{ MPa.}$$

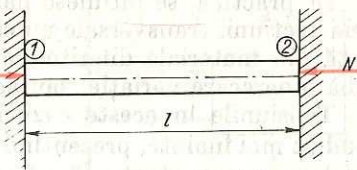


Fig. 2.4. Bară încastrată la ambele capete supusă la o variație de temperatură.

În practică, se întâlnesc bare supuse la variații de temperatură la care fie aria secțiunii transversale nu este constantă în lungul barei, fie bara este realizată din materiale diferite, sau reazemele pot permite ca lungimea barei să aibă o oarecare variație, sau aceste situații pot să aibă loc simultan.

Tensiunile în aceste cazuri se calculează în principiu la fel ca în cazul studiat mai înainte, prezintând totuși unele particularități. Astfel, de exemplu, deplasarea se calculează adunându-se deplasările părților de secțiune variașă și modifică lungimea, se scrie că suma deplasărilor datorate variației de temperatură și sarcinilor este egală cu jocul existent.

EXEMPLE DE CALCUL

1. O bară este executată din două porțiuni din materiale diferite, care au aceeași lungime l și aceeași secțiune A , module de elasticitate E_1 și E_2 , și coeficienții de dilatare liniară α_1 și α_2 . Bara este încastrată la un capăt, iar între capătul liber și reazem rămîne un rost Δl_0 (fig. 2.5). Să se calculeze tensiunile din cele două materiale atunci cind temperatura acestora crește cu Δt . Se dau:

$$\begin{aligned} E_1 &= 2,1 \cdot 10^6 \text{ MPa}; & E_2 &= 1 \cdot 10^6 \text{ MPa}; \\ \alpha_1 &= 12 \cdot 10^{-6}; & \alpha_2 &= 17 \cdot 10^{-6}; \\ \Delta l_0 &= 0,03 \text{ cm}; & l &= 0,5 \text{ m}; \\ \Delta t &= 50^\circ\text{C}; & \sigma_{at_1} &= 70 \text{ MPa}; \\ \sigma_{at_2} &= 140 \text{ MPa}; \end{aligned}$$

Rezolvare:

Datorită variației de temperatură, bara se lungeste cu

$$\Delta l_d = \alpha_1 l \Delta t + \alpha_2 l \Delta t = l \Delta t (\alpha_1 + \alpha_2).$$

Scurtarea barei datorită reacțiunilor din reazeme este

$$\Delta l_c = \frac{Nl}{E_1 A} + \frac{Nl}{E_2 A} = \frac{Nl}{A} \left[\frac{1}{E_1} + \frac{1}{E_2} \right].$$

Diferența dintre aceste deplasări este Δl_0 . Deci

$$l \Delta t (\alpha_1 + \alpha_2) - \frac{Nl}{A} \left[\frac{1}{E_1} + \frac{1}{E_2} \right] = \Delta l_0.$$

În această relație, $\frac{N}{A} = \sigma_c$ și deci

$$l \Delta t (\alpha_1 + \alpha_2) - \sigma_c \left[\frac{1}{E_1} + \frac{1}{E_2} \right] = \Delta l_0.$$

Rezultă

$$\begin{aligned} \sigma_c &= \frac{l \Delta t (\alpha_1 + \alpha_2) - \Delta l_0}{l \left[\frac{1}{E_1} + \frac{1}{E_2} \right]} = \frac{0,5 \cdot 50(12 + 17) \cdot 10^{-6} - 0,03 \cdot 10^{-2}}{0,5 \left[\frac{1}{2,1 \cdot 10^{11}} + \frac{1}{1 \cdot 10^{11}} \right]} \\ &= 57,5 \text{ MPa} < 70 \text{ MPa} \end{aligned}$$

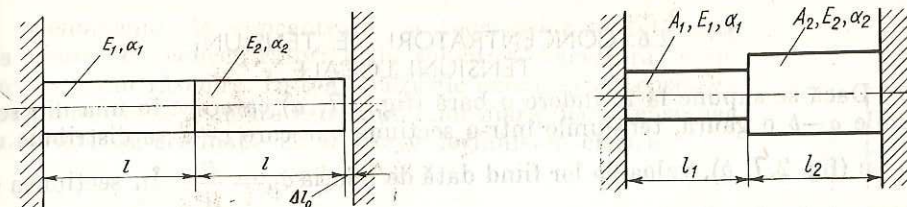


Fig. 2.5. Bară din două materiale diferite încastrată la un capăt, cu un rost la capătul liber.

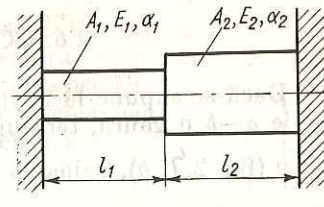


Fig. 2.6. Bară din două porțiuni de diametre, lungimi și materiale diferite.

2. Se dă bară din figura 2.6 alcătuită din două porțiuni de secțiuni, lungimi și materiale diferite. Cunoscindu-se coeficienții de dilatare liniară ai materialelor respective și variația de temperatură la care este supusă bara, să se calculeze tensiunile care iau naștere în cele două porțiuni ale acesteia. Se dau:

$$\begin{aligned} E_1 &= 2,1 \cdot 10^6 \text{ MPa}; & E_2 &= 0,7 \cdot 10^6 \text{ MPa}; \\ A_1 &= 2 \cdot 10^{-4} \text{ m}^2; & A_2 &= 4 \cdot 10^{-4} \text{ m}^2; \\ l_1 &= 0,5 \text{ m}; & l_2 &= 0,6 \text{ m}; \\ \alpha_1 &= 12 \cdot 10^{-6}; & \alpha_2 &= 24 \cdot 10^{-6}; \\ \Delta t &= 30^\circ\text{C}; \end{aligned}$$

rezolvare:

Lungirea barei datorită variației de temperatură este

$$\Delta l_d = l_1 \alpha_1 \Delta t + l_2 \alpha_2 \Delta t = \Delta t (l_1 \alpha_1 + l_2 \alpha_2).$$

Scurtarea barei prin compresiune produsă de forță N , ce ia naștere datorită împiedicării dilatării, este

$$\Delta l_c = \frac{Nl_1}{E_1 A_1} + \frac{Nl_2}{E_2 A_2} = N \left[\frac{l_1}{E_1 A_1} + \frac{l_2}{E_2 A_2} \right].$$

Din egalarea acestor deplasări se obține

$$\Delta t (l_1 \alpha_1 + l_2 \alpha_2) = N \left[\frac{l_1}{E_1 A_1} + \frac{l_2}{E_2 A_2} \right]$$

Rezultă

$$N = \frac{\Delta t (l_1 \alpha_1 + l_2 \alpha_2)}{\frac{l_1}{E_1 A_1} + \frac{l_2}{E_2 A_2}}.$$

Tensiunile normale sunt

$$\sigma_1 = \frac{N}{A_1} = \frac{\Delta t (l_1 \alpha_1 + l_2 \alpha_2)}{\frac{l_1}{E_1} + \frac{A_1}{A_2} \cdot \frac{l_2}{E_2}} = \frac{30(0,5 \cdot 12 \cdot 10^{-6} + 0,6 \cdot 24 \cdot 10^{-6})}{\frac{0,5}{2,1 \cdot 10^{11}} + \frac{2}{4} \cdot \frac{0,6}{0,7 \cdot 10^{11}}} = 135 \text{ MPa};$$

$$\sigma_2 = \frac{N}{A_2} = \frac{\Delta t (l_1 \alpha_1 + l_2 \alpha_2)}{\frac{A_2}{A_1} \cdot \frac{l_1}{E_1} + \frac{l_2}{E_2}} = \frac{30(0,5 \cdot 12 \cdot 10^{-6} + 0,6 \cdot 24 \cdot 10^{-6})}{\frac{4}{2} \cdot \frac{0,5}{2,1 \cdot 10^{11}} + \frac{0,6}{0,7 \cdot 10^{11}}} = 67,5 \text{ MPa}.$$

2.6. CONCENTRATORI DE TENSIUNI. TENSIUNI LOCALE

Dacă se supune la întindere o bară (fig. 2.7, a) care are în una din secțiunile $a-b$ o gaură, tensiunile într-o secțiune oarecare $c-d$ se distribuie uniform (fig. 2.7, b), valoarea lor fiind dată de relația $\sigma_n = \frac{P}{A}$. În secțiunea slabă $a-b$, distribuția tensiunilor nu este însă uniformă. Ea are loc ca în figura 2.7, c. Se observă că, în vecinătatea găurii, pe o porțiune destul de mică, valoarea tensiunilor este de circa trei ori mai mare decât pe restul secțiunii unde aceasta rămîne aproximativ egală cu σ_n . Datorită acestei găuri, foarte mari. Asemenea tensiuni apar într-o piesă ori de cîte ori secțiunea acesteia este slabă de existența unor aşa-numiți *concentratori de tensiuni*. Asemenea concentratori sunt, de exemplu, zgriboiele, șanțurile de pe suprafața unei bare, filetele, variația bruscă de secțiune, urmele de prelucrare a suprafețelor cu diverse scule așchieatoare etc. În figura 2.8, a,b,c sunt prezente cîteva exemple de astfel de concentratori.

Raportul dintre valoarea maximă a tensiunilor pe secțiune σ_{max} , în cazul existenței unor asemenea concentratori, și tensiunea nominală σ_n calculată ca și cum acestia n-ar exista, se numește *coeficient de concentrare* și se notează cu α_σ :

$$\alpha_\sigma = \frac{\sigma_{max}}{\sigma_n}. \quad (2.10)$$

Valorile acestor coeficienți s-au determinat pentru diverse tipuri de concentratori, în funcție de geometria piesei și a concentratorului respectiv, și se găsesc în lucrările de specialitate.

Acest fenomen de concentrare a tensiunilor este periculos pentru piesele realizate din materiale fragile, deoarece în prezența tensiunilor locale mari, ce iau naștere în asemenea împrejurări, acestea se pot rupe sau căpăta fisuri periculoase.

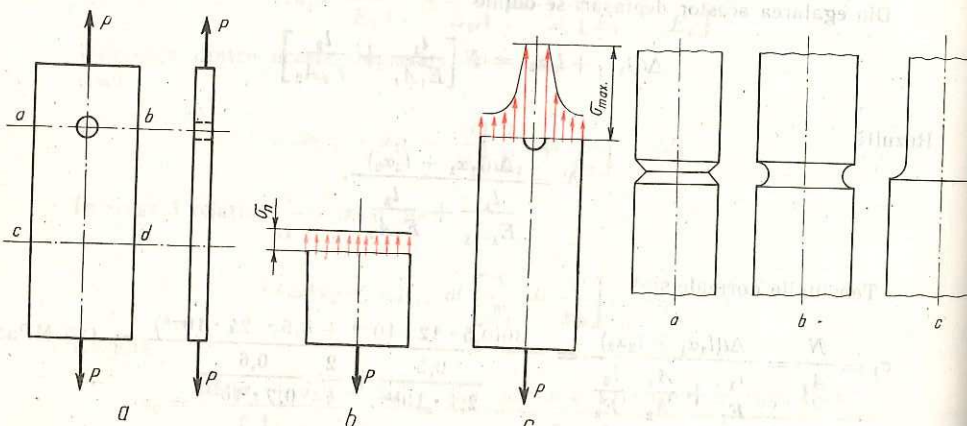


Fig. 2.7. Bară cu concentrator de tensiuni solicitată la întindere:
a — bară solicitată; b — tensiunile într-o secțiune oarecare; c — tensiunile în secțiunea cu concentrator.

Fenomenul de concentrare a tensiunilor se întâlnește la piesele cu concentratori și la solicitarea acestora la încovoiere sau răscuire. În toate cazurile există local tensiunea maximă a cărei valoare este mult mai mare decât tensiunea nominală determinată cu ajutorul formulelor clasice.

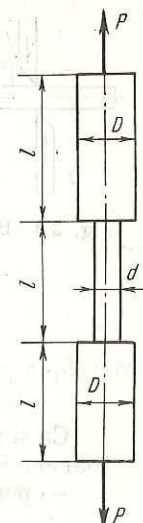


Fig. 2.9. Bară cu secțiune variabilă solicitată la întindere.

Fig. 2.8. Exemple de bare cu diverse tipuri de concentratori.

PROBLEME NEREZOLVATE

1. Se dă o bară cu diametrul $d = 20$ mm și lungimea $l = 200$ mm întinsă cu o forță $P = 40$ kN. Modulul de elasticitate longitudinal al materialului barei este $E = 2,1 \cdot 10^5$ MPa. Să se calculeze tensiunile normale ce iau naștere în bară și lungirea acesteia.

Răspuns: $\sigma_t = 127$ MPa; $\Delta l = 0,01212$ cm.

2. Ce coeficient de siguranță are o bară de oțel în care se produce o tensiune $\sigma_{ef} = 60$ MPa, dacă este executată dintr-un oțel cu $K_m = 380$ MPa.

Răspuns: $c = 6,33$.

3. Să se calculeze lungirea barei din figura 2.9 întinsă cu o forță

$P = 20$ kN dacă $l = 5$ m, $d = 1,5$ cm, $D = 2,5$ cm, și $E = 2,1 \cdot 10^5$ MPa.

Răspuns: $\Delta l = 0,463$ cm.

4. Care este înălțimea maximă pe care o poate avea un zid de cărămidă astfel încît sub greutatea proprie să nu se depășească rezistența sa admisibilă la compresiune $\sigma_{ac} = 1$ MPa, dacă densitatea cărămidă este $\rho = 1\,600$ kg/m³.

Răspuns: $h = 62,5$ m.

FORFECAREA

3.1. DEFINIȚIE, TENSIUNI TANGENȚIALE

Solicitarea de forfecare se produce la piesele de secțiune mică cînd asupra lor acționează două forțe transversale, egale și de sens contrar, perpendicularare pe axa longitudinală a pieselor respective, situate la o distanță foarte mică una de alta (fig. 3.1).

În practică, solicitarea de forfecare are loc la asamblările cu șuruburi, cu nituri, cu pene, la asamblări sudate și la tăierea tablelor. Părțile

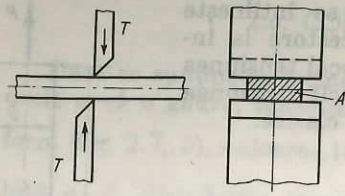


Fig. 3.1. Bară solicitată la forfecare.

solicităt la forfecare sunt șuruburile, niturile penele, sudurile, pe care forțele exterioare tind să le rupă prin lunecare.

Pentru calculul la forfecare al acestor piese se admite ipoteza simplificatoare că tensiunile tangențiale ce iau nastere au aceeași valoare pe întreaga secțiune.

Notind cu T forța tăietoare și cu A secțiunea piesei din figura 3.1, valoarea tensiunii tangențiale τ_f se obține din relația

$$\tau_f = \frac{T}{A}. \quad (3.1)$$

Că și relația (2.1) de la întindere și aceasta se poate scrie sub una din următoarele forme:

— pentru dimensionare:

$$A_{nec} = \frac{T}{\tau_{af}}; \quad (3.2)$$

— pentru verificare:

$$\tau_{ef} = \frac{T_{ef}}{A_{ef}} \leq \tau_{af}; \quad (3.3)$$

— pentru determinarea forței capabile:

$$T_{cap} = A_{ef} \cdot \tau_{af}. \quad (3.4)$$

În aceste relații, indicele ef se referă la mărimi ale căror valori sunt cunoscute, iar τ_{af} reprezintă rezistență admisibilă la forfecare.

Relația (3.1) este o relație convențională stabilită în baza unei ipoteze simplificatoare. Pentru nevoile practicei, ea este, însă, suficientă la piesele de dimensiuni mici.

3.2. RELATIA DINTRE TENSIUNI SI DEFORMATII

LA SOLICITAREA DE FORFECARE

Modul de deformare a unei piese întinut la solicitarea de forfecare este reprezentat în figura 3.2, a. Pe această figură se observă că în secțiunea de forfecare un strat foarte subțire de material se deplasează astfel încât are loc o deformare unghiulară. Notindu-se cu γ unghiul cu care se micșorează unghiul initial de 90° , denumit lunecare specifică, se constată că valoarea acestuia este proporțională cu tensiunile tangențiale după legea lui Hooke, și anume

$$\tau = \tau_f = G\gamma, \quad (3.5)$$

G fiind modulul de elasticitate transversal.

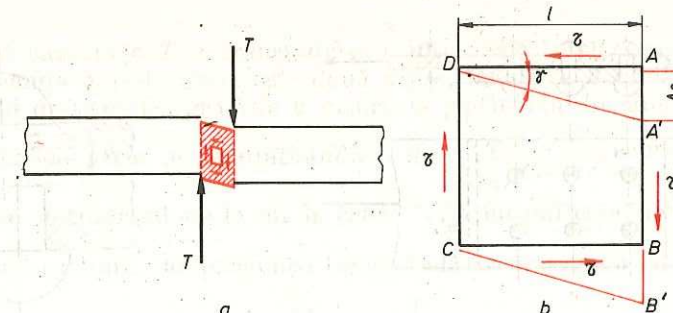


Fig. 3.2. Deformația la forfecare.

Considerind o parte din acest strat reprezentat în figura 3.2, b, deplasarea punctului A sub efectul tensiunilor tangențiale, notată cu Δs , este

$$\Delta s = l\gamma.$$

Tinând seama de legea lui Hooke pentru solicitarea de forfecare,

$$\Delta s = l \frac{\tau_f}{G}.$$

Dacă în această relație se introduce $\tau_f = \frac{T}{A}$, se obține relația care dă deplasarea prin lunecare, și anume

$$\Delta s = \frac{TL}{GA}. \quad (3.6)$$

Se observă că relațiile (3.2), (3.5) și (3.6) sunt analoage celor de la solicitările de întindere sau compresiune în care însă σ se înlocuiește cu τ , N cu T și E cu G .

3.3. APlicații ale forfecării

3.3.1. Calculul asamblărilor nituite

Asamblările nituite sunt asamblări nedemontabile întâlnite frecvent în construcțiile metalice, la construcția rezervoarelor, la nave etc.

O asamblare nituită sub forma cea mai simplă se prezintă ca în figura 3.3. Sub acțiunea forțelor T , platbandele suprapuse tind să lunece una față de celălaltă, iar niturile împiedică lunecarea.

Dacă asamblarea este realizată prin mai multe nituri, se consideră că sarcina T se repartizează în mod egal, pe fiecare nit acționind două forțe egale și de sens contrar a căror valoare se calculează din relația:

$$T_1 = \frac{T}{n}$$

n fiind numărul de nituri ale asamblării.

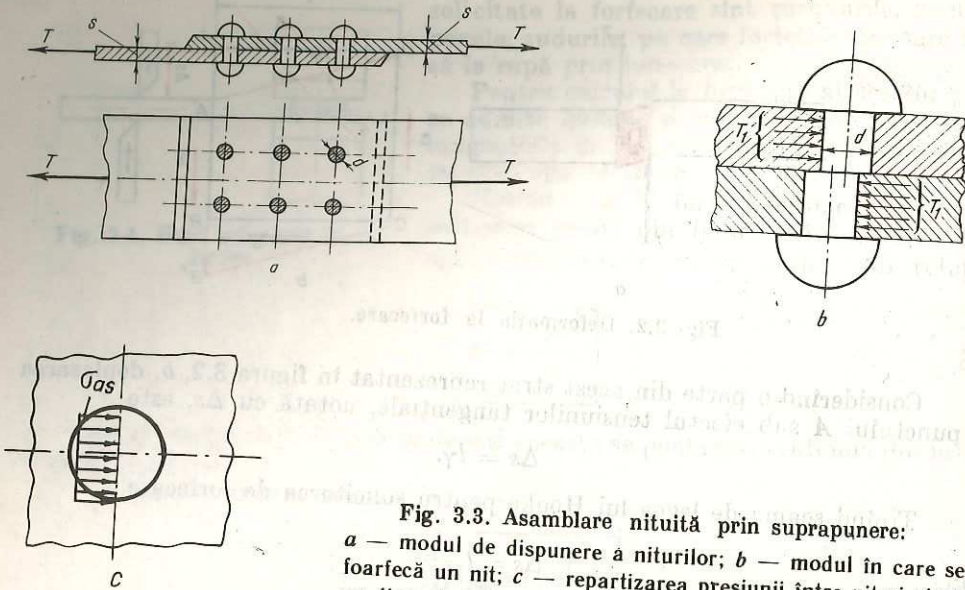


Fig. 3.3. Asamblare nituită prin suprapunere:
a — modul de dispunere a niturilor; b — modul în care se
foarfecă un nit; c — repartizarea presiunii între nit și piesă
pe diametrul găurii.

Acste forțe T_1 (fig. 3.3, b) tend să foarfece nitul în secțiunea corespunzătoare planului de separație al celor două platbande.

Dacă diametrul nitului se consideră d , tensiunea tangențială ce ia naștere pe secțiunea acestuia este

$$\tau_f = \frac{T_1}{\frac{\pi d^2}{4}} = \frac{T}{n \frac{\pi d^2}{4}} \leq \tau_{af}, \quad (3.7)$$

unde τ_{af} este rezistența admisibilă la forfecare.

Situată prezentată corespunde nituirii la care niturile au o singură secțiune de forfecare.

La asamblarea din figura 3.4 niturile sunt supuse la forfecare în două secțiuni.

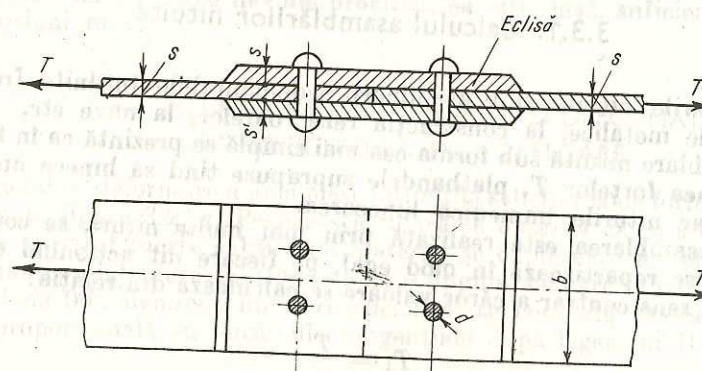


Fig. 3.4. Asamblare nituită cu eclise.

În acest caz, forța T se transmite prin intermediul unui grup de n nituri de la platbandă din stânga la cele două eclise, iar de la acestea, prin intermediul celui de-al doilea grup de n nituri, la platbandă din dreapta.

Fiecare nit preia de la platbandă o forță $T_1 = \frac{T}{n}$, echilibrată de forțele $\frac{T}{2n}$ care se transmit de la nit la eclise. Tija nitului este supusă la forfecare în două secțiuni, iar tensiunea tangențială se determină cu relația

$$\tau_f = \frac{T_1}{\frac{\pi d^2}{4}} = \frac{T}{2n \frac{\pi d^2}{4}}.$$

La stabilirea diametrului nitului în practică se are în vedere și presiunea ce se exercită pe suprafața de contact dintre nit și gaură σ_{as} care se consideră uniform repartizată pe diametrul găurii (v. fig. 3.3, c). În acest caz, forța de forfecare a unui nit este

$$T_1 = \sigma_{as} ds, \quad (3.8)$$

iar din relațiile (3.7) și (3.8) se determină diametrul nitului ce se folosește la asamblări, respectiv:

— pentru niturile cu o singură secțiune de forfecare:

$$d = \frac{4}{\pi} \frac{\sigma_{as}}{\tau_{af}} s; \quad (3.9)$$

— pentru niturile cu două secțiuni de forfecare:

$$d = \frac{2}{\pi} \frac{\sigma_{as}}{\tau_{af}} s. \quad (3.10)$$

În practică, raportul $\frac{\sigma_{as}}{\tau_{af}} = 1,4 \dots 1,7$, iar diametrele niturilor pentru cele două tipuri de asamblări prezentate sunt $d \approx 2s$, respectiv $d = s$. Dacă la asamblarea cu eclise se ține seamă că grosimea ecliselor (s') este aproximativ egală cu jumătate din cea a platbandei (s), atunci relația ce dă diametrul nitului la o astfel de asamblare devine $d \approx 2s'$. Diametrul nitului la o asamblare nituită se poate alege deci în funcție de grosimea cea mai mică a tablelor ce se asamblează și este de circa două ori mai mare decât aceasta.

Diametrele niturilor sunt standardizate și se aleg ținându-se seamă de cea mai mică grosime a tablei din pachetul de table ce se asamblează. Pentru niturile folosite în construcțiile metalice, acestea sunt cuprinse în STAS 763-71.

EXEMPLE DE CALCUL

1. Se dă asamblarea din figura 3.5 și se cere să se determine diametrul și numărul de nituri necesar, dacă se dau:

- forță ce solicită îmbinarea, $T = 30 \text{ kN}$;
- lățimea platbandei, $b = 50 \text{ mm}$;
- grosimea tablelor ce se îmbină, $s = 5 \text{ mm}$;
- rezistența admisibilă la forfecare pentru materialul nituit, $\tau_{af} = 140 \text{ MPa}$;
- tensiunea de contact admisibilă între nit și gaură, $\sigma_{as} = 220 \text{ MPa}$.

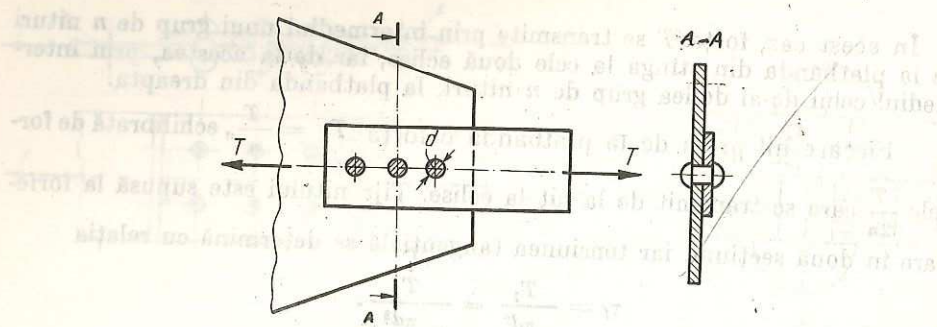


Fig. 3.5. Nituirea a două piese prin suprapunere.

Rezolvare:

Diametrul nitului se calculează cu relația (3.9), și anume

$$d = \frac{4}{\pi} \frac{\sigma_{as}}{\tau_{af}} s = \frac{4}{\pi} \cdot \frac{220}{140} \cdot 5 \cdot 10^{-3} = 10^{-2} \text{ m.}$$

Forța tăietoare care solicită un nit la forfecare este

$$T_1 = \frac{\pi d^2}{4} \tau_{af} = \frac{\pi}{4} \cdot 10^{-4} \cdot 140 \cdot 10^6 = 11 \text{ kN.}$$

Numărul de nituri se determină din relația

$$n = \frac{T}{T_1} = \frac{30}{11} \approx 3 \text{ nituri.}$$

2. Să se calculeze diametrul și numărul niturilor asamblării din figura 3.6, realizată din duraluminiu. Se dau:

- sarcina care solicită îmbinarea, $T = 35 \text{ kN}$;
- grosimea profilurilor, $s_1 = 1 \text{ mm}$;
- grosimea tablei, $s = 2 \text{ mm}$;
- rezistență admisibilă la forfecare a nitului, $\tau_{af} = 100 \text{ MPa}$;
- tensiunea de contact admisibilă între nit și gaură, $\sigma_{as} = 280 \text{ MPa}$.

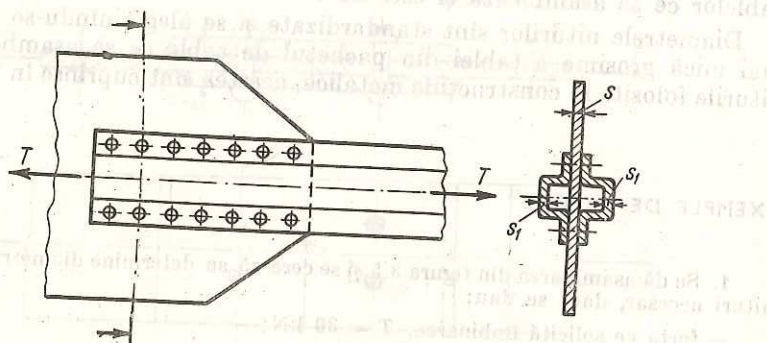


Fig. 3.6. Asamblarea nituită a unor piese din duraluminiu.

Rezolvare:

Diametrul nitului se calculează cu relația (3.10), și anume

$$d = \frac{2}{\pi} \cdot \frac{\sigma_{as}}{\tau_{af}} s = \frac{2}{\pi} \cdot \frac{280}{100} \cdot 2 \cdot 10^{-3} = 4 \cdot 10^{-3} = 4 \text{ mm.}$$

Forța tăietoare pentru un nit este

$$T_1 = 2\pi \frac{d^2}{4} \tau_{af} = \frac{2\pi(4 \cdot 10^{-3})^2}{4} \cdot 100 \cdot 10^6 = 2,51 \text{ kN.}$$

Numărul de nituri necesar este

$$n = \frac{T}{T_1} = \frac{35}{2,5} \approx 14 \text{ nituri.}$$

3.3.2. Calculul asamblărilor sudate

Relația (3.1) poate fi folosită și pentru calculul de rezistență al îmbinărilor sudate, după cum o ilustrează exemplul din figura 3.7, care reprezintă suduri laterale efectuate la îmbinarea a două platbande suprapuse. În acest caz, secțiunile de forfecare ale cordoanelor de sudură sunt notate pe figură cu $t-t$. Dacă grosimea platbandei superioare este s , atunci ca lățimea a acestei secțiuni se consideră înălțimea a , a triunghiului isoscel de catete s , respectiv $a = \sqrt{\frac{2}{2}} s = 0,7 s$.

Notând cu l_s lungimea cordonului de sudură, se poate scrie egalitatea

$$2\tau_{as}l_s a = T, \quad (3.11)$$

din care se poate calcula valoarea acestei mărimi, dacă celelalte mărimi din relație sunt cunoscute.

Pentru calculul lungimii reale a cordonului de sudură l se ține seama de imperfecțiunile de realizare a sudurii la capete, adăugindu-se la lungimea l_s calculată o lungime egală cu $2a$.

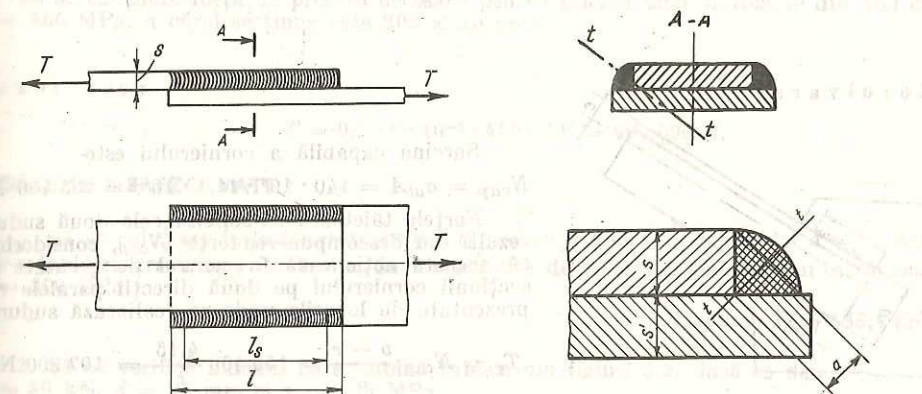


Fig. 3.7. Asamblare sudată.

Rezultă

$$l = l_s + 2a. \quad (3.12)$$

Exemplul prezentat nu epuizează toate tipurile posibile de șamblări nituite sau sudate și problemele legate de calculul lor. Ele ilustrează însă domeniul de aplicare a relațiilor stabilite în acest capitol. Date complete privind aceste șamblări și modul lor de calcul constituie obiectul unor capitole speciale din partea de organe de mașini.

EXEMPLE DE CALCUL

1. Se cere să se verifice șamblarea sudată alcătuită din două platbande suprapuse ale căror dimensiuni sunt date pe figura 3.7, și anume: $s = 12 \text{ mm}$, $l = 200 \text{ mm}$, $T = 250 \text{ kN}$.

Rezolvare:

Cele mai mari tensiuni tangențiale apar în secțiunea $t-t$, a cărei lățime este $a = 0,7 \cdot 12 = 8,4 \text{ mm}$, s fiind grosimea platbandei. Lungimea acestei secțiuni se consideră ca fiind egală cu cea a cordonului de sudură, din care se scade de două ori lățimea a .

$$l_s = l - 2a = 0,2 - 2 \cdot 0,84 \cdot 10^{-3} = 0,183 \text{ m.}$$

Tensiunea tangențială este

$$\tau = \frac{T}{A} = \frac{T}{2l_s a} = \frac{250 \cdot 10^3}{2 \cdot 0,183 \cdot 0,84 \cdot 10^{-3}} = 81,2 \text{ MPa.}$$

2. Să se calculeze lungimile cordoanelor de sudură l_1 și l_2 ale îmbinării din figura 3.8, alcătuită dintr-un cornier $60 \times 60 \times 10$ și un guseu, dacă îmbinarea trebuie să reziste la sarcina capabilă a cornierului.

Se dau:

- aria secțiunii cornierului, $A = 11,4 \text{ cm}^2$;
- lățimea aripiei cornierului, $b = 60 \text{ mm}$;
- distanța de la centrul de greutate al cornierului la una din fețele aripilor acestuia $e = 1,85 \text{ cm}$;
- rezistența admisibilă la întindere a cornierului, $\sigma_{at} = 140 \text{ MPa}$;
- rezistența admisibilă la forfecare a sudurii, $\tau_{as} = 91 \text{ MPa}$;
- grosimea aripiei cornierului, $g = 10 \text{ mm}$.

Rezolvare:



Fig. 3.8. Îmbinare sudată între un cornier și un guseu.

Sarcina capabilă a cornierului este

$$N_{cap} = \sigma_{at} A = 140 \cdot 10^6 \cdot 11,4 \cdot 10^{-4} = 155\,400 \text{ N.}$$

Forțele tăietoare ce solicită cele două suduri rezultă din descompunerea forței N_{cap} , considerind că aceasta acționează în centrul de greutate al secțiunii cornierului pe două direcții paralele reprezentate de locurile unde se realizează sudura.

$$T_1 = N_{cap} \frac{b - e}{b} = 155\,400 \frac{4,15}{6} = 107\,300 \text{ N,}$$

$$T_2 = N_{cap} \frac{e}{b} = 155\,400 \frac{1,85}{6} = 48\,100 \text{ N.}$$

Luând grosimea sudurii egală cu $a = \frac{\sqrt{2}}{2} g = 0,7 \cdot 10 = 7 \text{ mm}$, rezultă lungimile cordoanelor de sudură:

$$l_{s1} = \frac{T_1}{a\tau_{as}} = \frac{107\,300}{7 \cdot 91 \cdot 10^6} \approx 0,168 \text{ m;}$$

$$l_{s2} = \frac{T_2}{a\tau_{as}} = \frac{48\,100}{0,7 \cdot 91 \cdot 10^6} \approx 0,0765 \text{ m.}$$

Lungimile reale ale acestor cordoane sunt

$$l_1 = l_{s1} + 2a = 168 + 2 \cdot 7 = 168 + 14 = 182 \text{ mm;}$$

$$l_2 = l_{s2} + 2a = 76 + 2 \cdot 7 = 76 + 14 = 90 \text{ mm.}$$

3.3.3. Tăierea tabelor

Procesul de tăiere a tabelor este un proces compus din mai multe faze și depinde de o serie de factori, cum ar fi: natura materialului, dimensiunile acestuia, modul de rezemare a piesei, gradul de ascuțire a pieselor tăiate etc.

Deshide acest proces este destul de complex, forța necesară tăierii se calculează înțîndu-se seama numai de faza de tăiere propriu-zisă și de natura materialului supus tăierii.

Astfel, relația de bază pentru calculul forței de tăiere T este

$$T = \tau_r A, \quad (3.13)$$

în care:

τ_r este rezistența de rupere la forfecare;

A — aria secțiunii tăiate simultan.

EXEMPLU DE CALCUL

Să se calculeze forța de presare necesară pentru tăierea unei platbande din oțel cu $\tau_r = 450 \text{ MPa}$, a cărei secțiune este $200 \times 10 \text{ mm}^2$.

Rezolvare:

$$T = 0,2 \cdot 1 \cdot 10^{-2} \cdot 450 \cdot 10^6 = 900\,000 \text{ N.}$$

PROBLEME NEREZOLVATE

1. Să se calculeze forța necesară pentru a realiza o gaură cu diametrul $d = 20 \text{ mm}$ într-o tablă cu grosimea $s = 10 \text{ mm}$, dacă rezistența de rupere a materialului tablei este $\tau_r = 300 \text{ MPa}$.

Răspuns: $P = 188,4 \text{ kN}$.

2. Să se verifice bulonul care îmbină tablele din figura 3.9, dacă se dau $N = 30 \text{ kN}$, $d = 20 \text{ mm}$ și $\tau_{ef} = 50 \text{ MPa}$.

Răspuns: $\tau_{ef} = 47,8 \text{ MPa}$.

3 — Rezistența materialelor și organe de mașini, cl. X—XI

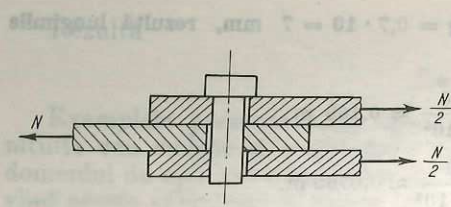


Fig. 3.9. Asamblare cu un bulon.

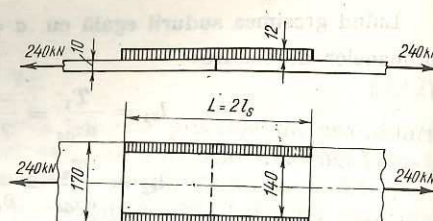


Fig. 3.10. Îmbinare sudată.

3. Să se calculeze lungimea cordonului de sudură necesar asamblării din figura 3.10, dacă $\tau_{as} = 91 \text{ MPa}$.

Răspuns: $L = 330 \text{ mm}$.

4. Să se calculeze forța de presare necesară ștanțării dintr-o dată a unei găuri cu diametrul de 100 mm într-o platbandă din oțel cu rezistență la rupere $\tau_r = 560 \text{ MPa}$ cu căreia grosime este egală cu 5 mm.

Răspuns: $T \approx 880 \text{ kN}$.

Capitolul 4

MOMENTE STATICHE, MOMENTE DE INERȚIE ȘI MODULE DE REZISTENȚĂ

La solicitările de întindere, compresiune și forfecare, dimensiunile și forma secțiunii transversale a barelor se iau în considerație în calcule prin aria secțiunii. La solicitările de încovoiere și de răsucire și la unele solicitări compuse, se întâlnesc alte mărimi geometrice cunoscute sub denumirea de *momente statice, momente de inerție și module de rezistență*.

4.1. MOMENTE STATICHE

Pentru definirea momentului static al unei suprafețe, în figura 4.1 se consideră suprafața A , raportată la un sistem de axe de coordonate yOz .

S-au notat cu G centrul de greutate al suprafeței, având coordonatele z_G respectiv y_G și cu ΔA un element de suprafață avind coordonatele z , respectiv y .

Prin moment static al suprafeței elementare ΔA în raport cu axa z se înțelege produsul $y\Delta A$. Prin definiție, momentul static al întregii suprafețe A , în raport cu această axă, este egal cu suma momentelor statice ale tuturor suprafețelor elementare și se exprimă prin relația

$$S_z = \sum_A y \Delta A. \quad (4.1)$$

Membrul al II-lea al relației este

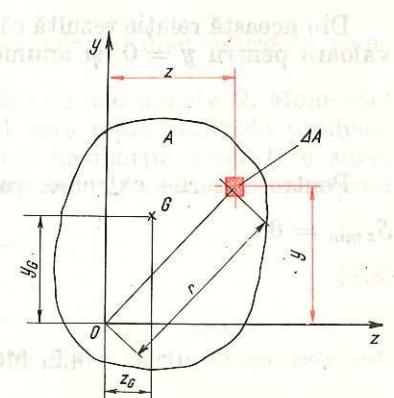
$$\sum_A y \Delta A = y_1 \Delta A_1 + y_2 \Delta A_2 + \dots + y_n \Delta A_n,$$

unde $\Delta A_1, \Delta A_2, \dots, \Delta A_n$ sunt elemente de arie cuprinse în suprafața A , iar y_1, y_2, \dots, y_n ordonatele corespunzătoare la care se găsesc aceste elemente față de axa Oz .

Dacă se cunosc coordonatele centrului de greutate al suprafeței y_G , respectiv z_G , momentele statice S_z și S_y sint:

$$S_z = \sum_A y \Delta A = y_G A; \quad (4.2)$$

$$S_y = \sum_A z \Delta A = z_G A. \quad (4.3)$$



Momentul static al unei suprafețe în raport cu o axă este deci egal cu produsul dintre suprafață și distanța de la centrul de greutate al acesteia la axă.

Fig. 4.1. Suprafață raportată la un sistem de axe de referință.

Din relațiile (4.2) și (4.3) rezultă că momentul static are ca dimensiuni lungimea la puterea a treia, respectiv metru cub (m^3).

Din aceleași relații se observă că, dacă axele în raport cu care se calculează momentele statice trec prin centrul de greutate al suprafeței, valoarea acestora este egală cu zero. Datorită proprietății centrului de greutate al unei suprafețe plane de a se găsi pe axa de simetrie a suprafeței, în cazul în care aceasta are o singură axă de simetrie, sau la intersecția acestor axe, dacă are două axe de simetrie, rezultă că momentele statice în raport cu aceste axe sunt nule.

EXEMPLE DE CALCUL

Să se calculeze momentul static al suprafeței hașurate din figura 4.2 în raport cu axa Oz .

$$(4.4) \quad S_z = A \cdot y_G = \left[y + \frac{\frac{h}{2} - y}{2} \right] b \left[\frac{h}{2} - y \right] = \frac{b}{2} \left[\frac{h^2}{4} - y^2 \right]$$

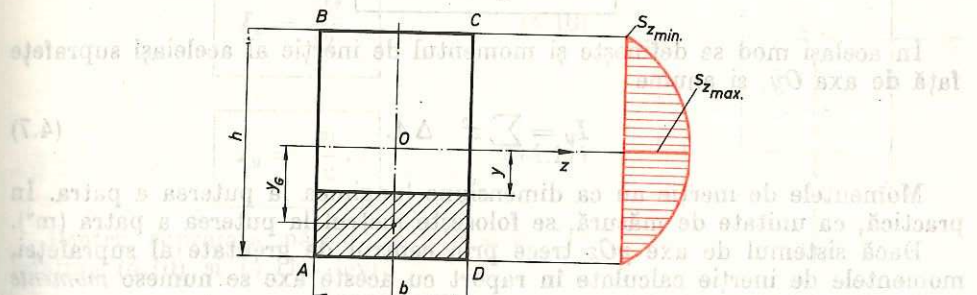


Fig. 4.2. Determinarea momentului static al secțiunii dreptunghulare.

4.2.2. Momente de inerție polare

Din această relație rezultă că S_z variază parabolic cu y , având cea mai mare valoare pentru $y = 0$, și anume:

$$S_{z\max} = \frac{bh^3}{8}. \quad (4.5)$$

Pentru valorile extreme, respectiv $y = \frac{h}{2}$ și $y = -\frac{h}{2}$, momentul static $S_{z\min} = 0$.

4.2. MOMENTE DE INERȚIE

În rezistența materialelor se întâlnesc momente de inerție ale figurilor plane, reprezentate de secțiunile normale pe axa longitudinală a barelor.

Momentele de inerție, cărora li se mai spune și momente de ordinul doi, pot fi:

- momente de inerție axiale sau ecuatoriale (față de o axă);
- momente centrifugale (față de două axe);
- momente de inerție polare (față de un punct).

În lucrare se vor întâlni numai momentele de inerție axiale și polare.

4.2.1. Momente de inerție axiale sau ecuatoriale

Pentru definirea momentului de inerție axial sau ecuatorial al unei suprafete A în raport cu o axă Oz (v. fig. 4.1) se împarte această suprafață în elemente de arie ΔA . Momentul de inerție al unui asemenea element de suprafață față de axa Oz este reprezentat de produsul $y^2 \Delta A$. Suma tuturor acestor produse calculate pentru întreaga suprafață față de axa Oz reprezintă momentul de inerție axial al întregii suprafete și se exprimă prin relația

$$I_z = \sum_A y^2 \Delta A. \quad (4.6)$$

În același mod se definește și momentul de inerție al aceleiași suprafete față de axa Oy , și anume

$$I_y = \sum_A z^2 \Delta A. \quad (4.7)$$

Momentele de inerție au ca dimensiune lungimea la puterea a patra. În practică, ca unitate de măsură, se folosește metrul la puterea a patra (m^4).

Dacă sistemul de axe yOz trece prin centrul de greutate al suprafeței, momentele de inerție calculate în raport cu aceste axe se numesc *momente de inerție centrale*.

Tinând seamă de faptul că în relațiile (4.6) și (4.7) z și y intră la puterea a doua, momentele de inerție axiale sunt totdeauna pozitive și diferite de zero.

Pentru determinarea momentului de inerție polar al unei suprafete plane se alege un punct din plan numit *pol*.

Pe figura 4.1 s-a ales ca pol originea axelor de coordonate O . Momentul de inerție polar al suprafeței elementare ΔA este reprezentat de produsul $r^2 \Delta A$. Pentru întreaga suprafață A momentul de inerție polar este suma momentelor de inerție polare ale tuturor elementelor ΔA ce alcătuiesc această suprafață, respectiv

$$I_p = \sum_A r^2 \Delta A. \quad (4.8)$$

Deoarece r^2 este totdeauna pozitiv, momentul de inerție polar este totdeauna pozitiv.

Dimensiunea momentului de inerție polar este lungimea la puterea a patra, respectiv metrul la puterea a patra (m^4).

Înlocuind în relația (4.8) pe $r^2 = z^2 + y^2$, aceasta devine

$$I_p = \sum_A r^2 \cdot \Delta A = \sum_A (y^2 + z^2) \Delta A = \sum_A y^2 \Delta A + \sum_A z^2 \cdot \Delta A = I_z + I_y. \quad (4.9)$$

Rezultă că momentul de inerție polar în raport cu un punct este egal cu suma momentelor de inerție axiale față de două axe perpendiculare ce se intersectează în acest punct.

4.2.3. Momentele de inerție ale cîtorva figuri plane

4.2.3.1. Suprafața dreptunghiulară. Se consideră suprafața dreptunghiulară din figura 4.3 de lățime b și înălțime h și sistemul de axe coordinate yOz trecind din centrul ei de greutate și confundindu-se cu axele de simetrie ale acesteia.

Momentele de inerție axiale pentru suprafața dreptunghiulară în raport cu axele Oz și Oy sint date de relațiile

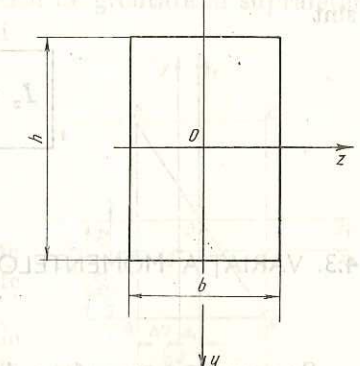
$$I_z = \frac{bh^3}{12}, \quad (4.10)$$

$$I_y = \frac{b^3 h}{12}. \quad (4.11)$$

Pentru suprafața pătrată $h = b = a$, iar relațiile (4.10) și (4.11) devin

$$I_z = I_y = \frac{a^4}{12}. \quad (4.12)$$

Fig. 4.3. Determinarea momentului de inerție al secțiunii dreptunghiulare.



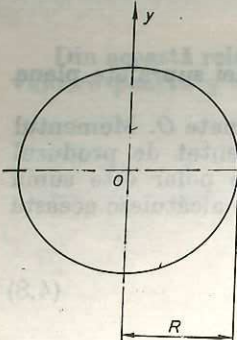


Fig. 4.4. Determinarea momentului de inerție al secțiunii circulare.

4.2.3.2. Momentul de inerție al suprafeței circulare și inelare (fig. 4.4).

Momentul de inerție polar al secțiunii circulare de rază R este

$$I_p = \frac{\pi R^4}{2}. \quad (4.13)$$

Dacă se înlocuiește $R = \frac{d}{2}$, se obține

$$I_p = \frac{\pi d^4}{32}. \quad (4.14)$$

$I_z = I_y$. Se obține astfel

$$I_p = I_z + I_y = 2I_z = 2I_y,$$

de unde

$$I_y = I_z = \frac{I_p}{2} = \frac{\pi d^4}{64}. \quad (4.15)$$

Pentru o suprafață inelară, având diametrul exterior D și interior d , momentul de inerție polar se află scăzindu-se din momentul de inerție al suprafeței circulare de diametru mare momentul de inerție al găurii. Deci

$$I_p = \frac{\pi D^4}{32} - \frac{\pi d^4}{32} = \frac{\pi}{32} (D^4 - d^4). \quad (4.16)$$

Momentele de inerție axiale se deduc la fel ca în exemplul precedent și

$$I_z = I_y = \frac{\pi}{64} (D^4 - d^4). \quad (4.17)$$

4.3. VARIATIA MOMENTELOR DE INERȚIE AXIALE ÎN RAPORT CU AXE PARALELE

Se consideră suprafața A și axele paralele z și z_1 (fig. 4.5). Momentele de inerție în raport cu aceste axe sunt date de relațiile

$$I_z = \sum_A y^2 \Delta A; \quad I_{z1} = \sum_A y_1^2 \Delta A.$$

Presupunând cunoscute momentul de inerție I_z în raport cu axa z și distanța d dintre cele două axe, deoarece $y_1 = y + d$, momentul de inerție în raport cu axa z_1 este

$$\begin{aligned} I_{z1} &= \sum_A (y + d)^2 \Delta A = \\ &= \sum_A (y^2 + 2yd + d^2) \Delta A = \\ &= \sum_A y^2 \Delta A + \sum_A 2yd \Delta A + \sum_A d^2 \Delta A. \end{aligned}$$

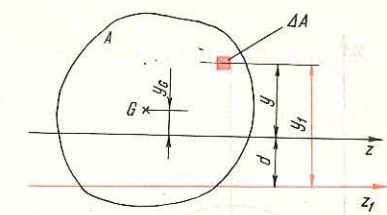


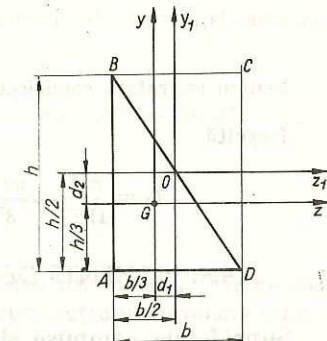
Fig. 4.5. Momente de inerție în raport cu axe paralele.

Primul termen al relației $\sum_A y^2 \Delta A$ reprezintă momentul de inerție I_z , iar cel de-al doilea termen $\sum_A 2yd \Delta A$, deoarece $2d$ este constant, se poate scrie $2d \sum_A y \Delta A$. Suma $\sum_A y \Delta A$ reprezintă momentul static al suprafeței A în raport cu axa z și este egal cu aria suprafeței înmulțită cu ordonata y_G a centrului de greutate al acesteia față de axa Oz , respectiv S_z . Al treilea termen al relației, deoarece d^2 este și el constant, se poate scrie $d^2 \sum_A \Delta A$. Suma respectivă reprezintă chiar aria suprafeței, să incit acest termen se scrie sub formă $d^2 A$.

Dacă axa z trece prin centrul de greutate al secțiunii, cel de-al doilea termen al relației este egal cu zero și I_{z1} devine

$$I_{z1} = I_z + d^2 A. \quad (4.18)$$

Această relație se numește *formula lui Steiner* și arată că momentul de inerție al unei suprafețe față de o axă este egal cu momentul de inerție în raport cu o axă paralelă cu ea ce trece prin centrul de greutate al suprafeței la care se adaugă produsul dintre aria suprafeței și pătratul distanței dintre axe.



EXEMPLE DE CALCUL

1. Să se calculeze momentele de inerție I_z și I_y în raport cu axele G_y și G_z ce trec prin centrul de greutate al suprafeței triunghiulare ABD din figura 4.6.

Triunghiul dreptunghic din figură este jumătate din dreptunghiul $ABCD$ ale cărui momente de inerție în raport cu axele Oy_1 și Oz_1 sunt

$$I_{y1}^1 = \frac{b^3 h}{12}; \quad I_{z1}^1 = \frac{b h^3}{12}.$$

Fig. 4.6. Determinarea momentului de inerție al suprafeței triunghiulare.

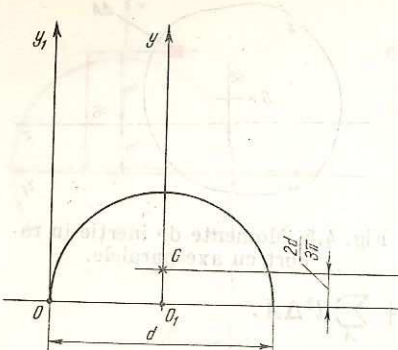


Fig. 4.7. Determinarea momentului de inerție al suprafeței semișimbulare.

Momentele de inerție ale suprafeței triunghiulare în raport cu aceleși axe sunt jumătate din cele ale dreptunghiului, respectiv

$$I_{y_1} = \frac{I_{y_1}}{2} = \frac{b^3 h}{24}; \quad (4.19)$$

$$I_{z_1} = \frac{I_{z_1}}{2} = \frac{bh^3}{24}.$$

Sistemul de axe y_1Oz_1 fiind paralel cu sistemul yGz , pentru determinarea momentelor de inerție ale triunghiului în raport cu aceste axe, se aplică relația (4.19), și anume

$I_y = I_{y_1} - Ad_1^2$; $I_z = I_{z_1} - Ad_2^2$, unde:

$$d_1 = \frac{b}{2} - \frac{b}{3} = \frac{b}{6};$$

$$d_2 = \frac{h}{2} - \frac{h}{3} = \frac{h}{6}.$$

Rezultă

$$I_y = \frac{b^3 h}{24} - \frac{bh}{2} \left(\frac{b}{6} \right)^2 = \frac{b^3 h}{36}; \quad (4.20)$$

$$I_z = \frac{h^3 b}{24} - \frac{bh}{2} \left(\frac{h}{6} \right)^2 = \frac{h^3 b}{36}.$$

2. Să se calculeze momentul de inerție I_z al suprafeței semicercului din figura 4.7. Momentul de inerție al semicercului în raport cu axa Oz_1 este egal cu jumătate din momentul de inerție al suprafeței circulare față de aceeași axă:

$$I_{z_1} = \frac{\pi d^4}{128}.$$

Procedindu-se la fel ca în exemplul precedent, se poate scrie

$$I_z = I_{z_1} - A(O_1 G)^2. \quad (4.17)$$

Pentru suprafața semicirculară, $O_1 G = \frac{2d}{3\pi}$, iar $A = \frac{\pi d^2}{8}$.

Rezultă

$$I_z = \frac{\pi d^4}{128} - \frac{\pi d^2}{8} \left[\frac{2d}{3\pi} \right]^2 = d^4 \left[\frac{\pi}{128} - \frac{1}{18\pi} \right] = 0,00685 d^4. \quad (4.21)$$

4.4. MOMENTE DE INERTIE ALE UNOR SUPRAFĂȚE COMPUSE

Suprafețele compuse sunt alcătuite în general din mai multe suprafețe simple a căror formă este dreptunghiulară, triunghiulară, circulară etc.

În aplicațiile practice interesează momentele de inerție ale acestor suprafețe în raport cu axele centrale. Acestea se calculează înținându-se seamă de faptul că momentul de inerție al unei asemenea suprafețe este egal cu suma

momentelor de inerție ale tuturor suprafețelor simple care o compun, cărora li se cunosc momentele de inerție.

Acestea se însumează înținându-se seamă de regulile stabilite în acest capitol.

EXEMPLU DE CALCUL

1. Se consideră suprafața compusă din figura 4.8, pentru care se cere să se calculeze momentele de inerție I_y și I_z în raport cu axele G_y și G_z ce trec prin centrul de greutate al acesteia.

Rezolvare:

Se descompune suprafața compusă dată în două suprafețe dreptunghiulare, respectiv suprafața $4b \times 4b$ din care se scade suprafața $3b \times 2b$.

Se calculează apoi poziția centrului de greutate G al suprafeței compuse din figura 4.8 în raport cu un sistem de axe de referință ales y_1Oz_1 . Deoarece suprafața are o axă de simetrie, centrul de greutate se găsește pe această axă și se calculează cu relația

$$y_G = \frac{\sum A_i y_i}{\sum A_i},$$

folosindu-se tabelul următor:

Mărimea Suprafeță	A_i	y_i	$A_i y_i$	$y_i - y_G$
1	$16b^2$	$2b$	$32b^3$	$0,3b$
2	$-6b^2$	$2,5b$	$-15b^3$	$0,8b$
	$\Sigma A_i = 10b^2$	$\Sigma A_i y_i = 17b^3$		

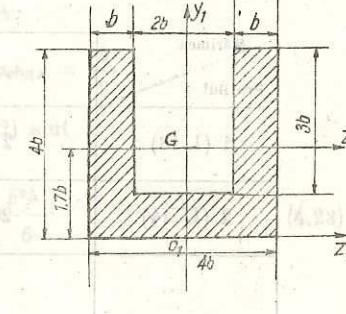


Fig. 4.8.

Se calculează apoi momentele de inerție față de axele centrale ale suprafeței, aplicându-se relația (4.19).

$$I_z = I_{z_1} - I_{z_2} = \frac{4b(4b)^3}{12} + 16b^2(0,3b)^2 - \frac{2b(3b)^3}{12} - 6b^2(0,8b)^2 = 14,4b^4.$$

$$I_y = I_{y_1} - I_{y_2} = \frac{4b(4b)^3}{12} - \frac{3b(2b)^3}{12} = 19,33b^4.$$

În practică se întâlnesc secțiuni compuse alcătuite din diverse forme de profiluri laminate. Acestea sunt bare laminate ale căror secțiuni au forme standardizate.

Pentru profilurile de formă geometrică simplă, momentele de inerție se calculează după cum s-a arătat mai înainte. Pentru profilurile laminate de formă specială, toate datele ce interesează calculul momentelor de inerție ale unei suprafețe compuse se găsesc în tabelele din standardele respective.

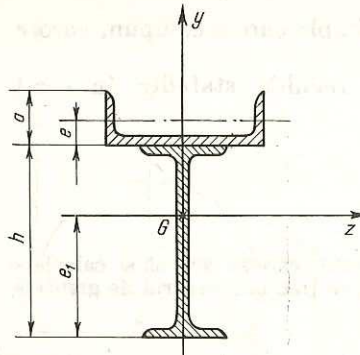


Fig. 4.9. Secțiune compusă din profiluri laminate.

În aceste tabele se găsesc calculate: aria secțiunii, poziția centrului de greutate, momentele de inerție față de axele centrale etc.

Folosindu-se aceste date, momentele de inerție la suprafețele compuse din asemenea profiluri se calculează întocmai ca în exemplul precedent.

EXEMPLU DE CALCUL

Se cere să se calculeze momentul de inerție în raport cu axa Gz ce trece prin centrul de greutate al secțiunii din figura 4.9, alcătuită dintr-un profil I 18 și unul U 14.

Rezolvare:

Din standarde se extrag caracteristicile geometrice ale celor două profiluri ce interesează calculul momentului de inerție care sunt

Mărimea Profilul	A , cm^2	I , cm^4	h, e, a , cm
1 (I 18)	27,9	1 450	$h = 18$
2 (U 14)	20,4	62,7	$e = 1,75$
			$a = 6$

Centrul de greutate G al profilului se află pe axa Oy ; poziția sa față de talpa de jos a secțiunii este dată de relația

$$e_1 = \frac{\Sigma A_i y_i}{\Sigma A_i} = \frac{A_1 y_1 + A_2 y_2}{A_1 + A_2}.$$

Introducând valorile numerice

$$A_1 = 27,9 \text{ cm}^2; y_1 = \frac{h}{2} = 9 \text{ cm};$$

$A_2 = 20,4 \text{ cm}^2; y_2 = h + e = 19,75 \text{ cm}$, se obține poziția centrului de greutate:

$$e_1 = \frac{27,9 \cdot 9 + 20,4 \cdot 19,75}{27,9 + 20,4} = 13,5 \text{ cm}.$$

Momentul de inerție al întregii secțiuni față de axa care trece prin centrul său de greutate se obține aplicându-se fiecărui profil relația (4.19). Se obține

$$I_z = 1 450 + 4,5^2 \cdot 27,9 + 62,7 + 6,25^2 \cdot 20,4 = 2 875 \text{ cm}^4.$$

4.5. MODULE DE REZISTENȚĂ

4.5.1. Module de rezistență axiale

Se numește modul de rezistență al unei suprafețe în raport cu o axă raportul dintre momentul de inerție și distanța maximă de la marginea secțiunii la acea axă.

Modulele de rezistență în raport cu axele rectangulare Oz și Oy ale unei suprafețe se determină din expresiile

$$W_z = \frac{I_z}{y_{max}}; W_y = \frac{I_y}{z_{max}}. \quad (4.22)$$

Modulul de rezistență se măsoară în unități de lungime la puterea a treia, de obicei cm^3 .

EXEMPLU DE CALCUL

Să se stabilească relațiile care dau modulele de rezistență pentru secțiunile: dreptunghiulară, circulară și inelară.

1. Pentru secțiunea dreptunghiulară cu laturile b și h :

$$I_z = \frac{bh^3}{12}; I_y = \frac{hb^3}{12}; y_{max} = \frac{h}{2}; z_{max} = \frac{b}{2}.$$

Modulele de rezistență determinate cu relațiile (4.22) sunt

$$W_z = \frac{\frac{bh^3}{12}}{\frac{h}{2}} = \frac{bh^2}{6}; W_y = \frac{\frac{hb^3}{12}}{\frac{b}{2}} = \frac{b^2h}{6}. \quad (4.23)$$

2. Pentru secțiunea circulară cu diametrul d :

$$I_z = I_y = \frac{\pi d^4}{64}; y_{max} = z_{max} = \frac{d}{2}.$$

Aplicând relațiile (4.22), se determină

$$W_z = W_y = \frac{\frac{\pi d^4}{64}}{\frac{d}{2}} = \frac{\pi d^3}{32}. \quad (4.24)$$

3. Pentru secțiunea inelară cu diametrul exterior D și diametrul interior d :

$$I_z = I_y = \frac{\pi(D^4 - d^4)}{64}; y_{max} = z_{max} = \frac{D}{2},$$

$$\frac{\pi(D^4 - d^4)}{64}$$

$$W_z = W_y = \frac{\frac{\pi(D^4 - d^4)}{64}}{\frac{D}{2}} = \frac{\pi(D^4 - d^4)}{32D}. \quad (4.25)$$

4.5.2. Module de rezistență polare

Pentru secțiunea circulară și inelară se folosește și noțiunea de modul de rezistență polar care este definit de raportul

$$W_p = \frac{I_p}{R}, \quad (4.26)$$

unde I_p este momentul de inerție polar:

R – raza suprafeței respective.

Pentru secțiunea circulară cu diametrul d :

$$I_p = \frac{\pi d^4}{32}; \quad R = \frac{d}{2},$$

iar modulul de rezistență polar este

$$W_p = \frac{\frac{\pi d^4}{32}}{\frac{d}{2}} = \frac{\pi d^3}{16}. \quad (4.27)$$

Pentru secțiunea inelară cu diametrul exterior D și diametrul interior d :

$$I_p = \frac{\pi(D^4 - d^4)}{32}; \quad R = \frac{D - d}{2},$$

iar modulul de rezistență polar este

$$W_p = \frac{\frac{\pi(D^4 - d^4)}{32}}{\frac{D - d}{2}} = \frac{\pi(D^4 - d^4)}{16D}. \quad (4.28)$$

PROBLEME NEREZOLVATE

1. Să se calculeze momentele de inerție și modulele de rezistență în raport cu axele Oz și Oy ce trec prin centrul de greutate al suprafețelor compuse din figura 4.10, a, b.

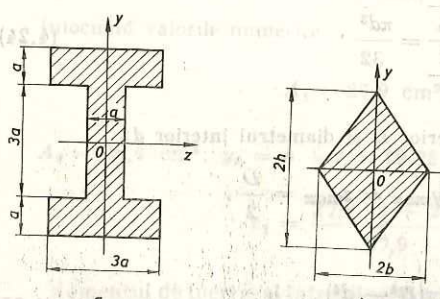


Fig. 4.10. Suprafețe compuse.

Răspuns:

$$\text{a. } I_z = \frac{107}{4} a^4; \quad W_y = \frac{19}{6} a^3; \\ I_y = \frac{19}{4} a^4; \\ W_z = \frac{107}{10} a^3.$$

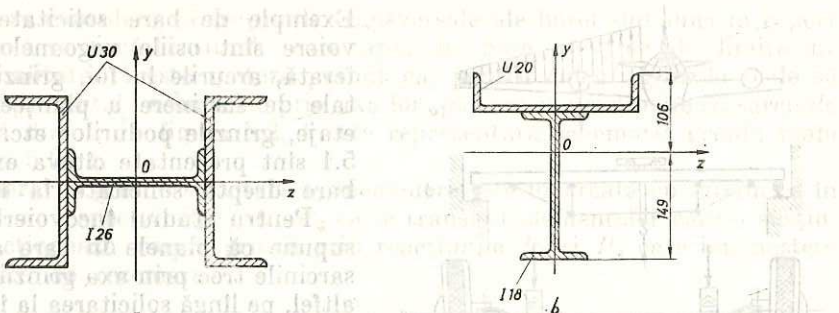


Fig. 4.11. Secțiuni compuse din profiluri laminate.

$$W_z = \frac{bh^3}{3};$$

$$I_y = \frac{hb^3}{12}; \quad W_y = \frac{b^2h}{3}.$$

2. Să se calculeze momentele de inerție și modulele de rezistență în raport cu axele Oz și Oy ce trec prin centrul de greutate al secțiunilor compuse, formate din profiluri laminate, din figura 4.11, a, b.

Răspuns:

$$\text{a. } I_z = 16\ 348 \text{ cm}^4; \quad b. \quad I_z = 3\ 410 \text{ cm}^4; \\ I_y = 35\ 630 \text{ cm}^4; \quad I_y = 1\ 991,3 \text{ cm}^4; \\ W_z = 1\ 089,86 \text{ cm}^3; \quad W_z = 228,86 \text{ cm}^3; \\ W_y = 1\ 549,13 \text{ cm}^3. \quad W_y = 19,913 \text{ cm}^3.$$

Reazemul menit reprezentă o placă în punctul a din figura 4.3, cu poziția graniță să se referă la un lucru acușat punct, precum și să se deplaceze în lungul suprafeței de referință. În acest capitol se va deține înțeles că este direcția perpendiculară pe suprafață. Reacția să se deplaceze în lungul unei granițe este direcția perpendiculară pe aceeași graniță.

Întrucât se trasează împărțirea de la un lucru acușat punct, se va deține înțeles că este direcția perpendiculară pe suprafață. Reacția să se deplaceze în lungul unei granițe este direcția perpendiculară pe aceeași graniță.

Capitolul 5

INCOCOIEREA BARELOR DREpte

5.1. DEFINIȚIE, EXEMPLE, IPOTEZE DE CALCUL

O bară dreaptă este solicitată la încocoiere atunci cînd sarcinile ce i se aplică sint cupluri de forțe sau forțe care se află în plane ce trec prin axa barei. Sub acțiunea acestor sarcini, axa dreaptă a barei se deformează, fibrele din partea convexă lungindu-se, iar cele din partea concavă scurtindu-se.

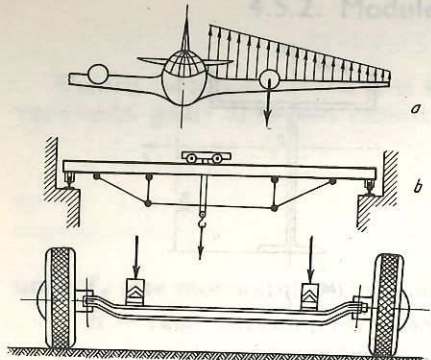


Fig. 5.1. Exemple de bare solicitate la încovoiere:

a – aripa unui avion; b – grinda unui pod rulant; c – osia unui automobil.

tindere sau compresiune și o componentă normală pe axă care produce încovoierea.

Pentru simplificarea studiului acestei solicitări se admite ipoteza că forțele exterioare sunt cuprinse într-un plan care trece prin axa barei, iar secțiunile transversale ale ei sunt simetrice în raport cu acest plan. În acest caz, planul forțelor reprezintă și planul deplasărilor axei grinzi.

În figura 5.2, a se reprezintă o grindă solicitată la încovoiere, în care toate sarcinile sunt cuprinse în planul de simetrie xOy , forțele fiind normale pe axa grinzi.

Se mai admite, de asemenea, ipoteza că deplasările (săgețile) sunt foarte mici. Datorită acestora se consideră că distanțele dintre sarcini se păstrează și după deformarea grinzi ca și cum sub acest aspect grinda ar fi rigidă. De

Exemple de bare solicitate la încovoiere sunt osiile vagoanelor de cale ferată, arcurile în foi, grinziile orizontale de susținere a planșelor dintre etaje, grinziile podurilor etc. În figura 5.1 sunt prezentate cîteva exemple de bare drepte solicitate la încovoiere.

Pentru studiul încovoierii, se presupune că planele în care acționează sarcinile trec prin axa grinzi, deoarece altfel, pe lîngă solicitarea la încovoiere, apare și solicitarea la răsucire a barei.

De asemenea, sarcinile se consideră normale pe axa grinzi, deoarece dacă acestea ar întlni-o sub un unghi oarecare, fiecare forță s-ar putea descompune într-o componentă situată în lungul axei care solicită bara la încovoiere.

tindere sau compresiune și o componentă normală pe axă care produce încovoierea.

asemenea se consideră că secțiunile transversale ale barei sunt mici în raport cu lungimea sa și că tensiunile care apar în bare nu trec de limita de proporționalitate. Aceste ipoteze permit ca, pentru calcul, grinziile reale să poată fi reprezentate schematic prin axa lor, pe care se presupune că sarcinile acționează direct. În figura 5.2, b este reprezentată schematic grinda reală din figura 5.2, a.

În general, o grindă solicitată la încovoiere este încărcată cu sarcini ca în figura 5.2, a, respectiv P_1, q, C, P_2 ce se transmit elementelor care o susțin. Acestea acționează asupra grinzi prin reacțiunile P_3 și P_4 care iau naștere în punctele de rezemare.

5.2. SARCINI ȘI REACȚIUNI

Pentru rezolvarea problemelor de încovoiere este necesară cunoașterea atât a sarcinilor aplicate cât și a reacțiunilor.

Sarcinile ce acționează asupra unei grinzi se determină cunoscind încărcaile sau caracteristicile funcționale ale mașinii sau construcției din care face parte, urmărind modul în care acestea se transmit la grinda. Aceste sarcini (fig. 5.2) pot fi sarcini concentrate P (N), cupluri M (Nm) și sarcini neuniform sau uniform repartizate pe lungimea grinzi. Acestea din urmă se măsoară prin intensitatea lor q , ce revine la unitatea de lungime a grinzi, respectiv în N/m.

Pentru determinarea reacțiunilor (legăturilor dintre un corp și alte corpură) este necesară cunoașterea tipurilor de rezeme de la care provin.

La calculul grinziilor se întlnesc următoarele tipuri de rezeme: rezeme simple, cunoscute și sub denumirea de rezeme mobile, rezeme articulate, numite și rezeme fixe și încastrări.

Reazemul fix reprezentat schematic în punctul 1 din figura 5.3 dă posibilitatea grinzi să se rotească în jurul acestui punct, dar nu-i permite nici deplasări verticale, nici orizontale. La acest tip de rezem se cunoaște punctul de aplicatie al reacțiunii, centrul articulației, dar nu se cunoaște nici valoarea acesteia și nici direcția ei. Datorită acestui fapt reacțiunea se reprezintă totdeauna prin componentele ei H_1 , orientată în lungul axei grinzi, și V_1 dirijată perpendicular pe axa grinzi.

Reazemul mobil reprezentat schematic în punctul 2 din figura 5.3 dă posibilitatea grinzi să se rotească în jurul acestui punct, precum și să se deplaseze în lungul suprafeței de rezemare. Acest tip de rezem împiedică deplasarea însă pe o direcție perpendiculară pe această suprafață. Reacțiunea în acest caz este dirijată perpendicular pe direcția deplasării libere a rezemului, punctul de aplicatie al acesteia fiind punctul de rezemare al grinzi.

Incastrarea este tipul de rezem care nu permite grinzi nici un fel de deplasare sau rotire (fig. 5.4). Un exemplu de asemenea rezemare îl constituie fixa-

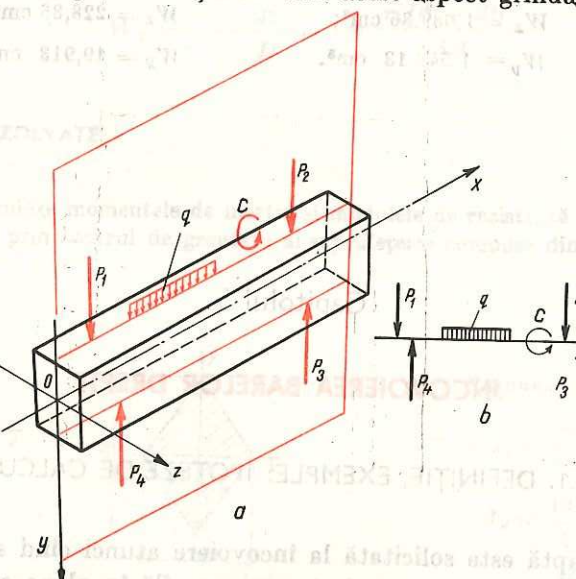


Fig. 5.2. Grindă solicitată la încovoiere cu sarcinile cuprinse în planul de simetrie.

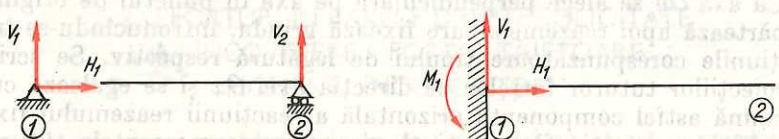


Fig. 5.3. Grindă dreaptă articulată la un capăt și rezemată liber de celălalt.

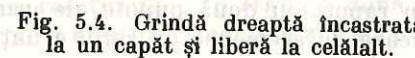


Fig. 5.4. Grindă dreaptă încastrată la un capăt și liberă la celălalt.

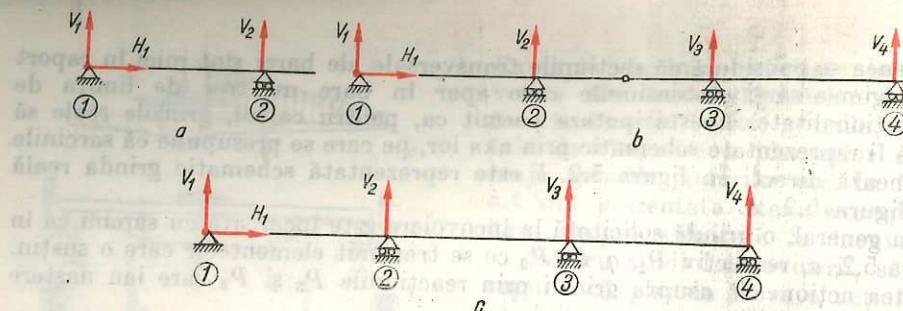


Fig. 5.5. Grinzi pe două sau mai multe reazeme:

a — grinză pe două reazeme cu consolă; b — grinză cu patru reazeme articulată; c — grinză continuă pe patru reazeme.

rea capătului unei grinzi într-un perete. Pentru determinarea reacțiunii într-un asemenea reazem, se poate imagina că acesta provine dintr-un reazem fix (articulație), căruia i s-a luat posibilitatea de a permite rotirea grinzi în jurul lui, prin introducerea unei forțe situate la o oarecare distanță de reazem. În acest mod reacțiunile dintr-o încastrare sunt cele ale unui reazem fix (V_1 și H_1), la care se adaugă un cuplu produs de forță ce impiedică rotirea (M_1).

Grinzelile se pot rezema pe două sau mai multe reazeme de tipul celor descrise. În figura 5.5 sunt prezentate cîteva asemenea grinzi și reacțiunile ce pot să apară pe grinza datorită unor sarcini (nereprezentate în desen).

După modul lor de rezemare, grinzelile se numesc rezemate (v. fig. 5.3), încastrate (v. fig. 5.4), cu console (fig. 5.5, a) sau cu console și articulații de echilibru din statică, care exprimă condiția ca grinda, sub acțiunea tuturor forțelor exterioare (sarcini și reacțiuni), să se afle în echilibru. Înindu-se plan, se pot scrie trei ecuații de echilibru din statică, și anume:

$$\Sigma X = 0; \Sigma Y = 0; \Sigma M = 0.$$

unde: ΣX și ΣY reprezintă suma componentelor pe axa, respectiv pe normala la axa grinzi, a tuturor forțelor, inclusiv reacțiunilor; ΣM — suma tuturor momentelor forțelor, inclusiv a reacțiunilor în raport cu unul dintre reazemele grinzi.

Cu ajutorul acestor ecuații se pot, deci, determina maximum trei reacțiuni necunoscute. Grinzelile ale căror reazeme dău trei reacțiuni se numesc grinzi static determinate. Cele al căror număr de reacțiuni este mai mare decât trei (fig. 5.5, c) fac parte din categoria grinzelor static nedeterminate și se calculează pe căi speciale.

Reacțiunile la grinzelile static determinate se calculează luindu-se axa grinzi ca axă Ox , originea axelor de coordonate O fiind unul din reazemele grinzi. Ca axă Oy se alege perpendiculara pe axă în punctul de origine ales. Se îndepărtează apoi reazemele care fixează grinda, introducindu-se în locul lor reacțiunile corespunzătoare tipului de legătură respectiv. Se scrie apoi suma proiecțiilor tuturor forțelor pe direcția axei Ox și se egalează cu zero. Se determină astfel componenta orizontală a reacțiunii reazemului fix. Pentru determinarea reacțiunilor verticale se pot scrie momentele tuturor forțelor în raport cu două puncte ale grinzi (de obicei, reazemele acesteia) și se egalează de asemenea cu zero, ecuația de proiecție pe verticală putind fi

folosită pentru verificare. În locul a două ecuații de momente se poate folosi o singură ecuație de momente și condiția că suma proiecțiilor tuturor forțelor pe direcția axei Oy este egală cu zero.

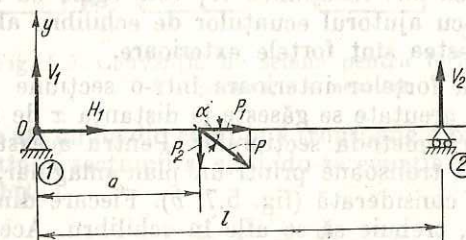


Fig. 5.6. Grindă dreaptă pe două reazeme încărcată cu o sarcină concentrată înclinată.

EXEMPLU DE CALCUL

Se cere să se calculeze reacțiunile la grinda dreaptă simplu rezemată, încărcată cu o sarcină concentrată P înclinată față de orizontală cu unghiul α (fig. 5.6).

Rezolvare:

Se alege sistemul de axe $OxOy$ ca în figură.

— Se descompune forța P în două componente, una orizontală P_1 și alta verticală P_2 , ale căror valori sunt

$$P_1 = P \cos \alpha;$$

$$P_2 = P \sin \alpha.$$

— Se înlocuiesc legăturile grinzi prin reacțiunile V_1 , H_1 și V_2 care se presupun pozitive (orientate în sensul pozitiv al axelor de coordonate).

— Se scrie că momentele tuturor forțelor pe grinda în raport cu reazemul 1 sunt egale cu zero:

$$\Sigma M_1 = -V_2 l + Pa \sin \alpha = 0;$$

$$V_2 = \frac{Pa}{l} \sin \alpha.$$

— Se scrie că suma tuturor proiecțiilor forțelor pe direcția axei Ox este egală cu zero:

$$\Sigma X = H_1 + P \cos \alpha = 0; H_1 = -P \cos \alpha.$$

Se scrie că suma tuturor proiecțiilor forțelor pe direcția axei Oy este egală cu zero:

$$\Sigma Y = -V_1 + P \sin \alpha + V_2 = 0; V_1 = P \sin \alpha - V_2 = P \sin \alpha \left[1 - \frac{a}{l} \right].$$

Semnele pozitive arată că sensul ales corespunde sensului real al reacțiunilor. Semnele negative arată că sensul ales este invers celui real.

5.3. EFORTURI ÎN BARELE DREPTE SOLICITATE LA ÎNCOVIOIRE. FORȚĂ TĂIE TOARE. MOMENT ÎNCOVIOITOR

La rezolvarea unei probleme de încovoiere, prima etapă o constituie alegerea schemei de calcul și determinarea reacțiunilor. În etapa a două se determină secțiunea grinzi în care se produc eforturile maxime și valoarea lor.

Aceasta necesită cunoașterea valorilor forțelor interioare ce iau naștere în oricare secțiune și a variației lor în lungul grinzi. În acest scop se consideră bara orizontală simplu rezemată din figura 5.7, a, solicitată de forțele P_1 , P_2 , P_3 , P_4 . Sub acțiunea lor, reacțiunea H_1 este egală cu zero; reacțiunile V_1 și V_2 se determină cu ajutorul ecuațiilor de echilibru ale solidului rigid (v. paragraful 5.2). Acestea sunt forțele exterioare.

Pentru determinarea forțelor interioare într-o secțiune normală pe axa barei al cărei centru de greutate se găsește la distanța x de reazemul 1, considerat origine, se aplică metoda secțiunilor. Pentru aceasta, se presupune că se despartă în două tronsoane printr-un plan imaginar, normal pe axa care trece prin secțiunea considerată (fig. 5.7, b). Fiecare dintre aceste două tronsoane, luat separat, trebuie să se afle în echilibru. Acest echilibru este asigurat de forțele exterioare și de forțele de legătură dintre cele două tronsoane care apar în planul secțiunii. Deoarece legătura dintre tronsoane este asemănătoare unei încastrări, prin separarea acestora se introduc în centrul de greutate al fiecărei secțiuni reacțiunile corespunzătoare acestui tip de legătură, respectiv o forță și un cuplu, ambele situate în planul de acționare al forțelor. Vor exista astfel pe față din stînga a secțiunii forța T' și cuplul M' , iar pe față din dreapta forța T și cuplul M . Deoarece, atunci cînd cele două tronsoane sunt legate între ele, grinda este în echilibru sub acțiunea forțelor exterioare, forțele T și T' ca și cuplurile M și M' sunt egale și de sensuri contrare.

Forța T se numește *forță tăietoare*, iar cuplul M se numește *moment incovoiator*. În figura 5.7, c s-au reprezentat schematic grinziile din figura 5.7, a, b. Valorile forței tăietoare și momentului incovoiator se determină din condi-

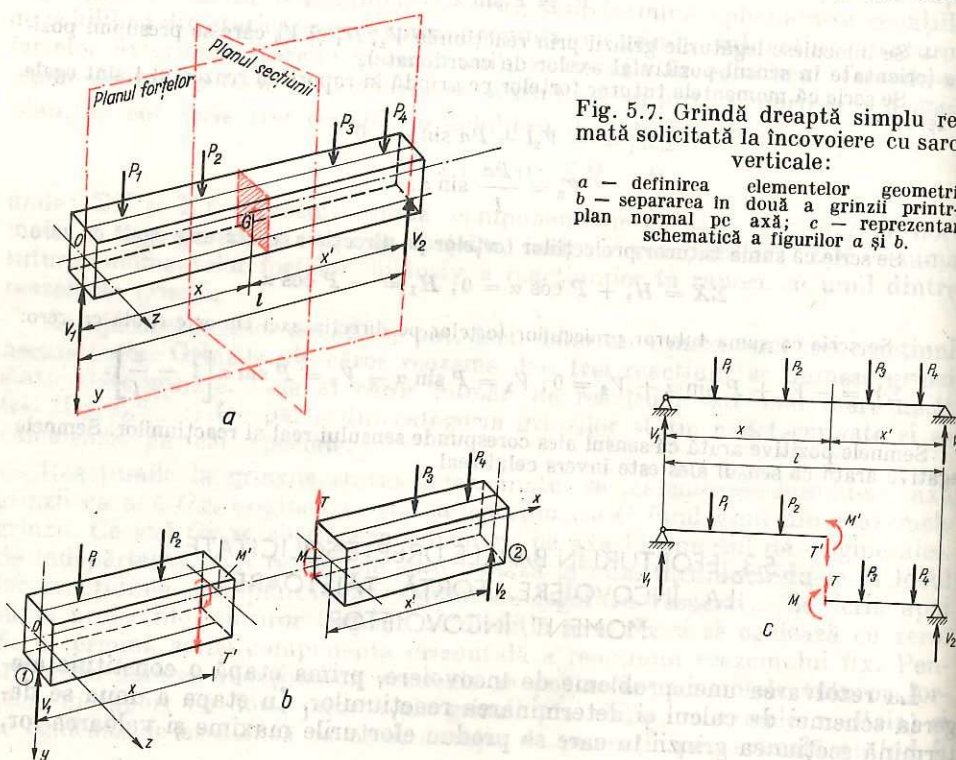


Fig. 5.7. Grindă dreaptă simplu rezemată solicitată la încovoiere cu sarcini verticale:

a — definirea elementelor geometrice;
b — separarea în două a grinzi printr-un plan normal pe axă;
c — reprezentarea schematică a figurilor a și b.

Fig. 5.8. Convenția de semne pentru forță tăietoare:
a — pozitivă; b — negativă.

țile de echilibru ale unuia din cele două tronsoane. Considerindu-se de exemplu tronsonul din stînga secțiunii și scriindu-se ecuația de echilibru a forțelor pe verticală, se obține

$$T' = V_1 - P_1 - P_2,$$

adică T' este egal și de sens contrar cu suma algebraică a tuturor forțelor verticale situate la stînga secțiunii. Scriindu-se ecuația de momente față de centrul de greutate al secțiunii, se obține M' egal și de sens contrar cu suma algebraică a momentelor forțelor (inclusiv a cuplurilor aplicate pe grindă) situate la stînga secțiunii. Deoarece forța T și cuplul M , care acionează pe față din dreapta a secțiunii, sunt egale și de sens contrar cu T' , respectiv M' , forța tăietoare T și momentul incovoiator M se determină după cum urmează:

Forța tăietoare, într-o secțiune a grinzi, este egală cu suma algebraică a tuturor proiecțiilor pe normală la axa grinzi, a forțelor exterioare (inclusiv reacțiunile) care acionează asupra părții din grindă situată la stînga secțiunii sau a celor din dreapta secțiunii cu semn schimbat.

Momentul incovoiator, într-o secțiune a grinzi, este egal cu suma algebraică a tuturor momentelor forțelor și cuplurilor exterioare (inclusiv ale reacțiunilor) care acionează asupra părții din grindă situată la stînga secțiunii sau a celor din dreapta cu semn schimbat.

Pentru a se obține aceleasi valori și aceleasi semne pentru forță tăietoare și momentul incovoiator, independent de faptul că se alege tronsonul din stînga sau din dreapta secțiunii, s-a stabilit următoarea convenție de semne:

— forța tăietoare T se consideră pozitivă atunci cînd pe față din dreapta secțiunii este îndreptată în sus, iar pe față din stînga este îndreptată în jos (fig. 5.8, a) și negativă în situația inversă (fig. 5.8, b);

— momentul incovoiator M se consideră pozitiv atunci cînd rotește secțiunea din dreapta în sensul unui ceasornic și pe cea din stînga în sens contrar (fig. 5.9, a) și negativ în situația inversă (fig. 5.9, b).

Pentru dimensionarea sau verificarea unei grinzi, trebuie găsite însă valorile maxime ale acestor eforturi. În acest scop se construiesc așa-numitele *diagrame de forțe tăietoare și momente incovoiatoare*. Acestea sunt niște grafice care arată cum variază valorile lui T , respectiv M în diverse secțiuni ale grinzi, funcție de distanța acestora față de o origine aleasă (de obicei, unul din reazemele grinzi).

Modul de trasare a acestor diagrame este prezentat în cele ce urmează.

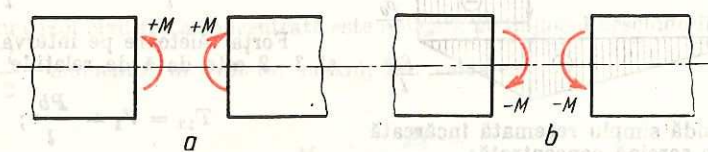


Fig. 5.9. Convenția de semne pentru momentul incovoiator:
a — pozitiv; b — negativ.

5.4. TRASAREA DIAGRAMELOR DE FORȚE TĂIETOARE ȘI MOMENTE ÎNCOVOIETOARE

Diagramele forțelor tăietoare și momentelor incovoietoare se construiesc folosindu-se definițiile stabilite. Pentru aceasta se parcurg următoarele etape:

- se stabilesc: un sens de parcurs al barei și o origine de la care să se măsoare variabila x . Se alege ca origine unul din reazeme, de obicei reazemul din stînga, iar ca sens de parcurs, sensul de la stînga la dreapta;
- se calculează reacțiunile barei sub acțiunea sarcinilor;
- se scriu relațiile care dău forță tăietoare și momentul incovoiator funcție de variabila x pe diverse intervale ale grinzi;
- se reprezintă grafic variația acestora alegindu-se o linie de reper paralelă cu axa grinzi și de aceeași lungime cu ea.

Forțele tăietoare și momentele incovoietoare se reprezintă față de această linie de reper la o anumită scară. Forțele tăietoare pozitive se reprezintă deasupra liniei de reper și cele negative — dedesubt; iar pentru momentele incovoietoare invers, adică cele pozitive dedesubt și cele negative deasupra liniei de reper.

În cele ce urmează sint prezentate cîteva exemple de modul în care se construiesc aceste diagrame pentru cîteva cazuri simple de încărcare.

EXEMPLE DE CALCUL

1. Grinda de susținere a unui scripete (fig. 5.10, a). Convențional aceasta poate fi prezentată ca în figura 5.10, b și reprezintă o grindă simplu rezemată încărcată cu o sarcină concentrată.

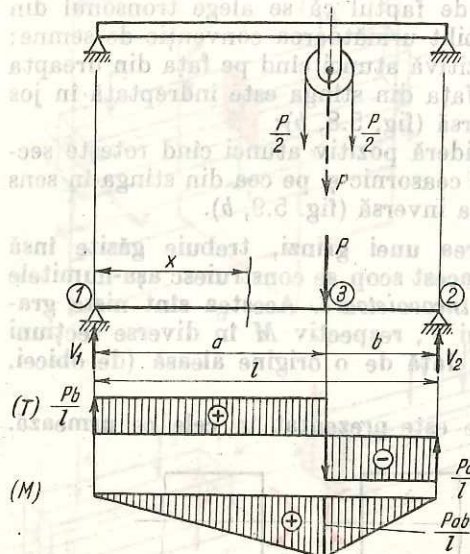


Fig. 5.10. Grindă simplu rezemată încărcată cu o sarcină concentrată:

a — grinda de susținere a unui scripete; b — reprezentarea schematică a acesteia și diagramele de eforturi T și M .

$$T_{13} = V_1 = -\frac{Pb}{l};$$

$$T_{32} = V_2 = \frac{Pb}{l} - P = -\frac{Pa}{l} = -V_1.$$

Rezultă

$$V_1 = \frac{Pb}{l}; \quad V_2 = \frac{Pa}{l}.$$

Forța tăietoare pe intervalele 1 — 3 și 3 — 2 este dată de relațiile

Se constată că în dreptul secțiunii 3 diagrama are un salt. În această secțiune, forța tăietoare trece prin valoarea zero. În secțiunea situată imediat în stînga secțiunii 3 valoarea forței tăietoare este $T_{3-2} = \frac{Pb}{l}$, iar într-o secțiune situată imediat în dreapta secțiunii 3 forța tăietoare are valoarea $T_{3+2} = -\frac{Pa}{l}$.

Din diagramă de forțe tăietoare construită rezultă că pe intervalul între două forțe concentrate forța tăietoare este constantă, iar în dreptul lor au loc discontinuități a căror valoare este egală chiar cu valoarea acestor forțe.

Momentul incovoiotor pe intervalul 1 — 3 este

$$M_{13} = V_1 x = P \frac{b}{l} x.$$

Din această relație rezultă că momentul incovoiotor variază liniar. În secțiunea 1 valoarea lui se obține înlocuindu-se în relația de mai sus $x = 0$; $M_1 = 0$, iar în secțiunea 3 înlocuindu-se $x = a$, $M_3 = P \frac{ab}{l}$.

Momentul incovoiotor pe intervalul 3 — 2 este

$$M_{32} = V_2 x - P(x - a) = P \frac{b}{l} x - P(x - a)$$

și are de asemenea o variație liniară, avînd valorile extreme pentru $x = a$, $M_3 = P \frac{ab}{l}$, respectiv pentru $x = l$, $M_2 = 0$.

La aceeași expresie a momentului incovoiotor pe intervalul 3 — 2 se ajunge dacă se iau forțele situate la dreapta secțiunii cu semn schimbat, și anume

$$M_{32} = V_2 x' = \frac{Pa}{l} x',$$

Valorile extreme se obțin pentru $x' = 0$, $M_2 = 0$, respectiv pentru $x' = b$, $M_3 = P \frac{ab}{l}$.

Se observă pe această diagramă că:

— pe porțiunea de grindă pentru care forța tăietoare este constantă momentul incovoiotor variază liniar;

— diagrama își schimbă panta în dreptul forței concentrate;

— valoarea maximă a momentului are loc în secțiunea în care forța tăietoare trece prin zero.

Cea mai mare valoare a momentului de pe grindă este

$$M_{max} = M_3 = \frac{Pab}{l}.$$

Pentru cazul cînd forța concentrată este aplicată pe mijlocul deschiderii grinzi, adică $a = b = \frac{l}{2}$, momentul incovoiotor maxim are valoarea

$$M_{max} = \frac{Pl}{4}.$$

știi să răspundem la întrebările și întrebările legate de rezolvarea exercițiilor.

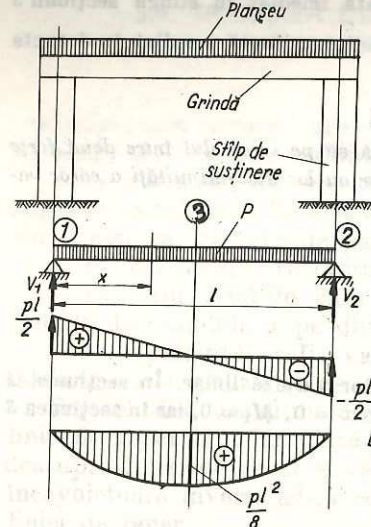


Fig. 5.11. Grindă simplu rezemată încărcată cu o sarcină uniform repartizată:

a — grinda de susținere a unui planșeu;
b — reprezentarea schematică a acesteia și diagramele de eforturi T și M .

Momentul încovoiator pe intervalul 1–2 este

$$M_{12} = V_1 x - px \frac{x}{2} = \frac{pl}{2} x - \frac{px^2}{2} = \frac{px}{2} (l - x).$$

Din această relație rezultă că valoarea momentului este funcție de pătratul abscisei x , diagrama de variație fiind o parabolă de gradul doi. Trasarea se face calculându-se circa 3–4 puncte ale acestei curbe. Se obțin astfel:

— pentru $x = 0$, $M_1 = 0$;

— pentru $x = \frac{l}{2}$, $M_3 = \frac{pl}{4} \left(l - \frac{l}{2} \right) = \frac{pl^2}{8}$;

— pentru $x = l$, $M_2 = 0$.

Trăsindu-se această diagramă, se observă că cea mai mare valoare a momentului încovoiator are loc în secțiunea situată la mijlocul grinzii, acolo unde forța tăietoare este zero.

Din trasarea celor două diagrame rezultă că pentru bara încărcată cu o sarcină uniformă distribuită, forța tăietoare variază liniar, iar momentul încovoiator variază parabolic.

De asemenea se observă, ca și în diagramele din exemplul 1, că în secțiunile în care forța tăietoare trece prin zero momentele încovoiatoare au valori maxime sau minime.

3. Grinda de susținere a sabotilor de frânare a unui volant (fig. 5.12, a). Schematic, în figura 5.12, b se prezintă ca o grindă simplu rezemată, încărcată cu un cuplu concentrat $M_0 = F \cdot l$.

R e z o l v a r e :

Reacțiunile V_1 și V_2 se determină din ecuațiile de echilibru. Se obține

$$V_1 = V_2 = \frac{M_0}{l}.$$

Pe porțiunea dintre 1 și 3, forța tăietoare este constantă și egală cu

$$T_{13} = -V_1 = -\frac{M_0}{l}.$$

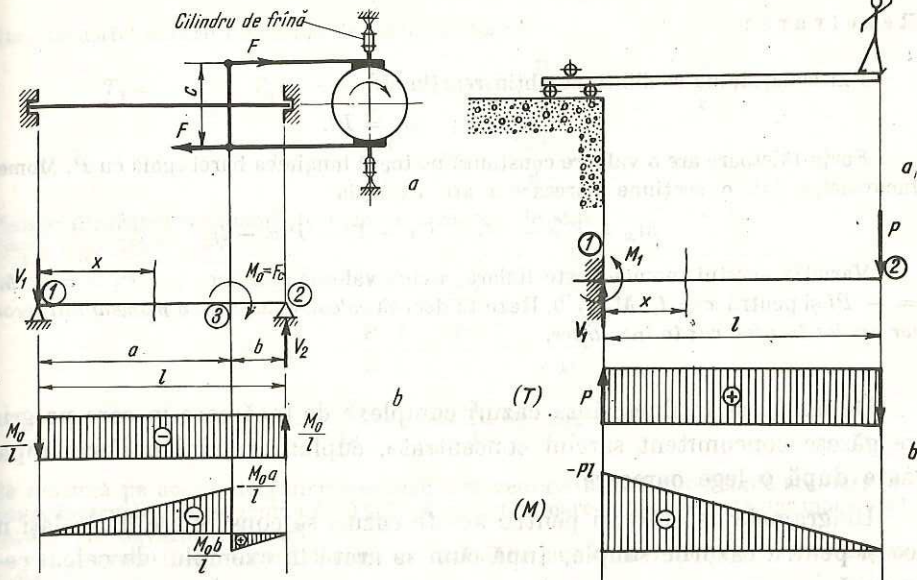


Fig. 5.12. Grindă simplu rezemată încărcată cu un cuplu:

a — grinda de susținere a sabotilor de frânare a unui volant; b — reprezentarea schematică a acesteia și diagramele de eforturi T și M .

Pentru porțiunea 3–2, forța tăietoare este de asemenea constantă:

$$T_{32} = -V_1 = -\frac{M_0}{l}.$$

Momentul încovoiator pe prima porțiune de grindă este

$$M_{13} = -V_1 x = -\frac{M_0}{l} x.$$

Valorile extreme pe această porțiune sunt: pentru $x = 0$, $M_1 = 0$; pentru $x = a$, $M_3 = -\frac{M_0}{l} a$.

Pentru porțiunea de grindă 3–2, momentul încovoiator este

$$M_{32} = -V_1 x + M_0 = -\frac{M_0}{l} x + M_0.$$

Variația este de asemenea liniară cu valorile extreme: pentru $x = a$,

$$M_3 = -\frac{M_0}{l} a + M_0 = M_0 \frac{b}{l};$$

pentru $x = l$, $M_2 = 0$.

Din reprezentarea grafică a forței tăietoare și a momentului încovoiator rezultă pe lîngă concluziile trase la primul exemplu și o altă concluzie, și anume — în dreptul secțiunii unde se aplică cuplul, în diagrama de momente se produce un salt egal cu valoarea cuplului.

4. Trambulina pentru sărituri în apă (fig. 5.13, a). Aceasta este o grindă încastrată la un capăt și încărcată pe capătul liber cu o sarcină concentrată (fig. 5.13, b).

Rezolvare:

Din ecuațiile de echilibru se obțin reacțiunile

$$V_1 = P; \quad M_1 = Pl.$$

Forța tăietoare are o valoare constantă pe toată lungimea barei egală cu P . Momentul încovoietor într-o secțiune oarecare x are expresia

$$M_x = V_1 x - M_1 = Px - Pl = P(x - l).$$

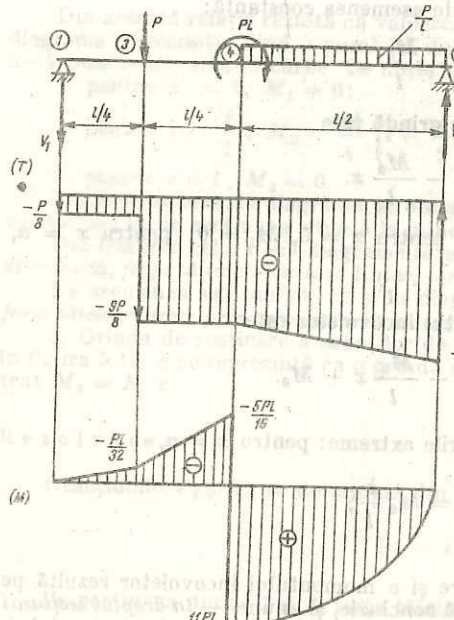
Variația acestui moment este liniară, având valorile extreme: pentru $x = 0$, $M_1 = -Pl$ și pentru $x = l$, $M_2 = 0$. Rezultă deci că *valoarea maximă a momentului încovoietor are loc în acest caz în incastrare*.

De obicei se întâlnesc însă cazuri complexe de încărcare în care pe grindă se găsesc concomitent sarcini concentrate, cupluri, sarcini uniform repartizate după o lege oarecare.

Diagramale de eforturi pentru aceste cazuri se construiesc în același mod ca și pentru cazurile simple, după cum se arată în exemplul de calcul ce urmează.

EXEMPLU DE CALCUL

Să se construască diagramele de eforturi pentru grinda dreaptă simplu rezemată solicitată ca în figura 5.14.



Rezolvare:

Se calculează reacțiunile scriindu-se ecuațiile de echilibru ale momentelor în raport cu cele două reazeme ale grinzelii:

$$V_1 l + P \frac{3l}{4} - Pl + \frac{P}{l} \frac{l}{2} \frac{l}{4} = 0;$$

$$V_1 = \frac{P}{8}.$$

$$V_2 l - \frac{P}{l} \frac{l}{2} \frac{3l}{4} - Pl - \frac{Pl}{4} = 0;$$

$$V_2 = \frac{13}{8} P.$$

Diagramale de eforturi se construiesc înțîndu-se seama de definițiile date și de concluziile rezultate din exemplele de construire a acestora pentru cazurile de încărcări simple prezentate mai înainte.

Fig. 5.14. Grindă dreaptă simplu rezemată solicitată la încovoiere cu diverse sarcini.

Rezultă astfel pentru diagrama de forțe tăietoare:

$$T_1 = -\frac{P}{8}; \quad T_{3-\epsilon} = -\frac{P}{8}; \quad T_{3+\epsilon} = -\frac{P}{8} - P = -\frac{9P}{8};$$

$$T_4 = -\frac{9P}{8}; \quad T_2 = \frac{13P}{8}.$$

Pentru diagrama de momente valorile remarcabile sunt

$$M_1 = 0; \quad M_3 = -\frac{P}{8} \frac{l}{4} = -\frac{Pl}{32};$$

$$M_{4-\epsilon} = -\frac{P}{8} \frac{l}{2} - \frac{Pl}{4} = -\frac{5Pl}{16};$$

$$M_{4+\epsilon} = -\frac{5Pl}{16} + Pl = \frac{11}{16} Pl; \quad M_2 = 0.$$

Se remarcă pe aceste diagrame concluziile prezentate la cazurile simple studiate, și anume: -pe intervalele de pe grindă 1-3 și 3-4 forța tăietoare este constantă, iar momentul încovoietor are o variație liniară;

-pe intervalul 4-2, forța tăietoare variază liniar, iar momentul încovoietor variază parabolic;

-se remarcă de asemenea saltul din diagrama de forțe tăietoare în dreptul sarcinii concentrate și cel din diagrama de momente în dreptul cuplului.

5.5. TENSIUNI ÎN BARELE DREpte SOLICITATE LA ÎNCVOIERE. FORMULA LUI NAVIER

După cum s-a arătat mai înainte, forța tăietoare și momentul încovoietor sunt de fapt rezultanta tuturor tensiunilor care acționează pe fiecare din suprafețele elementare ΔA în care poate fi împărțită secțiunea.

În cazul cel mai general, pe o asemenea suprafață elementară ΔA , se poate considera că tensiunea este distribuită uniform și are pe unitatea de suprafață valoarea $\bar{p} = \frac{\Delta F}{\Delta A}$ sensul și direcția fiind cele ale forței elementare ΔF .

Dacă direcția componentei σ este cunoscută (normală pe suprafața secțiunii), direcția componentei τ cuprinsă în planul secțiunii se determină prin următorul raționament.

Pentru ca rezultantele tuturor forțelor elementare ΔF să se reducă la o forță normală pe axa grinzelii (forță tăietoare) cuprinsă în planul de acționare al forțelor și un cuplu (momentul încovoietor M_i) perpendicular pe acest plan (care este plan de simetrie al grinzelii) este necesar ca aceste forțe elementare, respectiv tensiunile \bar{p} , să fie simetrice în raport cu planul de acționare al forțelor (fig. 5.15).

Direcția tensiunii normale σ fiind cunoscută, rezultă că tensiunea tangențială τ are o componentă paralelă cu planul de acționare al sarcinilor τ_y și o altă componentă τ_z perpendiculară pe acest plan.

Rezultă deci că forța tăietoare T este echilibrată numai de tensiunile tangențiale τ_y și este egală cu suma tuturor acestor tensiuni pe întreaga suprafață a secțiunii, respectiv:

$$T = \sum_A \tau_y \Delta A. \quad (5.1)$$

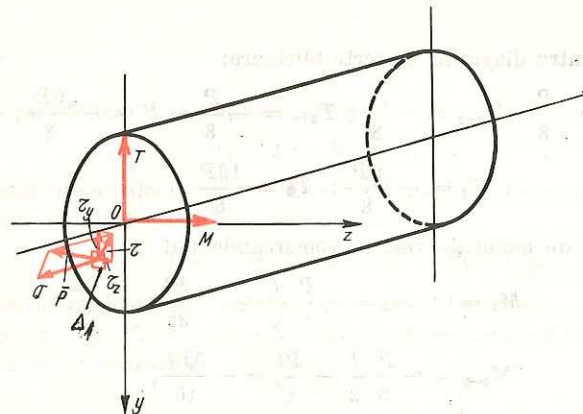


Fig. 5.15. Tensiuni pe secțiune în barele solicitate la încovoiere.

De asemenea, rezultă că momentul încovoietor M_i este echilibrat numai de tensiunile normale σ_i și este egal cu suma tuturor momentelor elementare produse de aceste tensiuni. Momentul elementar ΔM_i produs de tensiunea care acionează pe suprafața elementară ΔA situată la distanța y de axa Oz este

$$\Delta M_i = \sigma_i y \Delta A,$$

produsul $\sigma \Delta A$ fiind forța elementară care produce acest moment elementar. Rezultă

$$M_i = \sum_A \sigma_i y \Delta A. \quad (5.2)$$

Cunoscind faptul că forța tăietoare produce tensiunile tangențiale τ_y și τ_z pe secțiune, iar momentul încovoietor produce tensiunile normale σ , studierea acestora din urmă se poate face pentru cazul particular de încovoiere în care $T = 0$. Acest caz, în care pe secțiune există numai moment încovoietor, este cunoscut sub denumirea de *încovoiere pură*.

Un caz de încovoiere pură îl prezintă o grindă dreaptă, pe capetele căreia se aplică cîte un cuplu (fig. 5.16).

La încovoierea pură în oricare secțiune normală pe axa barei, momentul încovoietor este același și produce tensiunile σ_i , a căror mărime variază pe secțiune de la un punct la altul. Pentru determinarea modului de repartizare a acestor tensiuni pe secțiune, se recurge la experiență.

În acest scop se ia o bară de cauciuc de secțiune dreptunghiulară și se trasează pe fețele ei laterale o rețea de pătrate (fig. 5.17, a). Aplicind acestei bare cîte un cuplu pe fiecare capăt, ea se va deforma, muchiile pătratelor de pe partea convexă lungindu-se, iar cele de pe partea concavă scurțindu-se. Rezultă astfel că fibrele longitudinale se lungesc pe partea convexă și se scurtează pe partea concavă. Trecerea de la fibrele care se lungesc la cele care se scurtează este continuă; deci există un strat de fibre ce nu-și schimbă

lungimea și separă partea comprimată a grinzi de cea întinsă, constituind *suprafața neutră* (fig. 5.18). Intersecția acestui plan (suprafața neutră) cu planul secțiunii normale pe axa grinzii se face după o dreaptă numită *axă neutră*.

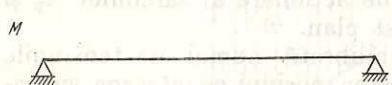


Fig. 5.16. Bară dreaptă solicitată la încovoiere pură.

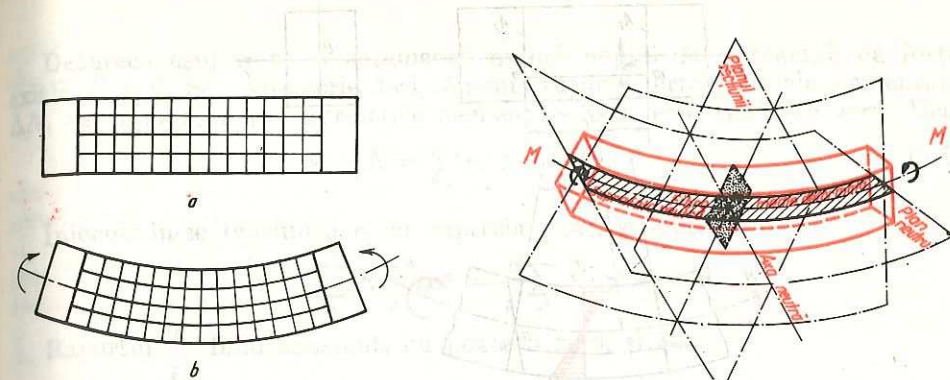


Fig. 5.17. Verificarea ipotezei lui Bernoulli la încovoiere:

a – bara înainte de solicitare; b – bara după solicitare.

Fig. 5.18. Definirea diverselor elemente geometrice caracteristice unei bare solicitate la încovoiere.

Planul neutră intersectează de asemenea planul de simetrie al grinzi după o dreaptă ce poartă numele de *fibră medie deformată*, care la barele drepte se confundă cu axa barei.

Pe aceleași fețe laterale, după deformare, se observă că liniile transversale ale rețelei se inclină una față de alta, dar rămân drepte și normale față de liniile longitudinale. De asemenea se observă că unghurile pătratelor deformată rămân drepte, nu există deformații de lunecare, ceea ce confirmă că pe secțiune nu apar tensiuni tangențiale.

Din motive de simetrie și pe față opusă rețeaua de pătrate se deformează la fel. Aceasta îndreptăște concluzia, ce se poate trage, că modul în care se produc deformațiile în interiorul barei este asemenea celui ce se petrece în exterior. În consecință, planul neutră devine după deformare o suprafață cilindrică, planul de acționare al forțelor care este plan de simetrie al grinzi rămâne neschimbat, nu se deformează, axa neutră este o dreaptă perpendiculară pe planul de acționare al forțelor, iar secțiunile transversale ale barei se rotesc în jurul axelor neutre.

Acest mod de a se deforma al grinzi, la care axa acesteia după deformare rămîne în planul de acționare al forțelor exterioare, se numește *încovoiere plană*.

Se poate spune deci că la încovoierea pură, grinda se deformează, astfel încît se verifică ipoteza lui Bernoulli, după care o secțiune plană și normală înainte de deformare rămîne plană și normală și după deformare.

Cu ajutorul acestei ipoteze se poate stabili, după cum se va vedea mai departe, legea de variație a lungirii fibrelor, respectiv a tensiunilor pe înălțimea secțiunii grinzi.

Pentru aceasta se izolează din grinda de mai sus un element de lungime inițială l_0 (fig. 5.19) mărginit de secțiunile transversale A_1 și A_2 normale pe axa grinzii. După deformare, aceste două secțiuni vor face între ele un unghi φ , toate fibrele încovoindu-se. Fibrele cuprinse pe suprafața neutră își vor păstra însă lungimea inițială l_0 . Dacă momentul încovoietor are sensul pozitiv ca în figură, fibrele situate sub axa neutră se lungesc, fiind întinse, iar cele situate deasupra acestei axe se scurtează, fiind comprimate. Alegind axa neutră ca axă Oz a secțiunii, distanța unei fibre oarecare $m-n$ pînă la această axă va fi y . Notind de asemenea raza de curbură a fibrei medii deformată cu ρ , fibra $m-n$ va avea înainte de deformare aceeași lungime cu cea a fibrei

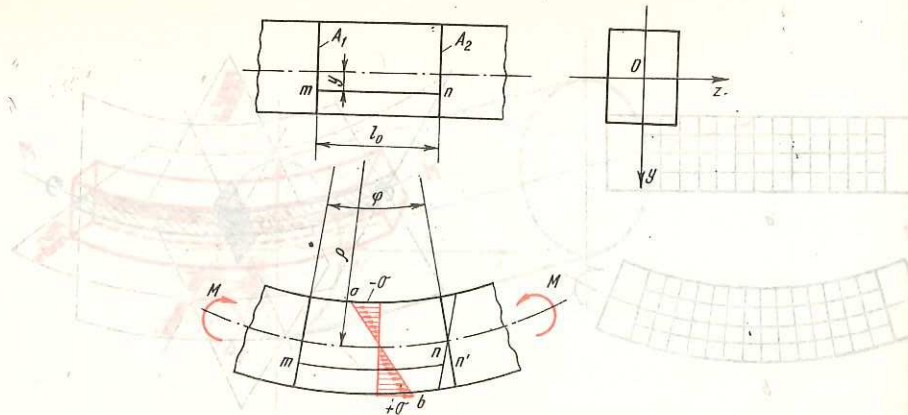


Fig. 5.19. Element de bară dreaptă supus la încovoiere.

medii deformate, a cărei lungime după deformare se poate scrie ca fiind $mn = \rho\varphi$.

După deformare, fibra $m-n$ se lungeste și deoarece raza ei de curbură este $\rho + y$, lungimea totală a acesteia $m'-n'$ este egală cu $(\rho + y)\varphi$.

Lungirea acesteia este diferența dintre cele două lungimi și se determină scriindu-se

$$\Delta l = (\rho + y)\varphi - \rho\varphi = y\varphi.$$

Alungirea acestei fibre este

$$\epsilon = \frac{\Delta l}{l} = \frac{y\varphi}{\rho\varphi} = \frac{y}{\rho}. \quad (5.3)$$

Din această relație, rezultă că alungirea fibrelor este proporțională cu distanța pînă la axa neutră, avind valoarea maximă în fibrele cele mai depărtate de planul neutră, pozitivă pentru y pozitiv, deci alungire, și negativă pentru y negativ, deci scurtare.

Alungirile și scurtările respective sunt însoțite de tensiuni normale σ . Admitindu-se că fibrele longitudinale ale barei nu se apasă una pe alta, că sunt supuse la întindere sau compresiune simplă și că tensiunile normale nu depășesc limita de proporționalitate, se poate aplica legea lui Hooke și tensiunea normală este

$$\sigma_i = E\epsilon = E \frac{y}{\rho}. \quad (5.4)$$

Deoarece, pentru o grindă dintr-un material dat, modulul de elasticitate E este o constantă și unui cuplu M ii corespunde o anumită valoare a razei de curbură ρ , se poate conchide că tensiunile normale σ variază liniar pe secțiune ca și alungirea ϵ .

Rezultă, deci, că atât σ_i cât și ϵ sunt egale cu zero în planul neutră și au valorile maxime în fibrele cele mai depărtate de acest plan.

Tensiunea normală este pozitivă, pentru y pozitiv, și negativă, pentru y negativ. Partea din grindă situată dedesubtul planului neutră este întinsă, iar cea situată deasupra acestuia este comprimată.

Reprezentind tensiunile normale σ_i ca niște vectori normali pe secțiune, cu sensul către exteriorul grindii, pentru tensiunile normale de întindere, și cu sensul invers pentru cele de compresiune, atunci extremitățile vectorilor vor forma un plan ab , care trece prin axa neutră Oz (fig. 5.19).

Deoarece asupra barei acționează numai cuplul M , înseamnă că forța axială $N = 0$. Se poate scrie deci că suma tuturor forțelor axiale elementare ΔN , ce acționează pe suprafețele elementare ΔA , este egală cu zero. Deci

$$N = \sum_A \sigma_i \Delta A = 0. \quad (5.5)$$

Înlocuindu-se tensiunea σ_i cu expresia (5.4), se obține

$$N = \sum_A E \frac{y}{\rho} \Delta A = \frac{E}{\rho} \sum_A y \Delta A = 0.$$

Raportul $\frac{E}{\rho}$ fiind constant, nu poate fi zero, și deci

$$\sum_A y \Delta A = 0. \quad (5.6)$$

Această expresie reprezintă momentul static al suprafeței secțiunii grindii în raport cu axa neutră. Pentru ca expresia (5.6) să fie nulă, trebuie ca axa neutră să treacă prin centrul de greutate al secțiunii.

Rezultă, deci, concluzia că, la încovoierea barelor drepte, axa neutră trece prin centrul de greutate al secțiunii.

După cum s-a arătat, valoarea lui σ_i depinde de mărimea cuplului M care solicită bara. Între acest cuplu și tensiune există relația (5.2).

Înlocuindu-se în relația (5.2) expresia lui σ_i din relația (5.4), se obține

$$M = \sum_A \sigma_i y \Delta A = \sum_A E \frac{y}{\rho} y \Delta A = \frac{E}{\rho} \sum_A y^2 \Delta A. \quad (5.7)$$

Dar $\sum_A y^2 \Delta A$ reprezintă momentul de inerție I_z în raport cu axa Oz . Deci relația (5.7) se poate scrie

$$M = \frac{E}{\rho} I_z. \quad (5.8)$$

Împărțind între ele relațiile (5.4) și (5.8), se obține

$$\sigma_i = \frac{M}{I_z} y. \quad (5.9)$$

Această relație exprimă legătura ce există între tensiunea normală ce apare pe secțiune într-un punct oarecare al secțiunii, momentul M din acea secțiune și forma și dimensiunile secțiunii cuprinse în I_z .

Formula de mai sus poartă numele de formula lui Navier.

Din relația (5.9) rezultă că cea mai mare tensiune are loc în fibrele cele mai depărtate de axa neutră, pentru care $y = y_{max}$. În acest caz, relația devine

$$\sigma_i = \sigma_{max} = \frac{M}{I_z} y_{max} = \frac{M}{I_z}.$$

Introducind noțiunea de modul de rezistență definită în capitolul 4 (relația 4.22), se obține

$$\sigma_i = \frac{M}{W_z}. \quad (5.10)$$

Relația (5.10) constituie formula de bază pentru calculul de rezistență la încovoiere al unei bare drepte. Structural ea este analoagă cu formula de calcul ce dă tensiunile normale la solicitarea de întinderă sau compresiune, respectiv $\sigma_t = \frac{N}{A}$.

În ambele relații, numărătorul reprezintă un efort și conține deci sarcinile care acționează asupra grinzi, iar numitorul reprezintă mărimea ce conțin forma și dimensiunile geometrice ale secțiunii transversale a grinzi.

Că și în cazul întinderii sau compresiunii, cu ajutorul relației (5.10) pot fi rezolvate trei tipuri de probleme, după cum trebuie determinată una sau alta din cele trei mărimi pe care le conține.

5.6. CALCULUL DE DIMENSIONARE, VERIFICARE SI DETERMINARE A MOMENTULUI CAPABIL LA ÎNCVOIOIRE

În legătură cu aplicarea formulei lui Navier sunt necesare următoarele precizări:

1) Formula stabilește legea de variație a tensiunilor normale pe secțiune în ipoteza încovoierii pure. Experimental însă s-a stabilit că ea poate fi aplicată și în cazul încovoierii simple (atunci cind pe secțiune există și forțe tăietoare), cind secțiunile grinzi nu mai rămân plane după deformare.

2) Formula dedusă se aplică numai pentru grinzi ale căror secțiuni au o axă de simetrie, iar sarcinile aplicate se găsesc în planul de simetrie al acestora.

3) Axa neutră de la care se măsoară y_{max} trece prin centrul de greutate al secțiunii și este perpendiculară pe axa de simetrie a acesteia.

5.6.1. Calculul de dimensionare

Pentru efectuarea acestui calcul trebuie avut în vedere faptul că tensiunea din oricare punct al barei nu trebuie să fie mai mare decât valoarea rezistenței admisibile.

Dacă bara de dimensionat are aceeași secțiune pe toată lungimea ei, la dimensionare se ia în considerație tensiunea maximă corespunzătoare celui mai mare moment încovoietor de pe grinda, determinat din diagrama de momente încovoietoare.

În cazul în care bara este alcătuită din tronsoane de diferite secțiuni, la dimensionare se ia în considerație tensiunea maximă corespunzătoare tronsonului de dimensionat.

Relația de dimensionare se obține din condiția

$$\sigma_{i\ max} = \frac{M_{i\ max}}{W_{nec}} \leq \sigma_{ai}$$

de unde

$$W_{nec} = \frac{M_{max}}{\sigma_{ai}}$$
(5.11)

Din această relație se obține valoarea modulului de rezistență al grinzi de dimensionat, nu însă și forma și dimensiunile secțiunii acesteia.

O indicație asupra alegerii secțiunii se poate obține din modul de comportare al materialelor la întindere și compresiune.

În cazul în care materialul din care se execută grinda rezistă la fel la întindere și la compresiune (otelul), rezistențele admisibile pentru ambele solicitări sunt egale între ele. Datorită acestui fapt, din considerente economice, se preferă secțiunile cu două axe de simetrie.

În cazul în care materialul grinzi rezistă diferit la întindere și compresiune (fontă, betonul, pietrele), secțiunea grinzi trebuie astfel aleasă încât forma și dimensiunile sale să satisfacă condiția de rezistență la ambele solicitări. Pentru acest caz se preferă secțiunile cu o axă de simetrie.

O altă indicație legată de alegera formei secțiunii grinzi de dimensionat cere o utilizare cât mai bună a materialului.

Aceasta se realizează luându-se o secțiune căreia să-i corespundă pentru același modul de rezistență necesar, rezultat din calcul, o arie cât mai mică, ceea ce se poate obține printr-o formă a secțiunii a cărei suprafață să fie cât mai depărtată de axa neutră. Aceasta se explică prin faptul că numai în fibrele extreme se ating valorile maxime ale tensiunilor egale cu rezistența admisibilă. Restul secțiunii este cu atât mai neeconomic folosit, cu cât se află mai aproape de axa neutră.

Deoarece cantitatea de material necesară la realizarea unei grinzi este proporțională cu aria secțiunii acesteia, pentru una și aceeași arie a secțiunii, materialul este folosit cu atât mai economic, cu cât modulul de rezistență este mai mare. Deci buna utilizare a materialului se apreciază prin mărimea raportului $\frac{W}{A}$. Cu cât valoarea acestuia este mai ridicată, cu atât secțiunea aleasă este mai economică.

EXEMPLE DE CALCUL

1. Se dă grinda dreaptă simplu rezemată din figura 5.20.

Se cere:

— să se construiască diagramele de eforturi;

— să se dimensioneze, considerind grinda pe rînd cu secțiunea circulară cu diametrul d , cu secțiunea patrată de latură a , cu secțiunea dreptunghiulară de laturi b , respectiv $h = 1,5 b$, cu secțiunea inelară de diametru exterior D și interior $d = 0,8 D$ și cu secțiunea profil I ;

— să se compare rezultatele dimensionării și să se tragă concluziile ce se impun privind consumul de material.

Se dă: $P = 18 \text{ kN}$; $l = 3 \text{ m}$; $\sigma_{ai} = 140 \text{ MPa}$.

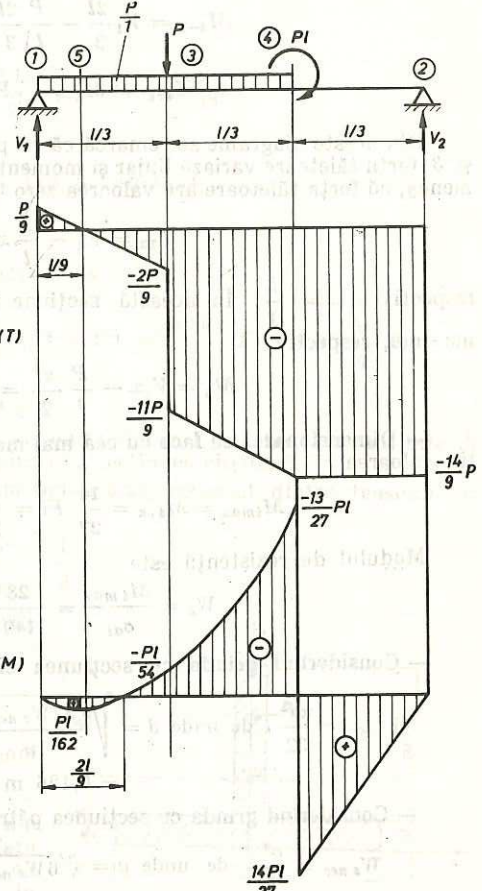


Fig. 5.20. Grindă simplu rezemată încărcată complex.

Rezolvare:

Se calculează reacțiunile din rezemă și ecuația de momente în raport cu rezemul 2 și ecuația de proiecții pe verticală, respectiv

$$V_1l - \frac{P}{l} \frac{2l}{3} \frac{2l}{3} - P \frac{2l}{3} + Pl = 0; V_1 + V_2 = P + \frac{2P}{3}.$$

Din aceste două ecuații rezultă

$$V_1 = \frac{P}{9}, \quad V_2 = \frac{14}{9}P.$$

Se construiește diagrama de forțe tăietoare.

Valorile forțelor tăietoare în diverse puncte de pe grindă sunt

$$T_1 = V_1 = \frac{P}{9}; \quad T_{3-\varepsilon} = T_1 - \frac{P}{l} \frac{l}{3} = -\frac{2}{9}P; \quad T_{3+\varepsilon} = -\frac{2P}{9} - P = -\frac{11}{9}P;$$

$$T_4 = T_{3+\varepsilon} - \frac{P}{l} \frac{l}{3} = -\frac{14}{9}P; \quad T_2 = -V_2 = -\frac{14}{9}P.$$

Valorile momentelor încovoitoare în diverse puncte de pe grindă sunt

$$M_1 = 0; M_2 = V_1 \frac{l}{3} - \frac{P}{l} \frac{l}{3} \frac{l}{6} = -\frac{Pl}{54};$$

$$M_{4-\varepsilon} = V_1 \frac{2l}{3} - \frac{P}{l} \frac{2l}{3} \frac{l}{3} - P \frac{l}{3} = -\frac{13}{27}Pl;$$

$$M_{4+\varepsilon} = M_{4-\varepsilon} - Pl = \frac{14}{27}Pl; \quad M_2 = 0.$$

Din aceste diagrame se remarcă că pe porțiunea de grindă cuprinsă între secțiunile 1 și 3 forța tăietoare variază liniar și momentul încovoitor parabolic. Se remarcă, de asemenea, că forța tăietoare are valoarea zero în secțiunea care anulează expresia

$$T_{13} = V_1 - \frac{P}{l}x = \frac{P}{9} - \frac{P}{l}x = 0,$$

respectiv în $x = \frac{l}{9}$. În această secțiune momentul încovoitor trece printr-o valoare maximă, respectiv

$$M_5 = V_1x - \frac{P}{l} \frac{x^2}{2} = \frac{P}{9} \frac{l}{9} - \frac{P}{l} \frac{l^2}{162} = \frac{Pl}{162}.$$

Dimensionarea se face cu cea mai mare valoare a momentului încovoitor, respectiv valoarea

$$M_{imax} = M_{4+\varepsilon} = \frac{14}{27}Pl = \frac{14}{27} \cdot 18000 \cdot 3 = 28000 \text{ Nm.}$$

Modulul de rezistență este

$$W_z = \frac{M_{imax}}{\sigma_{ai}} = \frac{28000}{140 \cdot 10^6} = 200 \cdot 10^{-6} \text{ m}^3.$$

Considerind grinda cu secțiunea circulară:

$$W_{z nec} = \frac{\pi d^3}{32}, \text{ de unde } d = \sqrt[3]{\frac{32W_{z nec}}{\pi}} = \sqrt[3]{\frac{32 \cdot 200 \cdot 10^{-6}}{\pi}} \approx \sqrt[3]{2 \cdot 10^{-3}} = 0,126 \text{ m} = 126 \text{ mm.}$$

Considerind grinda cu secțiunea pătrată:

$$W_{z nec} = \frac{a^3}{6}, \text{ de unde } a = \sqrt[3]{6W_{z nec}} = \sqrt[3]{6 \cdot 200 \cdot 10^{-6}} = \sqrt[3]{1,2 \cdot 10^{-3}} = 0,106 \text{ m} = 106 \text{ mm.}$$

— Considerind grinda cu secțiunea dreptunghiulară:

$$W_{z nec} = \frac{bh^2}{6} = \frac{2,25b^3}{6}, \text{ de unde } b = \sqrt[3]{\frac{6W_{z nec}}{2,25}} = \sqrt[3]{\frac{6 \cdot 200 \cdot 10^{-6}}{2,25}} = 0,081 \text{ m} = 81 \text{ mm}; \\ h = 121,5 \text{ mm.}$$

— Considerind grinda cu secțiunea inelară:

$$W_{z nec} = \frac{\pi(D^4 - d^4)}{32D} = \frac{\pi D^3(1 - 0,41)}{32} = \frac{0,59\pi D^3}{32},$$

$$\text{de unde } D = \sqrt[3]{\frac{32W_{z nec}}{0,59\pi}} = \sqrt[3]{\frac{32 \cdot 200 \cdot 10^{-6}}{0,59\pi}} = 0,151 \text{ m}; d = 0,8D \cong 0,12 \text{ m.}$$

— Considerind grinda cu secțiunea I, din STAS 565-80 se găsește că profilul cu modulul de rezistență cu valoarea mai mare decât $W_{z nec}$, dar cea mai apropiată de aceasta, este cel corespunzător lui 120 pentru care $W_{z nec} = 214 \text{ cm}^3$.

— Pentru compararea cantității de material, folosită la realizarea grinzelor cu diverse forme de secțiuni, este suficient să se compare între ele arile secțiunilor corespunzătoare.

Aceste arii sunt următoarele:

— pentru secțiunea circulară:

$$A_c = \frac{\pi d^2}{4} = \frac{\pi \cdot 0,126^2}{4} = 124 \cdot 10^{-4} \text{ m}^2;$$

— pentru secțiunea pătrată:

$$A_p = a^2 = 0,106^2 = 112,36 \cdot 10^{-4} \text{ m}^2;$$

— pentru secțiunea dreptunghiulară:

$$A_d = 1,5b^2 = 1,5 \cdot 0,081^2 = 98,41 \cdot 10^{-4} \text{ m}^2;$$

$$— \text{pentru secțiunea inelară: } A_i = \frac{\pi}{4} (D^2 - d^2) = \frac{0,36\pi}{4} D^2 = 0,36 \frac{\pi}{4} 0,151^2 = 64,43 \cdot 10^{-4} \text{ m}^2;$$

$$— \text{pentru secțiunea I: } A_I = 33,5 \cdot 10^{-4} \text{ m}^2.$$

Concluzia ce se impune este aceea că grinda cu secțiunea I înglobează o cantitate de material de circa patru ori mai mică decât grinda cu secțiunea circulară.

2. La o grindă de fontă cu secțiunea din figura 5.21, raportul dintre tensiunile la încovoiere în fibrele extreme este

$$\frac{\sigma_1}{\sigma_2} = \frac{\sigma_{at}}{\sigma_{ac}} = \frac{1}{3}.$$

Să se găsească dimensiunea b a grinzelor.

Rezolvare:

Dacă $\frac{\sigma_1}{\sigma_2} = \frac{h_1}{h_2} = \frac{1}{3}$ și $h_1 + h_2 = 10$, atunci $h_1 = 2,5 \text{ cm}$ și $h_2 = 7,5 \text{ cm}$.

Scriind că suma momentelor statice ale suprafețelor simple ce alcătuiesc suprafața compusă, în raport cu axa Oz , este egală cu momentul static al suprafeței compuse în raport cu aceeași axă, rezultă

$$b \cdot 1 + 8 \cdot 2 \cdot 6 = (2b + 16)h_1, \text{ de unde rezultă } b = 18,7 \text{ cm.}$$

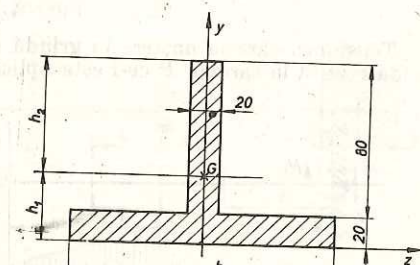


Fig. 5.21. Grindă de fontă cu secțiunea T.

5.6.2. Calculul de verificare

Dacă asupra unei bare date, ca dimensiune și formă a secțiunii, urmează să fie aplicată o anumită sarcină, trebuie să se verifice dacă aceasta poate fi suportată. În acest scop se verifică tensiunea efectivă, care trebuie să fie mai mică decât rezistența admisibilă. Ca și la dimensionare se determină mai întâi secțiunea în care acționează momentul maxim și se calculează valoarea modulului de rezistență W_z .

Tensiunea normală efectivă se obține din relația

$$\sigma_i = \frac{M_{i\ max}}{W_z} \leq \sigma_{ai}. \quad (5.12)$$

Modul de rezolvare al unei asemenea probleme poate fi urmărit pe exemplul de calcul următor.

EXEMPLU DE CALCUL

Să se verifice grinda de oțel din figura 5.22 de secțiune circulară cu diametrul $d = 0,11$ m, încastrată la un capăt și încărcată cu o sarcină concentrată P pe capătul liber, dacă lungimea ei este $l = 1$ m.

$$P = 14,5 \text{ kN}, \text{ iar } \sigma_{ai} = 120 \text{ MPa.}$$

Rezolvare:

Se procedează ca și în exemplul precedent, calculindu-se reacțiunile și construindu-se diagrama de momente încovoietoare. Rezultă astfel reacțiunile

$$H_1 = 0; V_1 = P = 14,50 \text{ kN}; M_1 = Pl = 14,500 \cdot 1 = 14,500 \text{ Nm.}$$

Momentul încovoietor într-o secțiune oarecare x față de încastrarea aleasă ca origine este

$$M_{12} = -M_1 + V_1 x = -Pl + Px = -P(l - x); 0 \leq x \leq l.$$

Variatia momentului încovoietor este liniară și are ca valori extreme, M_1 pentru $x = 0$ și M_2 pentru $x = l$.

$$M_1 = -Pl; M_2 = 0.$$

Modulul de rezistență pentru secțiunea circulară este

$$W_z = \frac{\pi d^3}{32} = \frac{\pi \cdot 0,11^3}{32} = 130,67 \cdot 10^{-6} \text{ m}^3.$$

$$\sigma_i = \frac{M_{max}}{W_z} = \frac{14,500}{130,67 \cdot 10^{-6}} = 111 \text{ MPa} < 120 \text{ MPa.}$$

Tensiunea care ia naștere în grindă este mai mică decât rezistența admisibilă și deci grinda rezistă la sarcina P ce-i este aplicată.

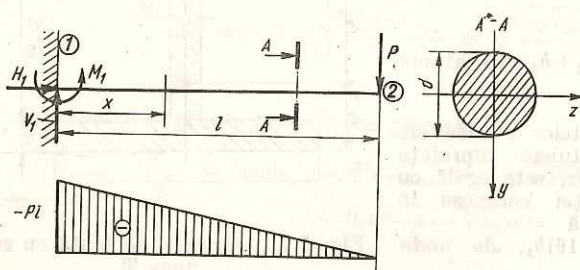


Fig. 5.22. Grindă dreaptă încastrată la un capăt și încărcată cu o sarcină concentrată pe capătul liber.

5.6.3. Calculul sarcinii capabile

Într-o serie de aplicații practice este necesar să se stabilească sarcina maximă cu care poate fi încărcată o grindă solicitată la încovoiere.

În acest caz,

$$M_{i\ cap} \leq M_{i\ max} = W_z \sigma_{ai}, \quad (5.13)$$

unde:

$M_{i\ max}$ este momentul încovoietor maxim care acționează asupra barei;

$M_{i\ cap}$ — momentul cu care poate fi încărcată bara fără să se depășească rezistența ei admisibilă.

Modul de rezolvare al unei asemenea probleme poate fi urmărit pe exemplul de calcul următor.

EXEMPLU DE CALCUL

Pentru grinda cu consolă din figura 5.23 din oțel de secțiune pătrată cu latura de 4 cm, având deschiderea $l = 1,2$ m și consola $\frac{l}{3} = 0,4$ m, să ceră să se determine sarcina concentrată maximă pe care o poate suporta pe capătul liber, dacă $\sigma_{ai} = 120$ MPa.

Rezolvare:

Modulul de rezistență al secțiunii este

$$W_z = \frac{a^3}{6} = \frac{64}{6} = 10,68 \cdot 10^{-6} \text{ m}^3.$$

Momentul capabil trebuie să fie deci

$$M_{i\ cap} = W_z \sigma_{ai} = 10,68 \cdot 10^{-6} \cdot 120 \cdot 10^6 \approx 1280 \text{ Nm.}$$

Se determină valoarea momentului maxim de pe grindă. Momentul este maxim la, rezemul 2 și are valoarea

$$M_{i\ max} = \frac{Pl}{3} = 0,4P.$$

Aceasta trebuie să indeplinească condiția $M_{i\ max} \leq M_{i\ cap}$ și deci

$$0,4P \leq 1280.$$

Rezultă

$$P_{max} = \frac{1280}{0,4} = 3200 \text{ N.}$$

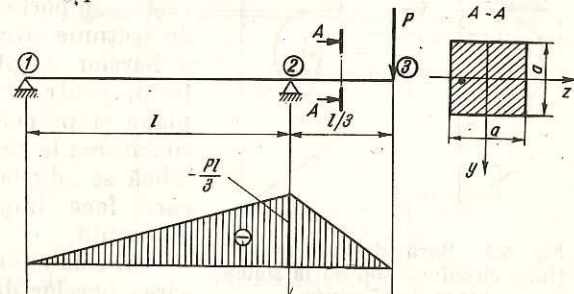


Fig. 5.23. Grindă dreaptă în consolă simplu rezemată, cu o sarcină concentrată pe capătul liber.

5.7. TENSIUNI TANGENTIALE LA ÎNCOVOCIERE

La încovoierea simplă într-o secțiune oarecare există, alături de momentul încovoietor, și o forță tăietoare. Aceasta din urmă este rezultanta tensiunilor tangențiale ce iau naștere în secțiunea grinzi. Tensiunile tangențiale nu se repartizează uniform pe secțiune, cele maxime ajungind uneori la valori importante, mai ales la grinda de secțiune dreptunghiulară îngustă sau de secțiune compusă din dreptunghiuri (profiluri).

La o bară solicitată la încovoiere simplă, tensiunile tangențiale sunt mici ca valoare, în comparație cu cele normale, și pot fi neglijate la calculul de încovoiere.

Capitolul 6

RĂSUCIREA

6.1. FENOMENUL RĂSUCIRII. DEFINIȚIE, EXEMPLE

Se zice că o bară dreaptă de secțiune circulară sau inelară este supusă la răsucire pură dacă asupra ei acționează la extremități două cupluri M_1 și M_2 , situate în plane perpendiculare pe axa barei, de valori egale și având sensuri contrare (fig. 6.1). Neexistând alte forțe, este evident că aceste două cupluri își fac echilibru, deoarece au momente de valori egale și sensuri contrare; sub acțiunea lor bara va rămâne deci în repaus.

După aplicarea celor două cupluri, axa barei rămîne în continuare dreaptă în raport cu situația în care ea era neîncărcată, în timp ce secțiunile sale transversale se rotesc una față de cealaltă; dacă se menține fixă una din extremitățile barei, rotirea secțiunilor transversale va fi cu atit mai accentuată, în raport cu secțiunea menținută fixă, cu cit distanța față de această secțiune este mai mare.

Rotirea relativă a două secțiuni transversale ale barei are ca efect apariția unor tensiuni cuprinse în planul acestor secțiuni, deci a unor *tensiuni tangențiale*; întrucât bara nu este solicitată în lungul axei și secțiunile sale rămîn plane după deformare, *în cazul răsucirii nu apar tensiuni normale*; acest rezultat nu este valabil decit pentru bara de secțiune circulară sau inelară.

Există o diferență esențială în ceea ce privește comportarea la răsucire a barelor drepte de secțiune circulară sau inelară, față de aceea a barelor drepte care au alte forme de secțiuni, pentru care secțiunile barei, care erau plane și perpendiculare pe axa sa înainte de solicitarea la răsucire, își pierd forma lor plană, adică se „deplanează” în mod apreciabil, fapt care face imposibilă aplicarea ipotezei lui Bernoulli.

În cele ce urmează se tratează numai răsucirea barelor de secțiune circulară sau inelară.

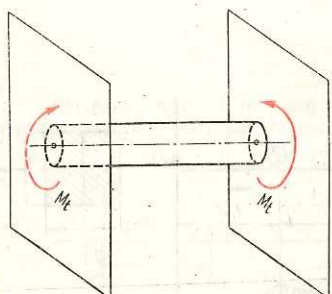


Fig. 6.1. Bară dreaptă de secțiune circulară supusă la solicitarea de răsucire.

Ca exemple practice de piese care pot fi considerate bare drepte supuse și la răsucire se citează: burghiele mașinilor de găurit, arborii de transmisie ai tuturor mașinilor, arborele elicei unui avion etc.

6.2. SOLICITAREA LA RĂSUCIRE PRIN ACȚIUNEA SIMULTANĂ A MAI MULTOR CUPLURI, DIAGRAME ALE MOMENTELOR DE RĂSUCIRE

Pe lîngă cazul barei drepte solicitate la răsucire prin acțiunea a două cupluri aplicate la extremitățile sale, în practică se mai întîlnesc cazuri în care bara este acționată de un număr mai mare de cupluri, aplicate în plane perpendiculare pe axa barei. Ca exemplu în acest sens se pot da arborii care transmit mișcarea de la un motor electric la mașina pe care o acționează (pompă, ventilator, mașină-unealtă). În acest caz, cuplurile situate în plane perpendiculare pe axa sa transversală sunt în echilibru, întrucât bara respectivă trebuie să se afle fie în repaus, fie în mișcare uniformă de rotație.

Pentru determinarea tensiunilor tangențiale care iau naștere în diferitele secțiuni ale unei bare drepte supuse la răsucire, este necesară determinarea valorilor pe care le au momentele de răsucire; aceasta se face trasind diagrama de variație a momentelor de răsucire.

Definiția momentului de răsucire care acționează într-o secțiune a barei este asemănătoare definiției forței tăietoare sau momentului încovoietor dintr-o secțiune a unei bare drepte, și anume: *momentul de răsucire care acționează în secțiunea transversală a unei bare drepte este reprezentat de suma momentelor tuturor cuplurilor, situate în plane perpendiculare pe axa barei, care acționează porțiunea de bară situată în stînga secțiunii considerate sau de suma momentelor tuturor cuplurilor care acționează porțiunea de bară situată în dreapta secțiunii considerate, luată cu semn schimbat*.

Să considerăm negativ momentul de răsucire situat la stînga secțiunii al cărui sens de rotire privit din secțiunea considerată este cel trigonometric și pozitiv-invers. Se mai folosește și convenția după care se consideră pozitive cuplurile motoare și negative cele consumatoare.

Pe figura 6.2 se poate urmări modul de trasare a diagramei de momente de răsucire pentru un arbore asupra căruia acționează o serie de cupluri perpendiculare pe axă ce sunt în echilibru.

Din diagrama obținută rezultă că cele patru porțiuni ale barei sunt acționate de momente de răsucire avînd valorile -30 , -80 , -170 și $+1$, în Nm, care reprezintă valorile momentelor de răsucire pentru aceste porțiuni.

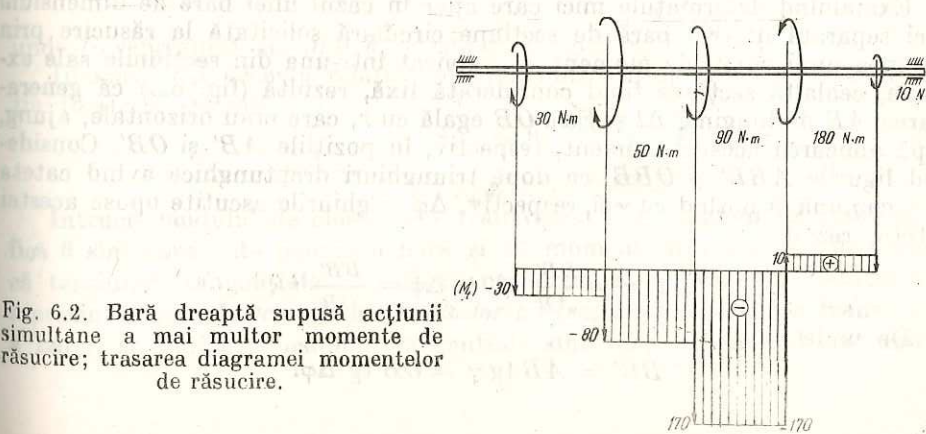


Fig. 6.2. Bară dreaptă supusă acțiunii simultane a mai multor momente de răsucire; trasarea diagramei momentelor de răsucire.

6.3. CALCULUL MOMENTULUI DE RĂSUCIRE PENTRU BARELE DREPTE AFLATE ÎN MIŞCARE DE ROTAȚIE UNIFORMĂ (ARBORI)

Solicitarea de răsucire a unei bare drepte poate avea loc și în cazul în care bara respectivă se află în mișcare de rotație uniformă. Acest caz este întâlnit foarte frecvent în construcția de mașini la arborii de transmisie.

Din diagrama momentelor de răsucire trasată pentru acest caz rezultă că *momentul de răsucire este constant pe întreaga porțiune a arborelui*, fiind egal, în același timp, atât cu momentul cuplului motor, cât și cu momentul cuplului rezistent. În cele ce urmează se determină valoarea acestui moment de răsucire cunoștința că motorul transmite prin intermediul arborelui la consumator o putere $P(\text{kW})$ și că arborele se rotește în mod uniform cu turația n (rot/min). Pentru aceasta va trebui să se țină seama de faptul că puterea unei mașini se exprimă prin produsul dintre momentul M al cuplului pe care îl produce mașina respectivă și viteza unghiulară de regim ω :

$$P = M_t \omega.$$

Deci

$$M_t = \frac{P}{\omega}.$$

Momentul de răsucire M_n , în newtoni-metri (Nm) rezultă din relația

$$M_t[\text{Nm}] = 9550 \frac{P[\text{kW}]}{n[\text{rot/min}]} \quad (6.1)$$

Din această relație rezultă că, întrucât turația n este aceeași pentru toate porțiunile unui anumit arbore, diagrama momentelor de răsucire poate fi înlocuită cu diagrama puterilor transmise pe diferite porțiuni ale arborelui considerat. Într-adevăr, după cum rezultă din cele de mai înainte, diagrama puterilor transmise nu este altceva decit diagrama momentelor de răsucire multiplicată cu raportul $n/9550$.

6.4. TENSIUNI TANGENȚIALE ÎN BARE DREPTE DE SECȚIUNE CIRCULARĂ SAU INELARĂ SOLICITATE LA RĂSUCIRE

Examinând deformările mici care apar în cazul unei bare de dimensiuni mici separată dintr-o bară de secțiune circulară solicitată la răsucire prin acțiunea unui cuplu de moment M_t , aplicat într-una din secțiunile sale extreme, celalătă secțiune fiind considerată fixă, rezultă (fig. 6.3) că generațoarea AB de lungime Δl și rază OB egală cu r , care erau orizontale, ajung, după aplicarea acestui moment, respectiv, în pozițiile AB' și OB' . Considerind figurile ABB' și OBB' ca două triunghiuri dreptunghice având cateta BB' comună și notând cu γ și, respectiv, $\Delta\varphi$ unghiurile ascuțite opuse acestei catete, rezultă

$$\operatorname{tg} \gamma = \frac{BB'}{AB} \text{ și } \operatorname{tg} \Delta\varphi = \frac{BB'}{OB}.$$

De unde

$$BB' = AB \operatorname{tg} \gamma = OB \operatorname{tg} \Delta\varphi.$$

Din ultima egalitate rezultă

$$\operatorname{tg} \gamma = \frac{OB}{AB} \operatorname{tg} \Delta\varphi. \quad (6.2)$$

Tinând seama că pentru unghiuri mici tangentele sunt egale cu valorile acestor unghiuri, exprimate în radiani, și înlocuind OB cu r și AB cu Δl , rezultă

$$\gamma = r \frac{\Delta\varphi}{\Delta l}. \quad (6.3)$$

Se menționează că această relație este valabilă numai pentru valori mici ale unghiurilor γ și $\Delta\varphi$.

Unghiul $\Delta\varphi$ reprezintă deplasarea unghiulară (*unghiul de rotire*) al secțiunii situate la distanța Δl față de secțiunea rămasă fixă; toate celelalte secțiuni cuprinse între aceasta și secțiunea fixă se rotesc cu unghiuri, cu atât mai mici, cu cărora se află mai aproape de secțiunea fixă. Raportând unghiul $\Delta\varphi$ cu care se rotește această secțiune, la distanța ei față de secțiunea fixă, se găsește *unghiul de rotire specifică* a două secțiuni, situate una față de cealaltă la o distanță egală cu unitatea

$$\theta = \frac{\Delta\varphi}{\Delta l} = \frac{\varphi}{l}, \quad (6.4)$$

φ fiind unghiul de rotire al secțiunii situate la distanța l față de secțiunea fixă, măsurat în radiani pe centimetru. Deci relația (6.3) devine

$$\gamma = r\theta. \quad (6.5)$$

Întrucât unghiul γ reprezintă micșorarea unghiului drept, el nu este altceva decit *lunecarea specifică* a elementelor acestei bare supuse la răsucire. În baza legii lui Hooke, tensiunile tangențiale τ din planul secțiunii transversale sunt proporționale cu lunecările, adică

$$\tau = G\gamma, \quad (6.6)$$

unde G reprezintă *modulul de elasticitate transversal*, în Pa.

Înlocuind în această relație valoarea lunecării specifice γ dată de relația (6.4), se obține

$$\tau = Gr\theta. \quad (6.7)$$

Întrucât modulul de elasticitate transversal G și unghiul de rotire specifică θ sunt constante pentru o bară și un moment de răsucire date, rezultă că tensiunea tangențială τ variază proporțional cu raza r . Relația (6.7) reprezintă *legea de variație a tensiunilor tangențiale* pe secțiunea transversală a barei, și anume: tensiunile tangențiale sunt nule în centrul secțiunii (la

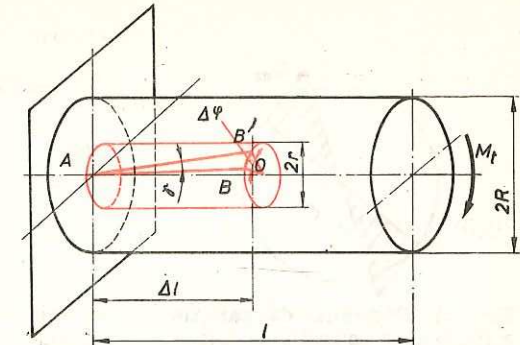


Fig. 6.3. Deformările mici ale barei de secțiune circulară, încastrată la o extremitate și solicitată la răsucire prin acțiunea unui cuplu de moment M_t , aplicat în extremitatea liberă.

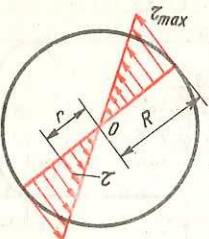


Fig. 6.4. Diagrama de variație a tensiunilor pe secțiunea transversală a unei bare drepte de secțiune circulară supusă la solicitarea de răsucire.

$r = 0$), variază liniar pe secțiune și sunt maxime în punctele situate pe conturul secțiunii, adică pentru $r = R$,

$$\tau_{max} = G\theta R,$$

unde R reprezintă raza secțiunii circulare.

Deoarece τ_{max} este tangent la conturul secțiunii, deci perpendicular pe rază, se admite că în orice punct al secțiunii tensiunea este de asemenea perpendiculară pe rază. Se obține astfel în baza relației (6.7), diagrama de variație a tensiunilor tangențiale reprezentată în figura 6.4.

Pentru a stabili legătura dintre momentul de răsucire M_t și tensiunea tangențială τ , se scrie ecuația de echivalență.

$$M_t - \Sigma \tau r \Delta A = 0,$$

unde ΔA reprezintă o porțiune foarte mică din aria secțiunii asupra căreia acționează tensiunea tangențială τ .

Înlocuindu-se în această ecuație valoarea lui τ , dată de relația (6.7), se obține

$$M_t = \Sigma G\theta r^2 \Delta A.$$

Intrucit mărimele G și θ sunt constante, rezultă

$$M_t = G\theta \Sigma r^2 \Delta A. \quad (6.8)$$

Dar expresia $\Sigma r^2 \Delta A$ reprezintă momentul de inerție polar al secțiunii transversale a barei în raport cu punctul O : intrucit se consideră numai răsucirea barelor drepte de secțiune circulară sau inelară, rezultă că acest moment de inerție polar nu poate avea decât una din expresiile

$$I_p = \frac{\pi D^4}{32}, \text{ respectiv } I_p = \frac{\pi}{32} (D^4 - d^4),$$

în care D , respectiv d , reprezintă diametrele secțiunii.

Înțind seamă de această expresie, relația (6.8) devine

$$M_t = G\theta I_p. \quad (6.9)$$

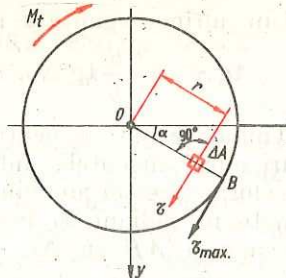


Fig. 6.5. Echilibrul uneia din cele două părți ale barei drepte de secțiune circulară supusă la solicitarea de răsucire.

Dar din relația (6.7) rezultă că produsul

$$G\theta = \frac{\tau}{r},$$

care, înlocuit în relația (6.9), duce la expresia

$$\tau = M_t \frac{r}{I_p}.$$

(6.10)

Această relație reprezintă legea de variație a tensiunii tangențiale pe secțiunea transversală a barei de secțiune circulară sau inelară.

Cele mai mari tensiuni tangențiale au loc în punctele situate pe conturul exterior al secțiunii celei mai încărcate:

$$\tau_{max} = \frac{M_{tmax} r_{max}}{I_p}.$$

Renunțind la indicele „max” atribuit mărimilor τ și M_t , cu obligația de a alege din diagrama momentelor de răsucire cea mai mare valoare a acestui moment în valoare absolută și înlocuind $r_{max} = R$, se obține relația

$$\tau_{max} = \tau_t = \frac{M_t R}{I_p} = \frac{M_t}{\frac{I_p}{R}}.$$

Tinând seama că raportul $\frac{I_p}{R}$ reprezintă modulul de rezistență polar al secțiunii, circulare sau inelare, se poate scrie

$$W_p = \frac{\pi D^3}{16}, \text{ respectiv } W_p = \frac{\pi (D^4 - d^4)}{16 D}.$$

Rezultă

$$\tau_t = \frac{M_t}{W_p},$$

(6.11)

de unde

— pentru dimensionare (determinarea modulului de rezistență polar necesar W_{pnecc}) se folosește relația

$$W_{pnecc} = \frac{M_t}{\tau_{at}};$$

(6.12)

— pentru verificarea tensiunii tangențiale efective τ_{ef} se folosește relația

$$\tau_{ef} = \frac{M_t}{W_{pef}} \leq \tau_{at};$$

(6.13)

— pentru calculul momentului de răsucire capabil M_{tcap} se folosește relația

$$M_{tcap} = W_{pef} \tau_{at},$$

(6.14)

în care τ_{at} reprezintă valoarea tensiunii tangențiale admisibile pentru materialul din care este executată bara.

6.5. DEFORMAȚIILE BARELOR DREpte DE SECȚIUNE CIRCULARĂ SAU INELARĂ SOLICITATE LA RĂSUCIRE

Unghiul de rotire specifică este dat de relația (6.4), și anume

$$\theta = \frac{\varphi}{l}.$$

Înlocuind în această relație valoarea lui θ din relația (6.9), respectiv

$$\theta = \frac{M_t}{GI_p},$$

se obține

$$\varphi = \frac{M_t l}{GI_p}. \quad (6.15)$$

Această relație dă valoarea deplasării unghiulare φ dintre două secțiuni depărtate între ele cu distanța l , măsurat în radiani, pentru cazul în care toate secțiunile situate pe distanța l acționează cuplul de răsucire de moment constant M_t . Pentru determinarea valorii acestui unghi exprimată în grade rezultatul se înmulțește cu raportul $\frac{180}{\pi}$.

Unghiul de rotire specifică este

$$\theta = \frac{\varphi}{l} = \frac{M_t}{GI_p}.$$

EXEMPLU DE CALCUL

1. O bară de oțel de secțiune circulară având diametrul $D = 30$ mm este supusă la răsucire prin două cupluri de momente egale $M = 50$ N·m și sensuri contrare, acționând în jurul axei sale longitudinale, în secțiunile de la capete, distanțele între ele cu $l = 1,2$ m (fig. 6.6). Se cere să se determine tensiunea tangențială maximă, precum și tensiunea tangențială în punctele uneia dintre secțiunile transversale situate la distanța $r = 7,1$ mm ($G = 8,1 \cdot 10^4$ MPa).

Rezolvare:

Caracteristicile geometrice ale secțiunii transversale pentru calculul tensiunilor tangențiale la răsucire se calculează sau se iau direct din tabelele numerice. Astfel, pentru diametrul dat $D = 30$ mm = 3 cm, se găsesc

$$I_b = 7,952 \cdot 10^{-8} \text{ m}^4 \text{ și } W_p = 5,302 \cdot 10^{-6} \text{ m}^3.$$

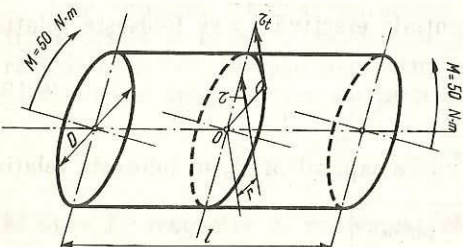


Fig. 6.6. Exemplu de calcul al unei bare drepte de secțiune circulară supusă la solicitarea de răsucire.

Pentru calculul tensiunii tangențiale de răsucire se aplică relația (6.11)

$$\tau_t = \frac{M_t}{W_p} = \frac{50}{5,302 \cdot 10^{-6}} = \\ = 9,44 \cdot 10^6 = 9,44 \text{ MPa.}$$

Tensiunea tangențială în punctul situat la distanța $r = 7,1$ mm (același în toate punctele situate pe cercul de centru 0 și rază $r = 7,1$ mm) se calculează cu relația (6.10)

$$\tau = \frac{M_t r}{I_p} = \frac{50 \cdot 7,1 \cdot 10^{-3}}{7,952 \cdot 10^{-8}} = \\ = 4,46 \cdot 10^6 = 4,46 \text{ MPa.}$$

Același rezultat se obține dacă se ține seama de variația liniară a tensiunilor tangențiale

$$\tau = \tau_t \frac{r}{R} = 9,44 \cdot 10^6 \frac{7,1 \cdot 10^{-3}}{15 \cdot 10^{-3}} = 4,46 \cdot 10^6 = 4,46 \text{ MPa.}$$

Deplasarea unghiulară a celor două secțiuni situate la extremitățile barei este dată de relația (6.15)

$$\varphi = \frac{M_t l}{GI_p} = \frac{50 \cdot 1,2}{8,1 \cdot 10^{10} \cdot 7,952 \cdot 10^{-8}} = 0,0093 \text{ rad.}$$

Transformând în grade, se obține

$$\varphi = 0,0093 \cdot \frac{180}{\pi} = 0,533^\circ = 31'59''.$$

2. Se cere să se dimioneze un arbore de secțiune circulară din OL 50 STAS 500-68, care transmite o putere $P = 36,8$ kW la o turăție $n = 400$ rot/min, distanța dintre roata motoare și cea antrenată fiind $l = 1,2$ m, folosind atât condiția de rezistență pentru $\tau_{at} = 40$ MPa cît și condiția de rigiditate pentru $\theta_a = 0,25^\circ/m$. Se consideră $G = 8 \cdot 10^4$ MPa.

rezolvare:

Dimensionarea pe baza condiției de rezistență.

Se calculează valoarea momentului de răsucire

$$M_t = 9550 \frac{P}{n} = 9550 \frac{36,8}{400} = 877,7 \text{ Nm.}$$

Diametrul arborelui rezultă din relația

$$d = \sqrt[3]{\frac{16}{\pi} \cdot \frac{M_t}{\tau_{at}}} = \sqrt[3]{\frac{16}{\pi} \cdot \frac{877,7}{40 \cdot 10^6}} = 0,0436 \text{ m} = 43,6 \text{ mm.}$$

Pentru dimensionarea arborelui pe baza condiției de rigiditate se folosește formula

$$d = \sqrt[4]{\frac{32}{\pi} \cdot \frac{M_t}{G\theta_a}} = \sqrt[4]{\frac{32}{\pi} \cdot \frac{877,7 \cdot 180 \cdot 100}{8 \cdot 10^{10} \cdot 0,25 \cdot \pi}} = 0,025 \text{ m.}$$

Se alege diametrul cu valoarea cea mai mare, adică $d = 43,6$ mm.

PROBLEME NEREZOLVATE

1. Să se dimioneze un arbore de secțiune circulară care transmite o putere $P = 370$ kW la o turăție $n = 3000$ rot/min în următoarele ipoteze:

- rezistență admisibilă la răsucire $\tau_{at} = 60$ MPa;
- rotirea specifică admisibilă $\theta_a = 0,25^\circ/m$.

Răspuns: $d = 4,63$ mm; $d = 76,5$ mm.

2. Să se dimioneze un arbore de secțiune inelară al unei mașini care transmite o putere $P = 2210$ kW sub o turăție $n = 300$ rot/min, dacă raportul dintre diametrul interior și cel exterior al arborelui este $\frac{d}{D} = 0,8$, iar rezistență admisibilă la răsucire $\tau_{at} = 40$ MPa.

Răspuns: $D = 249$ mm; $d = 199,2$ mm.

3. Dacă în secțiunea arborelui motor, de diametru $d = 20$ mm, se produce o tensiune tangențială $\tau = 70$ MPa, să se calculeze lungimea arborelui, cind deplasarea unghiulară totală este $\varphi = 4^\circ$. Se dă: $G = 8,1 \cdot 10^4$ MPa.

Răspuns: $l = 808$ mm.

ORGANE DE MAȘINI

Capitolul 7

NOȚIUNI FUNDAMENTALE
DESPRE ORGANELE DE MAȘINI

Creație tehnică a omului, mașina este realizată dintr-un ansamblu de elemente mecanice componente (organe), înălțuite cinematic, cu mișcări strict determinate.

Nici o mașină nu poate fi realizată fără cunoștințe temeinice despre organele sale componente.

7.1. ÎNSUȘIRI ALE ORGANELOR DE MAȘINI

Organele de mașini sunt piese (eventual ansambluri de piese), avind rol funcțional unitar, care intră în compunerea organică-structurală a oricărui mașini, agregate, mecanisme sau dispozitive. Având rol funcțional bine determinat, fiecare organ de mașină poate fi analizat, proiectat și executat separat, considerindu-l însă interdependent ca solicitare și uzare cu celelalte organe cu care se asamblează.

Performanțele funcționale și tehnice ale oricărui mașini depind de doi factori principali: concepția proiectantului care elaborează schema de principiu a viitoarei mașini și însușirile calitative ale fiecărui element structural component.

Primul factor poate fi asigurat printr-o temeinică pregătire teoretică și practică de specialitate a proiectantului. Al doilea factor demonstrează că performanța și siguranța în exploatarea mașinii, durabilitatea și fiabilitatea să sint hotărîte de calitatea fiecărui organ component. Pentru aceasta, organele de mașini trebuie să satisfacă următoarele condiții de bază:

- să corespundă integral scopului funcțional pentru care se construiesc;
- să fie simple și să prezinte siguranță în exploatare, adică să reziste solicitărilor la care să sint supuse;
- să asigure durata de funcționare necesară în raport cu scopul, calitatea materialului și a tehnologiei de execuție.

Rezistența propriu-zisă, rigiditatea, rezistența la uzare și rezistența la temperatură sint caracteristici ale materialelor organelor de mașini, care le mențin o anumită capacitate de a rezista și de a funcționa în diferite condiții.

Prelucrarea fără dificultăți deosebite ca și interschimbabilitatea sint, de asemenea, însușiri de bază caracteristice multor organe de mașini cu rol funcțional deosebit.

7.2. CLASIFICAREA ORGANELOR DE MAȘINI

Marea diversitate de forme și dimensiuni permite gruparea organelor de mașini după o serie de criterii, dintre care mai importante sunt cele *construcțive* și cele *funcționale*.

Construcțiv, organele de mașini se grupează în: *organe simple* (pene, nituri, șuruburi, arcuri, osii și arbori, roți etc.) și *organe complexe* (lagăre, rulmenti, ambreiaje, vane etc.). Organul complex se caracterizează printr-un ansamblu de piese elementare, care numai în totalitatea lor pot îndeplini un rol funcțional unitar.

După rolul funcțional, organele de mașini se grupează astfel:

— *organe pasive* (nituri, șifturi, pene, arcuri, șuruburi de fixare etc.) care nu contribuie în mod direct la transmiterea, la realizarea sau la transformarea mișcării mecanice, ci doar la asamblarea elementelor;

— *organe active* (șuruburi de mișcare, roți dințate, arbori, manivele, biele, lanțuri de transmisie etc.), care, în funcționare, au rolul de transmitere sau de transformare a mișcării.

7.3. STANDARDIZAREA ÎN CONSTRUCȚIA DE MAȘINI

Activitatea tehnico-științifică organizată pentru stabilirea terminologiei tehnice, a unor convenții de reprezentare, metode optime de calcul, execuție, exploatare și întreținere a mașinilor este cunoscută sub numele de *standardizare*.

Această activitate se desfășoară la nivel național, precum și la nivel internațional.

Importanța și eficiența economică maxime prezintă standardizarea la nivel național. În țara noastră, activitatea de standardizare este coordonată de Institutul Român de Standardizare. Această instituție colectează proiectele de standarde de la niveluri inferioare, le definitivează și le supune legiferării. Ca urmare rezultă un act normativ republican, cu obligativitate juridică de aplicare, având denumirea simbolică „STAS“.

Această activitate se desfășoară la nivel internațional și de lărgire a sferei de aplicare a standardelor este coordonată de Organizația Internațională de Standardizare „I.S.O.“.

Toate țările cu industrie constructoare de mașini dezvoltată într-un anumit stadiu desfășoară o laborioasă activitate de standardizare. În tabelul de mai jos sint date țările și denumirile simbolice folosite pentru standardele respective.

Tara	Anglia	Franța	Italia	Japonia	R.D.G.	R.F.G.
Standard	BS	AFNOR	UNI	JIS	TGL	DIN
Tara	R.S.C.	S.U.A.		Suedia		U.R.S.S.
Standard	CSN	AISI; SAE		SIS	GOST	

Problemele de tipizare și standardizare sunt diverse. Aceste probleme pot cuprinde referiri sistematice legate de: formă, dimensiuni, terminologie, indicații de calcul, caracteristici mecanice ale materialelor etc.

7.4. INTERSCHIMBABILITATEA ORGANELOR DE MAȘINI

Unificând caracteristicile dimensionale, ale formei constructive și cele calitative ale pieselor, standardizarea creează condițiile necesare realizării interschimbabilității organelor de mașini.

Interschimbabilitatea este definită prin însușirile calitative ale pieselor unei mulțimi de a fi schimbate prin asamblare cu oricare din piesele altor mulțimi identice, prin respectarea integrală a condițiilor funcționale ale sistemului tehnic din care face parte.

Interschimbabilitatea se realizează prin asigurarea următoarelor condiții specifice de bază:

- stabilirea judicioasă a toleranțelor pieselor interschimbabile;
- folosirea mașinilor capabile să asigure în mod sistematic precizia formei și a dimensiunilor pieselor respective;
- utilizarea materialelor cu proprietăți calitative standard;
- asigurarea pieselor de rezervă interschimbabile.

Asigurarea condițiilor de interschimbabilitate permite înlocuirea rapidă a pieselor uzate, fără a fi supuse nici unei prelucrări suplimentare. Ca urmare, prin organul de mașină interschimbabil înlocuit se restabilesc performanțele inițiale ale ansamblului respectiv. De exemplu, rulmentul uzat dintr-un lagăr poate fi înlocuit, într-o perioadă de timp minimă, cu orice rulment nou de același tip și dimensiune nominală fără nici o prelucrare suplimentară. Performanța lagărului mașinii respective este astfel restabilită. Stagnarea mersului mașinii respective, deci pierderile de producție devin minime, deoarece interschimbabilitatea rulmentului respectiv reprezintă o soluție tehnică optimă.

7.5. EXECUȚIA ORGANELOR DE MAȘINI

Principalele etape ale tehnologiei de execuție a organelor de mașini sunt: semifabricarea prin turnare, forjare, laminare, asamblare (prin sudare, lipire, nituire, încliere, chituire). Prin aceste operații de bază se realizează semifabricate. Semifabricatele (lamine, turnate, forjate etc.) se supun operațiilor de prelucrare mecanică (frezare, rabotare, strunjire, rectificare) sau nemecanică (acoperiri galvanice, tratamente termice etc.) prin care se obțin piese finite. Sub formă finită, organele de mașini pot fi folosite direct în procesul de montaj al mașinii.

Piese individuale, unicate, se execută cu o productivitate scăzută, deci cu o eficiență economică mai redusă.

Execuția pieselor în serie limitată este mai avantajoasă, productivitatea fiind sporită. Execuția unui foarte mare număr de piese identice se poate realiza cu o productivitate maximă, folosindu-se mașini și agregate automate

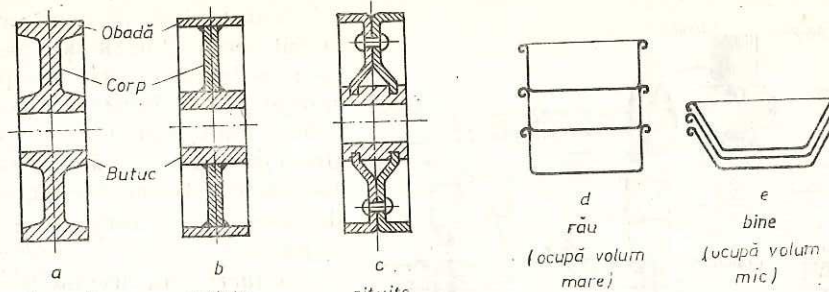


Fig. 7.1.

Forma geometrică a organului de mașină trebuie astfel concepută și realizată încit să satisfacă cit mai complet nu numai rolul funcțional, ci și optimizarea cerințelor execuției tehnologice, montajului și transportului (fig. 7.1).

Capitolul 8

ASAMBLĂRI NEDEMONTABILE

Asamblarea mecanică reprezintă rezultatul operațiilor tehnologice de realizare a unei legături rigide sau a unei blocări între două sau mai multe piese separate. Prin asamblare se obține un nou element rigid, adică un organ de mașină complex, cu rol funcțional bine determinat.

După asamblare, elementele componente nu mai au posibilitatea deplasării relative între ele.

Asamblările pot fi *directe* sau *indirecte*.

În cazul asamblărilor directe, legătura este asigurată nemijlocit între elementele componente, de exemplu prin sudare, presiune, făltuire, poansonare, refulare, stemuire, îndoire, creștere, strîngere elastică etc.

Asamblarea indirectă presupune utilizarea unor elemente sau substanțe intermedii de legătură, cum sunt: niturile, cordoanele de sudură, lipiturile metalice sau nemetalice etc.

8.1. ASAMBLĂRI PRIN NITUIRE

Părți componente. Materiale. Clasificare

Nituirea reprezintă operația tehnologică de găuriere a elementelor asamblării, de montare a niturilor și de formare a capului de închidere. Părțile componente ale asamblării sunt reprezentate în figura 8.3. Nituirea se folosește cînd asamblarea se realizează mai dificil prin alte metode. De exemplu, în cazul învelișului fuselajului aeronavelor, nituirea s-a dovedit cea mai avantajoasă metodă de asamblare. De asemenea, în cazul elementelor din materiale greu sudabile sau nesudabile, nituirea poate fi singura metodă ratională din punct de vedere calitativ și economic.

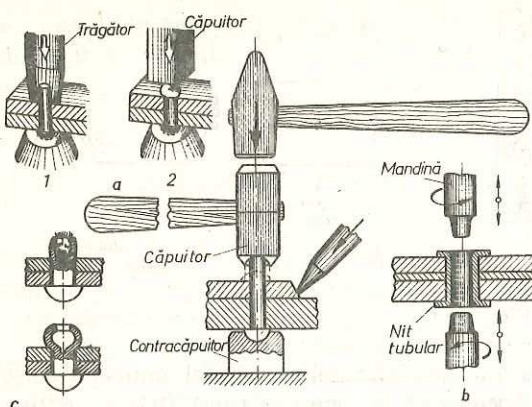


Fig. 8.1. Principalele faze tehnologice ale nituirii:
a — nituire manuală; 1 — strângerea pieselor; 2 — refugarea tijei și formarea capului de inchidere; b — nituire mecanică prin mandrinare; c — nituire cu exploziv.

Capul de inchidere poate fi realizat *manual* (fig. 8.1, a), *mecanizat* (fig. 8.1, b) sau cu *exploziv* (fig. 8.1, c). În figură sunt reprezentate și scările specifice nituirii.

Materialele cele mai utilizate pentru executarea nituirilor sunt: otelul carbon obișnuit OL 34, OL 37; alama Am 63; cupru Cu 5; aluminiul Al 99,5 etc.

Nituirile cu nituri de otel avind dimensiuni reduse ($d \leq 10$ mm) și cele cu nituri din aliaje metalice neferoase se pot executa manual sau mecanizat — la rece. În cazul utilizării unor nituri de otel avind $d > 20$ mm, nituirea se execută la cald (prin încălzirea nitului înainte de formarea capului de inchidere).

Nituirea la rece a unor piese de dimensiuni mari poate produce zgomot dăunător. În astfel de cazuri se urmărește înlocuirea asamblării cu nituri prin alt tip de asamblare, de exemplu prin sudare.

Clasificarea niturilor. După destinația lor, niturile și nituirile se pot grupa în:

— *nituri și nituri de rezistență*, destinate preluării și transmiterii unui mormant de forțe care au tendința de separare a elementelor imbinante (v. fig. 8.3, b);

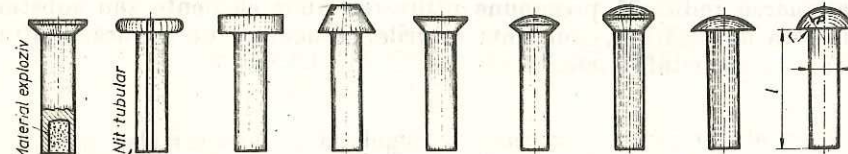


Fig. 8.2. Formele constructive ale niturilor.

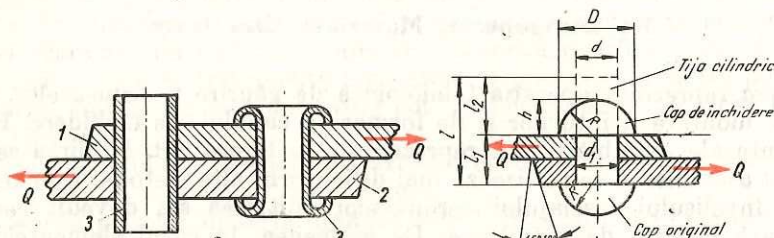


Fig. 8.3. Asamblare cu nituri:
a — cu nituri tubulare: 1 și 2 — elementele imbinării; 3 — nit tubular; b — cu nituri cilindrice.

Costul ridicat prin consumul sporit de materiale și manopera, reducerea rezistenței prin micșorarea secțiunii elementelor, etanșarea redusă, productivitatea scăzută și zgomotul intens determină îngustarea domeniilor de aplicare a nituirii.

Niturile sunt organe de mașini utilizate pentru realizarea asamblărilor indirecte, formate dintr-o tijă cilindrică sau tubulară, cu un *cap inițial* (fig. 8.1). Al doilea cap, denumit *cap de inchidere*, se formează la montare. Forma geometrică a capetelor și dimensiunile niturilor sunt standardizate.

— *nituri și nituri de rezistență* — etanșare, destinate vaselor și recipientelor în care se depozitează fluide la presiuni ridicate.

Constructiv, asamblările nituite se pot realiza:

— prin suprapunere (fig. 8.3), cu o singură secțiune de forfecare a nitului;

— cap la cap cu o eclisă, cu o secțiune de forfecare, sau cu două eclise și cu 2 secțiuni de forfecare a nitului (fig. 8.4).

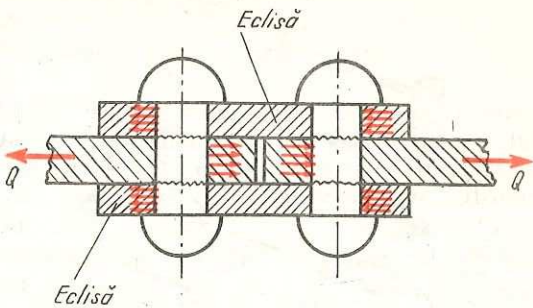


Fig. 8.4. Asamblare nituită cap la cap cu două eclise.

8.2. ASAMBLĂRI PRIN LIPIRE

Materiale. Tehnologie

Prin lipire se pot realiza organe de mașini pentru apărate, folosindu-se piese separate, din același material sau din materiale diferite, totdeauna însă cu *material de adaos*, având compoziția chimică diferită de a *materialului de bază*.

Lipirea se bazează pe forțele de coeziune intermoleculară între materialul de adaos și materialul pieselor supuse asamblării. Principalul avantaj îl constituie simplitatea procesului tehnologic și temperatura obișnuită de execuție, care poate ajunge pînă la temperatura mediului ambient.

Domeniul de utilizare cuprinde atît execuția unor asamblări noi în construcția de mașini, mai ales în industriile electrotehnică și mecanică fină, cit și repararea diferitelor organe de mașini (obiecte din otel, cupru, alamă, plumb, zinc, cabluri și conducte, piese și apărate electrice, elementele circuitelor electrice etc.). *Lipitură* se numește compoziția interpusă între piesele de asamblat și se notează prescurtat cu *Lp*. Ea are temperatură de topire mai mică decit cea a elementelor supuse asamblării.

Deși lipiturile sunt mai puțin rezistente decit sudurile, prin faptul că lipirea se produce pe o suprafață, asamblarea poate asigura totuși o rezistență egală cu rezistența secțiunii elementelor asamblate.

După natura lipiturii aceasta poate fi *metalică și nemetalică*.

Lipituri metalice. După gradul rezistenței mecanice și termice, *lipiturile metalice* pot fi: *moi și tari*.

Lipiturile metalice moi au o rezistență la rupere $R_m < 50-70$ MPa și o rezistență termică sub 450°C . Ca lipituri, în mod obișnuit se folosesc aliaje pe bază de cositor, plumb, zinc etc. Standardele în vigoare (STAS 96-80) cuprind următoarele mărci de aliaje pentru lipit: Lp 20-Sb; Lp 30; Lp 30 Sb; Lp 37; Lp 40; Lp 40 Sb; Lp 50; Lp 60; Lp 65; Lp 90. De exemplu, prin Lp 30 se notează lipitura avînd 30% Sn, iar restul Pb.

Lipiturile metalice tari — *brazurile* — au o rezistență mecanică și termică mai ridicată decit a celor moi ($150-160$ MPa și temperatura de topire peste 450°C). Lipiturile tari cele mai uzuale se realizează cu *alamă de lipit* (STAS 204-77): Am 42 Lp; Am 47 Lp; Am 51 Lp; Am Si-Lp; Am Sn Lp.

8.3. ASAMBLĂRI PRIN SUDARE

Definții. Procedee tehnologice. Forme constructive

Sudarea este operația de realizare a asamblărilor nedemontabile la piese metalice sau nemetalice, prin folosirea încălzirii locale, a presiunii, a șocului sau combinat, cu sau fără folosirea unui material de adaos, similar cu al pieselor de asamblat. Prin sudare se realizează o legătură la nivel atomic între piesele respective.

Rezultatul sudării este **sudura** formată din materialul de bază al pieselor asamblate cu sau fără material de adaos.

Asamblările directe obișnuite se realizează prin încălzire locală și presiune.

Asamblările indirecte se obțin prin încălzire locală, folosindu-se totdeauna un **metal de adaos**, similar cu metalul pieselor de asamblat.

În industria constructoare de mașini, sudarea își lărgește continuu domeniul de aplicare, fiind folosită în special pentru asamblarea materialelor metalice, la piese separate sau la aceeași piesă, ca și pentru reparații.

Cordonul de sudură sau cusătura se formează prin topirea materialului de adaos și parțial a celui de bază, în *baia de sudură* ce apare în procesul de sudare. Se numește **material de bază** materialul din care sunt executate elementele ce urmează să se asambleze.

Sudabilitatea unui material definește capacitatea acestuia de a se suda în bune condiții fără defecți (fisuri, pori, incluziuni etc.), printr-un procedeu tehnologic ușual. Sudabilitatea otelului depinde de natura și procentul elementelor de aliere. Astfel, de exemplu, creșterea conținutului de carbon într-un otel scade capacitatea de sudare. După sudabilitate, metalele și aliajele se grupează astfel: *perfect sudabile*, *satisfăcător sudabile*, *limitat sudabile*, *rău sudabile*. De exemplu, grupa otelurilor carbon obișnuite este perfect sudabili și parțial a celui de bază, în *baia de sudare* ce apare în procesul de sudare bilă.

Avantaje și domenii de aplicare ale sudării. În raport cu construcțiile nituite, forjate sau turnate, asamblările sudate prezintă numeroase avantaje, ca: economie de manopera și de materiale în medie pînă la 20%, deci ieftinirea și ușurarea construcțiilor; posibilitatea execuțării unor piese cu forme complexe și dimensiuni mari; folosirea integrală a secțiunii pieselor asamblate; posibilitatea creșterii productivității muncii prin automatizarea sau semiautomatizarea operației de sudare; eliminarea zgomotului dăunător produs prin nituire, ușurarea muncii, siguranță mai mare le etanșeitate ca și la rezistență a asamblărilor din piese mici etc.

Trebuie menționat însă că prin sudare, deși se obțin totdeauna construcții mai ușoare, uneori acestea nu sunt mai ieftine. Pentru execuțarea sudării unor piese cu forme complicate sunt necesare **dispozitive speciale de poziționare**, deoarece rezistența cordonului sudurii depinde și de poziționarea elementelor supuse asamblării (fig. 8.7).

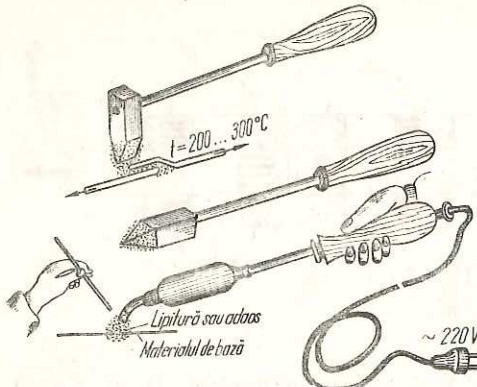


Fig. 8.5. Ciocane pentru lipire manuală.

Un procedeu modern este lipirea în cuptoare electrice sau în cuptoare reducătoare (pentru reducerea oxizilor). Acest procedeu se aplică în general pieselor cu dimensiuni relativ mici. În acest scop, piesele care urmează să se asambleze se leagă cu sîrmă pentru a se păstra contactul zonelor supuse lipirii.

Cîteva tipuri și forme uzuale de asamblări prin lipire sunt reprezentate în figura 8.6.

Pentru îmbunătățirea procesului de depunere a lipiturii se folosesc substanțe auxiliare numite *fluxuri*. Fluxurile se prezintă sub formă de pastă, granule sau pudră și sunt utilizate pentru dizolvarea oxizilor de pe suprafața supusă lipirii și pentru îmbunătățirea depunerii omogene a lipiturii pe suprafețele respective.

Lipituri nemetalice. Pentru realizarea asamblărilor cu lipituri nemetalice se folosesc substanțe chimice, numite *adезivi*. Lipirea cu adezivi se face la rece sau la cald, cu sau fără apăsare, ca în cazul lipiturilor metalice.

Adezivii permit asamblarea elementelor din materiale diferite: lemn, hirtie, cauciuc, materiale plastice, sticlă, metale, țesături etc.

Clejurile formează o altă categorie de lipituri. Ele se folosesc pentru încleiat (lipit) piese din lemn, țesături, hirtie. Temperatura de regim nu trece de 60°C, iar rezistența la tracțiune nu depășește 20–30 MPa.

Chiturile se utilizează în special pentru realizarea asamblării elementelor metalice cu elemente nemetalice, de exemplu, portelan cu metal (siguranțe fuzibile), sticlă cu metale (lămpi electrice) etc. Aceste lipituri au o rezistență satisfăcătoare pînă la 130°C.

Răsinile epoxidice se folosesc în special la asamblările metalice din construcții de mașini și aparate.

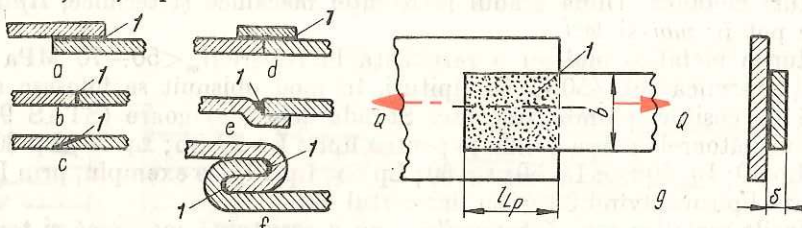


Fig. 8.6. Forme uzuale de asamblări prin lipire:

a – prin suprapunere; b – cap la cap; c – în pană; d – cap la cap cu adao; e și f – prin suprapunere și răsfringere; g – elementele geometrice ale unei asamblări de rezistență; I – zona lipirii.

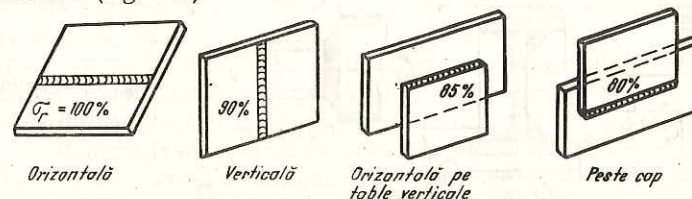


Fig. 8.7. Principalele tipuri constructive de asamblări sudate.

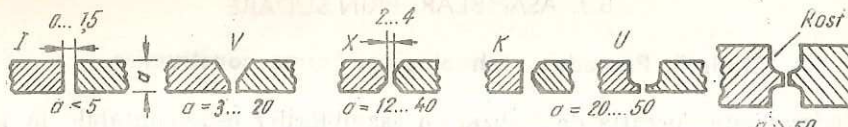


Fig. 8.8. Forma rostului cordonului de sudură.

Detectarea defectelor de execuție — în special lipsa de omogenitate — este mai dificilă decât în cazul nituirii, necesitând aparatură specială și calificare înaltă. Un alt dezavantaj îl constituie sensibilitatea sporică la solicitări variabile sau prin soc și necesitatea detensiōnării pieselor sudate.

În ultimii ani, în industria din țara noastră s-au introdus numeroase procedee moderne de sudare și de control al calității sudurilor.

Sudarea este folosită ca tehnologie de asamblare a două sau mai multe piese, ca procedeu de fabricație prin combinare cu alte operații tehnologice (ștanțare, matrițare etc.), cit și ca metodă de reparație sau înlăturare a unor defecți.

Se deosebesc două procedee diferite de execuție a asamblărilor sudate:
— sudarea prin presiune;
— sudarea prin topire.

Sudarea prin presiune se produce fără adaos de metal, cu sau fără încălzire locală. Cind se folosește încălzirea locală, zonele respective se aduc la temperatură de sudare, apoi se presează puternic.

Sudarea prin presiune, în puncte sau în linie, se aplică în special la asamblarea tablelor subțiri.

Sudarea prin topire se realizează uneori fără adaos de metal, în care scop atât zonele supuse asamblării cit și materialul de adaos se încălzesc pînă la topire. Cele mai obișnuite procedee de sudare prin topire sunt: sudarea cu flacără de gaze (oxiacetilenică); sudarea cu arc electric (electrică), la care sursa termică este arcul electric și sudarea cu jet de plasmă.

Forma rosturilor. Cele mai obișnuite forme ale rosturilor sunt în funcție de grosimea elementelor asamblării: I — V — X — K — U (fig. 8.8). Pentru asigurarea unui cordon de sudură omogen, rostul se execută cit mai uniform și cu suprafete curate.

Pozitia formării cordonului de sudură, mai avantajoasă din punctul de vedere al calității și rezistenței, este cea orizontală. În celelalte cazuri, rezistența cordonului de sudură este mai redusă.

Observație. În figura 8.9 sunt reprezentate cîteva tipuri de organe de mașini din elemente sudate.

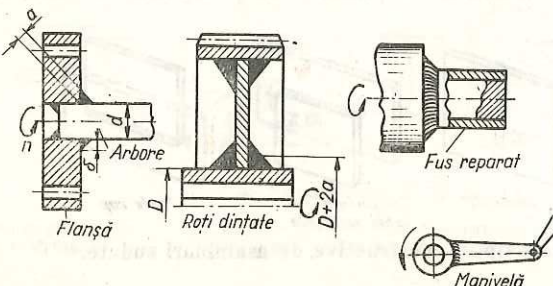


Fig. 8.9. Organe de mașini sudate.

Capitolul 9

ORGANELE ASAMBLĂRILOR DEMONTABILE

În construcția de mașini, asamblarea demontabilă este definită printr-un sistem de legătură între două elemente, ușor montabile și demontabile, prin care se pot transmite în întregime forțele de solicitare. Asigurarea asamblării-dezasamblării repetitive, fără deteriorarea pieselor componente, este posibilă prin utilizarea unor elemente specifice, numite *organe de asamblare*. Cele mai utilizate organe de asamblare sunt: penele longitudinale și cele inelare; bolțurile și știftele; inelele ondulate; elementele profilate sau cele canelate; piesele filetate etc.

9.1. ASAMBLĂRI CU PENE ȘI CU ȘIFTURI

Penele sunt organe de mașini folosite ca elemente intermediare de legătură între două piese cu axa geometrică longitudinală comună (fig. 9.1). Ele sunt folosite foarte mult atât în construcția asamblărilor fixe, cit și în cea a asamblărilor mobile-ghidate, care necesită montări-demontări repetitive. De obicei, prin pene se realizează legătura dintre arbori și butuci.

Cu aceste elemente se pot realiza asamblări simple, relativ precise, cu gabarit redus, ieftine și cu montare-demontare rapidă. Dintre principalele dezavantaje ale asamblărilor cu pene se menționează: introducerea unor concentratori de tensiune periculoși atât în arbore cit și în butuc, datorită variației brusă a secțiunii în zona de montaj, deformării pieselor asambleate prin baterea penei inclinate. Aceste neajunsuri le limitează domeniul de aplicare în construcția unor mașini moderne, de mare putere și turărie.

Clasificarea penelor și a știfurilor are la bază următoarele criterii:

— poziția penei în raport cu elementele asambleate, care împarte penele în *transversale* (fig. 9.1, a, b) și în *longitudinale* (fig. 9.1, c—i);

— rolul *funcțional* le grupează în: *organe de fixare* sau *solidarizare* a elementelor asambleate, de *reglare* sau de *ghidare*.

Penele și știftele *longitudinale* se montează cu axa longitudinală paralelă cu axa comună a pieselor impănatate (asambleate) (fig. 9.1, c—i).

Penele și știftele *transversale* se asamblează cu axa longitudinală perpendiculară pe axa comună a pieselor (fig. 9.1, a, b).

Principalele forme geometrice ale penelor sunt indicate în figura 9.1.

Materiale și indicații constructive de bază. Otelul OL 50 tras la rece, cu secțiunea dreptunghiulară sau patrată este preferat.

Ştiftele de siguranță se execută din oțeluri mai puțin rezistente, ca: OL 32, OL 37, OL 42.

Tehnologia modernă a început să utilizeze materiale plastice (policlorura de vinil) pentru executarea penelor. Această material se poate turna direct în canalele de pană practicate în zona impănării.

Penele și știftele transversale se construiesc cu conicitate sau cu o înclinare 1 : 50...1 : 100. Această înclinare este necesară pentru a asigura impănarea prin autoblocarea elementelor supuse asamblării, fără a recurge la alte elemente constructive suplimentare.

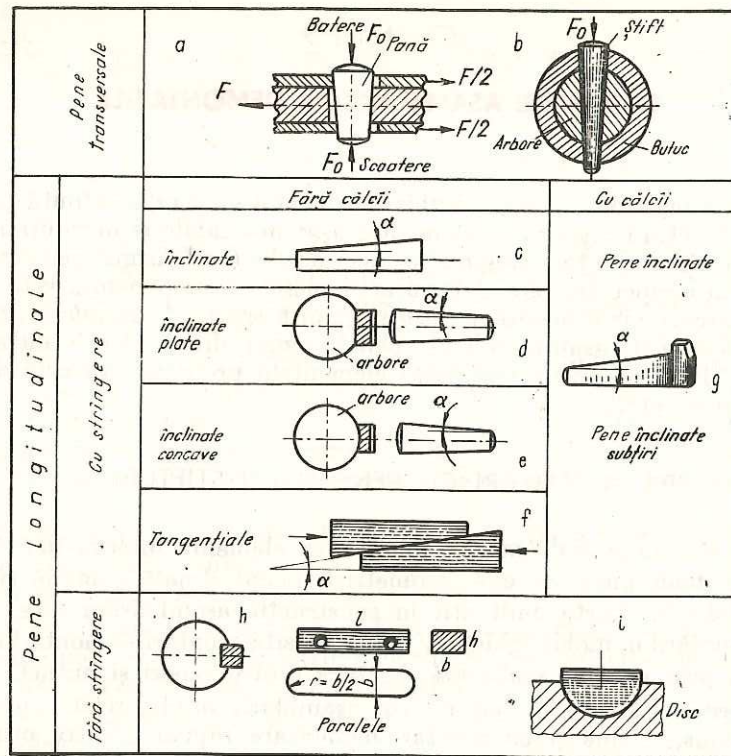


Fig. 9.1. Principalele forme constructive de pene și reprezentarea lor schematică.

9.1.1. Asamblări cu pene și cu știfuri transversale

Asamblările cu pene transversale (fig. 9.1, a) se utilizează la montarea unor piese cilindrice. Asamblările cu aceste tipuri de pene pot fi ușor și rapid demontate. Execuția acestui tip de pană și a canalelor în care se montează este mai costisitoare, ceea ce le face mai puțin utilizabile decât șifurile transversale.

Asamblările cu șifuri transversale pot îndeplini aceeași funcție ca și penele transversale, dar cu aceeași formă constructivă, pot fi utilizate și pentru asamblări longitudinale (fig. 9.2, i, j). Unele șifuri au o asemenea formă constructivă încit montarea și demontarea lor repetată nu este posibilă fără deteriorare (fig. 9.2, b, d, g).

Penele transversale și șifurile conice se montează prin batere cu ciocanul sau prin presare. Capetele lor sunt racordate pentru a nu se strivi în zona de contact. După batere, în perioada de serviciu a pieselor asamblate, penele sau șifurile trebuie să nu se demonteze de la sine, adică trebuie să rămână *autoblocate*, panta fiind foarte mică ($1 : 50 - 1 : 100$), deci $\alpha = 30' \dots 1'$.

Asigurarea autoblocării este satisfăcută construind pene cu o față inclinată cu panta $\operatorname{tg} \alpha = 1/25$; deci $\alpha = 2^\circ$. Pentru penele cu două fețe inclinate, panta este $\operatorname{tg} \alpha = 1/50 \dots 1/100$; deci $\alpha \approx 1^\circ \dots 30'$.

În cazul penelor de reglare, dimpotrivă, nu trebuie să se producă autoblocarea. Practic, se ia $\alpha = 5^\circ \dots 10^\circ$.

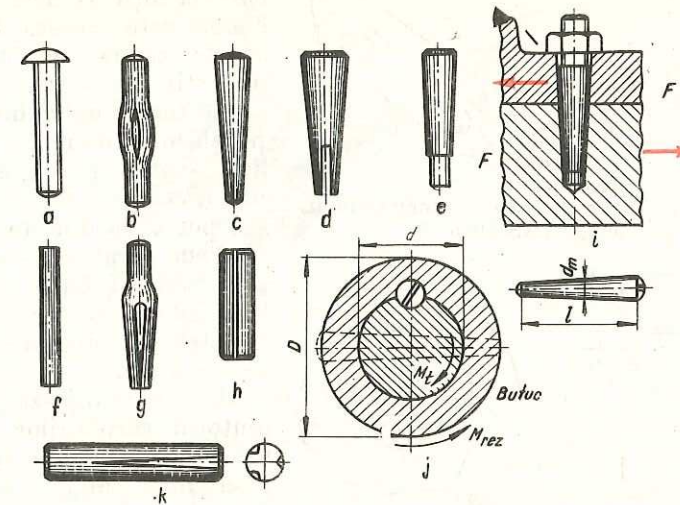


Fig. 9.2. Diverse forme constructive de șifuri.

Şifurile transversale pot avea o secțiune de forfecare (fig. 9.2, i), două secțiuni de forfecare (poziția punctată din fig. 9.2, j) sau mai multe secțiuni de forfecare.

9.1.2. Asamblări cu pene sau cu șifuri longitudinale

Penele și șifurile longitudinale sunt cele mai utilizate în construcția de mașini și aparate. Aceste elemente se montează în zona împănării astfel încit în timpul funcționării axa lor longitudinală rămine paralelă cu axa comună a pieselor asamblate (fig. 9.1, c–i; fig. 9.3).

Domeniul de utilizare este foarte variat. Se utilizează în construcția de mașini și aparate, la fixarea oricărui tip de butuc pe arbore, la fixarea roților, volanților, tamburelor de frână, cuplajelor etc.

Pene longitudinale inclinate. Pene longitudinale de strângere și de fixare sau pene inclinate se numesc cele cu față superioară înclinată cu unghiul α , astfel încit $\operatorname{tg} \alpha = 1/100$, ceea ce satisface condiția autoblocării. Aceste pene se montează cu partea neînclinată pe arbore. Canalul din butuc are formă înclinată la fel ca pana. Fixarea are loc prin baterea forțată a penei în locașul dintre elementele supuse asamblării, având efect rapid de împănare. Cind lungimea penei l este egală cu lungimea canalului, împănarea se produce prin presarea butucului (fig. 9.3).

Transmiterea efortului de la arbore la butuc, deci la roată, se face prin contactul radial dintre fețele neparalele ale penei cu arborele și butucul, contact realizat prin baterea penei sau prin

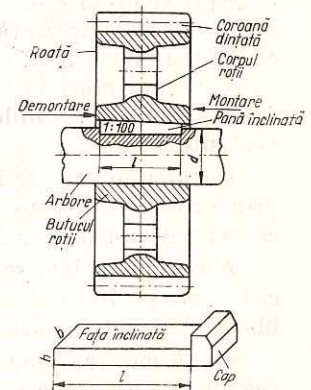


Fig. 9.3. Asamblarea cu pană longitudinală.

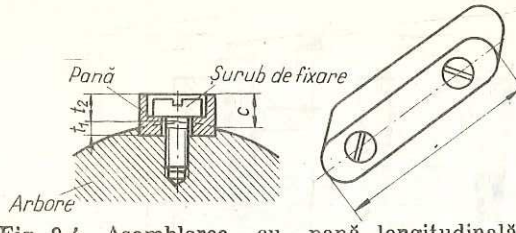


Fig. 9.4. Asamblarea cu pană longitudinală paralelă, STAS 1006-71.

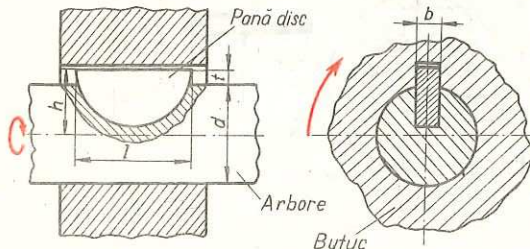


Fig. 9.5. Asamblarea cu pană-disc, STAS 1012-77.

aproximativă a penei este $l \approx (1.1 \dots 1.3) d$, în care d reprezintă diametrul arborelui.

Pene-disc. Penele-disc se folosesc la îmbinări cu arbori având diametrul $d < 40$ mm și se montează după cum se indică în figura 9.5.

9.2. ASAMBLĂRI PRIN CANELURI

Arboarele, respectiv butucul canelat, poate fi considerat ca fiind o piesă monobloc cu pene longitudinale multiple (fig. 9.6). Astfel, asamblarea prin caneluri nu necesită elemente intermediare.

Spre deosebire de asamblările cu pene longitudinale, cele cu arbori și butuci canelați prezintă următoarele avantaje: asigură o centrare mai precisă a pieselor asamblate fără deformarea prin ovalizare a butucului; transmit eforturi mai mari la aceeași dimensiune a arborelui; presiunea de contact și concentrarea tensiunilor sunt mai reduse. Execuția canelurilor este, însă, mai costisitoare.

Butucii cu care se îmbină au profilul identic în interior, dar sunt executăți prin broșare sau prin mortezare pe o suprafață cilindrică interioară, în timp ce arborii canelați se execută prin frezare (fig. 9.6).

Arborii canelați se folosesc pentru transmiterea unor momente de răsucire mari și cînd este necesară deplasarea axială relativă dintre piesele asamblate, deci între butuc și arbore chiar în funcționarea de regim.

După cum se poate urmări în figură, numărul canelurilor și al plinurilor (penelor) este același, făcind corp comun cu arborele. Se construiesc arbori cu un număr z de: 4, 6, 8, 10, 16, 20 caneluri, uniform repartizate pentru a realiza cu butucul canelat profili transversale conjugate.

baterea roții. În acest caz, asamblarea este supusă la strivirea zonelor de contact arbore-pană, respectiv pană-butuc.

Știfturi longitudinale. Ca și penele longitudinale, știfturile pot fi inclinate (fig. 9.2, c, d, e, i, j), cilindrice (fig. 9.2, a, f, h, k) sau pot avea diferite alte forme.

Pene paralele. Penele paralele (fig. 9.4) au fețele opuse paralele. Efortul se transmite numai pe fețele laterale fără efect radial de împănare.

Uneori, se fixează pe arbore cu ajutorul șuruburilor (fig. 9.5). Cînd este necesară transmiterea unei forțe mai mari se folosesc două sau trei pene, montate pe arbore în același plan și decalate cu 120° . Lungimea

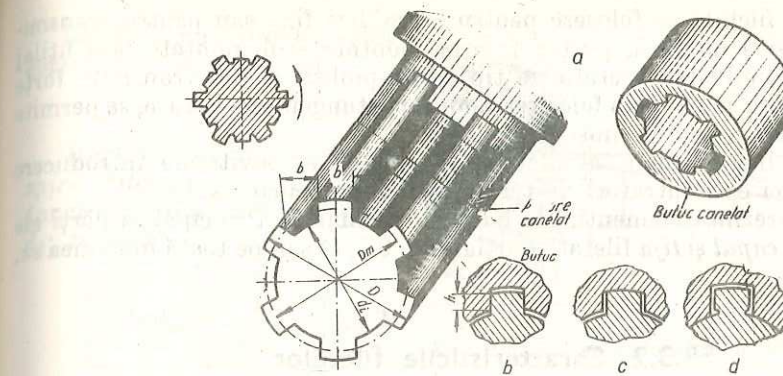


Fig. 9.6. Pieze canelate:
a — profiluri canelante; b — cu centrare laterală; c — cu centrare exterioară; d — cu centrare interioară.

Profilul canelurilor poate fi dreptunghiular, evolventic, trapezoidal, rotund sau triunghiular (zimțat).

După caracterul centrării se deosebesc asamblări cu centrare laterală (fig. 9.6, b), cu centrare exterioară (fig. 9.6, c), sau cu centrare interioară (fig. 9.6, d).

Arboarele (butucul) canelat cu diametrul interior $d = 36$ mm și diametrul exterior $D = 40$ mm, cu 8 caneluri se notează astfel:

Arbore canelat 8 × 36 × 40 STAS 1768-86

9.3. ASAMBLĂRI FILETATE

9.3.1. Elemente de bază ale asamblării cu piese filetate

Cele mai răspîndite asamblări demontabile sunt alcătuite din elemente filetate. Mai mult de jumătate din totalul pieselor folosite în construcția de mașini și aparate sunt filetate. În general, o asamblare filetată cuprinde următoarele părți principale (fig. 9.7): șurubul 1 avind o parte filetată, piulița 2 cu filet interior pentru cuprinderea părții filetate a șurubului, șaiba de protecție 3, elementul de siguranță 4 împotriva deșurubării, piesele supuse îmbinării 5 și uneori elementele de siguranță 6 împotriva deplasării pieselor.

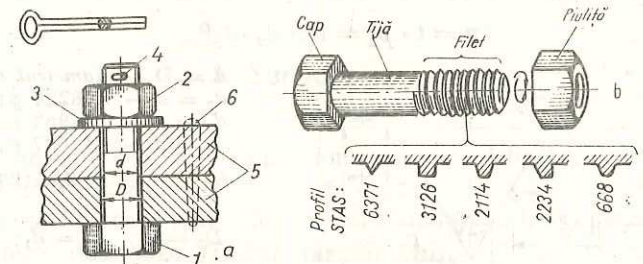


Fig. 9.7. Elementele asamblării cu piese filetate:
a — elementele asamblării: 1 — șurub; 2 — piuliță; 3 — șaibă; 4, 6 — elementele de siguranță;
5 — elementele asamblate; b — elementele șurubului; c — forma profilului filetatului.

Elementele filetate se folosesc pentru asamblări fixe sau pentru transmisie de forțe și mișcări, putând fi ușor montate și demontate fără utilaj special. Prin asamblarea filetată de tip șurub-piuliță se pot transmite forțe axiale de stringere mari; prin folosirea unor forțe tangențiale reduse, se permite transmiterea sau reglarea mișcării.

Principalul inconvenient al filetelor îl constituie inevitabilă introducere a unor puternici concentratori de tensiuni în zona solicitată.

Surubul reprezintă elementul de bază al asamblării. Principalele părți ale surubului sunt: *capul* și *tija* filetată parțial (fig. 9.7, b) sau pe toată lungimea sa,

9.3.2. Caracteristicile filetelor

Filetul constituie partea principală a unei piese filetate. El este o nervură elicoidală pe o suprafață cilindrică sau conică, la exterior, în cazul șurubului, și la interior, în cazul piuliței. Uneori filetul poate avea formă unei spirale pe o suprafață plană.

Elementele filetelui. În funcție de lungimea zonei filetate, filetul se infășoară de un număr de ori pe suprafață respectivă. În cele ce urmează se fac referiri numai la filetele executate pe suprafețe cilindrice ca cele mai folosite.

Spira filetelui este reprezentată printr-o singură infășurare a elicei pe suprafață respectivă. În timp ce filetul este format din totalitatea spirelor. Principala caracteristică a spirei o constituie forma sa geometrică într-un plan ce trece prin axa longitudinală a filetelui (fig. 9.7, c). Această formă se numește profil și poate fi: triunghiular, patrat, trapezoidal, ferastrău și rotund. Pentru asigurarea întregii și a interschimbabilității, profilul trebuie să fie uniform pe întreaga lungime a filetelui.

Elementele geometrice corespunzătoare fiecărui profil de filet sint standardizate. De exemplu, elementele geometrice principale ale filetelui metric normal sint indicate pe figura 9.8, atât pentru șurub cit și pentru piuliță.

Pasul filetelui este distanța măsurată pe o paralelă la axa șurubului între două puncte consecutive ale aceleiași elice (fig. 9.8 și 9.9).

Desfășurîndu-se elicea cilindrică corespunzătoare diametrului mediu d_2 se obține *unghiul de inclinare al spirei* β_m (fig. 9.9).

Filetul poate fi construit cu $t = 1 - 2 - 4 - 6$ incepuri, care reprezintă infășurarea paralelă a t elice. Mărimea filetelui depinde de diametrul cilindrului de infășurare d_2 , de unghiul de inclinare al spirei β_m și de numărul pasurilor aparente p_a (fig. 9.9), care este același cu numărul de incepuri t :

$$p = t \cdot p_a = t\pi \cdot d_2 \cdot \operatorname{tg}\beta_m.$$

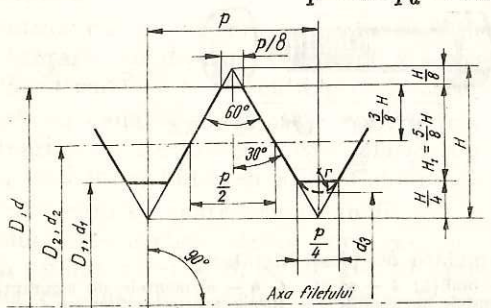


Fig. 9.8. Elementele geometrice de bază ale filetelui metric — după STAS 6371-73.

La filetul cu o singură spira corespunde $p_a = p$, deci

$$p = \pi \cdot d_2 \cdot \operatorname{tg}\beta_m. \quad (9.1)$$

Unghiul de inclinare a spirei filetelui β_m variază în funcție de diametrul adoptat d_2 ; rezultă

$$\operatorname{tg}\beta_m = \frac{p}{\pi d_2}. \quad (9.2)$$

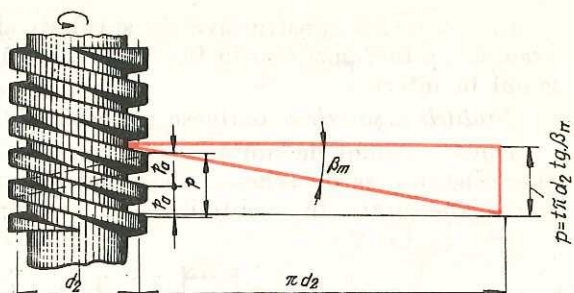


Fig. 9.9. Elicea cilindrică a filetelui desfășurat.

Unghiul β poate fi exterior (β_e), mediu (β_m) sau interior (β_i). De regulă, în calcule se consideră β_m . Când se execută piese filetate cu t incepuri, se consideră pasul real al șurubului definit mai sus $p = t p_a$.

Unghiul $\alpha/2$ al profilului este format de flancul spirei și o perpendiculară pe axa de rotație. Acest unghi se confundă cu semiunghiul flancurilor spirei cu profil simetric.

Înălțimea filetelui metric normal al șurubului h și al piuliței H este distanța dintre vîrful și fundul filetelui $H = 0,86603 p$ (fig. 9.8).

Înălțimea utilă sau de lucru a filetelui metric normal notată H_1 reprezintă înălțimea zonei de contact și are mărimea $H_1 = \frac{5}{8} H$.

In secțiunea transversală spira filetelui poate avea una din formele: triunghiulară, patrată, trapezoidală, dintre de ferastrău sau rotundă (fig. 9.7, c).

Asamblările pot fi:

- cu diferite tipuri de șuruburi și piulițe;
- cu șuruburi fără piulițe;
- cu șuruburi prezon și piulițe;
- direct prin piese filetate (fără șuruburi și fără piulițe).

In standarde se dau toate indicațiile privind profilul filetelui și elementele sale geometrice.

Toleranțele filetelor se stabilesc astfel încit să asigure interschimbabilitatea șuruburilor și a piulițelor și să mențină rezistență în limite admisibile. Adoptîndu-se diferențiat toleranțele diametrului mediu $d_2(D_2)$, se stabilesc trei clase de precizie diferite. În general, toleranțele trebuie să corespundă ajustajului alunecător.

9.3.3. Șuruburi și piulițe

Suruburile sint cele mai importante și mai utilizate elemente ale asamblărilor cu piese filetate.

După scopul în care sint folosite, șuruburile pot fi grupate în:

- șuruburi destinate fixării (asamblării);
- șuruburi pentru asigurarea etanșării asamblărilor;
- șuruburi de transmitere a mișcării;
- șuruburi de reglare;
- șuruburi pentru măsurare.

Cîteva forme constructive de șuruburi sint ilustrate în figura 9.10. De exemplu, prima poziție din figură reprezintă un șurub cu cap cilindric hexagonal în interior.

Piulițele și șaibele se definesc în special după forma constructivă (fig. 9.11).

După sistemul de unități de măsură a unității de lungime a dimensiunilor filetului, se deosebesc: filete metrice (măsurate în mm) și filete With-worth (măsurate în inci-țoli).

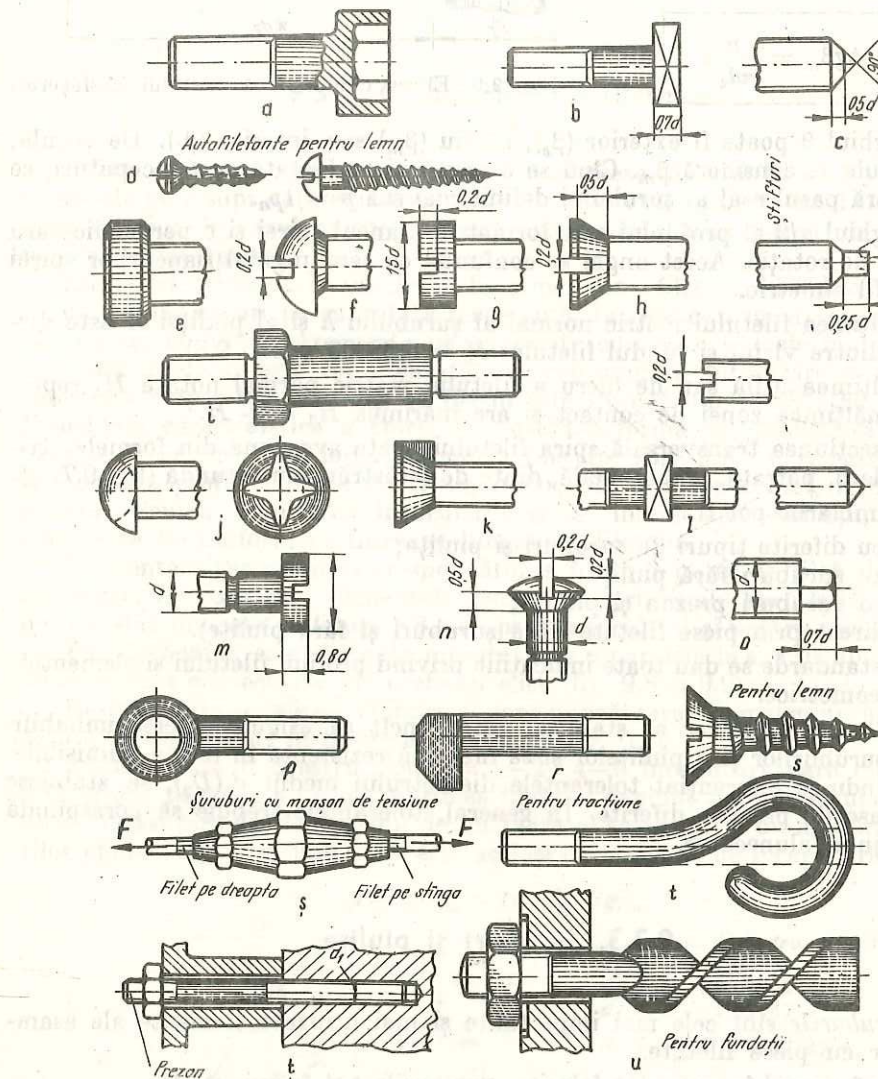


Fig. 9.10. Diferite forme constructive de șuruburi:

a - cu locăș hexagonal; b - cu cap dreptunghiular; c - virfuri și capete de știfuri filetate; d - autofiletante cu cap bombat pentru lemn; e - cu cap striat; f - cu git și cap bombat; g - cu cap cilindric; h - cu cap înecat; i - șurub special dublu filetat dreapta-stinga și cu guler hexagonal; j - cu locăș stelat; k - cu cap înecat cu nas; l - dublu filetat și cu guler pătrat; m - cu canal de siguranță; n - cu cap semiinecat și cu canal de siguranță; o - cu cap pătrat mic; p - cu ochi; r - cu cap pătrat excentric; s - autofiletant cu cap înecat obișnuit; s - șuruburi cu manșon de tensiune; t - cu incl de tracțiune; u - cu încl de fundații.

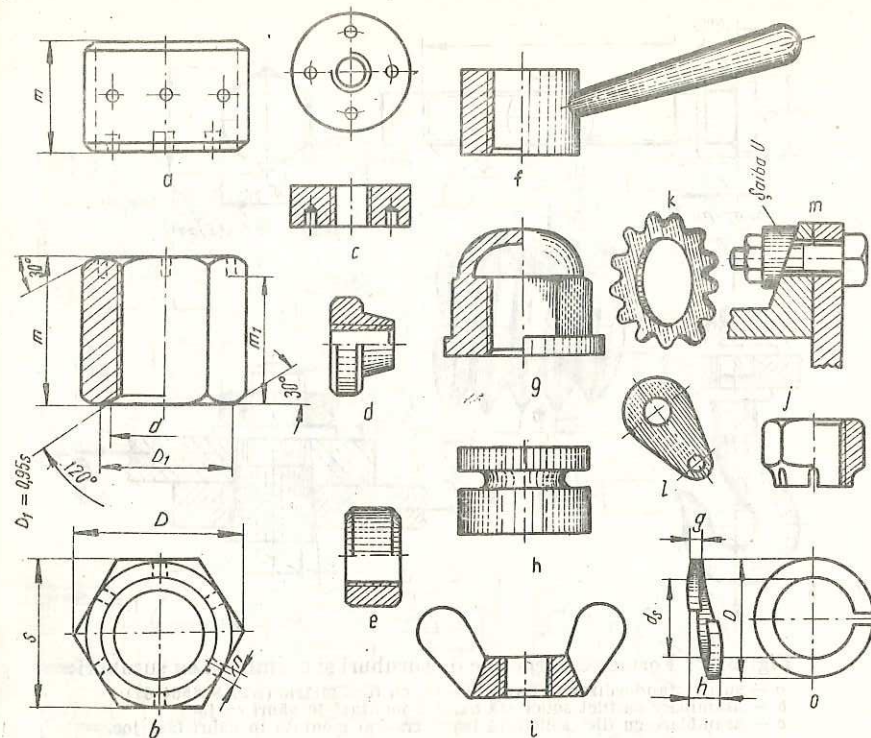


Fig. 9.11. Diferite forme constructive de piulițe:

a - cilindrică cu găuri radiale; b - hexagonală înaltă; c - cilindrică cu găuri frontale de strîngere; d - cilindrică striată și cu git; e - cilindrică striată; f - cu miner; g - înfundată; h - cilindrică zimătă și cu canal de siguranță; i - flutură; j - crenelată; k, l, m, o - diferite forme constructive pentru șaibe de protecție sau de siguranță.

Între diametrul tijei șurubului și al gării pieselor montate se lasă un mic joc de 0,2–0,6 mm (STAS 3336-81) (fig. 9.12, b), după cum asamblarea face parte din seria fină, mijlocie sau grosolană.

Cind se montează în găuri fără joc, șuruburile se execută cu precizie corespunzătoare pentru găuri cilindrice sau conice cu o inclinare a generatoarei de $\frac{1}{10} \dots \frac{1}{20}$ (fig. 9.12, c). Aceste șuruburi sint solicitate la forfecare.

9.3.4. Materiale

Principalele materiale folosite în mod obișnuit în construcția șuruburilor, piulițelor și accesoriilor sint indicate în standardele respective.

Șuruburile brute se execută din OL 37 (oțel hexagonal laminat la cald STAS 7828-78). Cele prelucrate avînd capul hexagonal, pătrat sau rotund se execută din OL 50, OLC 35 sau OLC 45. Șuruburile puternic solicitate și cele supuse la sarcini variabile se pot executa din oțeluri de îmbunătățire și din oțeluri speciale (aliate cu Cr-Mo-V-Ni). Unele șuruburi, ca cele de tîmplărie, se execută din lemn, altele din materiale plastice, aliaje neferoase (alamă) etc.

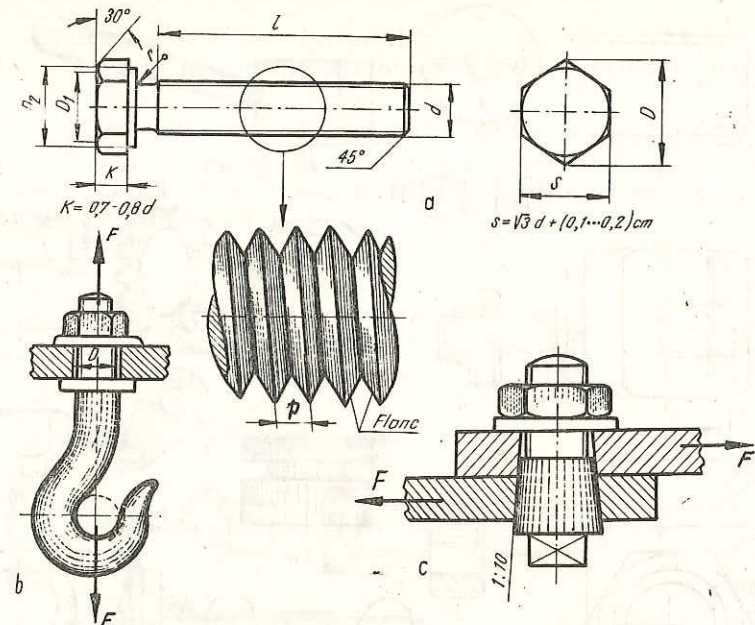


Fig. 9.12. Forme constructive de șuruburi și asamblări cu șuruburi:
a — șurub standardizat (STAS 4845-70) cu filet metric (STAS 6564-67);
b — asamblare cu filet solicitată axial și montată în găuri cu joc;
c — asamblare cu filet solicitată transversal și montată în găuri fără joc.

Piulițele se execută, în primul rînd, din oțel special pentru piulițe denumit *oțel fosforos laminat la cald*, ca și din oțel carbon obișnuit: OL 37 (oțel lat pentru piulițe STAS 5169-80), OL 50, OL 60, sau oțel carbon de calitate — OLC 45. De observat că șuruburile din oțeluri aliate sunt mai sensibile la oboseală și la concentrarea tensiunilor decât cele din oțel carbon obișnuit sau decât cele din oțeluri carbon de calitate tratate termic.

9.3.5. Măsuri suplimentare împotriva autodeserubării

La asamblările cu suruburi de fixare, autodeserubarea poate avea loc în condițiile funcționării în regim, de șocuri și vibrații etc. Cind eventuala autodeserubare ar produce distrugerea asamblării sau scoaterea din funcționare a mecanismului, se iau măsuri constructive suplimentare împotriva deserubării.

În prezent, se folosește o gamă variată de elemente constructive și sisteme de siguranță (fig. 9.13) printre care:

- mijloace de asigurare a piuliței împotriva deșerubării (fig. 9.13, a);
- mijloace de asigurare a șurubului împotriva deșerubării (fig. 9.13, b);
- mijloace de asigurare a șurubului și a piuliței împotriva deșerubării (fig. 9.13, c);
- diferite inserții introduse între spire.

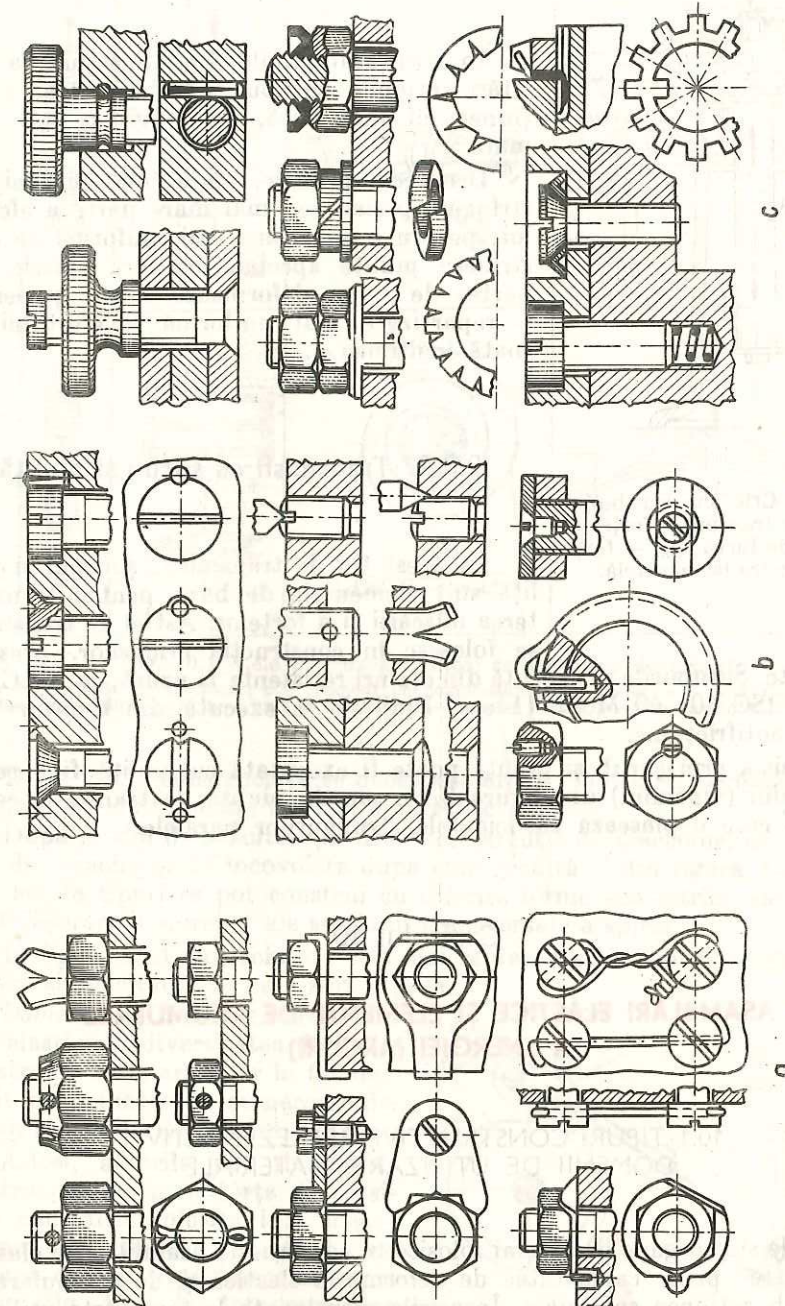
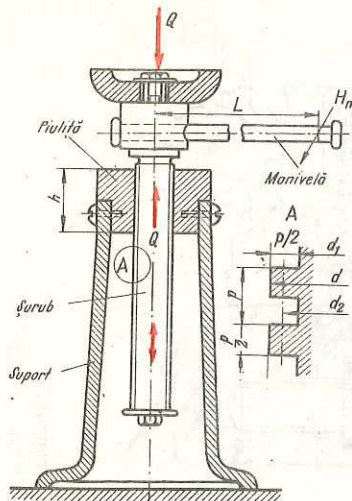


Fig. 9.13. Sisteme și elemente de asigurare împotriva deșerubării:
a — asigurarea piuliței; b — asigurarea șurubului; c — asigurarea șurubului și a piuliței.



9.3.6. Șuruburi și piulițe speciale

În cazul asamblărilor filetate supuse la solicitări variabile, șuruburile trebuie să aibă secțiunea cât mai mică, iar lungimea cât mai mare.

Deoarece primele spire ale piuliței de strângere preiau cea mai mare parte a efortului, pentru o solicitare mai uniformă se construiesc piulițe speciale, la care spirele din partea de jos se deformă elastic și permit o repartizare mai uniformă a efortului pe toată înălțimea h .

9.3.7. Transmisii cu șurub și piuliță

Fig. 9.14. Cric cu șurub-piuliță pentru transmisia forțelor: Q — forța de lucru; Q_m — forța de acționare la manivelă.

La acest tip de transmisii, șurubul și piulița sunt elementele de bază pentru transmiterea mișcării și a forțelor. Astfel de transmisii se folosesc în construcția cricurilor, preselor cu șurub etc. Șuruburile se execută din oțeluri rezistente la uzură, ca: OLC 45; OLC 50; OSC 10; 40 MoCr 11 etc. Piulițele se execută din bronzuri sau din fonte antifrictiune.

Transmisia prin șurub și piuliță poate fi executată cu piuliță fixă ca în cazul cricului (vinciului) din figura 9.14, sau cu piuliță de translație ca în cazul celei care deplasează cărucioarele strungurilor paralele.

Capitolul 10

ASAMBLĂRI ELASTICE ȘI ELEMENTE DE ACUMULARE A ENERGIEI (ARCURI)

10.1. TIPURI CONSTRUCTIVE REPREZENTATIVE. DOMENII DE UTILIZARE. MATERIALE

Arcurile sunt organe de mașini folosite în construcția asamblărilor elastice caracterizate prin capacitatea de deformare elastică și de acumulare de energie sub acțiunea sarcinilor. Însușirile menționate le fac foarte utilizate în construcția de mașini și aparate.

Tipuri constructive reprezentative. Arcurile au diferite forme constructive în funcție de rolul funcțional și solicitările principale la care sunt supuse.

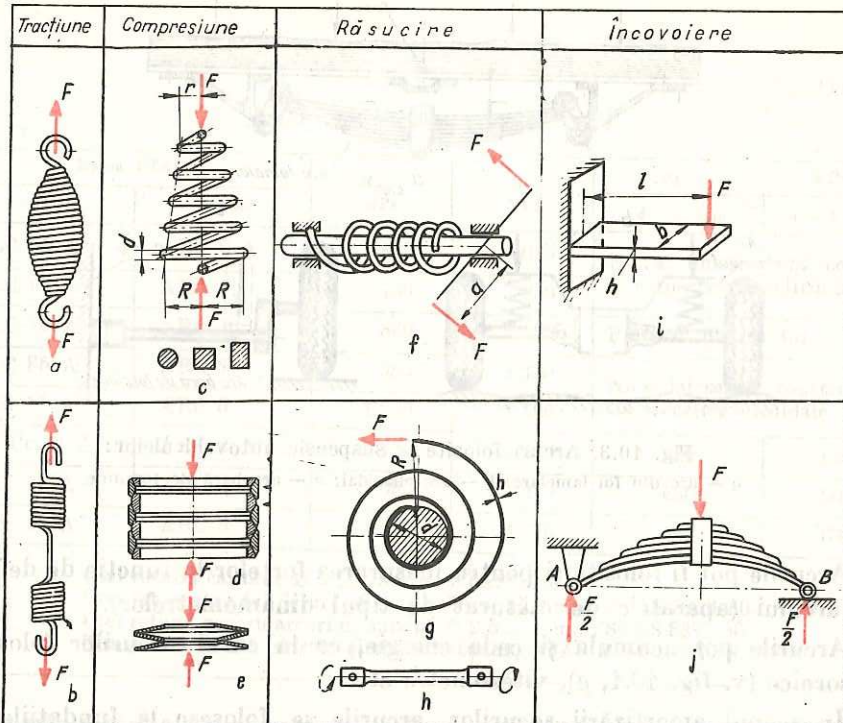


Fig. 10.1. Cele mai uzuale tipuri constructive de arcuri:
a, b — elicoidale de tracțiune; c — elicoidal de compresiune; d — inelar; e — disc; f — elicoidal de torsiune; g — spiral plan; h — bară de torsiune; i — lamelar simplu; j — lamelar dublu cu foi multiple.

După forma constructivă, se deosebesc arcuri: lamelare, elicoidale, spirale, plane, bare de torsiune, inelare, arcuri-disc etc.

După modul de solicitare, se deosebesc arcuri: de tracțiune, de compresiune, de răsucire și de încovoiere după cum rezultă și din figura 10.1. Fiecare din aceste tipuri se pot construi cu diferite forme geometrice ale suprafeței de infășurare a spirei și ale secțiunii transversale a spirei.

În figura 10.1 sunt schițate cele mai reprezentative tipuri constructive de arcuri și solicitările la care sunt supuse.

Domenii de utilizare. Proprietățile elastice și diversitatea formelor constructive ale arcurilor le fac deosebit de utilizate în numeroase domenii și în diferite scopuri.

Astfel, arcurile pot fi folosite pentru crearea unor forțe de presiune constantă folosite la: mecanisme cu clichet (fig. 10.2, a), supape de siguranță, mecanisme cu came (fig. 10.2, b), intrerupătoare electrice, mecanisme de blocare la echilibrarea forțelor gravitaționale și în alte scopuri.

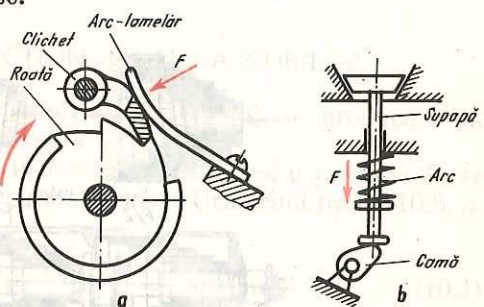


Fig. 10.2. Arcuri pentru crearea unei forțe de presiune constantă:
a — la mecanisme cu clichet; b — la mecanisme cu came.

TABELUL 10.1

Oteluri pentru arcuri STAS 795-80

Marca STAS.	795-80	$R_{r0,2}$ MPa	R_m MPa	τ_{at}		MPa
				$d < 8$ mm	$d > 8$ mm	
OLC 55 A	ARC 6 A	880	1 080			Nu se folosesc la construcția arcurilor elicoidale
OLC 65 A	ARC 6	780	980			
OLC 75 A	ARC 10	880	1 080			Preferat pentru foi
OLC 85 A	ARC 7	980	1 130			
51Si 17 A	ARC 5	1 030	1 180			Nu se folosesc la construcția arcurilor elicoidale
51VCr 11 A	ARC 2 A	1 180	1 320	680	650	
56Si 17 A	ARC 4	1 080	1 270	630	500	
60Si 15 A	ARC 3	1 270	1 470	680	600	

Otel rotund calibrat $\varnothing 1 \dots 75$ mm, STAS 1800-80Otel lat pentru foi de arc $30 \times 4 \dots 150 \times 14,5$ mm, STAS 3020-80Otel rotund pentru arcuri de supapă $\varnothing 2,5 \dots 6$ mm, STAS 8371-80

Sîrmă lată, sîrmă pătrată și sîrmă rotundă, STAS 892-80; STAS 893-80

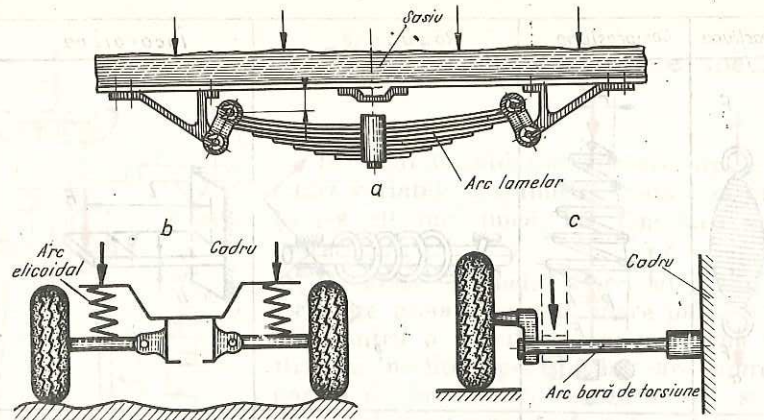


Fig. 10.3. Arcuri folosite la suspensia autovehiculelor:
a – arc din foi lamelare; b – arc elicoidal; c – arc bară de torsiune.

Arcurile pot fi folosite și pentru măsurarea forțelor în funcție de deformarea arcului (aparatele de măsurat de tipul dinamometrelor).

Arcurile pot acumula și ceda energie, ca în cazul arcurilor folosite la ceasornice (v. fig. 10.1, g), vitezometre etc.

În scopul amortizării șocurilor, arcurile se folosesc la fundațiile unor mașini (ciocane și piese puternice din atelierele de forjă), la suspensiile mașinilor rutiere (fig. 10.3), la tampoanele materialului rulant (fig. 10.4).

Materialele folosite în construcția arcurilor trebuie să asigure acumularea unei cantități cît mai mari de energie pe unitatea de volum.

Otelurile românești sunt simbolizate astfel: ARC 1, ARC 2, ..., ARC 13 (STAS 795-80). Aceste oteluri au proprietăți elastice, superioare și stabile în timp (tab. 10.1), având $E = 2,4 \cdot 10^5$ MPa și $G = (8 \dots 8,5) \cdot 10^4$ MPa.

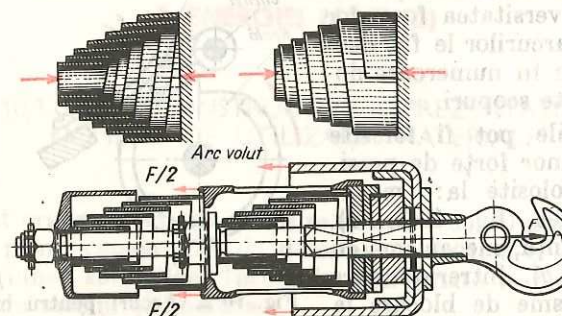


Fig. 10.4. Dispozitivul cîrligului de tractiune feroviară cu serie de două arcuri (volute) pentru amortizarea energiei de soc.

Aceste materiale au proprietăți elastice deosebite și o limită de proporționalitate ridicată. Limita lor de curgere este superioară limitei de curgere a oțelurilor obișnuite. Dacă în cazul oțelului carbon obișnuit OL 37, raportul dintre limită de curgere $R_{r0,2}$ și cea de rupere R_m este 0,5, în cazul oțelului 56 Si 17 A acest raport depășește 0,85.

Pînă în tehnologie corectă și un tratament termic riguros, aceste oteluri dau rezultate bune în construcția arcurilor, obținindu-se proprietăți elastice superioare și o bună comportare la oboseala.

Cînd arcurilor li se impun și alte condiții speciale, cum sunt: rezistență la temperatură și coroziune, rezistență electrică, antimagnetism etc. toate acestea se vor lua în considerație la alegerea materialului.

10.2. CARACTERISTICI FUNCTIONALE ALE ARCURILOR

Aplicînd forță F asupra unui arc lamelar (fig. 10.5, a), se produce o deformare de încovoiere măsurată prin săgeata f .

Reprezentîndu-se variația săgeții f în funcție de forță ce o produce F , se obține curba OB care reprezintă *caracteristica arcului*. Urmărind figura 10.5, a, se poate scrie raportul

$$\operatorname{tg} \alpha = \frac{F_1}{f_1} = \frac{F_2}{f_2} = \dots = \frac{F_n}{f_n} = C = \text{constant.} \quad (10.1)$$

Acest raport poate avea valori mai mari sau mai mici după cum este de rigid arcul. Dacă $\operatorname{tg} \alpha$ are o valoare mică, arcul este moale, elastic (curba 2); dacă are o valoare mare, atunci arcul este mai rigid (curba 3).

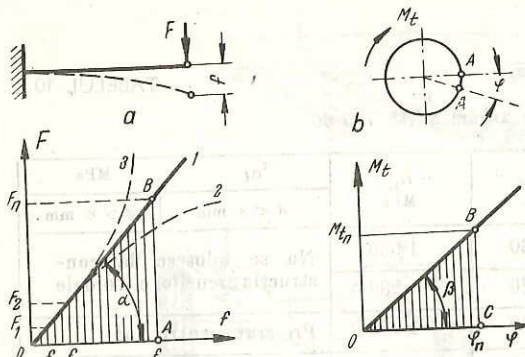


Fig. 10.5. Caracteristica arcurilor:
a – încovoiere; b – răsucire.

În cazul arcurilor supuse acțiunii unui moment de răsucire M_t , curba caracteristică are forma din figura 10.5, b rezultată prin reprezentarea expresiei corespunzătoare (10.2):

$$\begin{aligned} \text{tg } \beta &= \frac{M_{t_1}}{\varphi_1} = \frac{M_{t_2}}{\varphi_2} = \dots = \frac{M_{t_n}}{\varphi_n} = \\ &= C_1 = \text{const}, \quad (10.2) \end{aligned}$$

φ_i fiind deplasarea unghiulară produsă de momentul M_{t_i} . Lucrul mecanic de deformare. Arcul acumulează un lucru mecanic L reprezentat de suprafața hașurată din figura 10.5.

În cazul arcurilor solicitate în domeniul deformațiilor elastice, caracteristica arcului este o dreaptă, care reprezintă proporționalitatea între forța F și săgeata corespunzătoare f .

Expresia lucrului mecanic L pentru arcurile solicitate la încovoiere, tracțiune sau compresiune, reprezentată de suprafața triunghiului OAB (fig. 10.5, a), este

$$L = \frac{1}{2} Ff \quad [J]. \quad (10.3)$$

În cazul arcurilor solicitate la răsucire, lucrul mecanic de deformare este reprezentat prin suprafața triunghiului OBC (fig. 10.5, b) și se calculează cu relația

$$L = \frac{1}{2} M_t \varphi \quad [J], \quad (10.4)$$

φ fiind deplasarea unghiulară datorită lui M_t (fig. 10.5).

Rezultă că pentru orice tip de arc se poate determina valoarea lucrului mecanic înmagazinat între starea inițială (neîncărcată) și starea finală de deformare elastică corespunzătoare solicitării date.

Solicitările la care sunt supuse arcurile pot fi simple — de încovoiere sau de răsucire — sau compuse — de încovoiere și de răsucire.

10.3. TIPURI DE ARCURI

10.3.1. Arcuri lamelare

Arcurile în foi se folosesc fie ca arcuri lamelare simple (fig. 10.6, a, b), fie grupate sub formă de arcuri lamelare cu foi multiple, după cum se arată în pozițiile i și j din figura 10.1. Forma lamelei poate fi dreptunghiulară, triunghiulară, trapezoidală sau eliptică.

Arcuri lamelare dreptunghiulare. Tipul constructiv cel mai simplu îl reprezintă arcurile lamelare de secțiune constantă (fig. 10.6, a). Aceste arcuri

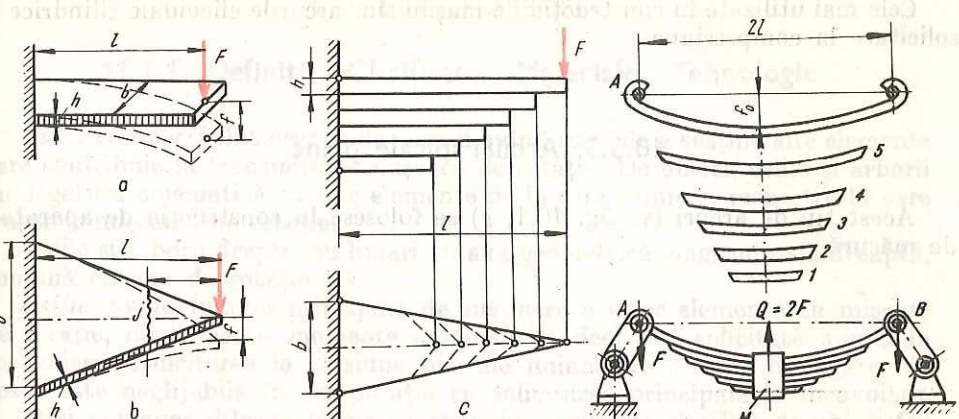


Fig. 10.6. Arcuri lamelare:

a, b – cu lamele simple; c – cu lamele multiple suprapuse;
 F – forță de încărcare.

Fig. 10.7. Arc lamelar dublu cu foi multiple utilizat în construcția autovehiculelor:
A și B – articulații; 1...5 – foile arcului.

au secțiunea transversală dreptunghiulară aleasă constructiv pe baza secțiunilor indicate în standarde (STAS 3020-80 și 909-80).

Arcuri lamelare triunghiulare. Utilizarea materialului poate fi îmbunătățită prin construcția arcurilor lamelare triunghiulare (fig. 10.6, b). În acest caz, materialul din care este executat arcul este cu mult mai bine utilizat.

Arcuri lamelare cu foi multiple. Pentru preluarea unor forțe mari se construiesc arcuri lamelare din foi multiple, ca în figura 10.6, c.

Arcuri lamelare duble. Arcurile lamelare duble, cu o singură foaie sau cu foi multiple legate solidar cu o brătară M (fig. 10.7) se construiesc, de obicei, în stare neîncărcată cu săgeată inițială $\pm f_0$. Destinația de bază a acestui tip de arcuri o constituie suspensia vehiculelor rutiere și de cale ferată.

10.3.2. Arcuri elicoidale

După caracterul solicitării se deosebesc arcuri elicoidale de tracțiune sau de compresiune (v. fig. 10.1, a, b, c și fig. 10.8) și arcuri elicoidale de torsiune (fig. 10.1, f). Secțiunea spirei (fig. 10.1, c) și suprafața de infășurare a acesteia pot avea diferite forme (fig. 10.8).

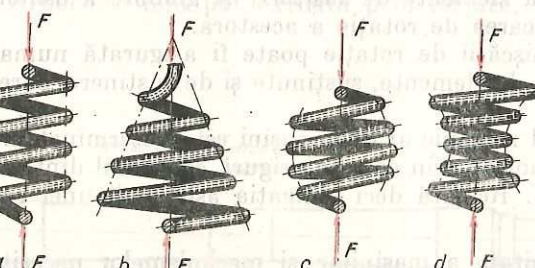


Fig. 10.8. Arcuri elicoidale:

a – cilindrice; b – conice; c – elipsoidale; d – paraboloidale.

Cele mai utilizate în construcția de mașini sunt arcurile elicoidale cilindrice solicitate la compresiune.

10.3.3. Arcuri spirale plane

Acest tip de arcuri (v. fig. 10.1, g) se folosesc în construcția de apărate de măsură.

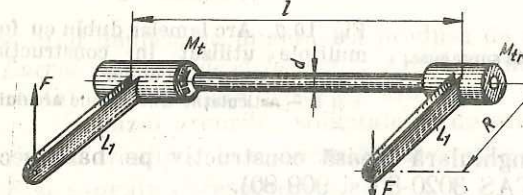


Fig. 10.9. Arc-bară de răsucire.

10.3.4. Arcuri-bară de răsucire

Arcurile din această categorie sunt solicitate în principal la răsucire și sunt utilizate la suspensiiile autovehiculelor (fig. 10.9).

Capitolul 11

ORGANELE MIȘCĂRII DE ROTAȚIE

Din categoria organelor folosite pentru realizarea și asigurarea mișcării de rotație fac parte două categorii de organe de mașini:

- *osiile și arborii*, ca elemente *susținute*, având mișcare de rotație;
- *lagările*, ca elemente de *susținere* și ghidare a osiilor sau a arborilor, care asigură mișcarea de rotație a acestora.

Realizarea mișcării de rotație poate fi asigurată numai prin ansamblul celor două grupe de elemente, susținute și de susținere, care formează o legătură cinematică.

Randamentul mecanic al unei mașini este determinat în special de calitatea și precizia zonelor prin care se asigură contactul dintre arbore sau osie și lagărul conjugat. Rezultă deci obligația asigurării unei calități deosebite a acestor piese.

Marea diversitate a mașinilor și mecanismelor necesită arbori și lagăre deosebit de variate, de la o bucasă simplă pînă la forme deosebit de complicate.

11.1. OSII ȘI ARBORI

11.1.1. Definiții. Clasificare. Materiale. Tehnologie

Osiile și arborii sunt organe de mașini avind rolul de a susține alte elemente care contribuie la transmiterea mișcării de rotație. De obicei, osiile și arborii fac legătura cinematică cu alte elemente de la care primesc, respectiv la care transmit mișcarea de rotație.

Osiile și arborii drepti sau liniari au axa geometrică longitudinală dreaptă, comună cu axa de rotație.

Osiile, având funcția principală de susținere a altor elemente cu mișcare de rotație, nu transmit momente de torsiune, deci sunt solicitate numai la încovoiere. Solicitarea la torsiune provine numai din frecare în lagăre, de aceea este neglijabilă în comparație cu solicitarea principală la încovoiere.

Deși pot avea diferite forme constructive, osiile se clasifică de obicei în: *osi fixe*, folosite ca reazeme pentru alte elemente care se rotesc liber pe ele, și *osi mobile*, ce se rotesc în reazeme împreună cu celelalte elemente fixate pe ele.

Forma constructivă și principalele părți ale unei osii obișnuite sunt indicate în figura 11.1.

Arborii, spre deosebire de osii, au funcția principală de transmitere a mișcării de rotație și a unui moment de răsucire. De obicei, arborii sunt solicitati atât la răsucire cât și la încovoiere. Deseori solicitarea principală este răsucirea.

Principalul criteriu de clasificare a arborilor drepti îl constituie deci tipul de solicitare la care sunt supuși. După acest criteriu există: *arbori de torsiune* — considerați solicitati numai la torsiune — sau în principal la torsiune, *arbori supuși la solicitări compuse* — la torsiune și la încovoiere.

Arborii cotiți (fig. 11.2, a) sau cei cu came (fig. 11.2, b) contribuie la transformarea mișcării de rotație în mișcare de translație.

Materiale. Principalul material din care se construiesc osiile și arborii este oțelul. Se folosesc, în special, următoarele mărci de oțel: OL 37, OL 42, OL 50, OL 60, OT 45, OT 50, OT 60, OLC 25, OLC 30, OLC 45. Se mai întrebuintează diferite mărci de oțeluri aliante, ca: AUT 40; 41 Cr 10; 41 MoCr 11; 13 CrNi 15 etc. Fontele de calitate superioară se utilizează cînd osiile sau arborii nu sunt puternic solicitati. Cînd sunt necesare alte proprietăți fizice se folosesc alte materiale metalice (alamă, bronz) sau nemetalice (textolit, materiale plastice etc.).

Indicații tehnologice. În mod obișnuit, arborii și osiile se execută prin strunjire. Se pornește de la profiluri laminate, care apoi se strunjesc pe toată lungimea. Zona de sprijin pe lagăre se prelucrează foarte ingrijit prin rectificare, şlefuire etc. Arborii se mai pot executa prin forjare, pornind tot de

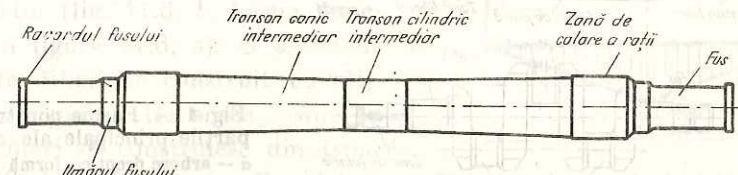


Fig. 11.1. Forma constructivă și părțile principale ale unei osii.

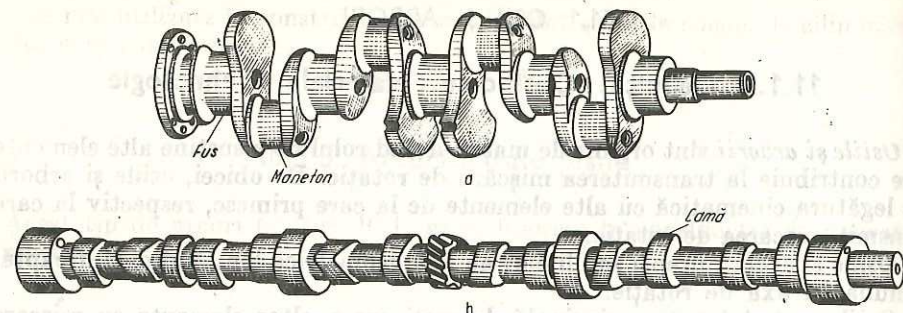


Fig. 11.2. Diverse forme de arbori:
a - arbore cotit; b - arbore cu came.

la semifabricate laminate. Operația de forjare pregătește semifabricatul în vederea prelucrării prin așchiere. Arborii și osiile de dimensiuni medii se execută prin turnare sau chiar prin sudare, apoi se supun prelucrărilor mecanice.

ACESTE ELEMENTE SE CONSTRUIESC CU SECȚIUNEA PLINĂ SAU CU SECȚIUNEA INELARĂ (fig. 11.3). Când se construiesc cu secțiunea inelară, materialul este mai bine folosit.

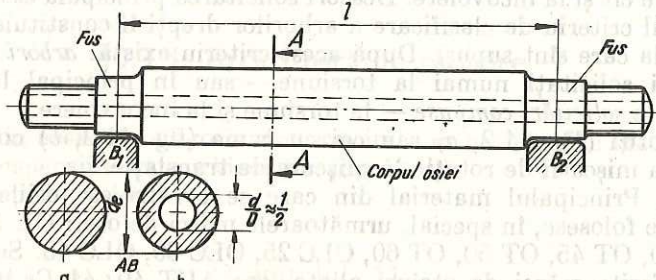


Fig. 11.3. Osie cilindrică:

a - cu secțiune plină; b - cu secțiune inelară.

Secțiunea plină este însă mai utilizată, deoarece se execută mai ușor.

Părțile principale ale arborilor sunt: fusurile, zonele de calare și tronsoanele intermedii (fig. 11.4, a). În cazul arborilor cotiți (fig. 11.4, b) fusurile intermedii se numesc manetoane.

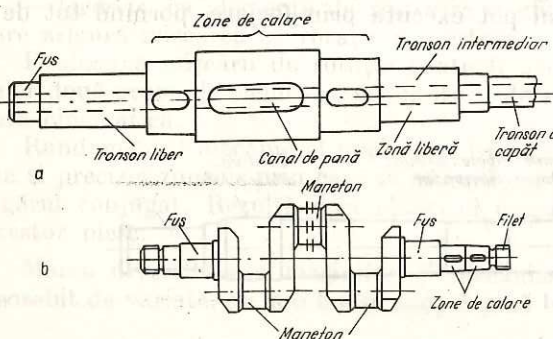
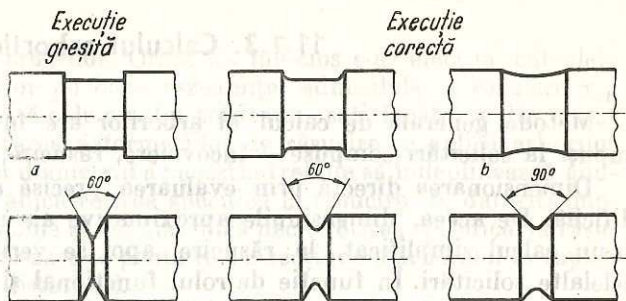


Fig. 11.4. Forme constructive și părțile principale ale arborilor:
a - arbore drept cu formă obișnuită;
b - arbore cotit.

Fig. 11.5. Execuția corectă (b) și cea incorectă (a și c) a zonelor de trecere de la un diametru la altul al arboreului sau al osiei.



Canalele de pană, necesare fixării pieselor pe arbore, se recomandă a fi executate în același plan și cu aceeași lățime cînd este posibil (fig. 11.4, a).

Indiferent de forma geometrică a arborilor sau osiilor, fusurile sunt cilindrice, conice sau sferice (v. fig. 11.9).

Trecerea de la o secțiune la alta a arborilor sau a osiilor se face cu raze de răcordare corespunzătoare reducerii maxime a efectului de concentrare a tensiunilor (fig. 11.5, b).

11.1.2. Calculul osiilor

Osiile fiind solicitate la încovoiere, calculele de dimensionare se fac cu formulele corespunzătoare solicitării de încovoiere.

Considerind cazul unei osii încărcate cu forță F , ca în figura 11.6, reacțiunile din rezemele A și B sunt egale ($R_A = R_B = F/2$). Momentul încovoiator este maxim în dreptul forței F , avind valoarea $M_{i\max} = \frac{F}{2} \cdot \frac{l}{2} = Fl/4$. Pentru o osie de secțiune circulară de diametru d , modulul de rezistență este $W = \pi d^3/32$, iar diametrul rezultă din relația

$$M_i = W \sigma_{ai} = \frac{\pi d^3}{32} \sigma_{ai} \approx 0,1 d^3 \sigma_{ai};$$

deci

$$d = \sqrt[3]{\frac{10 M_{i\max}}{\sigma_{ai}}} \quad (11.1)$$

Secțiunea osiei poate fi constantă, cu diametrul d , numai în cazul solicitărilor mici. În celealte cazuri, secțiunea constantă nu este economică (osi grele cu risipă de material). Deci, în cazul unor solicitări mari, forma exteroară a osiei trebuie să corespundă variației longitudinale a momentului încovoiator (fig. 11.6, b), forma punctată din figura 11.6, a). O astfel de osie este dificil de construit cu mijloacele obișnuite. De aceea, osiile cu sarcini mari se construiesc din tronsoane cilindrice și conice (v. fig. 11.1).

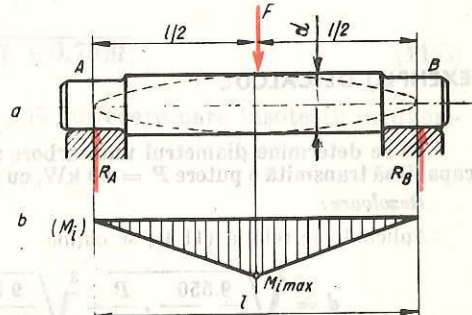


Fig. 11.6. Schema încărcării și diagrama de momente încovoietoare M_i ale unei osii.

11.1.3. Calculul arborilor

Metoda generală de calcul al arborilor are în vedere faptul că ei sunt supuși la solicitări compuse — încovoiere, răsucire, eventual și compresiune.

Dimensionarea directă prin evaluarea precisă a tuturor solicitărilor este dificilă. De aceea, dimensiunile aproximative ale arborilor se stabilesc printr-un calcul simplificat, la răsucire, apoi se verifică luind în considerație celelalte solicitări. În funcție de rolul funcțional și de forma lor, unii arbori se mai verifică la oboseală, la rigiditate și la turația critică.

Calculul la răsucire. Numeroși arbori sunt solicitati în principal la răsucire, astfel încit încovoierea fiind mult mai mică poate fi neglijată. Un astfel de caz îl constituie, de exemplu, arborii de transmisie pentru mișcarea de translație a podurilor rulante.

Asemenea arbori se dimensionează pe baza rezistenței admisibile la răsucire τ_{at} , aplicându-se relația cunoscută:

$$M_t = W_p \tau_{at}. \quad (11.2)$$

Dacă se dă puterea necesară a lui transmisă P , în kW, și turația arborelui n , în rot/min, atunci momentul de răsucire se obține din relația

$$M_t = 9550 \frac{P}{n} [Nm]. \quad (11.2')$$

Modulul de rezistență polar W_p pentru secțiuni circulare are expresia

$$W_p = \frac{\pi d^3}{16} \approx 0,2 d^3.$$

Egalând cele două relații (11.2) și (11.2') și înlocuind W_p , se obține

$$9550 \frac{P}{n} = 0,2 d^3 \tau_{at}.$$

Deci

$$d = \sqrt[3]{\frac{9550}{0,2 \tau_{at}} \cdot \frac{P}{n}} [m]. \quad (11.3)$$

EXEMPLU DE CALCUL

Să se determine diametrul unui arbore solicitat la răsucire, construit din oțel OL 50 capabil să transmită o putere $P = 60$ kW, cu o turație $n = 100$ rot/min, dacă $\tau_{at} = 80$ MPa.

Rezolvare:

Aplicându-se relația (11.3), se obține

$$d = \sqrt[3]{\frac{9550}{0,2 \tau_{at}} \cdot \frac{P}{n}} = \sqrt[3]{\frac{9550}{0,2 \cdot 80} \cdot \frac{60}{100}} = 0,071 m = 71 mm.$$

Se adoptă $d = 75$ mm, conform STAS 75-80.

Calculul la rigiditate al arborilor. Oricit de judicători s-ar efectua calculele de dimensionare ale arborilor pe baza rezistenței admisibile la răsucire τ_{at} , rezultatele obținute pe această cale nu sunt totdeauna satisfăcătoare din punct de vedere funcțional. Limitarea deformărilor de răsucire se aplică arborilor cu lungimi mari în raport cu diametrul d ; aceștia trebuie să îndeplinească anumite condiții de rigiditate, adică rotirea specifică la răsucire θ , datorită momentului de răsucire M_t , trebuie să fie mai mică decât rotirea specifică la răsucire admisibilă θ_a (grade), cu care se poate rota o secțiune a arborelui în raport cu altă secțiune situată la distanța l .

Rotirea specifică θ , în grade, se determină cu relația cunoscută din rezistență materialelor:

$$\theta = \frac{180^\circ}{\pi} \cdot \frac{M_t}{G \cdot I_p} \leq \theta_a, \quad (11.4)$$

unde:

G este modulul de elasticitate transversal;

I_p — momentul de inerție polar.

Înlocuindu-se aceste valori în relația (11.4), se obține diametrul d :

$$\theta_a = \frac{180^\circ}{\pi} \cdot \frac{32 M_t}{\pi G d^4}; \text{ deci } d = \sqrt[4]{\frac{180 \cdot 32 M_t}{\pi^2 \cdot G \cdot \theta_a}} \quad (11.5)$$

Arbori solicitati la încovoiere și răsucire. Pentru dimensionarea arborilor solicitati în același timp la răsucire și la încovoiere, se determină, mai întâi, separat, valorile M_i , M_t . Apoi, cu ajutorul lor se determină momentul echivalent M_{ech} .

Pentru determinarea momentului echivalent în cazul pieselor din oțel, se foloseste relația:

$$M_{ech} = \sqrt{M_i^2 + 0,75 M_t^2}. \quad (11.6)$$

Dimensionarea arborelui se face la încovoiere, cu momentul echivalent M_{ech} :

$$d = \sqrt[3]{\frac{10}{\sigma_{ai}} M_{ech}} = \sqrt[3]{\frac{10}{\sigma_{ai}} \sqrt{M_i^2 + 0,75 M_t^2}}, \quad (11.7)$$

respectiv

$$d^3 = \frac{10}{\sigma_{ai}} \sqrt{M_i^2 + 0,75 M_t^2}. \quad (11.8)$$

Atât la arbori cât și la osii, solicitarea la forfecare care însoțește încovoierea poate fi neglijată.

EXEMPLU DE CALCUL

Să se dimensioneze arboarele transmisiei din figura 11.7 a pe baza datelor din figură și a următorilor parametri: $P = 34$ kW; $n = 250$ rot/min; $a = b = c = 250$ mm, OL 42 ($R_{r,0,2} = 260$ MPa) sub acțiunea forței F_c transmise de curea și a forței radiale r , transmise de angrenaj dacă $\sigma_{ai} = 100$ MPa.

Diametrele arborelui în dreptul secțiunilor periculoase A și al roții dințate rezultă din relația (11.7).

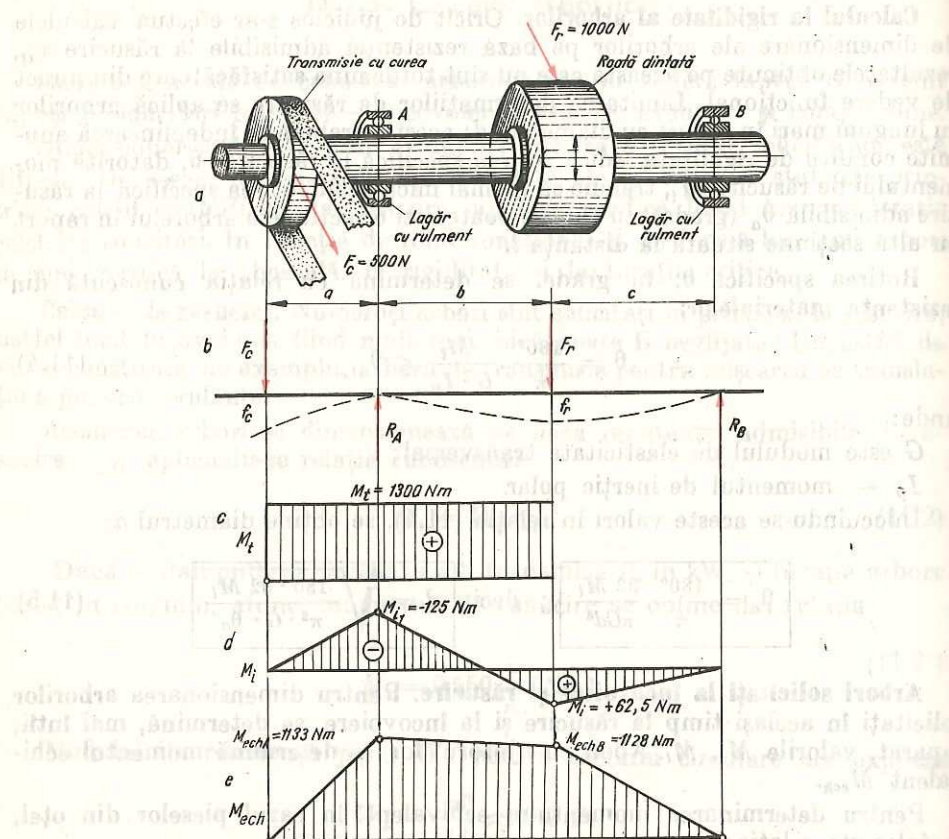


Fig. 11.7. Arborele unei transmisii cu curea și cu roți dințate:

a — reprezentare parțială a transmisiei; *b* — schema încărcării; *c* — diagrama momentului de răscuire; *d* — diagrama momentelor incovoietoare; *e* — diagrama momentului echivalent.

Rezolvare: Schema de încărcare a arborelui s-a reprezentat în poziția b din figura 13.7. Momentul de răsucire M_t (fig. 11.7, c) are valoarea:

$$M_t = 9\,550 \frac{P}{n} = 9\,550 \frac{34}{250} = 1\,298,8 \approx 1\,300 \text{ Nm.}$$

Reacțiunile din lagărele A și B au valorile:

$$R_A = \frac{F_r \cdot a + F_c \cdot 3a}{2a} = \frac{1\,000 \cdot 0,25 + 500 \cdot 0,75}{2 \cdot 0,25} = 1\,250 \text{ N};$$

$$R_B = \frac{F_r \cdot a - F_c \cdot a}{2 \cdot a} = \frac{1\,000 \cdot 0,25 - 500 \cdot 0,25}{2 \cdot 0,25} = 250 \text{ N.}$$

În dreptul lagăriului A corespunde M_{i1} , iar în dreptul roții dințate M_i cu următoarele valori maxime (fig. 11.7, d):

$$M_{i1} \equiv F_C \cdot q = -500 \cdot 0.25 = -125 \text{ Nm};$$

$$M_{ii} = F_c \cdot a = 300 \cdot 0,25 = + 75 \text{ Nm};$$

$$M_{eckA} = \sqrt{M_i^2 + 0,75 M_s^2} = \sqrt{(125)^2 + 0,75 \cdot 1\,300^2} \approx 1\,133 \text{ Nm;}$$

$$M_{\text{ech}} = \sqrt{M_i^2 + 0,75 \cdot M_r^2} = \sqrt{(62,5)^2 + 0,75 \cdot 1300^2} \approx 1128 \text{ Nm}$$

$\Delta_{\text{Mech}} = V_{\text{Mech}} - V_{\text{Mech}, \text{min}}$, where $V_{\text{Mech}, \text{min}}$ is the minimum value of V_{Mech} .

$$d_A = \sqrt[3]{\frac{10}{\sigma_{ai}}} M_{ch} A = \sqrt[3]{\frac{10}{400 \cdot 10^6}} \cdot 1133 = 0,04868 \text{m} = 48,68 \text{ mm};$$

$$d = \sqrt[3]{\frac{10}{\sigma_{ai}}} M_{ech} = \sqrt{\frac{10}{400 \cdot 10^6}} \cdot 1128 = 0,04861 \text{m} = 48,61 \text{ mm.}$$

Observatie. Diferenta diametrelor fiind mică, se va adopta $d_A = d = 50$ mm.

Osiile și arborii sunt organe de mașini supuse la oboseală; de aceea-după dimensiunare — necesită verificarea rezistenței la oboseală în toate secțiunile periculoase.

Forma arborelui se definitivă după cerințele montării și se elaborează desenul de execuție (fig. 11.8).

11.1.4. Fusurile arborilor și ale osiilor

Fusurile reprezintă zonele arborelui sau ale osiei ale căror suprafete exterioare, îngrijit prelucrate, realizează contactul cu lagările (palierele). Montate în lagăr cu alunecare, suprafețele de contact ale fusurilor se află în mișcare relativă în raport cu suprafața interioară de contact a lagărului. În cazul lagărelor prin rostogolire (rulmenți), montarea fusului pe rulment exclude mișcarea relativă dintre suprafața fusului și cea a lagărului. Mișcarea respectivă are loc numai între elementele rulmentului. De la arbore la lagăr, sarcinile se transmit numai prin intermediul fusurilor.

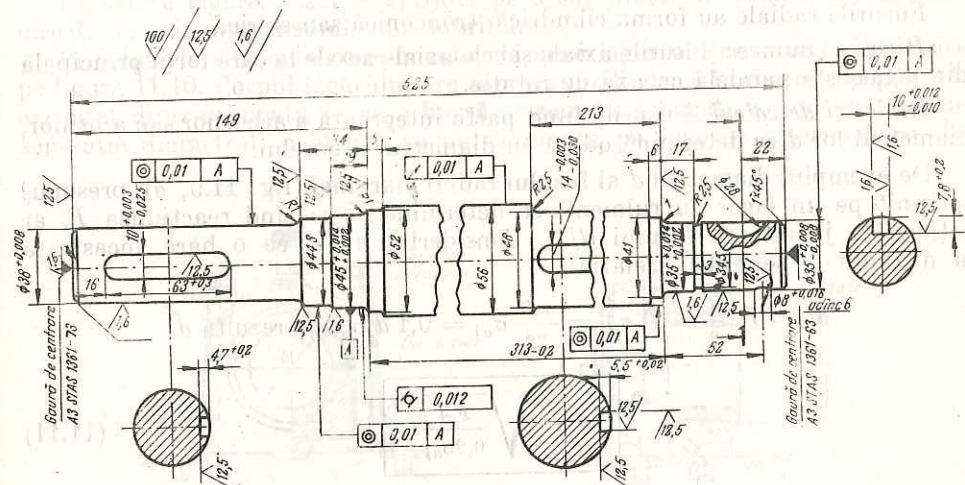


Fig. 11.8. Desenul de execuție al unui arbore.

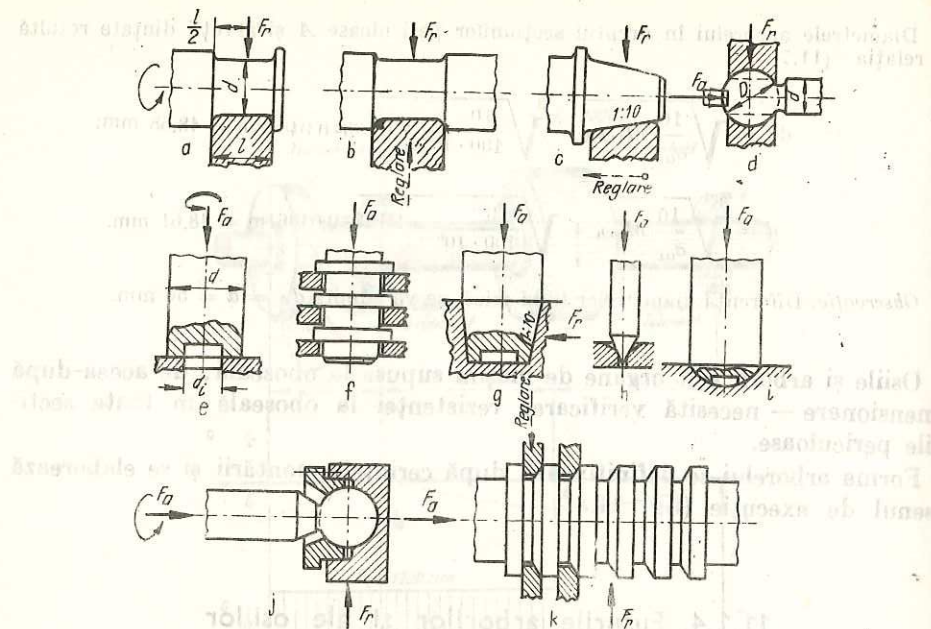


Fig. 11.9. Principalele tipuri și forme constructive de fusuri:

a...d – fusuri radiale; e – fusuri cilindrice; c – fus tronconic; d – fus sferic; e...i – fusuri axiale sau pivoți verticali (e – pivot cilindric inelar; f – pivot gulerat; g – pivot tronconic scobit; h – pivot conic; i – pivot cu cap convex); j, k – fusuri radial-axiale.

Tipuri constructive. Principalele tipuri și forme constructive de fusuri sunt reprezentate în figura 11.9.

După poziția fusului în lagăr se deosebesc: fusuri de capăt – frontale sau marginale (fig. 11.9, a, c, d); fusuri intermediare (fig. 11.9, b).

După direcția forțelor în raport cu axa de rotație, fusurile și lagările se grupează în: *radiale* (fig. 11.9, a...d); *axiale* (fig. 11.9, e...i); *radial-axiale* (fig. 11.9, j, k).

Fusurile radiale au formă cilindrică, tronconică sau sferică.

Pivoți se numesc fusurile axiale și cele axial-radiale la care forța principală din lagăr este paralelă cu axa de rotație.

Indicații de calcul. Fusurile fiind parte integrantă a arborilor sau a osilor, diametrul lor d se determină qdătă cu diametrul arborelui.

De exemplu, diametrul d al fusului radial marginal (fig. 11.9, a), presupus sprijinit pe un lagăr cu rulment, se determină ca și cind reacțiunea F_r , ar acționa la jumătatea fusului ($l/2$). Considerind fusul ca o bară încastrată la distanța l , se aplică relația:

$$M_i = F_r \frac{l}{2} = W\sigma_{ai} = \frac{\pi d^2}{32} \sigma_{ai} = 0,1 d^3 \sigma_{ai} \text{ și rezultă } d = \sqrt[3]{\frac{F_r l}{0,2 \sigma_{ai}}} \quad (11.11)$$

Lungimea l a fusului se determină construitiv: $l \approx (0,5 \dots 1,5) d$.

Fusurile lagărelor cu alunecare se supun suplimentar la următoarele calcule necesare:

- dimensionarea sau verificarea la tensiunea de contact (σ_s);
- verificarea la încălzire.

Dimensionarea sau verificarea la tensiunea de contact necesită respectarea condiției:

$$\sigma_s \leq \sigma_{as}$$

unde σ_{as} este tensiunea admisibilă de contact.

Verificarea la încălzire ia în considerare puterea pierdută prin frecare. Ca urmare, aceste calcule se aplică numai la lagările cu alunecare.

11.2. LAGĂRE

Lagările sunt organe de mașini având funcția de susținere și ghidarea arborilor și a osilor cu mișcare rotativă sub acțiunea sarcinilor care acționează asupra lor.

După direcția sarcinii principale față de axa de rotație, lagările se grupează în: *radiale* – cu direcția sarcinii principale perpendiculară pe axa de rotație; *axiale* și *crapodine* având direcția sarcinii principale paralelă cu axa de rotație; *radial-axiale* a căror sarcină are componente după cele două direcții menționate.

După caracterul frecării produse în funcționare, lagările se grupează în: *lagăr cu alunecare* – între suprafața exterioară a fusului și suprafața interioară a lagărului; *lagăr cu rostogolire* – între elementele rulmenților; *lagăr combine*.

11.3. LAGĂRE CU ALUNECARE

11.3.1. Caracteristici. Părți componente. Materiale

La aceste lagăr, fusul se sprijină pe o suprafață cilindrică interioară, fie direct, fie prin intermediul unui lubrifiant.

Principalele componente ale unui lagăr obișnuit pot fi urmărite pe figura 11.10. Corpul lagărului are suprafața cilindrică în interior și poate fi executat dintr-o bucătă – ca o bucsă – sau două bucați, avind un plan de separație diametral, pentru a se putea monta pe fusurile intermediare. În

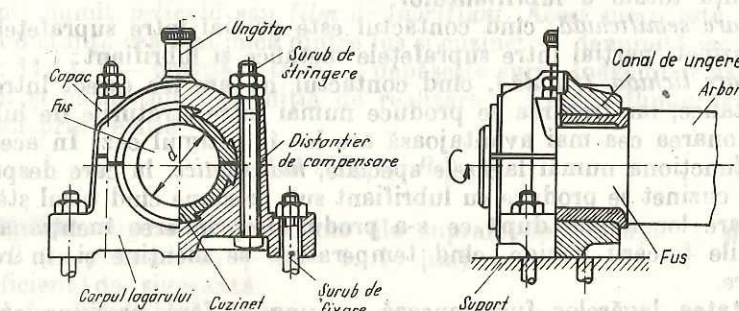


Fig. 11.10. Părțile componente ale unui lagăr cu alunecare.

mod obișnuit, partea interioară a corpului reprezintă o căptușelă — *cuzinet* — fixată de corpul lagărului printr-un anumit sistem sau direct prin turnare în niște canale de formă specială (coadă de rindunică).

Potibilitatea reglării lagărelor pentru *compensarea uzurii* dintre fus și cuzinet este indicată în figura 11.9, b, c, k.

Materialele destinate executării cuzineților trebuie să aibă: coeficient de frecare redus și o bună rezistență la uzură (antifricțiune), capacitate de aderență superficială pentru reținerea lubrifiantului, conductivitate termică pentru eliminarea căldurii provenite din frecare, coeficient de dilatație redus pentru menținerea preciziei în funcționare, proprietăți tehnologice (turnare, aşchiere, sudare-lipire pentru reparare) cît mai bune pentru asigurarea eficienței economice.

Materiale pentru cuzineți care satisfac aceste condiții sunt: *aliajele metalice* pe bază de plumb cu cupru sau de zinc; *fantele și ștelurile*; materialele metalice *sinterizate* (obținute din pulberi metalice la presiuni și temperaturi mari); materialele *bimetalice* sub formă de benzi lăiniate din două aliaje diferite; materialele *sintetice nemetalice* (textolit, lignitol, poliamide, fenoplaste, cauciuc); materialele metalice *combine* cu materiale nemetalice (bronz sintezat impregnat cu material plastic, grafit și pulberi metalice) etc.

Cind lagărul se execută cu corpul și cuzinetul din materiale diferite, carcasa (corpul) se execută din materiale inferioare cuzineților (otel turnat sau sudat, fonte).

11.3.2. Funcționarea lagărelor cu alunecare

Frecarea în lagăr. La cele mai multe lagăre, mișcarea de rotație este asigurată de fusurile arborilor. Frecarea se produce între suprafața fusului și a cuzinetului, aflate în contact sub presiunea exercitată prin forțele de încărcare a arborilor.

Pentru ca mișcarea să fie posibilă, diametrul fusului d este mai mic decât diametrul lagărului D . Astfel, între fus și cuzinet se creează un joc radial (fig. 11.11). Spațiul dintre fus și cuzinet (interstiu) se umple cu un material de ungere, numit *lubrifiant*. Astfel, în timpul funcționării, contactul nu se mai produce direct între suprafețele metalice fus-cuzinet, ci prin intermediul lubrifiantului. Ca urmare, coeficientul de frecare μ scade considerabil, de circa 100 de ori. În cazul lagărelor obișnuite se disting următoarele trei stadii ale frecării (fig. 11.11, a):

— *frecare uscată*, cind contactul este direct între suprafețele metalice, deci absență totală a lubrifiantului;

— *frecare semilichidă*, cind contactul este parțial între suprafețele metalice fus-cuzinet, parțial între suprafețele metalice și lubrifiant;

— *frecare lichidă (fluidă)*, cind contactul nu are loc direct între suprafețele metalice, iar frecarea se produce numai între straturile de lubrifiant.

Funcționarea cea mai avantajoasă are loc în ultimul caz. În aceste condiții pot funcționa numai lagărele speciale, *hidrostaticice*, la care desprinderea fusului de cuzinet se produce cu lubrifiant sub presiune cind fusul stă pe loc. Pornirea are loc numai după ce s-a produs desprinderea menționată, deci în condițiile frecării lichide, cind temperatura se menține și în regim de funcționare.

Majoritatea lagărelor funcționează cu ungere fără presiune exterioară și se numesc *lagăre hidrodinamice*. Din momentul pornirii ($n=0$) pînă la turația

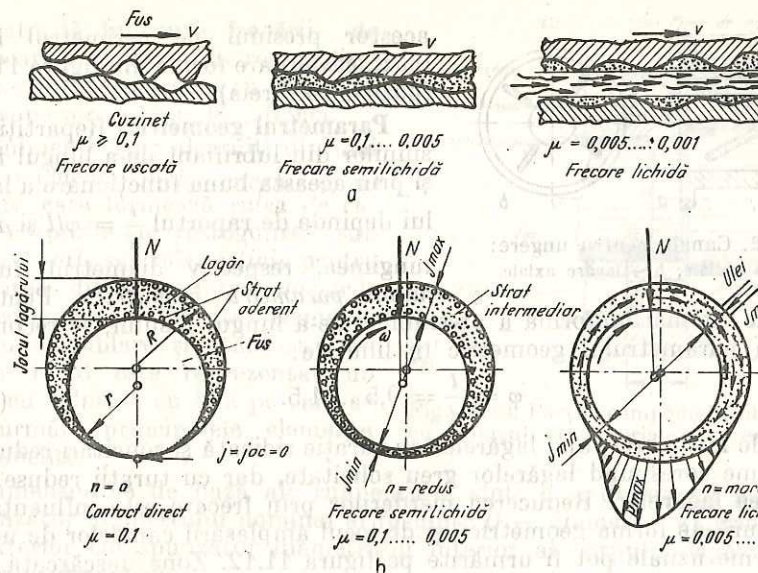


Fig. 11.11. Frecarea în lagăr:

a — stadiile frecării; b — evoluția poziției fusului în lagăre hidrodinamice.

de regim ($n = n$), aceste lagăre trec prin toate regimurile de frecare: *uscată*, ($n = 0$), *semilichidă* (turație redusă), *lichidă* (mișcare de regim).

Conform legii lui Coulomb:

$$F_f = \mu N,$$

în care: F_f este forța de frecare; μ — coeficientul de frecare; N — forță normală (apăsarea) pe suprafața de contact.

Natura frecării lichide diferă complet de natura frecării uscate. La începutul mișării fusului, contactul asperităților se menține parțial, producindu-se frecarea semiuscată sau semilichidă. Valoarea coeficientului de frecare începe să scadă în anumite limite ($\mu = 0,1 \dots 0,005$) pe măsura creșterii turației.

Lubrifiantul introdus în partea neîncărcată a fusului este antrenat de acesta în spațiul dintre fus și cuzinet, și prin efect de *pană* (în condiții favorabile de ungere) poate determina desprinderea fusului de cuzinet, realizându-se astfel *frecarea fluidă*.

Jocul minim. Pentru producerea frecării fluide este necesar ca între suprafața fusului și cea a cuzinetului să se mențină permanent un strat continuu de lubrifiant, numit *peliculă* sau *film de lubrifiant*. Acest lucru este posibil numai dacă distanța cea mai mică dintre fus și cuzinet — denumită *joc minim* (j_{min} în fig. 11.11, b — poziția a treia) — depășește suma înălțimilor asperităților fusului și cuzinetului. Condiția de realizare a frecării fluide se poate exprima deci prin relația

$$j_{min} = c(R_{z_1} + R_{z_2}), \quad (11.12)$$

în care:

R_{z_1} și R_{z_2} sunt rugozitățile maxime ale suprafețelor fusului 1 și cuzinetului 2 (în general, $h_1 + h_2 = 1 \dots 14 \mu\text{m}$);

c — coeficient de siguranță.

În cazul frecării lichide, forța transmisă de fus asupra cuzinetului este echilibrată de suma presiunilor din filmul de lubrifiant. Curba de variație a

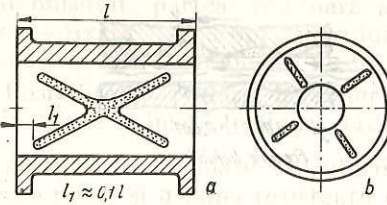


Fig. 11.12. Canale pentru ungere:
a - lagăre radiale; b - lagăre axiale.

repartizare cît mai uniformă a presiunilor de-a lungul fusului, se recomandă adoptarea parametrului geometric în limitele:

$$\varphi = \frac{l}{d} = 0,5 \dots 1,5. \quad (11.13)$$

Valorile mici corespund lagărelor cu turație ridicată și solicitări reduse, iar cele maxime corespund lagărelor greu solicitate, dar cu turații reduse.

Ungerea lagărelor. Reducerea pierderilor prin frecare este influențată în mare măsură de forma geometrică și de locul amplasării canalelor de ungere. Cîteva forme uzuale pot fi urmărite pe figura 11.12. Zona descărcată sau a jocului maxim (v. 11.11) este cea mai potrivită amplasării canalelor de alimentare.

Lubrifiantul din lagăr, pe lîngă faptul că reduce pierderile prin frecare, deci prelungeste durata de funcționare datorită ungerii, mai are și proprietăți de: protector împotriva coroziunii, amortizor a oscurilor, transportor al căldurii din interiorul lagărului în mediul exterior. Aceste avantaje fac absolut necesară ungerea lagărelor.

Pentru ungerea lagărelor cu alunecare se folosesc în special *uleiuri minerale și unsori consistente*. Pe scară mai redusă, la temperaturi ridicate, se întrebunează *lubrifianti solizi* în stare pulvlerulentă, ca: *talcul, bisulfura de molibden etc.*

În țara noastră se produce o gamă largă de sortimente de uleiuri minerale cu calitate superioare.

Principalele criterii care stau la baza alegerii lubrifiantului necesar ungerii unui mecanism sunt:

- tipul mecanismului și presiunea din lagăr; pentru evitarea frecările pronunțate la presiuni mici și turații mari se aleg unsori cu viscozitate redusă, iar la presiuni mari și turații mici se folosesc lubrifianti cu viscozitate mare;

- punctul de inflamabilitate, temperatura de picurare, temperatura de congelare, care se iau în considerație în special pentru lubrifiantii necesari lagărelor cu regim special de funcționare, la temperaturi diferite de cea normală (20°C).

11.4. LAGĂRE CU ROSTOGOLIRE

11.4.1. Părți componente. Caracteristici. Materiale

Lagărul cu rostogolire se obține prin înlocuirea cuzinetei din lagărul cu alunecare printr-un rulment. De aceea, aceste lagăre se numesc și *lagăre cu rulmenți*. Celealte componente ale lagărelor cu rostogolire diferă foarte puțin de elementele lagărelor cu alunecare. Ca urmare, studiul lagărelor cu rostogolire se reduce la studiul rulmenților.

Datorită înlocuirii frecării de alunecare prin frecare de rostogolire, randamentul lagărelor cu rulmenți este superior, $\eta = 0,98 \dots 0,995$.

Rulmenții sunt alcătuși din mai multe elemente: *inelul interior* și *cel exterior* care formează *calea de rulare*; corpurile de rostogolire sub formă de *bile* sau *role*: *colivia* pentru păstrarea distanței între corpurile de rostogolire; diferite elemente pentru asamblare și etanșare. În figura 11.13 este reprezentat un lagăr cu rulmenți cu bile pe care se pot urmări principalele elemente componente.

Dimensiunile de bază ale rulmențului sunt: d — diametrul nominal corespunzător diametrului nominal al fusului; D — diametrul exterior al inelului exterior corespunzător diametrului interior al corpului lagărului; B — lățimea rulmențului.

Lagărele cu rulmenți prezintă următoarele avantaje principale față de lagărele cu alunecare: pierderi mai mici de putere prin frecare; turații mari ($20\ 000 \dots 30\ 000$ rot/min); consum redus de lubrifiant în perioada de întreținere; eficiență economică superioară, datorită avantajelor standardizării și posibilității centralizării execuției lor prin întreprinderi specializate cu procese de producție automatizate.

Lagărele cu rulmenți au dimensiunea radială mai mare decât lagărele cu alunecare, necesită o precizie mare de execuție și montaj, sunt mai rigide și mai puțin rezistente la șocuri.

Materiale. Corpurile de rostogolire și elementele căii de rulare (inelul interior și cel exterior) se execută din oțeluri speciale pentru rulmenți, cunoscute sub denumirea de RUL 1, RUL 2 (STAS 1456/1-80).

Colivia rulmențului se execută din oțeluri obișnuite, bronzuri, duralumin sau materiale plastice.

11.4.2. Clasificare și simbolizarea rulmenților

Clasificarea rulmenților se face după diferite criterii. După direcția de acționare a sarcinii principale se grupează în: rulmenți *radiali*, rulmenți *radial-axiali*, rulmenți *axiali*, rulmenți *axial-radiali*.

După forma corpuri de rostogolire se deosebesc: rulmenți cu *bile* și rulmenți cu *role* (forma rolelor este indicată în fig. 11.14). Corpurile de rostogolire, în raport cu încărcarea în condițiile de funcționare, pot fi dispuse pe *un singur rind*, *pe două rinduri* și rareori pe *mai multe rinduri*. Exemple de rulmenți din aceste categorii sunt indicate schematic în figura 11.14.

Rulmenții *radiali* pot prelua și sarcini axiale reduse, iar cei *axiali* pot prelua și sarcini radiale de valori mici în raport cu sarcinile axiale.

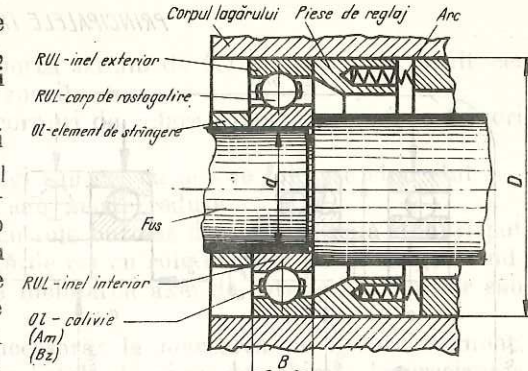


Fig. 11.13. Părțile componente ale unui lagăr cu rulmenți și materialele corespunzătoare.

PRINCIPALELE TIPURI DE RULMENTI

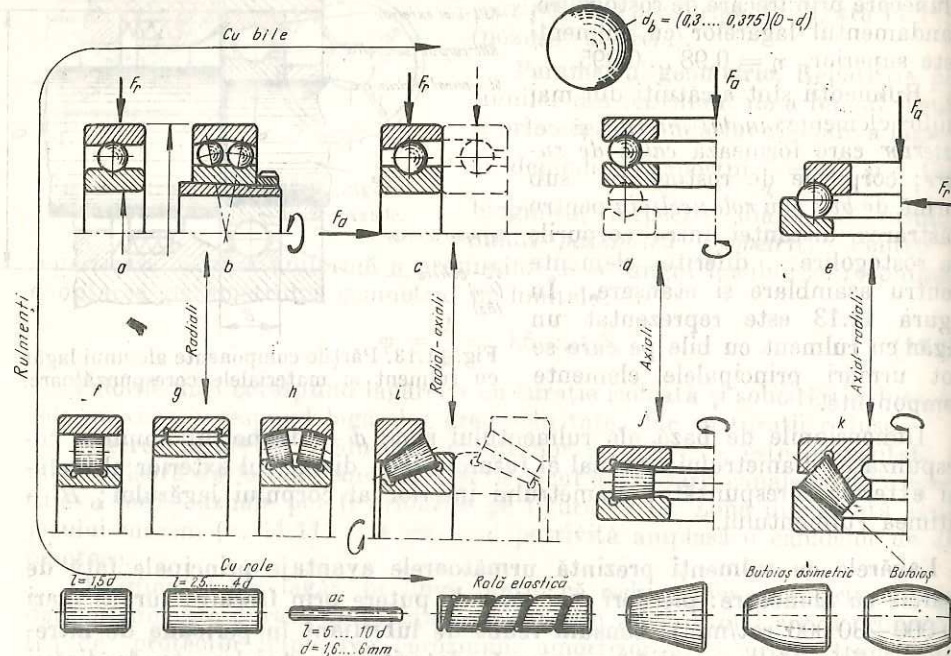


Fig. 11.14. Reprezentarea schematică a principalelor tipuri de rulmenți:

a — radial cu bile pe un singur rind; b — radial oscilant cu bile pe două rinduri; c — radial-axial cu bile pe un singur rind; d — axial cu bile pe un rind; e — axial-radial cu bile pe un singur rind cu cală de rulare adință; f — radial cu role cilindrice pe un singur rind; g — radial cu ace; h — radial cu role butoie pe două rinduri; i — radial-axial cu role conice; j — axial cu role conice pe un singur rind; k — axial radial cu role butoiaș pe un singur rind.

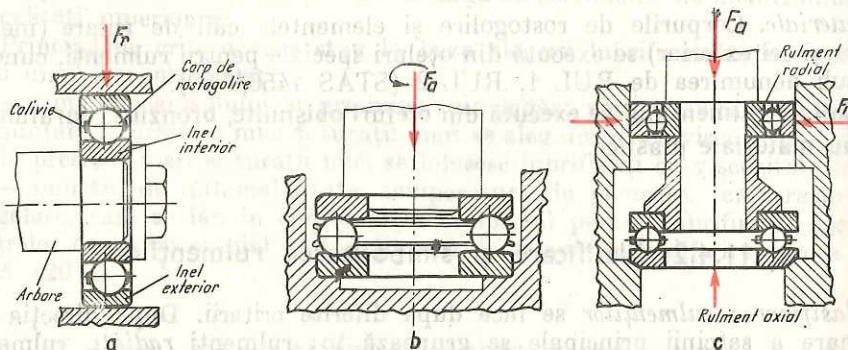


Fig. 11.15. Lagăre cu rulmenți:

a — cu rulment radial; b — cu rulment axial; c — lagăr radial-axial din rulment radial combinat cu rulment axial.

Dintre numeroase variante constructive, cele mai utilizate lagăre sunt cele cu rulmenți radiali cu bile (fig. 11.15, a) și cele cu rulmenți axiali cu bile (fig. 11.15, d). Lagăre radial-axiale sau axial-radiale se pot executa și din rulmenți radiali combinați cu rulmenți axiali (fig. 11.15, c).

Rulmenții cu role cilindrice suportă sarcini de 1,7 ori mai mari decât cei cu bile și pot funcționa la turații sporite.

Rulmenții cu două rinduri de corpuri de rulare suportă sarcini de 1,5 ori mai mari.

Rulmenții cu role cilindrice lungi sau cei cu ace se folosesc cind sunt necesare diametre exterioare reduse sau foarte reduse.

Rulmenții cu role conice și cei cu role butoiaș dispuse pe două rinduri pot fi încărcăți de 1,9 ori mai mult față de cei cu role dispuse pe un singur rind.

Rulmenții oscilați pot suporta inclinarea axei de rotație a arborilor sau osiilor cu 2—3°.

Simbolizarea rulmenților este necesară: la marcarea pe fiecare rulment, la notarea pe desenele tehnice și în liste de piese de schimb, la precizarea comenzilor și a livrărilor, pentru catalogarea tuturor tipodimensiunilor și identificarea interschimbabilității lor din cataloage.

Simbolizarea se face prin cifre sau prin grupe de cifre ce caracterizează rulmentul ca **mărime** — serie de lățimi și întru același diametru interior *d* — **tip** — caracteristici speciale.

Gradul de precizie al rulmenților se simbolizează prin litere.

Semnificativă este grupa ultimelor două cifre caracteristice mărimii rulmentului. Pentru diametre interioare *d* cuprinse între 20 și 495 mm, numărul constituit din ultimele două cifre ale simbolului unui rulment prin înmulțire cu numărul 5 indică diametrul *d*. De exemplu, diametrul *d* al unui rulment reprezentat prin simbolul 92218 este: *d* = 18 · 5 = 90 mm, care este și diametrul nominal al fusului. Corespunzător acestei mărimi, celelalte dimensiuni ale rulmentului se extrag direct din catalog sau din tabelele cuprinse în standarde.

Detalii mai cuprinzătoare în legătură cu clasificarea și simbolizarea rulmenților sunt indicate în STAS 1679-82.

11.4.3. Alegerea rulmenților

Alegerea rulmenților standardizați comportă două faze — alegerea orientativă și alegerea definitivă.

Alegerea preliminară sau orientativă stabilește tipul rulmentului pornind de la direcția forței principale (reații) din lagăr, avându-se în vedere caracteristicile de bază ale diferitelor tipuri de rulmenți.

Alegerea definitivă a seriei și a dimensiunilor tipului de rulment ales în prima fază se face pe baza calculelor, în funcție de mărimea sarcinii, a turației, de durată de funcționare și de alte condiții de funcționare cind acestea se impun.

Uneori, mărimea diametrului fusului *d* este impusă. În acest caz nu rămîne decât să se aleagă tipul rulmentului și să se verifice durata de funcționare *L*, exprimată în milioane de rotații.

Datorită avantajelor standardizării, rulmenții se supun numai calculelor pentru determinarea sau verificarea capacității de încărcare dinamică *C* și a durabilității efective *L*, pe baza sarcinii dinamice echivalente *F_e* care-i solicită (v. STAS 7160-82).

Buna funcționare a lagărelor este influențată nu numai de alegerea corectă a tipului rulmentului de stabilirea corespunzătoare a mărimi sale, ci și de alti factori, cum sint: montarea corectă a rulmentului pe fus și în lagăr; ungerea și proprietățile lubrifiantului, etansarea lagărelor etc.

11.5. UNGAREA ORGANELOR DE MAȘINI

Suprafața de frecare se definește prin zona de contact dintre două elemente apăsatate și cu mișcare relativă între ele.

Ungerea asigură aducerea și menținerea unui lubrifiant cu scopul creării unei pelicule continue necesară separării celor două suprafețe care definesc suprafața de frecare. Astfel, ungerea servește la reducerea frecării dintre suprafețele menționate, la înlocuirea frecării uscate dintre ele prin *frecare semifluidă sau fluidă*. Frecarea semifluidă sau fluidă se caracterizează printr-un coeficient de frecare mult mai redus decit frecarea uscată, deci prin micșorarea consumului de energie datorit frecării.

Frecarea fluidă asigură separarea completă a celor două suprafețe ce definesc suprafața de frecare. Ca urmare, piesele componente nu se mai ating direct și deci nu se mai uzează.

Ungerea organelor de mașini prezintă și avantajul protecției lor împotriva încălzirii excesive, împotriva oxidării și a coroziunii suprafețelor respective; reduce intensitatea zgromotului.

Condițiile necesare asigurării frecării fluide sint:

- viteza relativă dintre cele două suprafețe să fie mai mare decit viteza minimă necesară antrenării lubrifiantului pentru formarea peliculei continue;
- alimentarea continuă cu lubrifiant;
- cele două suprafețe să nu fie paralele, dar suficient de netede;
- jocul dintre suprafețe să fie foarte mic, dar suficient pentru formarea peliculei continue cu o grosime de cel puțin cîteva straturi moleculare;
- în cazul lagărelor, materialele fusului și cuzinetului să fie suficient de rigide pentru a nu se deformă inadmisibil.

Lubrifiantii folosiți în construcții de mașini sint: în stare lichidă — uleiuri minerale sau vegetale, unsori consistente — unsori minerale, săpunuri de sodiu sau de potasiu, lubrifiant solid — grafit, bisulfură de molibden etc.

Indicațiile referitoare la alegerea lubrifiantilor pentru lagăre cu alunecare sint valabile și pentru ungerea rulmenților sau a altor organe de mașini.

Sisteme de ungere. Sistemul de ungere poate fi individual (proprietate fiecărui lagăr) sau centralizat. În figura 11.16 sunt indicate cîteva sisteme uzuale: a — cu inel de antrenare a uleiului din baie (aplicat lagărelor cu alunecare cu turări joase); b — ungătoare cu filil de antrenare a uleiului la locul de ungere; c — ungătoare cilindric cu pilnie pentru unsoare consistentă; d — cu cană pentru completarea lubrifiantului în baie în buzunarul ungătorului; e — sistem centralizat cu pompă de presiune pentru antrenarea uleiului prin conducte etc.

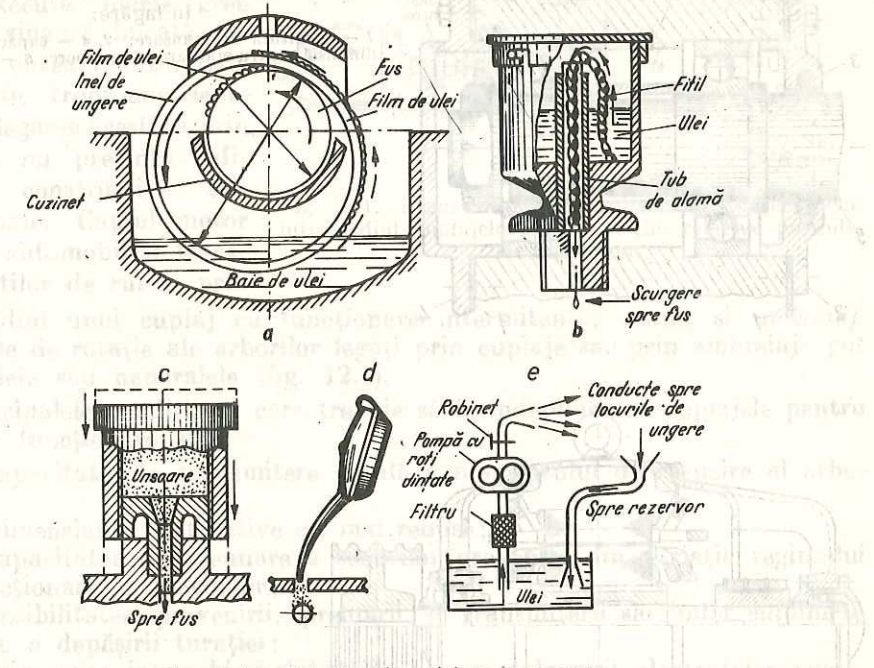


Fig. 11.16. Diferite dispozitive de ungere.

De exemplu, ungerea rulmenților montați pe lagăre separate sau în locuri greu accesibile se asigură cu unsori consistente, speciale pentru rulmenți, simbolizate astfel: Rul 100, Rul 145, Rul 165, Rul S 140, Rul SL 130 (STAS 1608-72).

Etansarea. Etansarea lagărelor este necesară pentru a nu permite scurgea lubrifiantului în afara lagărului și pentru a împiedica pătrunderea impurităților din afara în zona de frecare. Sistemele de etansare din figura 11.17 se folosesc atât pentru etansarea lagărelor cu rulmenți cât și pentru cele cu alunecare (cu excepția poziției d).

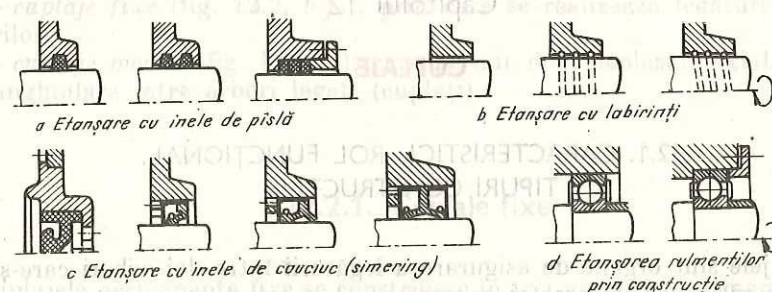


Fig. 11.17. Sisteme de etansare a lagărelor:
a, b, c — la orice tip de lagăr; d — specific rulmenților.

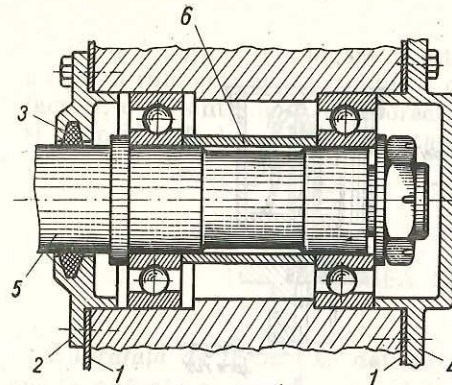


Fig. 11.18. Asamblarea corectă a rulmenților în lagăre.

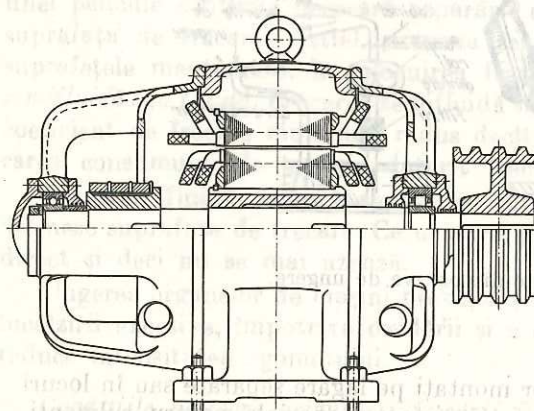


Fig. 11.19. Asamblarea rulmenților pe rotorul și carcasa unui motor electric și sistemul de etanșare prin labirinți.

Figura 11.18 reprezintă un exemplu de asamblare corectă a rulmenților în lagăre și etanșare cu inele din pislă, iar figura 11.19 asamblarea rulmenților pe rotorul și carcasa unui motor electric și sistemul de etanșare prin labirinți.

Vederea generală a unei instalații de ungere centralizată este reprezentată sugestiv și în figura 14.1.

Capitolul 12

CUPLAJE

12.1. CARACTERISTICI. ROL FUNCȚIONAL. TIPURI CONSTRUCTIVE

Cuplajele sunt organe de asigurare a legăturii între doi arbori care să pot transmite reciproc mișcarea și puterea.

Prin aceste elemente se asigură legătura între tronsoanele (părțile) același arbore sau între arbori diferenți. De exemplu, unii arbori de transmisie cu

lungime mare 10, 20, 30 m sără execută foarte greu dintr-o singură bucătă sau nu sără putea realiza. Execuția din tronsoane separate și legarea acestora prin cuplaje, nu prezintă dificultăți constructive sau funcționale. Cuplul motor al unui automobil se transmite roților de rulare prin intermediul unui cuplaj cu funcționare intermitentă, numit și *ambreiaj*.

Axele de rotație ale arborilor legați prin cuplaje sau prin ambreiaje pot fi paralele sau neparalele (fig. 12.1).

Principalele condiții pe care trebuie să le îndeplinească cuplajele pentru o bună funcționare sunt:

- capacitate de transmitere totală a momentului de răsucire al arborului;
- dimensiuni constructive cât mai reduse;
- capacitatea de atenuare a șocurilor provenite din variația regimului de funcționare a mașinilor;
- posibilitatea prevenirii, preluării și transmiterii sarcinilor suplimentare sau a depășirii turării;
- asigurarea interschimbabilității necesare înlocuirii elementelor uzate.

Clasificarea cuplajelor are în vedere condițiile de funcționare ale celor doi arbori ca criteriu de bază. Astfel, cuplajele se grupează în două categorii: cuplaje cu *funcționare permanentă*; cuplaje cu *funcționare intermitentă* sau *ambreiaje*.

La cuplajele cu funcționare permanentă, transmiterea mișcării între cei doi arbori nu poate fi întreruptă în timpul funcționării decât prin oprirea mașinilor și demontarea cuplajelor. Prin cuplare-decuplare, ambreiajele pot întrerupe sau relua transmiterea mișcării în gol sau chiar sub sarcină, fără oprirea elementului (arborelui) de la care ea este primită.

12.2. CUPLAJE PERMANENTE

Cuplajele permanente se împart în următoarele două grupe:

- *cuplaje fixe* (fig. 12.2, b), prin care se realizează legătura rigidă a arborilor;
- *cuplaje mobile* (fig. 12.2, a), care permit mici deplasări axiale, radiale sau unghiulare între arbori legați (cuplați).

12.2.1. Cuplaje fixe

Cuplajele permanente fixe se construiesc în trei variante: cu manșon cilindric (neted) dintr-o bucătă (fig. 12.2, b); cu manșon cilindric din două bucați cu flanșă (fig. 12.3).

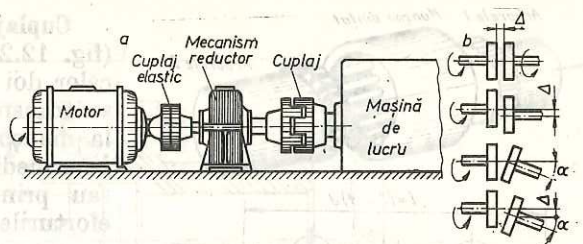


Fig. 12.1. Legarea arborilor diferitelor mașini prin intermediul cuplajelor (a) și pozițiile relative posibile ale axelor (b).

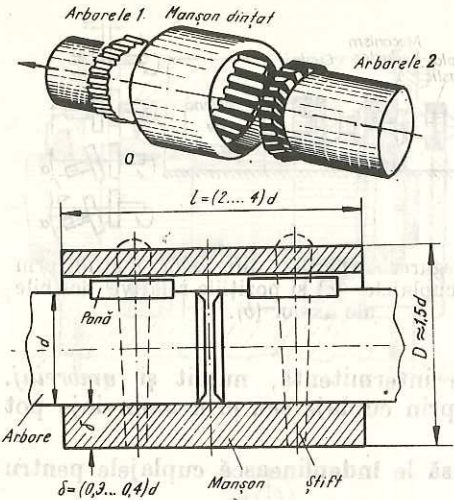


Fig. 12.2. Cuplaje cu manșon:
a - cu manșon dințat pentru abăteri axiale;
b - cu manșon cilindric.

arborelui. Folosindu-se notățiile din figura 12.2, b, această condiție de bază se exprimă astfel:

$$M_t = W_{pa} \tau_{ata} = W_{pm} \tau_{atm}$$

sau

$$\pi \frac{d^3}{16} \tau_{ata} = \frac{\pi}{16} \frac{D^4 - d^4}{D} \tau_{atm} = \frac{\pi}{16} (D^3 - d^3) \tau_{atm} \quad (12.1)$$

unde M_t este momentul de răsucire transmis, τ_{ata} și τ_{atm} — rezistențele admisibile la răsucire ale materialelor arborelui și manșonului; W_{pa} și W_{pm} — modulul de rezistență polar al secțiunii arborelui, respectiv manșonului; d și D — diametrul arborelui, respectiv manșonului.

Efectuindu-se simplificările respective, se obține

$$D = d \sqrt[3]{1 + \frac{\tau_{ata}}{\tau_{atm}}} \quad (12.2)$$

Dacă arborele și manșonul se execută din aceleași materiale, rezultă $D = 1,3 d$. De obicei, manșoanele se execută din fontă obișnuită sau din alte materiale cu caracteristici de rezistență inferioare arborelor din oțel; de aceea $D = (1,4...1,8)d$.

Cuplajele cu flanșe. Pentru construcții obișnuite se folosesc flanșe separate (fig. 12.3, a), iar pentru construcții puternic solicitate se execută flanșele dintr-o bucată cu arborii respectivi (fig. 12.3, b). Fiecare din cele două discuri se montează pe un capăt de arbore prin împănare, prin presare la rece, prin stringere la cald sau chiar prin sudare.

Pozitia centrată a discurilor se asigură la montaj, iar asamblarea, prin șuruburi strinse.

În calculele de dimensionare se disting două cazuri: cuplaje strinse cu șuruburi cuprinse în găuri fără joc și cuplaje strinse cu șuruburi cuprinse în găuri cu joc. În cazul șuruburilor strinse cuprinse în găuri calibrate

Cuplajele cu manșon dintr-o bucată (fig. 12.2, b) se montează pe capetele celor doi arbori între care urmează să se transmită mișcarea. De la arbore la manșon, efortul este transmis prin intermediul unor pene longitudinale sau prin știfturi transversale, cind eforturile sunt mici.

Principalul avantaj il prezintă simplitatea constructivă.

Pentru a evita apariția unor forțe suplimentare, cuplajul manșon necesită ajustajă, centrare și montare foarte precise. Legarea cu manșon dintr-o bucată este posibilă numai prin deplasarea axială a unuia din arbori pînă la capătul arborelui pereche fără însă să-l atingă.

Dimensionarea manșonului urmărește stabilirea unei secțiuni de rezistență egală cu rezistența secțiunii

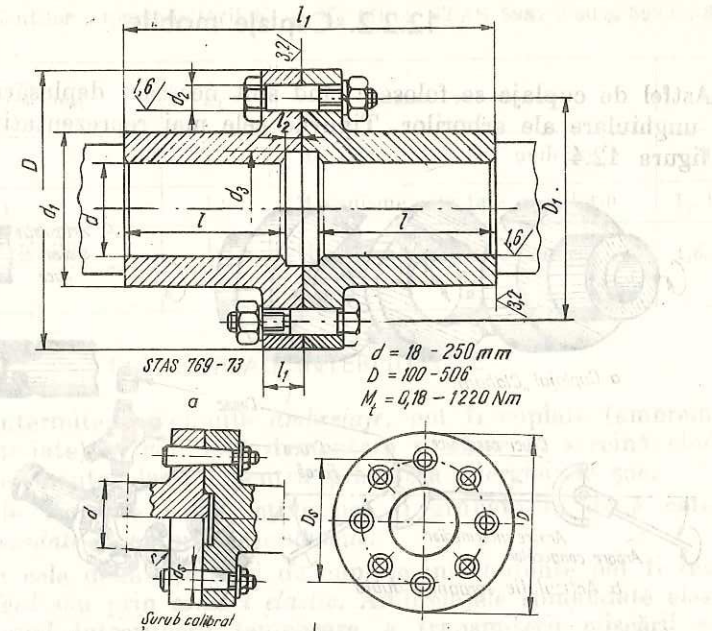


Fig. 12.3. Cuplaj cu flanșe (discuri):
a - cu flanșe separate; b - cu flanșe dintr-o bucată cu arborii.

(fig. 12.3, b), momentul de răsucire preluat de cuplaj $M_{tc} = M_t \beta$ este preluat de șuruburile solicitate la forfecare. Păstrîndu-se notățiile din figură, se poate scrie forța de forfecare F preluată de unul din cele z șuruburi:

$$F_f = \frac{2M_t \beta}{z D_s}. \quad (12.3)$$

Coefficientul de supraîncărcare al cuplajului β are valoriile: $\beta = 1$ cind ruperea cuplajului nu provoacă alte avarii mașinii, $\beta = 1,2..1,5$ cind provoacă asemenea avarii și $\beta = 2$ pentru prevenirea accidentelor de muncă.

Cu ajutorul forței de forfecare F_f se pot dimenza șuruburile avînd secțiunea $A_s = \frac{\pi}{4} d_s^2$, astfel:

$$F_f = \frac{2M_t}{z D_s} \beta = \frac{\pi}{4} d_s^2 \zeta_{af}, \quad (12.4)$$

$$d_s = \sqrt{\frac{8M_t \beta}{\pi z D_s \zeta_{af}}}, \quad (12.5)$$

unde ζ_{af} este rezistența admisibilă la forfecare a materialului șurubului.

Cind șuruburile de stringere sunt cuprinse în găuri cu joc, transmiterea momentului de răsucire este asigurată prin frecarea dintre discurile cuplajului, iar șuruburile sunt solicitate la întindere ca în cazul cuplajelor cu manșon din două bucăți. Elementele constructive și capacitatea de transmitere a acestor cuplaje sunt indicate în STAS 769-73 unde se recomandă folosirea șuruburilor calibrate (de păsuire).

Valorile coeficienților suprasolicitării K_1 și K_2 (după STAS 5982/2-80 și 5982/3-80)

Importanța transmisiei	K_1	Regimul de solicitare	K_2
Oprirea mașinii	1	Mecanisme solicitate uniform	1
Avarierea mașinii	1,2	Mecanisme solicitate neuniform	1...1,6
Avarierea multor mașini	1,6	Mecanisme solicitate puternic sau cu șocuri	1,6...2
Victime	2,0		

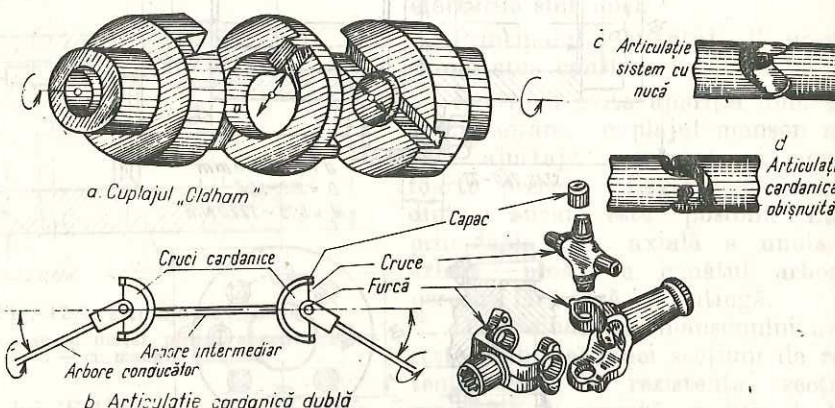


Fig. 12.4. Tipuri constructive de cuplaje permanente mobile:
a – pentru compensarea deplasărilor axiale și radiale (cu disc intermedian);
b, c, d – pentru compensarea deplasărilor unghiulare (b – cu articulație dublă, c, d – cu articulație simplă).

Acestea sunt cuplaje permanente mobile cu elemente rigide. Mult întrebuintăte sunt cuplaje permanente mobile cu elemente elastice. Fiind ieftine, simple și ușor de montat, dintre numeroasele variante constructive se utilizează mai frecvent tipul standardizat (fig. 12.5), denumit *cuplaj elastic cu bolturi*. Elementele elastice sunt executate din piele, cauciuc sau pînză cauciucată. Celelalte elemente se execută din fontă sau din oțel.

Cuplajele elastice prezintă avantajul amortizării șocurilor dinamice la pornire sau în perioada de serviciu.

Dimensiunile cuplajului elastic se aleg din STAS 5982/2-80 și 5982/3-80 pe baza diametrelor arborilor d pe care-i cuplează. Verificarea se face comparându-se momentul de răsucire

$$\text{al arborelui } M_t = \frac{\pi d^3}{16} \tau_t \text{ cu mo-}$$

mentul echivalent M_e al cuplajului determinat astfel:

$$M_e = M_t K_1 K_2 \quad (12.6)$$

Coefficienții K_1 , K_2 au valoare indicate în tabelul 12.1 în funcție de importanța transmisiei și de regimul de solicitare.

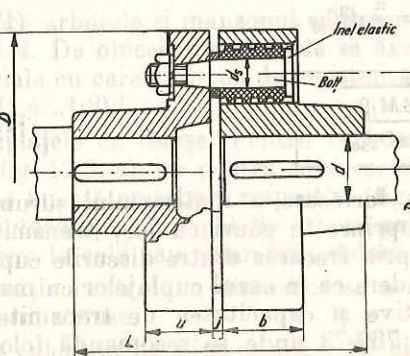


Fig. 12.5. Cuplaj elastic cu bolturi.

12.2.2. Cuplaje mobile

Astfel de cuplaje se folosesc cînd sunt necesare deplasări axiale, radiale sau unghiulare ale arborilor. Tipurile cele mai reprezentative sunt indicate în figura 12.4.

12.3. CUPLAJE INTERMITENTE

Cuplajele intermitente, numite *ambreiaje*, pot fi cuplate (ambreiate) și decuplate (debreiate) în gol, fără demontare și chiar în sarcină cînd sunt prevăzute cu elemente elastice pentru preluarea energiei de soc.

Numeroasele variante constructive pot fi grupate în două categorii: ambreiaje *comandate* și ambreiaje *automate*.

Oricare din cele două categorii de cuplaje intermitente pot fi realizate prin *contact rigid* sau prin *contact elastic*. Ambreiajele comandate elastic se folosesc în scopul intreruperii temporare a transmiterii mișcării sau ca mijloc de protecție, prin asigurarea unei debrieri rapide, ca în cazul automobilelor. În figura 12.6 este schematicizat un tip reprezentativ de cuplaj intermitent comandat rigid, numit ambreiaj cu gheare. Una din părțile cuplajului este fixată rigid pe un capăt al arborelui, iar cealaltă parte se poate cupla și decupla prin decuplarea axială a discului mobil (semicupla) I, care este montat cu joc alunecător pe arborele condus.

Ambreierea-debreierea pot fi comandate manual, cu ajutorul pîrghiilor (fig. 12.7), electric, pneumatic sau hidraulic.

Ambreiaje comandate avînd *contact elastic*. Această categorie este folosită pentru asigurarea ambreierii arborilor sub sarcină, fără a produce șocuri dăunătoare. Astfel, partea ambreiajului montată pe arborele unui motor trebuie să facă posibilă întrenarea arborelui condus din poziția de repaus în regim de turatie constantă.

Cuplajele cu fricțiune între suprafețe sub sarcină, în perioada ambreierii produc pierderi prin fricare evidentiate prin degajare de căldură. Contactul acestor cuplaje trebuie să fie uniform între suprafețe. Ele trebuie să asigure: posibilități de reglare, de înlocuire a elementelor uzate și evitarea șocurilor și a uzurii prematură.

Ambreiaje cu fricțiune. Discul mobil C_2 din figura 12.7, solidar cu

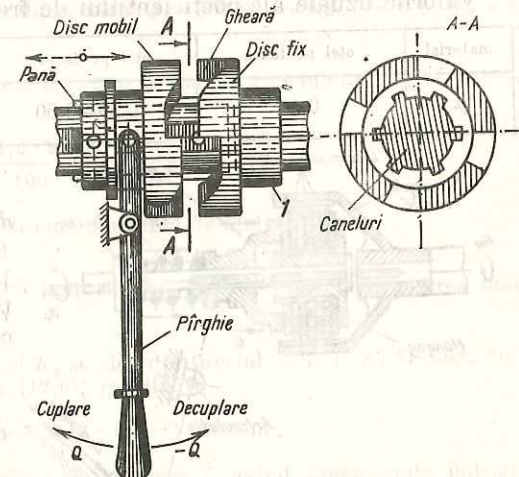


Fig. 12.6. Ambreiaj rigid cu gheare.

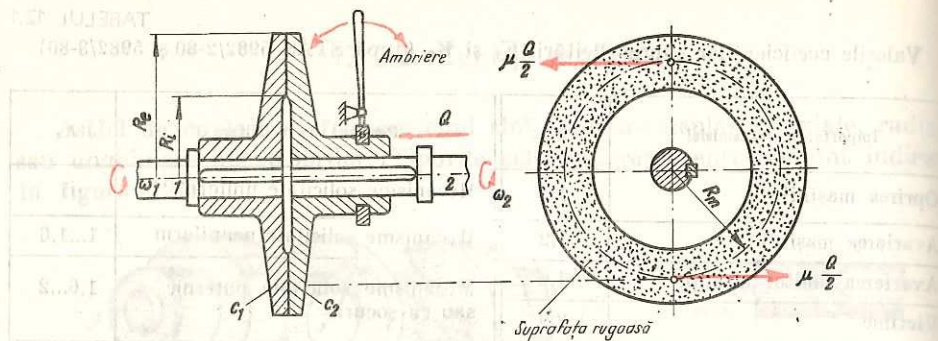


Fig. 12.7. Ambreiaj cu fricțiune având suprafete plane.

arborele său în poziție decuplată are turația $n = 0$, iar discul C_1 montat pe celălalt arbore, are turația de regim $n_1 = n$.

Apăsind-se asupra discului C_2 cu o forță Q paralelă cu axa arborilor, se realizează contactul cu suprafața discului C_1 care se află în mișcare. Pentru antrenarea sa este necesară menținerea forței Q , care dă naștere unei presiuni p presupusă uniformă pe suprafața de contact. Astfel, între suprafețele de contact apar forțe de frecare a căror rezultantă este $2\mu \frac{Q}{2}$, care este situată la distanță egală cu raza medie $R_m = \frac{R_e + R_i}{2}$.

Momentul produs de forțele de frecare este

$$M_f = 2\mu \frac{Q}{2} R_m = \mu Q R_m. \quad (12.7)$$

Momentul necesar a fi transmis M_t , fiind cunoscut, forța Q necesară realizării ambreierii rezultă din egalitatea $M_f = \beta M_t$, unde β este coeficientul de supraîncărcare al cuplajului. Se obține astfel:

$$Q = \frac{\beta M_t}{\mu R_m} \quad (12.8)$$

Valorile uzuale ale coeficientului de frecare uscată μ sint:

material	otel pe fontă	otel pe ferodo	fontă pe fontă	lemn pe oțel
μ	0,15	0,30–0,50	0,15–0,25	0,35–0,55

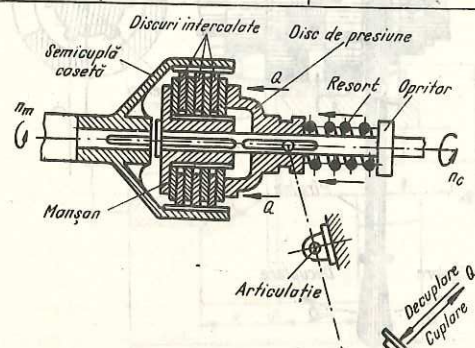


Fig. 12.8. Ambreiaj elastic cu discuri multiple.

Ambreiajele cu fricțiune prin discuri multiple reprezentate în figura 12.8 au o capacitate de transmitere mult mai mare, proporțională cu numărul suprafețelor de contact z :

$$M_f = z\mu Q R_m = \beta M_t, \\ \text{deci:}$$

$$z = \frac{\beta M_t}{\mu Q R_m}. \quad (12.9)$$

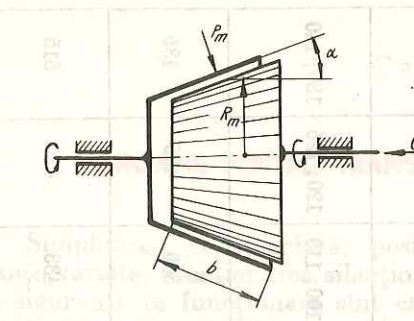


Fig. 12.9. Ambreiaj cu fricțiune conică.

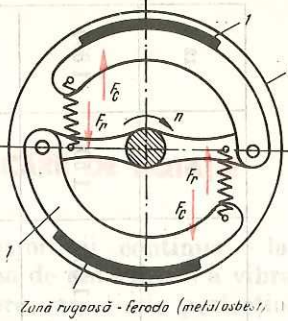


Fig. 12.10. Ambreiaj cu fricțiune centrifug.

Numărul discurilor $z_1 = z + 1$ variază în limite foarte largi, și anume $z_1 = 4...50$ lamele cu grosimea $h = 0,2...2$ mm.

Ambreiajele cu fricțiune conice. Cind asupra unei părți a ambreiajului conic (fig. 12.9) se exercită acțiunea forței Q , se asigură contactul sub presiune pe o suprafață de frecare cu formă conică sub unghiul $\alpha = 8...10^\circ$, ceea ce permite atât evitarea unei ambreieri bruse cât și blocarea conului.

Dimensiunile de gabarit relativ mari, apariția unei forțe axiale neechilibrate și necesitatea unei centrări riguroase le limitează domeniul de aplicare în construcțiile precise.

Ambreiaje automate. Unul dintre tipurile des utilizate este ambreiajul cu fricțiune centrifug. Bazându-se pe acțiunea forțelor centrifuge, ambreierea și debreierea se realizează în mod automat, după cum se poate urmări pe figura 12.10. La o anumită valoare a turației n a arborelui motor se dezvoltă forțele centrifuge F_c ale saboților 1, astfel încât se înving forțele arcuitorilor F_r și se creează o presiune de contact pe tamburul 2 pe care-l antrenează.

EXEMPLE DE CALCUL

1. Să se determine numărul de discuri de oțel z necesare unui ambreiaj de tipul celui din figura 12.8, fiind date: forță de ambreiere a arcului elicoidal $Q = 500$ N; $\mu = 0,2$; $\beta = 1,2$; $R_m = 80$ mm; $P = 21$ kW; $n = 1\ 500$ rot/min.

Rezolvare: Forța de frecare $F = \mu Q = 0,2 \cdot 500 = 100$ N. Aplicându-se relația (12.9) se obține

$$z = \frac{\beta M_t}{\mu Q R_m} = \frac{1,2 \cdot 9\ 550 \cdot 21}{100 \cdot 0,2 \cdot 1\ 500} = 24;$$

$$z_1 = z + 1 = 25 \text{ discuri din tablă de oțel.}$$

2. Să se aleagă un cuplaj elastic cu bolțuri (fig. 12.5) pentru transmiterea unui moment $M_t = 500$ Nm.

Rezolvare: Valorile coeficienților K_1 și K_2 se aleg din tabelul 12.1 (v. STAS 5982-80): $K_1 = 2$; $K_2 = 1,6$. Aplicându-se relația (12.6), rezultă

$$M_e = M_t \cdot K_1 K_2 = 500 \cdot 2 \cdot 1,6 = 1\ 600 \text{ Nm},$$

pentru care se alege un cuplaj standardizat de mărimea 7, având dimensiunile indicate în STAS 5982-80 (tab. 12.2).

Principalele caracteristici constructive ale cuplajelor elastice cu bolturi
(Extras din STAS 5982-79)

Nr. crt.	1	2	3	4	5	6	7	8	9	10	11	12	
Mărimea	fontă	5 600	5 000	4 500	4 000	3 600	3 000	2 750	2 250	2 000	1 800	1 500	1 350
Turatarea maximă, în rot./min	otel	6 000	6 000	6 000	6 000	5 600	5 000	4 500	4 000	3 800	3 500	3 000	2 850
Momentul nominal, în N m	40	69	200	450	775	1 280	2 120	3 350	4 870	8 250	12 800	19 000	
<i>d</i> , în mm	20; 22; 24	25; 28	30; 32; 35; 38	40; 42; 45; 48	50; 55; 56	60; 63; 65	70; 71; 75	80; 85	90; 95	100; 110	120; 125	130; 140	
<i>D</i> , în mm	86	100	116	155	165	216	235	290	305	330	405	435	
<i>L_{mas}</i> , în mm	105	127	167	228	228	291	291	353	353	433	435	515	

Capitolul 13

ORGANE PENTRU TRANSMITEREA MIŞCĂRII DE ROTAȚIE

Simplitatea constructivă, posibilitatea transmiterii continue — la distanțe variante, funcționarea silențioasă, capacitatea de amortizare a vibrațiilor și siguranța în funcționare sunt caracteristici spre care tinde perfecționarea continuă a transmisiilor mecanice.

Transmiterea directă a mișcării de rotație între doi arbori situați cap la cap se face prin intermediul cuplajelor.

Pentru transmiterea mișcării între arbori situați la o anumită distanță, dispusi într-o anumită poziție, se folosesc mecanisme speciale, numite transmisiile mecanice.

Transmisiile mecanice se folosesc atât pentru transmiterea cit și pentru transformarea mișcării. Transformarea poate fi cantitativă, cind se transmite mișcarea sub un anumit raport de transmitere $i \neq 0$, sau calitativă, cind se produce transmiterea prin transformarea mișcării de rotație în mișcare de translatăie sau invers.

13.1. TRANSMISII CU CURELE

13.1.1. Noțiuni de bază

Transmisia cu curea este un mecanism având rolul de a transmite mișcarea — deci cuplul motor — de la arborele de antrenare la cel antrenat prin intermediul unui element de tracțiune numit *curea*.

Cureaua este o bandă închisă (fără fine), flexibilă și extensibilă. Ea se infășoară și aderă pe suprafețele periferice ale roților de transmisie, fixate pe arbori.

Elementele componente ale transmisiei cu curele sunt: cei doi arbori între care se transmite mișcarea, lagările de sprijinire a arborilor, două roți de transmisie (una conducătoare și alta condusă), cureaua de legătură ca element de tracțiune și, eventual, un dispozitiv de întindere a curelei. În figura 13.1 sunt reprezentate cîteva tipuri de transmisiile mecanice cu curele.

Clasificarea. În funcție de modul infășurării curelei și de poziția axelor de rotație, se disting următoarele tipuri de transmisiile:

- transmisiile *paralele* cu același sens de rotație (fig. 13.1, a, e);
- transmisiile *incrucișate*, avînd roțile tot cu axe paralele, dar cu sensurile de rotație opuse (fig. 13.1, b, d);
- transmisiile *incrucișate în spațiu* sub un unghi de 90° (fig. 13.1, c) sau sub un unghi oarecare (fig. 13.1, f).

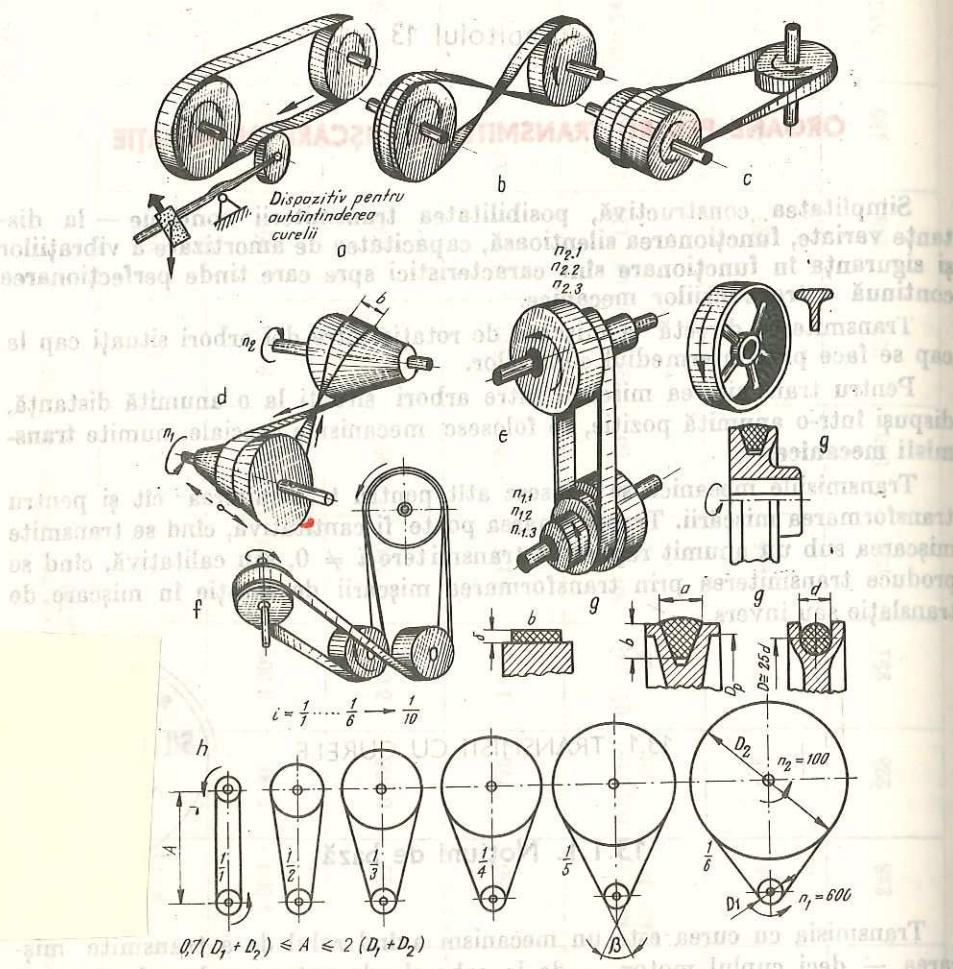


Fig. 13.1. Transmisii prin curele — tipuri de bază și forme constructive.

În funcție de forma secțiunii transversale a elementului de tracțiune se disting transmisii cu curele *late*, *trapezoidale* sau *rotunde* (fig. 13.1, g).

Avantaje. Flexibilitatea elementului de tracțiune determină funcționarea liniștită a transmisiei, fără șocuri sau vibrații. Posibilitatea transmiterii la distanțe mari între axe ($A \leq 10$ m), cu un raport de transmitere mare ($i \leq 30$), simplitatea constructivă și eficiența economică asigură transmisii cu curele un larg domeniu de aplicație în construcția de mașini și aparate. Ele se folosesc pentru transmiterea de puteri de la cele mai mici pînă la 3 000 kW, cu turații pînă la 16 000 rot/min și viteze periferice pînă la 50 m/s.

Domeniul de utilizare este limitat de alunecarea elastică a curelei pe roată în limitele $\varepsilon = 0,2\ldots 5\%$, ceea ce face imposibilă transmiterea uniformă a mișcării, cu un raport de transmitere constant.

Randamentul transmisiei este foarte ridicat ($\eta = 0,92\ldots 0,98$), iar alunecările elastice pot fi diminuate prin dispozitive de asigurare a unei aderențe sporite a curelei pe roată (fig. 13.1, a).

Exploatarea optimă a curelei este determinată de următoarele condiții:
 — alegerea ratională a diametrului roții mici $D_1 \geq (30\ldots 50)\delta$ (δ fiind grosimea curelei — fig. 13.2, g);
 — menținerea unei distanțe între axe A , cuprinsă în limitele

$$0,7(D_1 + D_2) \leq A \leq 2(D_1 + D_2);$$

— asigurarea aderenței curelei pe roți prin montarea curelei *pretensionate* în repaus cu o forță S_0 mai mare decît forța utilă F_u necesară a fi transmisă:
 — viteza periferică să nu depășească 10...30 m/s;
 — la transmisii orizontale (fig. 13.2, a) ramura de jos să fie încărcată (conducătoare).

Materiale. Roțile de transmisie se execută din fontă, oțel, aliaje de aluminiu, materiale plastice. Pentru confectionarea curelelor se întrebunează: piele de bovine (crupon), cauciuc sau pînză cauciucată, fibre textile, materiale plastice.

Principalele caracteristici ale materialelor pentru curele sunt indicate în tabelul 13.1.

TABELUL 13.1

Caracteristicile de bază ale materialelor curelelor și limitele utilizării

Tipul	R_m	E	δ	b	μ	φ_0	v_{max} m/s	t_c °C
	MPa		mm					
Piele standard	250	500	3—7	20—600	0,4	0,59	50	35
Cauciucat	late	450	500	3—7	20—200	0,5	0,62	40 70
	trapezoidale	5 000	400			0,35	0,6	50 70
	trapezoidale înguste	5 000	200		Profil STAS		50	70

13.1.2. Parametrii geometrici și cinematici ai transmisiei

Alunecarea elastică a curelei pe roți se explică prin deformarea elastică a curelei — datorită alungirii ramurii active. Analizând vitezele ramurii active v_1 și ramurii pasive v_2 , rezultă că, în timpul funcționării transmisiei, în curea are loc trecerea de la viteza v_1 din ramură activă la valoarea v_2 în ramură pasivă în care cureaua rămîne mai groasă, deci $v_1 > v_2$, adică $v_2/v_1 < 1$; în același timp, viteza periferică a roții conduse (V_2) este mai mică decît cea a roții conducătoare (V_1), datorită fenomenului de alunecare elastică a curelei pe periferia roților. Pentru caracterizarea cantitativă a acestui fenomen se folosește *coeficientul de alunecare elastică* ε , care exprimă pierderea relativă de viteză în transmiterea mișcării, adică

$$\varepsilon = \frac{V_1 - V_2}{V_1} \text{ sau în procente } \varepsilon = 100 \frac{V_1 - V_2}{V_1} \%$$

Coeficientul de alunecare elastică variază în limitele $\varepsilon = 0,2\ldots 5\%$.

Raportul de transmitere, se calculează aproximativ făcindu-se abstracție de influența alunecării cărelei, deci în ipoteza vitezelor egale $\nu_1 = \nu_2$. Rezultă

$$i = \frac{n_1}{n_2} = \frac{D_2}{D_1}. \quad (13.1)$$

În practică se recomandă $i \leq 8$.

Când se cere o valoare mai precisă a raportului de transmitere, se ia în considerație alunecarea specifică prin coeficientul caracteristic ϵ astfel:

$$D_2 n_2 = D_1 n_1 (1 - \epsilon); \text{ deci: } D_2 = D_1 \frac{n_1}{n_2} (1 - \epsilon). \quad (13.2)$$

Notind cu δ grosimea cărelii late (fig. 13.1, g), diametrul limită D_1 favorabil infășurării cărelii este: $D_1 \geq 50\delta$. Practic se ia $D_1 = (50..80)\delta$, care poate fi determinat cu relația aproximativă a lui Saverin:

$$D_1 \approx (900..1100) \sqrt[3]{\frac{P_c}{n_1}} \text{ [mm]}, \quad (13.3)$$

unde $P_c = \frac{P}{\eta}$ este puterea de calcul; P — puterea necesară mașinii antrenate; $\eta = 0,95$ — randamentul transmisiei; n_1 = turăția roții motoare.

D_1 se rotunjește la valoarea indicată în STAS 6011-83.

În cazul cărelii cu secțiune trapezoidală, diametrul favorabil S_1 a roții mici este indicat în standard (STAS 1162-84) în funcție de secțiunea cărelii.

Lungimea cărelii infășurate pe roți trebuie determinată, întrucât lungimea reală a cărelii închise, nemontate, trebuie să fie mai mică. Această diferență rezultă din necesitatea montării cărelii pe roți prin întindere sau pretensionare. Ca urmare este asigurată aderența cărelii pe roți și din această cauză în cărea apare o forță care solicită transmisia atât în funcționare cât și la mersul în gol.

În cazul transmisiei cu posibilități de reglare a întinderii, lungimea geometrică este egală cu lungimea reală L , dată de relația

$$L = \pi D_m + 2A + \frac{(D_2 - D_1)^2}{4A}, \quad (13.4)$$

în care:

$$D_m = \frac{D_1 + D_2}{2}; A \text{ — distanța dintre centrele roților.}$$

Principalele elemente geometrice ale transmisiei în ipoteza întinderii liniare a ramurilor cărelii sunt indicate în figura 13.2.

La cărelii trapezoidali lungimea L se rotunjește la valoarea indicată în standard. În acest caz, din ecuația de gradul doi (13.4) cu variabila A rezultă

$$A = 0,25[L - \pi D_m + \sqrt{(L - \pi D_m)^2 - 2(D_2 - D_1)^2}]. \quad (13.5)$$

La cărelii plate (cu secțiune dreptunghiulară) imbinarea capetelor se face prin: cusătură cu agrafe speciale, prin lipire, prin coasere, cu șuruburi sau cu nituri. De modul imbinării capetelor se ține seama la corectarea lungimii L .

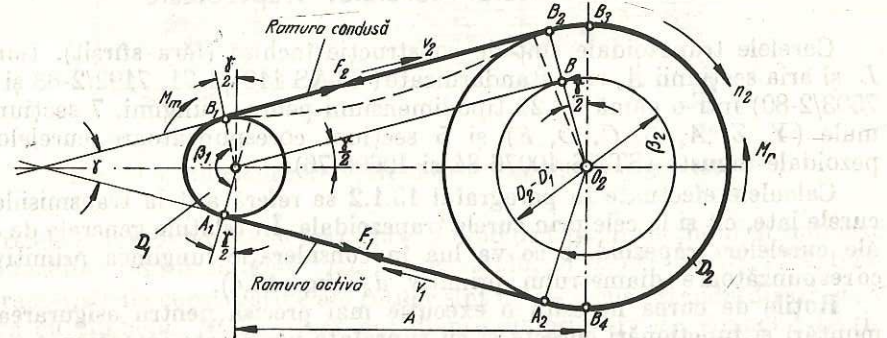


Fig. 13.2. Principalele elemente geometrice ale transmisiei.

Unghiul de infășurare β . Buna funcționare a transmisiei este condiționată și de unghiul β_1 corespunzător infășurării cărelii pe roata mică (fig. 13.2). La cărelii late $\beta_1 > 150^\circ$, iar la cele trapezoidale $\beta_1 > 110^\circ$.

Distanța dintre axe A. Valoarea unghiului de infășurare β_1 crește cu distanța dintre axe de rotație. Valoarea minimă limitează distanța dintre axe în funcție de diametrul roții mari D_2 , după cum se indică pe figura 13.1.

13.1.3. Construcția roților pentru cărele late

Roțile pentru cărele late se construiesc cu spite (fig. 13.3, a) sau sub formă de disc (fig. 13.3, b). Numărul z al brațelor se determină cu relația empirică $z = \left(\frac{1}{5} \dots \frac{1}{7}\right) D$, unde D este diametrul roții de cărea, în mm. Dacă $z \leq 3$, roata se construiește sub formă de disc. Pe figuri sunt indicate, orientativ datele constructive de bază ale roților pentru cărele late.

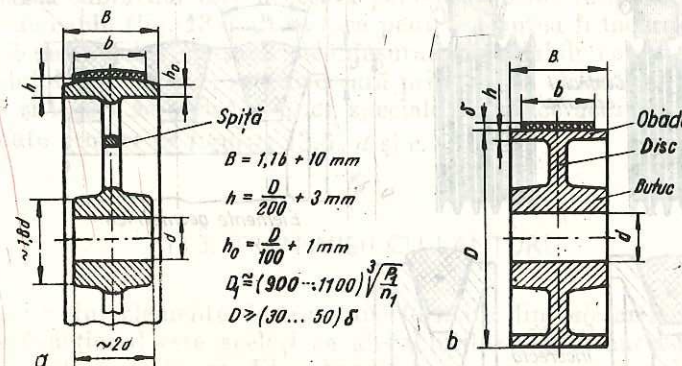


Fig. 13.3. Elementele și formele constructive ale roților de transmisie prin cărele:
a — cu spite; b — cu disc.

13.1.4. Calculul curelelor trapezoidale

Curelele trapezoidale sunt de construcție închisă (fără sfîrșit). Lungimea L și aria secțiunii A_c sunt standardizate (STAS 1164/1-71, 7192/2-83 și STAS 7503/2-80) într-o gamă de 27 tipodimensiuni pentru lungimi, 7 secțiuni normale (Y, Z, A, B, C, D, E) și 5 secțiuni corespunzătoare curelelor trapezoidale înguste (STAS 10076-84 și 10696-76).

Calculele efectuate în paragraful 13.1.2 se referă atât la transmisiile prin curele late, cât și la cele prin curele trapezoidale. În relațiile generale de calcul ale curelelor trapezoidale se va lua în considerație lungimea primitivă L_d corespunzătoare diametrului primitiv d_d (fig. 13.4).

Roțile de curea necesită o execuție mai precăsă pentru asigurarea unei montări și funcționări corecte și cu suprafețe prelucrate intentionat rugoase în vederea asigurării unei frecări cât mai mari cu suprafețele curelelor.

Deoarece secțiunile, lungimea curelelor și caracteristicile roților destinate curelelor trapezoidale sunt standardizate, nu rămîne decit să se aleagă din tabele STAS secțiunea și lungimea curelei, apoi să se determine numărul de curele z necesar transmiterii unei puteri efective date P , în kW:

$$z = \frac{P}{P_0 K_1 K_2} \leq 12 \quad [\text{curele}] \quad (13.6)$$

În această relație P_0 reprezintă puterea specifică transmisă de o singură curea cu secțiunea A_c dată în tabele (STAS 1163-71), iar K_1 și K_2 sunt coeficientii de corelație; K_1 depinde de regimul de lucru și de tipul mașinii antrenate, iar K_2 depinde de unghiul de infășurare a curelelor pe roata mică. Valorile lor sunt date în standard (STAS 1163-71), unde este cuprinsă întreaga metodologie de calcul.

Raportul de transmitere i se determină în funcție de valorile diametrelor primitive:

$$i = d_{d_2}/d_{d_1}$$

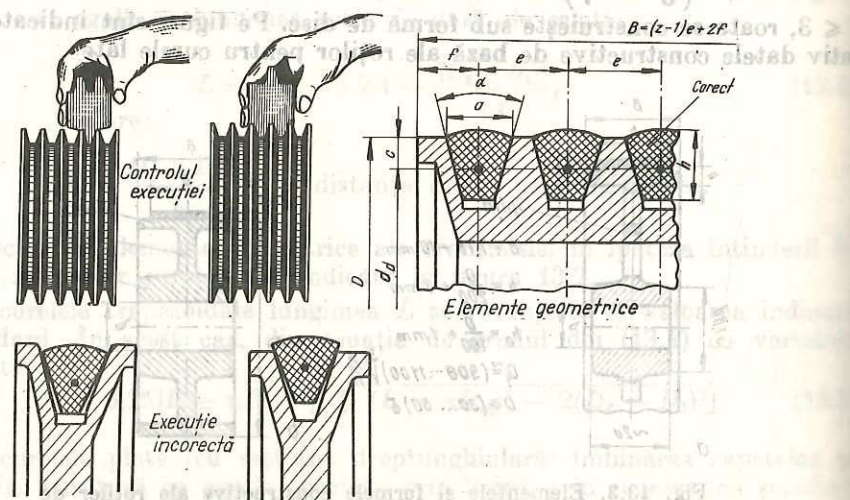


Fig. 13.4. Execuția corectă și cea incorrectă a canalelor de curea.

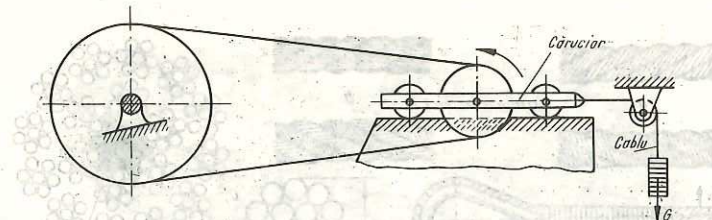


Fig. 13.5. Autoîntinderea curelei prin dispozitiv cu greutăți.

Curelele trapezoidale se notează prin simbolul tipului secțiunii și numărul corespunzător valorii lungimii L_d . De exemplu, $A 2500$ STAS 1164/1-71.

Caracteristicile constructive ale roților sunt de asemenea standardizate și se notează cu simbolul RCT urmat de: diametrul primitiv d_d , simbolul secțiunii canalului și unghiul canalului. De exemplu, $RCT 800 B 34$ STAS 1162-84 (roată pentru curea trapezoidală tipul B cu unghiul canalului $\alpha = 34^\circ$).

Pentru preîntinderea curelelor și menținerea tensiunii necesare asigurării aderenței optime se folosesc diferite sisteme. Un dispozitiv obișnuit cu contragreutăți este schematizat în figura 13.5. Acest sistem se aplică atunci cînd lagărul roții motoare este mobil.

13.2. TRANSMISII CU CABLU

13.2.1. Noțiuni generale

Transmisia cu cablu funcționează tot prin aderență ca și transmisia cu curele.

Ca organ intermediar de tracțiune, *cablul* este un ansamblu format din fire textile sau metalice grupate prin *cablare* (răscuire elicoidală sau impletire) (fig. 13.6). Se disting: cabluri *rotunde* (fig. 13.6, a...d); cabluri *plate*; cabluri cu *toron rotund sau profilat*; cabluri cu *inimă nemetalică* (vegetală — minerală — sau din fire sintetice); cabluri răscuite spre dreapta sau spre stînga (fig. 13.6, b) sau cu firele spre dreapta, iar toroanele spre stînga și invers.

Domeniul de utilizare a cablurilor este foarte larg. Ele se folosesc în special la mașinile de ridicat și de transportat (fig. 13.6, f — electropalanul), la scrisori, la macarale, trolii, excavatoare, teleferice și a.s.

Îmbinarea cablurilor este necesară pentru a obține lungimi mari. Fixarea capetelor de cablu (fig. 13.6, d) se face pentru a putea fi încărcat la unul din capete și legat solidar cu toba de infășurare la celălalt capăt. Buclea de căpăt a cablului (fig. 13.6, e) este necesară prinderii la cirilicul de ridicare. Pentru fixare și legare se aplică metode speciale, specifice acestui element, după cum se poate urmări pe figurile 13.6, d și e.

13.3. TRANSMISII CU LANTURI

Lanțurile sunt elemente de tracțiune formate din zăle articulate între ele. Rolul lor funcțional este același ca al cablurilor sau al curelelor. Principiul transmisiiei este însă diferit. El se bazează pe angrenarea lanțului cu dantura roților speciale (fig. 13.7).

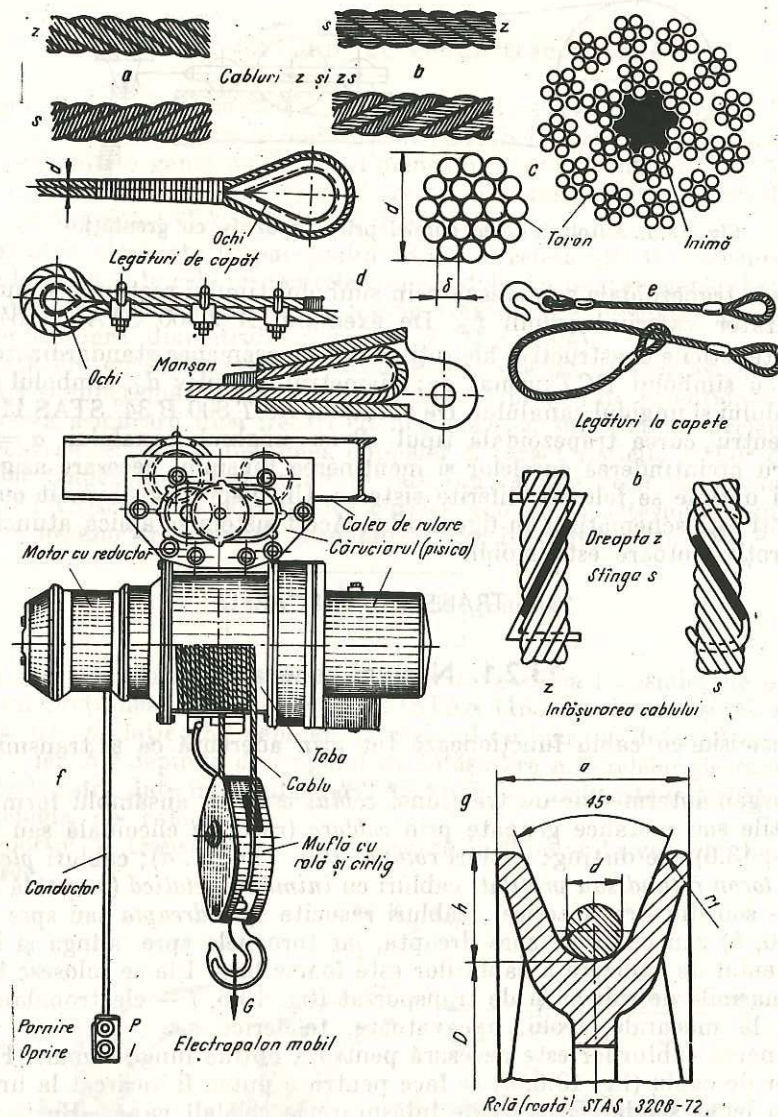


Fig. 13.6. Cabluri și role — forme constructive.

Transmisia prin lanț se utilizează la acționarea manuală a palanelor, la antrenarea arborilor paraleli din cutiile de viteze, la mașinile rutiere, la mașinile agricole, la acționarea trolilor instalațiilor de foraj etc.

Tipurile de lanțuri se deosebesc prin forma zalelor (fig. 13.7) și a danturii roților respective.

Lanțurile de transmisie cu role și zale sunt standardizate și simbolizate în aproape 40 tipodimensiuni (STAS 5174-66).

În general, se utilizează pentru transmiterea mișcării între axe paralele distanțe pînă la 10 m.

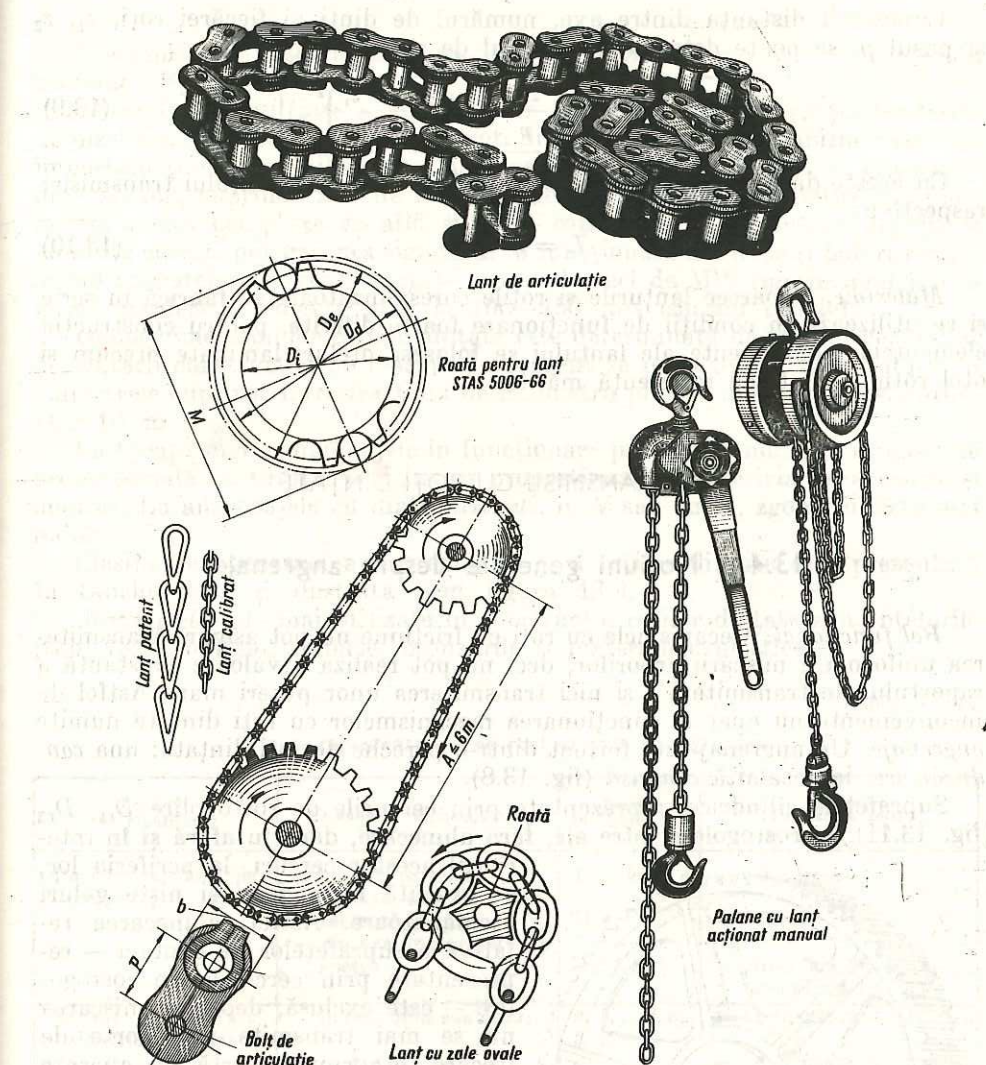


Fig. 13.7. Diferite forme constructive de lanțuri și transmisii cu lanț.

Raportul de transmitere i se poate determina astfel:

$$i = \frac{z_2}{z_1} = \frac{n_1}{n_2} = \frac{D_2}{D_1}; \quad (13.7)$$

$i \leq 8$ pentru viteze medii și $i \leq 15$ pentru viteze lente.

Distanța optimă dintre axe se determină cu relația

$$A = (30...50)p \quad [\text{mm}], \quad (13.8)$$

p fiind arcul dintre doi dinți consecutivi, măsurat pe diametrul primitiv.

Pentru asigurarea săgeții de montaj a lanțului se micșorează distanța dintre axe A cu $(0,002...0,004)A$.

Cunoscind distanța dintre axe, numărul de dinți ai fiecărei roți, z_1 , z_2 și pasul p , se poate determina numărul de zile n :

$$n = \frac{z_1 + z_2}{2} + \frac{2A}{p} + \frac{p}{A} \left(\frac{z_2 - z_1}{2} \right)^2. \quad (13.9)$$

Cu aceste date se poate determina lungimea necesară lanțului transmisiei respective:

$$L = n \cdot p. \quad (13.10)$$

Materiale. Deoarece lanțurile și roțile corespunzătoare se fabrică în serie și se utilizează în condiții de funcționare foarte diferite, pentru construcția elementelor componente ale lanțului se folosesc oțeluri laminate precum și oțel rotund aliat, cu rezistență mărită.

13.4. TRANSMISII CU ROȚI DINȚATE

13.4.1. Noțiuni generale despre angrenaje

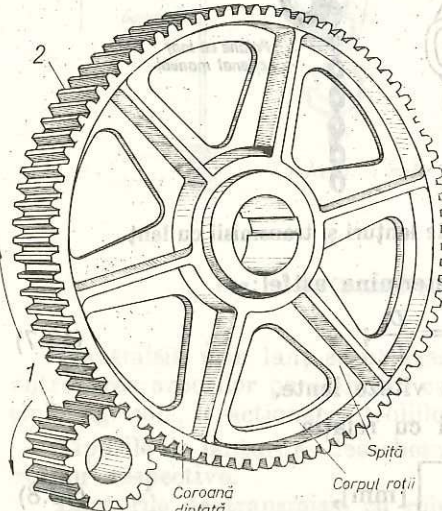
Rol funcțional. Mecanismele cu roți cu fricție nu pot asigura transmiterea uniformă a mișcării arborilor, deci nu pot realiza o valoare constantă a raportului de transmitere și nici transmiterea unor puteri mari. Astfel de inconveniente nu apar în funcționarea mecanismelor cu roți dințate numite *angrenaje*. Un angrenaj este format dintr-o pereche de roți dințate: una *conducătoare*, iar cealaltă *condusă* (fig. 13.8).

Suprafețele cilindrice, reprezentate prin cercurile de rostogolire D_{r1} , D_{r2} (fig. 13.11), se rostogolesc între ele, fără alunecare, dacă în afara și în interiorul acestor cercuri, la periferia lor, se execută niște *dinți* și niște goluri asemănătoare. Astfel, alunecarea relativă a suprafețelor de contact – reprezentate prin cercurile de rostogolire – este exclusă, deoarece mișcarea nu se mai transmite prin forță de frecare, ci printr-o forță de apăsare între dinți. În perioada transmiterii mișcării, dinții roții conducătoare pătrund succesiv în golurile dintre dinții roții pereche și realizează o presiune de contact, antrenându-i prin *angrenare*. Raportul de transmitere i este constant:

$$i = \frac{n_1}{n_2} = \frac{\omega_1}{\omega_2} = \frac{v_1}{v_2} = \frac{D_{r2}}{D_{r1}} = \text{const.} \quad (13.11)$$

Fig. 13.8. Angrenaj cu roți dințate cilindrice cu dinți drepti:

1 – roată conducătoare; 2 – roată condusă.



Transmiterea mișcării este însoțită de transmiterea unor momente de torsione M_t .

Domeniul de utilizare a angrenajelor este vast. În construcția modernă de mașini și aparate, transmisia cu roți dințate constituie mecanismul cel mai important și cel mai utilizat. Astfel, construcția unui automobil, ca și aceea a unui strung, cuprinde zeci de roți dințate. În schemele cinematice ale unor mașini-unelte complexe se află sute de roți dințate. Executate îngrijit și montate corect, pot garanta siguranța în funcționare la viteze și puteri reduse (cazul aparatelor tip ceasornic), la puteri de zeci de MW (mașini grele) și la viteze periferice, ridicate pînă la 100–150 m/s (mașini rapide).

Gama dimensiunilor roților dințate este determinată de stadiul general al dezvoltării construcției de mașini. În prezent se pot executa roți dințate cu diametrele cuprinse între fracțiuni de milimetru pînă la diametre de strunjire $D_e > 10$ m.

La turări mari, angrenajele în funcționare produc zgomote de intensitate proporțională cu turăria n și invers proporțională cu precizia de execuție și montaj. La angrenajele cu dinți *inclinați*, în V sau curbi, zgomotul este mai redus.

Clasificarea generală a angrenajelor și a roților dințate este prezentată în tabelul 13.2 și ilustrată prin figura 13.9.

Materialele cele mai utilizate în construcția roților dințate sunt: oțelurile (tab. 13.3), fontele, alamele, bronzurile și materialele plastice.

TABELUL 13.2

Tipuri reprezentative de roți dințate și angrenaje

Criteriu de clasificare	Denumirea angrenajului	Pozitia în figură 13.9	Denumirea roții
Pozitia axelor de rotație	— cu axe paralele — cu axe care se intersectează în plan — cu axe încrucișate în spațiu	I-a, b, c, d II-e III-f, g, h	— cilindrică — conică — elicoidală (f, h) și cu cremalieră (g)
Sensul de mișcare al roților angrenate	— în sens opus sau diferit — în același sens	a, b, c, d, e, f, g, h c	— cu dantura exterioară — cu dantura în interior
Caracterul mișcării	— fără transformarea mișcării de rotație — cu transformarea mișcării de rotație în mișcare de translatăre sau invers	a, b, c, d, e, h, f g	— cu roată — roată cremalieră
Orientarea axei longitudinale a dinților față de generațoarea suprafetei supuse danturării	— corespunde denumirilor roților	a, c, e, g b d f	— cu dinți drepti — cu dinți inclinați (elicoidalni) — cu dinți inclinați în V sau W — cu dinți curbi
Forma suprafeței de danturare	— corespunde denumirilor roților	a-d e-f h —	— cilindrică — conică — melecată — alte forme de revoluție — necirculare
După forma curbei flancurilor	—	a-h	— evolventă; cicloidală; — arc de cerc

TABELUL 13.3

Caracteristici mecanice ale principalelor oțeluri pentru angrenaje

Grupa	Marca	TT	HB miez	HV10 sup.	R _m MPa	R _{r0,2} MPa
turnat	OT 50	N	138		500	280
	OT 60	N	175		600	285
	OLC 45	N	185		700	800
		I	200		800	340
		CIF	185	560	1 000	
		I+N _i	220	580—400	800—1 100	
	35 Cr 10 (40 Cr 10)	N	197		950	750
		I	217			
		CIF	260	610	1 150	
		I+N _i	260	550	1 500	
de îmbunătățire de cementare	Cn	260	595			
	41 MoCr 11	I	217		950	750
		CIF	275	650	1 300	
		I+N _b	275	500	1 450	
		I+N _i	290	720		
	OLC 15	N	143		230	380
		Ce	190	720	900	
	21MoMnCr12	Cr	300		750	900
		Ce	200	720		
	18 MoCrNi 12	Cr	217		1 750	950
		Ce	290	740	1 700	
	34 MoCrNi 15	Ce	Necesită încercări experimentale speciale			

Obs.: TT — tratamentul termic; N — normalizat; I — îmbunătățit; CIF — călit superficial prin curenți de inducție; Ni — ion nitrurat; Nb — nitrurat în baie; Cn — carbonitrurat; Ce — carburat (cementat); Cr — călit cu revenire joasă.

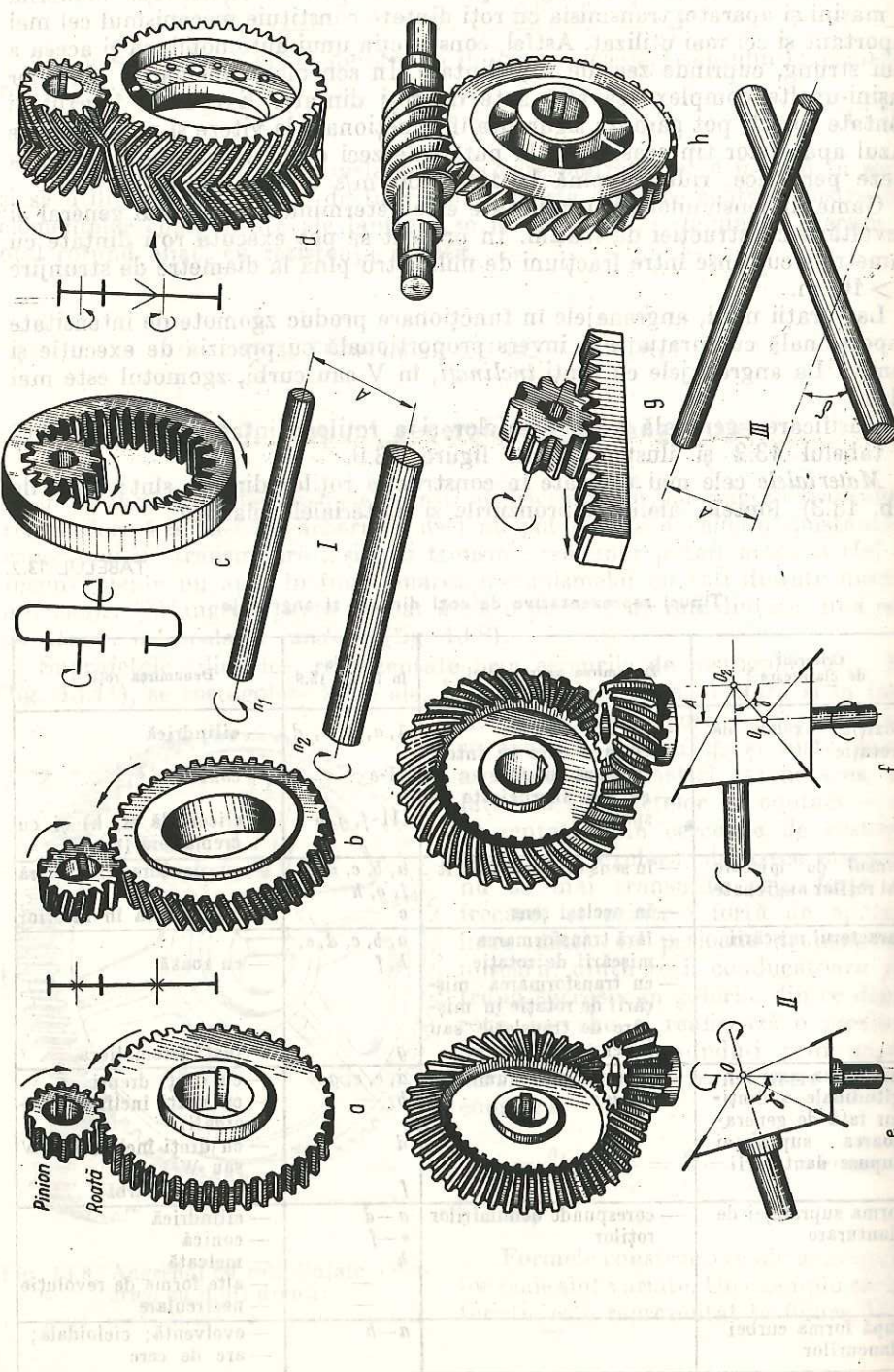


Fig. 13.9. Principalele tipuri de angrenaje cu roți din fier

13.4.2 Condițiile de bază ale construcției profilului

Profilul dinților trebuie astfel construit încit să asigure un raport de transmitere constant, printr-o mișcare continuă. Aceasta este *condiția fundamentală* a formei geometrice a flancurilor profilului angrenajelor cu roți dințate. Una din curbele geometrice care satisface această condiție și se execută cu ușurință este *evolventa*.

Evolventa este curba descrisă de un punct M ce aparține unei generatoare TT care se rostogolește peste un cerc numit cerc de bază având raza R_b (fig. 13.10). Suprafața evolventică este generată de o dreaptă ce aparține unui plan care se rostogolește peste suprafața unui cilindru.

Urmărind construcțiile grafice din figurile 13.10 și 13.11, se pot obține demonstrativ o succesiune de relații analitice de calcul și concluzii de bază necesare construcției profilului danturii evolventice, dintre care se menționează:

— Profilurile dinților a două roți conjugate trebuie astfel construite încit curbele flancurilor să admită o normală comună NN (fig. 13.11).

Normala comună NN este și tangentă comună la cercurile de raze R_{b1} și R_{b2} , punctul C găsind cele două flancuri în contact cind se rostogolește pe un cerc sau pe celălalt cerc de bază.

— De la intrarea în angrenare (primul contact) pînă la ieșirea din angrenare (ultimul contact), o pereche de dinți se mențin permanent în contact, descriind traекторia de *angrenare* (fig. 13.11).

— Normala comună NN împarte distanța dintre centrele de rotație $O_1O_2 = A = \text{const.}$ în *două părți* constante: $O_1P = R_{r1}$ și $O_2P = R_{r2}$.

— Traекторia t_1t_2 descrisă de succesiunea punctelor de contact C de la intrarea pînă la ieșirea din angrenare se numește *linie de angrenare*.

— Punctul P prin care trece linia de angrenare t_1t_2 , suprapusă tangentei comune NN , deci normali comune, reprezintă centrul instantaneu de rotație a cercurilor de rostogolire fără alunecare. Acest punct P se numește *polul angrenării*.

— Direcția tangentei comune NN la cercurile de bază R_{b1} , R_{b2} definește cu direcția tangentei TT (comună la cercurile de rostogolire R_{r1} , R_{r2} și perpendiculară pe direcția centrelor de rotație $O_1O_2 = A$) unghiul de angrenare $\alpha = \alpha_0 = 20^\circ$ (STAS 821-82).

— Pentru ca două roți dințate să poată angrena este necesar ca flancurile successive să fie situate la același arc, numit pas p (fig. 13.11).

Fig. 13.10. Obținerea profilului evolventic al danturii:
a — trasarea profilului; b — curbe evolvente cu caracteristici diferite.

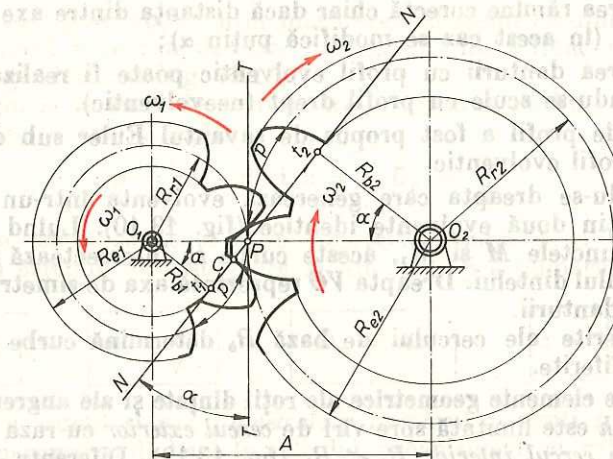


Fig. 13.11. Condiția de bază a angrenării cu raport de transmitere constant ($i = \text{constant}$).

Aceste condiții fundamentale sunt cel mai bine satisfăcute de *curbele ciclice* de tipul *evolventei* și al *cicloidei*.

Caracteristicile geometrice ale evolventei ușurează procesul tehnologic al prelucrării danturii. De aceea, dantura cu profil evolventic este mai frecvent utilizată în construcția roților dințate.

Gradul de acoperire. O altă condiție necesară realizării unui raport de transmitere constant este realizarea unui grad de acoperire $\epsilon > 1$. Determinarea gradului de acoperire și analiza valorii sale permit să se aprecieze cîte perechi de dinți conjugați se află simultan în angrenare; ϵ are expresia

$$\epsilon = \frac{\widehat{C_1PC_2}}{p} = \frac{\text{arcul de angrenare}}{pas}$$

Arcul de angrenare $\widehat{C_1PC_2}$ este descris de punctul de contact C , din momentul intrării pînă în momentul ieșirii din angrenare a două flancuri conjugate.

Gradul de acoperire $\epsilon > 1$ indică intrarea în angrenare a perechii de dinți următoare, înaintea ieșirii din angrenare a perechii de dinți precedente. Astfel contactul dintre doi dinți este permanent, deci angrenarea este continuă ($i = \text{const.}$). Roțile dințate de precizie trebuie să realizeze un grad de acoperire $\epsilon > 1.1$. Dacă $\epsilon < 1$, mișcarea se transmite discontinuu. Angrenajele puternic solicitate — cu funcționare rapidă — necesită un grad de acoperire mai mare, $\epsilon > 1.3$.

13.4.3. Roți cilindrici cu dinți drepti

Dantura cu profil evolventic. Cele mai utilizate în practică sunt roțile dințate cu profil evolventic, deoarece oferă următoarele avantaje remarcabile, neîntlnite la celelalte profiluri:

— caracteristicile evolventei depind numai de mărimea cercului de bază;
— orice roată de profil evolventic poate angrena cu o altă roată din familia profilurilor evolventice având aceiași parametri de bază α și m ;

— angrenarea rămine corectă chiar dacă distanța dintre axe A nu rămine riguros exactă (în acest caz se modifică puțin α);

— prelucrarea danturii cu profil evolventic poate fi realizată fără dificultăți, utilizându-se scule cu profil drept (neevolventic).

Un astfel de profil a fost propus de savantul Euler sub denumirea de angrenaj cu profil evolventic.

Rostogolindu-se dreapta care generează evolventa într-un sens sau în celălalt, se obțin două evolvente identice (fig. 13.10). Luind ca origine a evolventelor punctele M și M_1 , aceste curbe se intersectează în punctul V și definesc profilul dintelui. Dreapta VO reprezintă axa de simetrie a profilului evolventic al danturii.

Mărimi diferite ale cercului de bază R_b determină curbe evolvente cu caracteristici diferite.

Principalele elemente geometrice ale roții dințate și ale angrenajului. Înălțimea dinților h este limitată spre vîrf de cercul exterior cu raza $R_e > R_b$, iar în interior, de cercul interior $R_i < R_b$ (fig. 13.12). Diferența $R_b - R_i = c$ se numește *joc la fund*. El este necesar pentru ca vîrful dinților unei roți să nu atingă roata pereche pe zona diametrului interior dintre dinți, spre a nu bloca angrenajul.

Cercul de rostogolire trece aproximativ pe la jumătatea distanței dintre cercul de bază și cel exterior (măsurată în direcția razei). Capul dintelui reprezintă distanța a dintre cercul de rostogolire și cel exterior, iar piciorul dintelui, distanța b dintre cercul de rostogolire și cel interior. Între aceste mărimi există relația $a + b = h$. Deoarece flancul dintelui coboară puțin sub cercul de bază, $b > a$. Zona activă a flancului dintelui este cuprinsă între D_b și D_e .

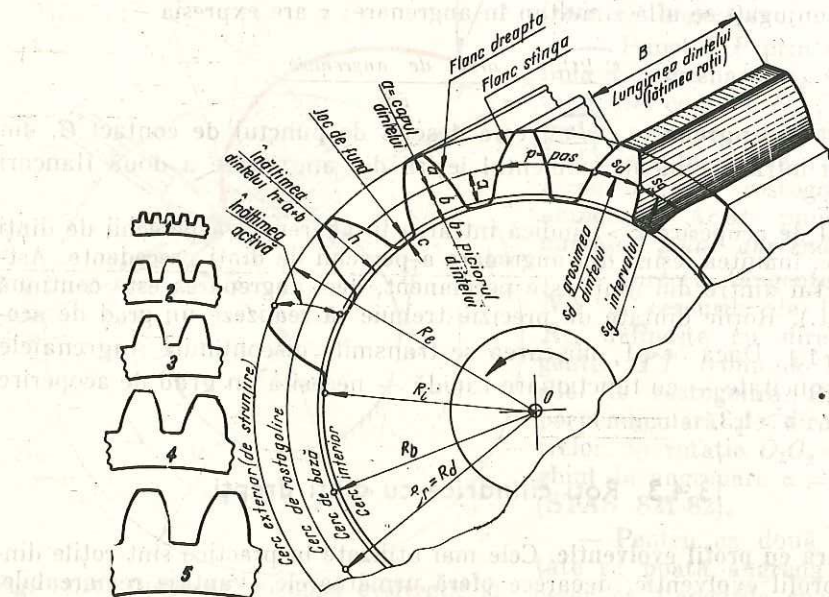


Fig. 13.12. Elementele de bază ale unei roți dințate:
1–5 creșterea profilului dintelui în funcție de modul.

Pasul circular p se obține prin măsurarea lungimii arcului pe cercul de rostogolire (numit și *cerc de divizare* de rază R_r) între flancurile de același sens a doi dinți alăturați (fig. 13.12).

Între lungimea cercului de divizare πD_r , numărul de dinți z al unei roți dințate și pasul p există legătura

$$zp = \pi D_r, \text{ deci } z = \frac{\pi}{p} D_r = \frac{D_r}{m}. \quad (13.12)$$

Din aceste relații se poate scrie expresia pasului p , a modulului m , a diametrului cercului de rostogolire D_r (în mm) și a numărului de dinți z .

$$\boxed{p = \frac{\pi D_r}{z}; \quad m = \frac{p}{\pi}; \quad D_r = mz; \quad z = \frac{D_r}{m}}. \quad (13.12a)$$

Modulul m , numit și *pas diametral*, și numărul de dinți z al fiecărei roți dințate sint parametrii de bază în calculul mecanismelor cu roți dințate.

Pentru asigurarea angrenării dinților, perechea de roți trebuie construită cu același pas $p = p_1 = p_2$. Deoarece $m = \frac{p}{\pi}$, rezultă că cele două roți au și același modul m . Prin STAS 822-82 au fost limitate valorile modulului, în mm, la mărimile indicate în tabelul 13.3.

TABELUL 13.3
Valurile recomandate ale modulului m , în mm (STAS 822-82)

0,05	0,06	0,08	0,1	0,12	0,15	0,2	0,25	0,3	0,4
0,5	0,6	0,8	1	1,25	1,5	2	2,5	3	4
5	6	8	10	12	16	20	25	32	40
50	60	80	100						

Pasul p și diametrul cercului de rostogolire D_r se folosesc în calcule pentru determinarea altor parametri de bază ai angrenajului.

Raportul de transmitere poate fi exprimat prin raportul numerelor de dinți ai celor două roți z_1 și z_2 . Deoarece $i = D_{r2}/D_{r1}$, iar $D_r = zm$ (m fiind același pentru cele două roți), rezultă

$$i = \frac{D_{r2}}{D_{r1}} = \frac{z_2 p}{z_1 p} = \frac{z_2}{z_1}. \quad (13.13)$$

Relația generală care exprimă raportul de transmitere este

$$i = \frac{\omega_1}{\omega_2} = \frac{n_1}{n_2} = \frac{D_{r2}}{D_{r1}} = \frac{D_{b2}}{D_{b1}} = \frac{z_2}{z_1} = \text{const.} \quad (13.14)$$

Un angrenaj de roți dințate cilindrice poate realiza un raport de transmisie $i < 10$, iar unul de roți conice un raport $i \leq 4 \dots 6$.

Înălțimea dintelui $h = a + b$ se determină în funcție de modul: $a = m$; $b = 1,25 m$; $c = 0,25 m$; deci $h = a + b = m + 1,25 m = 2,25 m$.

Parametrii menționați pot fi folosiți pentru calculul diametrelor celorlalte cercuri ale roții dințate. Urmărind figura 13.12, rezultă

$$D_e = D_r + 2a = zm + 2m = m(z + 2) \text{ [mm];} \quad (13.15)$$

$$D_i = D_r - 2b = zm - 2 \cdot 1,25 m = m(z - 2,5) \text{ [mm];} \quad (13.16)$$

$$D_b = D_r - 2a = zm - 2m = m(z - 2) \text{ [mm].} \quad (13.17)$$

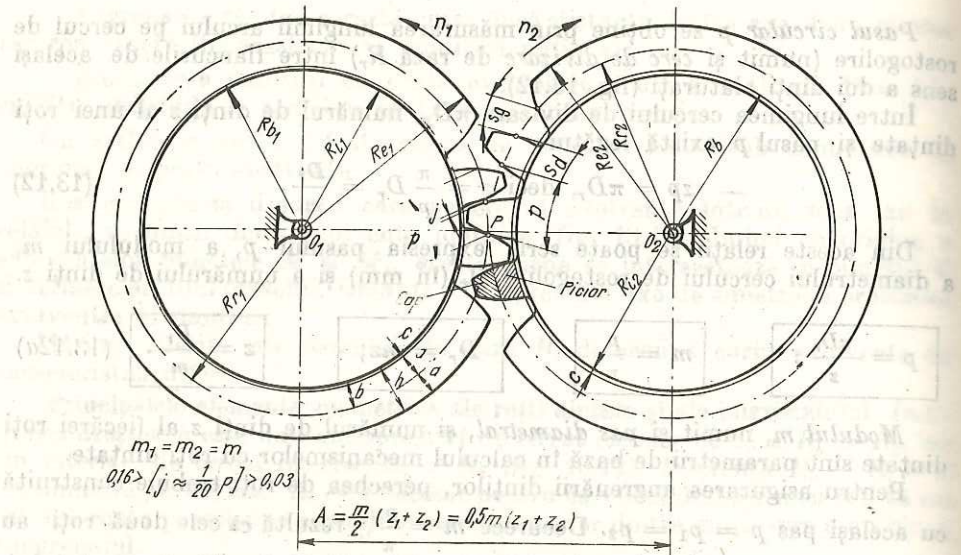


Fig. 13.13. Elemente geometrice ale angrenajului.

Distanța dintre axele arborilor roților dințate $A = R_{r1} + R_{r2}$ poate fi exprimată prin parametrii de bază, având în vedere relațiile (13.15) și figura 13.11:

$$A = \frac{D_{r1}}{2} + \frac{D_{r2}}{2} = \frac{D_{r1} + D_{r2}}{2} \quad (13.18)$$

În această relație, substituindu-se diametrele, D_{r1} și D_{r2} , determinate cu relația (13.12 a), și anume $D_{r1} = mz_1$, $D_{r2} = mz_2$, se obține relația generală

$$A = \frac{m(z_1 \pm z_2)}{2} \quad (13.19)$$

Această relație se aplică numai angrenajelor cu roți dințate cilindrice cu dinți drepti, cu semnul (+) pentru angrenarea exterioară și cu semnul (-) pentru angrenarea interioară.

Normele de proiectare a angrenajelor pentru construcția de mașini în general recomandă ca distanța dintre axe A (mm) să se realizeze la una din valorile standardizate preferate (STAS 6055-82):

40	50	63	80	100	125	160	200	250	315
400	500	630	800	1 000	1 200	1 600	2 000	2 500	

1.3.4.4. Numărul minim de dinți

Angrenări corecte se produc numai în interiorul liniei de angrenare t_1t_2 (v. fig. 13.11 și 13.14). Cind diferența dintre diametrele cercurilor de bază este foarte mare, deci $z_2 - z_1$ este mare, mai ales cind z_1 este foarte mic ($z_1 < 17$),

ca în cazul angrenării unui pinion cu o cremalieră (fig. 13.14) răcordarea evolventei de la cercul de bază pînă la cercul interior necesită o formă specială pentru a nu se intersectează virfurile roții z_2 cu baza dinților pinionului z_1 . Acesta este fenomenul de interferență a dinților.

Se pot construi angrenaje cu un număr foarte mic de dinți, la care interferența să se producă în timpul execuției între roata dințată și sculă, pentru a nu se produce în timpul angrenării roților z_1 și z_2 . Astfel de angrenaje cu profil deplasat necesită calcule suplimentare.

Prevenirea fenomenului de interferență este asigurată dacă roata cea mai mică (pinionul) se construiește cu un număr de dinți mai mare decît numărul minim de dinți z_{min} , la care nu se mai poate produce interferență. În acest caz, roțile poartă denumirea de roți dințate normale, cu modulul normal ($m = m_n$).

Numărul minim de dinți z_{min} se obține din raportul de transmitere cerut pentru angrenajul din care face parte și este în orice caz

$$z_{min} > 17 \text{ dinți} \quad (13.20)$$

În numeroase cazuri se pot construi și roți cu un număr mai mic de 17 dinți, fără să apară fenomenul de interferență. Dar, considerindu-se $z_1 > z_{min} = 17$ dinți, nu mai sunt necesare calcule suplimentare pentru determinarea numărului minim de dinți.

Capitolul 14

ORGANE PENTRU RETINEREA, CONDUCEREA ȘI COMANDA CIRCULAȚIEI FLUIDELOR

În interiorul întreprinderilor sau ai localităților, prin sistemele de reținere, reglare și conducere a circulației fluidelor se poate asigura transportul diferitelor substanțe, care pot fi: lichide (apă, ulei etc.), gazoase (abur, aer, hidrogen, gaze naturale, amoniac etc.) sau corpuși solide aduse în stare fluidizată (minereuri, cereale), transportul pneumatic al pulberilor, transportul hidraulic al lemnului etc.

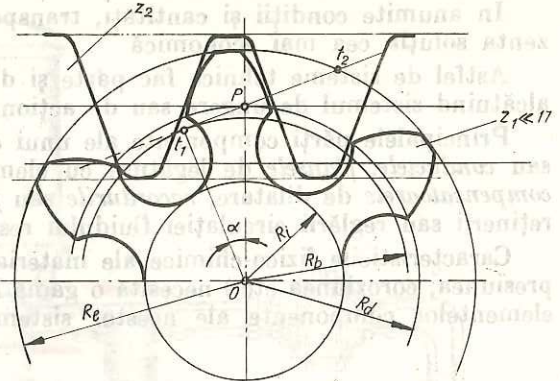


Fig. 13.14. Interferența dinților.

În anumite condiții și cantități, transportul prin conducte poate reprezenta soluția cea mai economică

Astfel de sisteme tehnice fac parte și din structura mașinilor, de obicei alcătuind sistemul de ungere sau de acționare.

Principalele părți componente ale unui asemenea sistem sunt: *tubulatura* sau *conductele*, *flanșele* de legătură cu elementele de asigurare a etanșării, *compensatoarele* de dilatare, *racordurile* sau *fitingurile* și *armăturile* necesare reținerii sau reglării circulației fluidului respectiv.

Caracteristicile fizico-chimice ale materialelor transportate (temperatura, presiunea, coroziunea etc.) necesită o gamă largă de materiale în construcția elementelor componente ale acestor sisteme.

14.1. NOTIUNI DE BAZĂ

De obicei, fluidele sunt captate sau reținute în *vase de depozitare*, rezervoare sau recipiente de construcție etanșă. De la locul de reținere pînă la cel de utilizare, fluidele sunt dirigate prin intermediul *conductelor* (țevi sau tuburi).

Pentru asigurarea circulației fluidelor, cele două grupe de piese se îmbină prin elemente de legătură: piese fasonate, compensatoare de dilatare etc.

În general, elementele folosite pentru închidere-deschidere, comandă, reglare, siguranță etc. se numesc *armături*. Etanșeitatea, rezistența la presiune, la temperatură, la coroziune și interschimbabilitate sunt principalele condiții pe care trebuie să le satisfacă aceste piese.

O instalație folosită în schema mașinilor pentru asigurarea centralizată a ungerii este reprezentată în figura 14.1.

14.2. ELEMENTE PENTRU REȚINEREA FLUIDELOR

Din această categorie fac parte: rezervoarele, recipientele și cilindrii mașinilor de forță sau ai mașinilor de lucru.

Aceste elemente se execută în special prin turnare din fontă sau din oțel. Cele de dimensiuni mari se execută prin sudare din table de oțel.

Rezervoarele, recipientele și cilindrii au ca anexe conducte de umplere și de evacuare, serpentine de încălzire sau de răcire, dispozitive de nivel și de preaplin, precum și armăturile specifice.

Rezervoarele sunt vase închise (de construcție etanșă) utilizate pentru depozitarea fluidelor la presiunea atmosferică sau la presiuni diferite, dar la temperatură obișnuită. De exemplu, rezervoarele de benzină ale mașinilor rutiere sau cele ale stațiilor de benzină, rezervoarele castelelor de apă etc.

Recipientele sunt tot vase închise de construcție etanșă. Ele rețin fluidele la temperaturi și presiuni diferite. Ca exemplu pot fi indicate buteliile de aragaz, autoclavurile, tamburele cazanelor de abur, buteliile de oxigen etc.

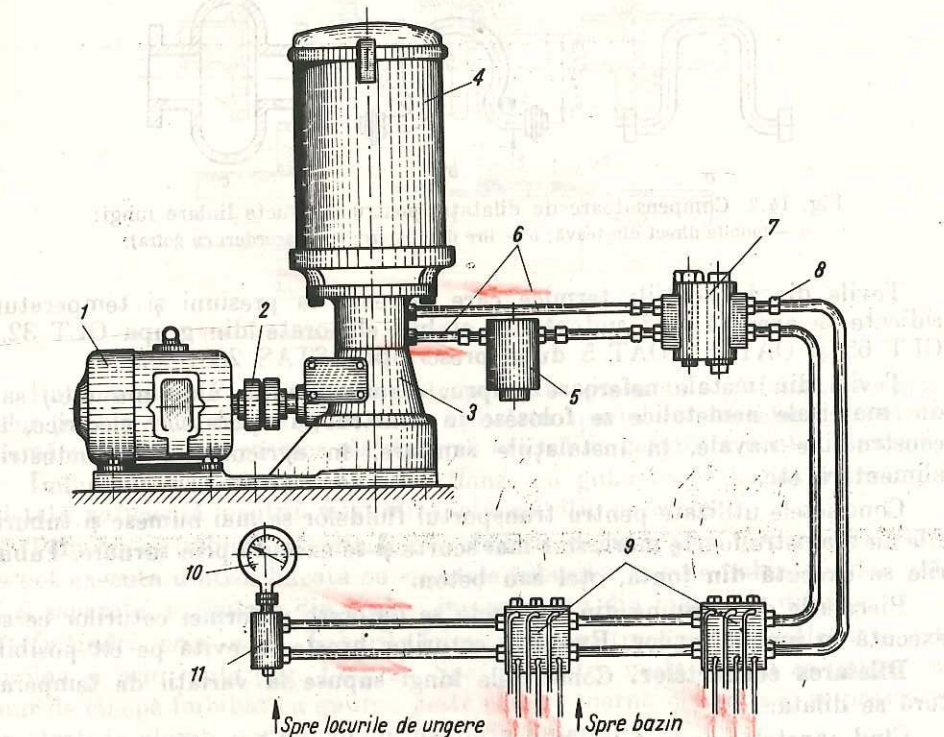


Fig. 14.1. Schema de principiu a unei instalații de ungere forțată prin presiunea creată de o pompă cu roți dințate:

1 — motor electric; 2 — cuplaj; 3 — pompă cu roți dințate; 4 — rezervor cu ulei; 5 — filtru de ulei;

6 — conducte; 7, 9 — distribuitoare; 8 — mufă; 10 — manometru; 11 — supă de siguranță.

Rezervoarele și recipientele au forme constructive variate. Mai obisnuite sunt formele cilindrice (tamburele cazanelor de abur), eliptice (cisternele pentru transportul laptelui, al benzinei etc.), sferice (vase de depozitat din industria chimică).

14.3. CONDUCTE ȘI TUBURI

Conductele sunt piese tubulare cu pereti relativ subțiri din oțel, fontă, cupru, aluminiu, material plastic etc. Forma constructivă a conductelor permite circulația unor fluide sau a unor materiale pulverulente.

În construcția de mașini aceste conducte sunt denumite *țevi*. Tevile au secțiunea inelară și peretii subțiri în raport cu diametrul lor exterior.

Conductele prin care circulă fluide sub presiune se execută prin tragere sau laminare. Cele prin care circulă fluide sub presiune joasă se execută din tablă de oțel prin îndoire și sudare (țevi sudate) sau din material plastic prin extrudare.

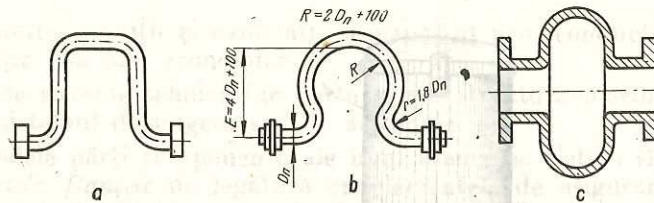


Fig. 14.2. Compensatoare de dilatație pentru conducte liniare lungi:
a - îndoite direct din țeavă; b - lire de dilatare; c - racorduri cu gofraj.

Tevile din instalațiile termice care lucrează la presiuni și temperaturi ridicate se execută fără sudură din oțeluri elaborate din grupa OLT 32... OLT 65 și OAT 1... OAT 5 după prescripțiile STAS 2881-80.

Tevile din metale neferoase (cupru, alamă, plumb, aluminiu etc.) sau din materiale nemetalice se folosesc în construcția aparatelor electrice, în construcțiile navale, în instalațiile sanitare, în agricultură, în industria alimentară etc.

Conductele utilizate pentru transportul fluidelor se mai numesc și tuburi. Ele au diametre foarte mari, sunt mai scurte și se execută prin turnare. Tuburile se execută din fontă, oțel sau beton.

Pierderile de presiune din conducte se datorează și formei coturilor ce se execută în lungul tevilor. Execuția coturilor brusă se evită pe cît posibil.

Dilatarea conductelor. Conductele lungi supuse la variații de temperatură se dilată.

Cind capetele conductelor sunt montate rigid, astfel de dilatări sau comprimări le pot distruge. De aceea, conductele drepte cu lungimi mari se completează cu *compensatoare* de dilatare de tipul celor din figura 14.2. În STAS 4377-76 sunt indicate detaliile necesare construcției compensatoarelor.

Îmbinarea conductelor. *Îmbinarea cu flanșe.* Flanșele sunt elemente utilizate aproape exclusiv la îmbinarea tronsoanelor intermediare ale conductelor.

Caracteristicile constructive ale flanșelor sunt standardizate în funcție de diametrul nominal D_n și de presiunea nominală P_n .

Îmbinările prin sudare cu *flanșe plate* sunt cele mai frecvente (fig. 14.3, a), datorită simplității constructive și a eficienței economice. Forma lor este circulară, eliptică sau pătrată. Flanșele sudate pe fiecare capăt al tevii se îmbină apoi între ele prin șuruburi. Pe suprafețele flanșelor se practică 2–3 canale triunghiulare care măresc etanșeitatea îmbinării. Astfel de îmbinări satisfac condițiile de rezistență și etanșare numai în cazul presiunilor reduse.

Flanșele cu prag (fig. 14.3, b) asigură o etanșeitate sporită deoarece presiunea creată prin strângerea șuruburilor se repartizează pe o suprafață mai redusă.

Îmbinarea cu flanșe cu prag și canal circular (fig. 14.3, c) se utilizează la îmbinarea tevilor cu regim de presiune ridicată. Pentru sporirea etanșeității în canal se pot introduce garnituri ce se presează pe pragul flanșei pereche. Găurile șuruburilor de strângere se practică mai aproape de canalul circular.

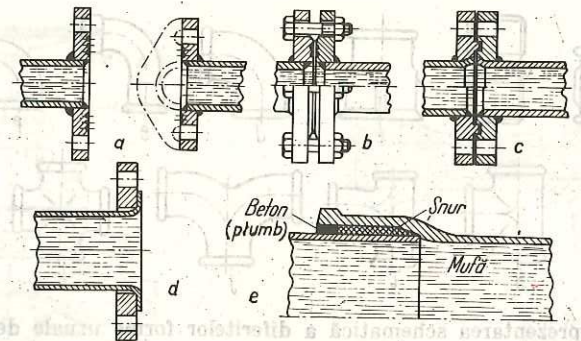


Fig. 14.3. Îmbinarea conductelor prin flanșe și prin mușe.

Îmbinarea cu flanșe libere asezate pe țeavă presupune răsfringerea capeteelor tevilor ca în figura 14.3, d. Se aplică în special conductelor din cupru, alamă și aluminiu, deoarece răsfringerea are rol de garnitură pentru etanșare.

Îmbinarea prin filetare necesită flanșe cu guler care permit o lungime filetată suficientă pentru asigurarea etanșeității necesare.

Tuburile se îmbină tot prin flanșe cînd se execută prin turnare. Flanșele se pot executa dintr-o bucătă cu capetele tuburilor supuse îmbinării, dar pot fi și separate, executate din același material sau din materiale diferite.

Îmbinări prin mușe. Tuburile folosite pentru transportul fluidelor se pot îmbina și prin mușe (fig. 14.3, e). Spațiul dintre mușă și tub se umple cu șnur de cînepe imbibat cu gudron peste care se toarnă ciment sau se presează un strat de plumb ștemuit (deformat prin batere).

Îmbinări cu fittinguri și racorduri. Fitingurile sunt organe simple care fac legătura între tevi sau între tuburi (fig. 14.4 și 14.5). Îmbinarea cu fittinguri asigură:

— legătura dintre conducte de aceleasi dimensiuni (îmbinare);

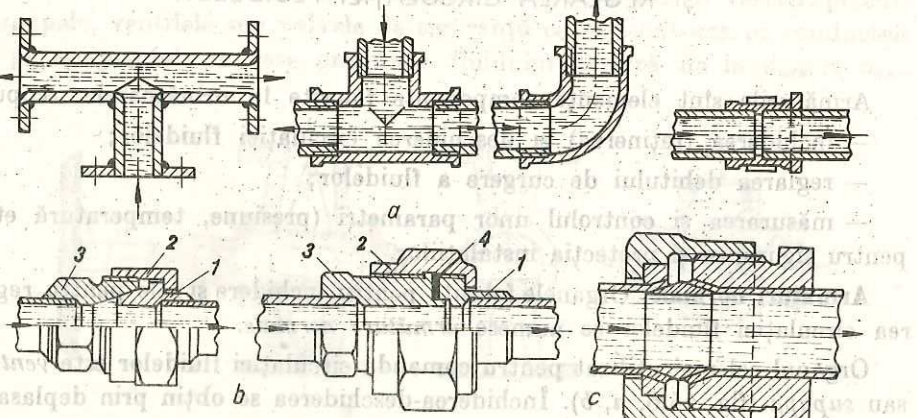


Fig. 14.4. Secțiuni prin diverse fittinguri și racorduri:
a – îmbinări cu racorduri olandeze (1 – stut; 2 – piuliță cu filăt interior; 3 – piuliță cu filăt exterior; 4 – garnitură); b – flanșe cu prag și canal circular.

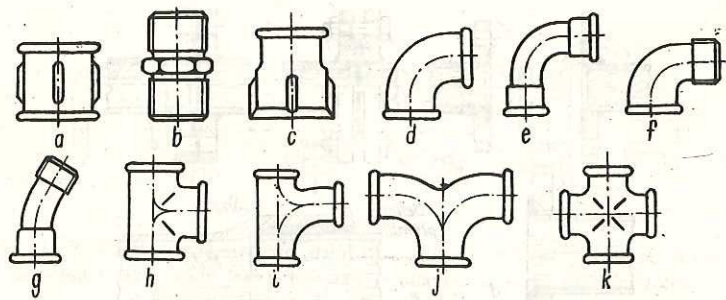


Fig. 14.5. Reprezentarea schematică a diferitelor forme uzuale de fitinguri.

- legătura dintre conducte de diametre diferite;
- schimbarea direcției de curgere;
- ramificarea curgerii de la o conductă centrală pe diferite direcții prin conducte derive.

Forma constructivă a fitingurilor este specifică rolului lor funcțional, după cum se poate urmări și pe figura 14.5.

Materialele de bază folosite în construcția fitingurilor sunt fontele maleabile, oțelurile obișnuite și metalele neferoase.

Cele mai uzuale forme constructive și tipuri de fitinguri sunt reprezentate schematic în figura 14.5.

14.4. ARMĂTURI PENTRU COMANDA ȘI REGLAREA CIRCULAȚIEI FLUIDELOR

Armăturile sunt elemente componente folosite în următoarele scopuri:

- închiderea (reținerea) și deschiderea circulației fluidelor;
- reglarea debitului de curgere a fluidelor;
- măsurarea și controlul unor parametri (presiune, temperatură etc.) pentru siguranță și protecția instalațiilor.

Armături normale. Organele folosite pentru închidere și cele pentru reglarea circulației fluidelor se numesc *armături normale*.

Organul cel mai utilizat pentru comanda circulației fluidelor este *ventilul* sau *supapa* (fig. 14.6, a, b). Închiderea-deschiderea se obține prin deplasarea liniară a ventilului (supapei), prin înșurubare-deșurubare în cazul ventilului din figura 14.6, a, sau prin acționarea directă a tijei supapei în cazul robinetului din figura 14.6, b.

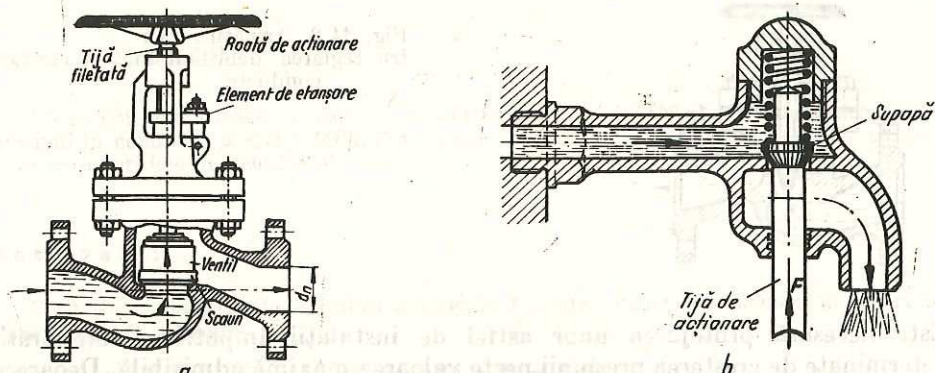


Fig. 14.6. Principalele elemente componente ale robinetului cu ventil.

Robinete cu cep. Robinetele cu cep (fig. 14.7) asigură o închidere etanșă prin contactul suprafețelor șlefuite ale cepului cu corpul armăturii. Astfel de armături se montează pe conducte cu gaze, la indicatoare de nivel etc. Deschiderea se face prin rotirea cepului prevăzut cu fantă. Se pot construi robinete cu cep pentru: un singur sens, două sensuri, două sau trei căi de curgere (fig. 14.7, b).

Armături de reglare. Cele mai reprezentative armături cu funcție de reglaj sunt robinetele cu ac și supapele cu clapete sau vane (fig. 14.8) executate în diferite variante. Variația debitului de trecere prin conductă este reglată prin înșurubarea sau deșurubarea treptată a tijei acului. Astfel, elementele de închidere pot asigura o secțiune variabilă orificiului de trecere a fluidului, adică se poate regla debitul de trecere prin conductă.

Armături speciale. Grupa armăturilor speciale cuprinde aparatelor pentru presiune, debit etc. din interiorul fluidului conductei sau al vaselor, precum și supapele, ventile sau valvele de siguranță ce se montează pe conductele sau pe recipientele în care presiunea fluidului variază de la p_{min} la p_{max} .

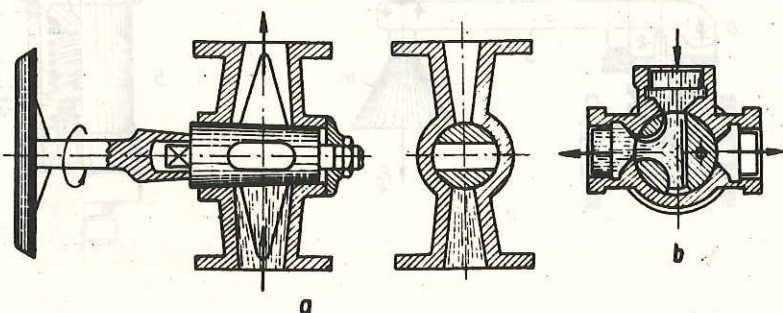


Fig. 14.7. Robinet cu cep sau cană:
a — pentru o singură direcție de circulație a fluidului; b — pentru schimbarea direcției de circulație a fluidului.

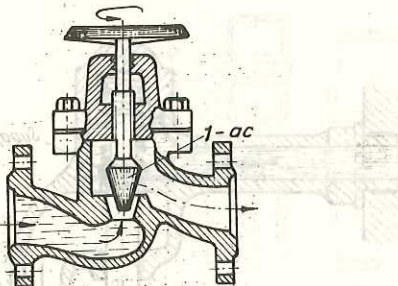


Fig. 14.8. Armături pentru reglarea debitului în conducte.

Este necesară protejarea unor astfel de instalații împotriva deteriorării determinate de creșterea presiunii peste valoarea maximă admisibilă. Deoarece eventuala deteriorare a unor părți ale instalației ca urmare a suprapresiunii poate produce accidentarea personalului de deservire, echiparea instalațiilor cu supape de siguranță este obligatorie.

În figura 14.9, a este reprezentată secțiunea printr-o supapă de siguranță cu pîrghie și contragreutate (G). Astfel de supape de siguranță funcționează automat sub acțiunea directă a presiunii fluidului. De exemplu, dacă presiunea p din recipient sau din conductă depășește valoarea admisibilă, asupra ventilului 1 se creează o forță F care, prin intermediul tijei 2, se transmite pîrghiei 3, pe care o dezechilibrează. În acest caz, ventilul 1 se ridică de pe scaun și permite evacuarea fluidului pînă scade presiunea în limitele valorii de regim.

Un alt tip de armătură pentru siguranță și protecție foarte mult utilizat este supapa de siguranță cu arc elicoidal (fig. 14.9, b).

Cind presiunea din conductă sau din recipientul pe care se montează supapa crește astfel încit creează o forță mai mare decît cea a arcului, ventilul se deschide, iar presiunea se restabilește la valoarea admisibilă.

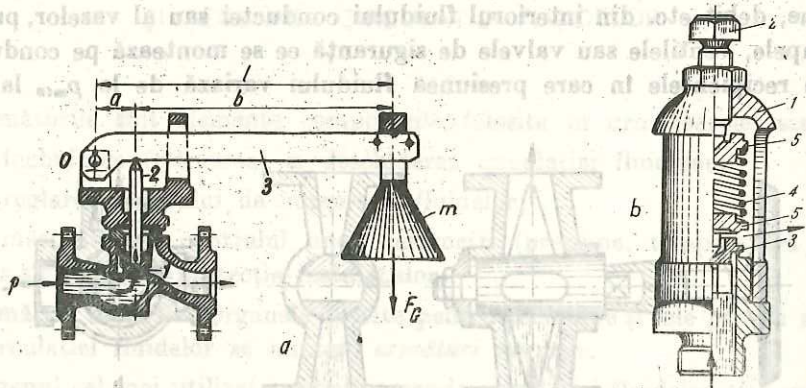


Fig. 14.9. Supape de siguranță pentru prevenirea creșterii presiunii:
a — supapă cu pîrghie și contragreutate; 1 — ventil; 2 — tijă; 3 — pîrghie;
b — supapă cu arc elicoidal; 1 — corpul supapei; 2 — suruburi de reglare;
3 — ventil; 4 — arc; 5 — suporturile arcului.

EXEMPLU DE CALCUL

Să se determine masa m necesară pîrghiei din figura 14.9, a pentru menținerea unei presiuni în conductă $p \leq 2,5$ MPa, fiind date: $a = 20$ mm; $l = 110$ mm; $d_1 = 10$ mm (diametrul orificiului ventilului).

R e z o l v a r e :

Scriindu-se condiția de echilibru a pîrghiei 3 printr-o ecuație de moment în raport cu articulația O , rezultă:

$$Fa = F_G(a + b) = FGl;$$

$$F_G = F \frac{a}{l} = \frac{\pi}{4} d_1^2 p \frac{a}{l} = \frac{\pi}{4} \cdot 10^2 \cdot 2,5 \cdot \frac{20}{110} = 35,7 \text{ N.}$$

Masa m este:

$$F_G = mg$$

$$m = \frac{F_G}{g} = \frac{35,7}{9,81} = 3,639 \text{ kg.}$$

Valorile orientative ale caracteristicilor mecanice ale cîtorva tipuri de oțeluri

Marea STAS 500/1-80	Starea	Caracteristici mecanice			
		R_m	$R_{r0,2}$	τ_r	τ_{rf}
OL 00	B	<314		270—420	>240
	B	320—400	160	270—340	240
	B	340—420	170—200	290—350	250
	B	362—441	240—210	320—400	290
	B	420—500	260—240	350—440	320
	N	500—600	270	420—500	380
	I	—	—	—	—
	N	600—720	310—300	500—600	450
	I	—	—	—	—
	N	>686	>350	>600	530
	I	—	—	—	—

Observația: B — brut laminat; I — imbuinătățit; N — normalizat

C U P R I N S

Partea întâi — Rezistența materialelor	3
Cap. 1. Noțiuni introductive	3
1.1. Bazele rezistenței materialelor	3
1.2. Noțiuni introductive de rezistență a materialelor	4
Cap. 2. Întinderea și compresiunea	14
2.1. Forță axială. Diagrame de forțe axiale	14
2.2. Tensiuni normale de întindere sau compresiune	15
2.3. Secțiune brută, netă și periculoasă	17
2.4. Deformații și deplasări la barele drepte solicitate la întindere	18
2.5. Tensiuni produse de variația de temperatură	20
2.6. Concentratori de eforturi. Tensiuni locale	24
Cap. 3. Forfecarea	25
3.1. Definiție. Tensiuni tangențiale	25
3.2. Relația dintre tensiuni și deformații la solicitarea de forfecare	26
3.3. Aplicații ale forfecării	27
Cap. 4. Momente statice, momente de inerție și module de rezistență	34
4.1. Momente statice	34
4.2. Momente de inerție	36
4.3. Variația momentelor de inerție axiale în raport cu axe paralele	38
4.4. Momente de inerție ale unor suprafete compuse	40
4.5. Module de rezistență	43
Cap. 5. Încovoierea barelor drepte	45
5.1. Definiție. Exemple. Ipoteze de calcul	45
5.2. Sarcini și reacțiuni	47
5.3. Eforturi în barele drepte solicitate la încovoiere. Forță tăietoare. Moment încovoiator	49
5.4. Trasarea diagramelor de forțe tăietoare și momente încovoiatoare	52
5.5. Tensiuni în barele drepte solicitate la încovoiere. Formula lui Navier	57
5.6. Calculul de dimensionare, verificare și determinare a momentului capabil la încovoiere	62
5.7. Tensiuni tangențiale la încovoiere	68
Cap. 6. Răsucirea	68
6.1. Fenomenul răsucirii. Definiție, exemple	68
6.2. Solicitarea la răsucire prin acțiunea simultană a mai multor cupluri Diagram ale momentelor de răsucire	69
6.3. Calculul momentului de răsucire pentru barele drepte aflate în mișcare de rotație uniformă (arbori)	70
6.4. Tensiuni în bare drepte de secțiune circulară sau inelară, solicitate la răsucire	70
6.5. Deformațiile barelor drepte de secțiune circulară sau inelară, solicitate la răsucire	74
Partea a doua — Organe de mașini	76
Cap. 7. Noțiuni fundamentale despre organe de mașini	76
7.1. Însușiri ale organelor de mașini	76
7.2. Clasificarea organelor de mașini	77
7.3. Standardizarea în construcția de mașini	77
7.4. Interschimbabilitatea organelor de mașini	78
7.5. Execuția organelor de mașini	78

Cap. 8. Asamblări nedemontabile	79
8.1. Asamblări prin nituire	79
8.2. Asamblări prin lipire	81
8.3. Asamblări prin sudare	83
Cap. 9. Organele asamblărilor demontabile	85
9.1. Asamblări cu pene și cu șifturi	85
9.2. Asamblări prin caneluri	89
9.3. Asamblări filetate	89
Cap. 10. Asamblări elastice și elemente de acumulare a energiei (arcuri)	96
10.1. Tipuri constructive reprezentative. Domenii de utilizare. Materiale	96
10.2. Caracteristici funcționale ale arcurilor	99
10.3. Tipuri de arcuri	100
Cap. 11. Organele mișcării de rotație	102
11.1. Osii și arbori	103
11.2. Lagăre	111
11.3. Lagăre cu alunecare	111
11.4. Lagăre cu rostogolire	114
11.5. Ungerea organelor de mașini	118
Cap. 12. Cuplaje	120
12.1. Caracteristici. Rol funcțional. Tipuri constructive	120
12.2. Cuplaje permanente	121
12.3. Cuplaje intermitente	125
Cap. 13. Organe pentru transmiterea mișcării de rotație	129
13.1. Transmisii cu curele	129
13.2. Transmisii cu cablu	135
13.3. Transmisii cu lanțuri	135
13.4. Transmisii cu roți dințate	138
Cap. 14. Organe pentru reținerea, conducerea și comanda circulației fluidelor	147
14.1. Noțiuni de bază	148
14.2. Elemente pentru reținerea fluidelor	148
14.3. Conducte și tuburi	149
14.4. Armături pentru comanda și reglarea circulației fluidelor	152
Anexă	156
1. Rezerve de gaze - Gaze și gazele	
2. Volumul unui gaz într-un recipient	
3. Încărcarea și deschiderea rezervorului de gaze	
4. Stăpânirea rezervorului de gaze	
5. Execuția olografei de gaz	



Plan editură : 19529.
Coli de tipar : 10.
Bun de tipar : 24.II.1989.



Tiparul executat sub comanda
nr. 21 la
Intreprinderea Poligrafică
„13 Decembrie 1918”,
str. Grigore Alexandrescu nr. 89-97
Bucureşti,
Repubica Socialistă România